

**İSTANBUL TEKNİK ÜNİVERSİTESİ ★ FEN BİLİMLERİ ENSTİTÜSÜ**

**FERROSEN SÜBSTİTÜE PORFİRAZİNLER**

DOKTORA TEZİ  
Y.Kimyager Haluk Akkuş  
(509940008008)

100769

100769

Tezin Enstitüye Verildiği Tarih : 20 Aralık 1999  
Tezin Savunulduğu Tarih : 24 Şubat 2000

Tez Danışmanı : Prof.Dr. Ahmet GÜL  
Diğer Jüri Üyeleri Prof.Dr. Özer BEKAROĞLU (İ.T.Ü.)  
Prof.Dr. Çakıl ERK (İ.T.Ü.)  
Prof.Dr. Ulvi AVCIATA (Y.T.Ü)  
Prof.Dr. Vefa AHSEN ( G.Y.T.E )

ŞUBAT 2000

İ.T.Ü.  
DOCTORAL  
DEPARTMENT  
OF CHEMISTRY

## ÖNSÖZ

Koordinasyon Kimyası konusunda Türkiye'deki araştırmaların öncüsü olan ve bu çalışmanın gerçekleşmesinde en büyük katkıyı sağlayan İTÜ Anorganik Kimya Anabilim Dalı Başkanı Prof.Dr. Özer BEKAROĞLU'na;

İstanbul Teknik Üniversitesi Fen-Edebiyat Fakültesi Kimya Bölümünde çalışma hayatına başladığım ilk andan itibaren karşılaştığum her güçlükte yardımını esirgemeyen, her türlü imkanı sağlayan ve değerli önerileri ile bana yol gösteren tez yöneticim hocam sayın Prof.Dr. Ahmet GÜL'e; çalışmalarım süresince daima yardımcı olan Sayın Prof.Dr. Ali İhsan OKUR, Doç.Dr. Ali CİHAN ve Doç.Dr. Makbule KOÇAK başta olmak üzere tüm Anorganik Kimya Anabilim Dalı elemanlarına; Doktora çalışmalarım ile ilgili olarak yurt dışına gitme imkanını sağlayan Tinçel Kültür Vakfına ve laboratuarlarını bana açıp her türlü desteği sağlayan Oxford Üniversitesinden Prof.Dr. Paul D.Beer'e;

Eğitim ve öğrenimimde hiçbir fedakarlıktan kaçınmayan Annem ile Babama ve çalışmalarım sırasında manevi desteğini hiçbir zaman esirgemeyen ve beni sonsuz anlayışla karşılayan eşim ve kızıma;

Tezi büyük bir titizlikle yazan arkadaşım Altuğ AKA'ya teşekkürlerimi bir borç biliyorum.

Aralık 1999

Haluk AKKUŞ

## İÇİNDEKİLER

ÖNSÖZ.....	ii
ŞEKLİ LİSTESİ .....	v
KISALTMALAR.....	ix
ÖZET .....	x
SUMMARY.....	xiii
1. <b>GİRİŞ.....</b>	1
2. <b>GENEL BİLGİLER .....</b>	2
2.1.    Porfirazin Ligandlarının Sentezi .....	5
2.2.    Heteroatom Sübstitüe Porfirazinlerin Özellikleri .....	13
2.3.    Heteroatom Sübstitüe Porfirazinlerin Periferal Metal İyon Kompleksleri.....	17
2.4.    Porfirazin Kimyasında Grubumuzda Sağlanan Gelişmeler .....	37
2.5.    Ferrosen ve Türevleri.....	42
2.5.1.    Oluşumu.....	42
2.5.2.    Özellikleri .....	43
2.6.    Sıklık Voltametre (CV).....	47
2.7.    Çalışmanın Amacı ve Kapsamı.....	52
3. <b>KULLANILAN MADDE VE ALETLER .....</b>	53
3.1.    Maddeler .....	53
3.2.    Aletler .....	53
4. <b>DENEYSEL KISIM .....</b>	54
4.1.    Başlangıç Maddelerinin ve Yeni Maddelerinin Sentezi .....	54
4.1.1.    Sodyumsiyano ditiyo formiyat sentezi .....	54
4.1.2.    Ditiyomaleonitril disodyum tuzu sentezi .....	54
4.1.3.    1,2-bis (2-hidroksietiltiyo) maleonitril sentezi    1 .....	55
4.1.4.    [2, 3, 7, 8, 12, 13, 17, 18-oktakis (2-hidroksietiltiyo) porfirazinato N <sup>21</sup> N <sup>22</sup> N <sup>23</sup> N <sup>24</sup> ] magnezyum (II) sentezi: MgPz <sub>I</sub> 2 .....	55
4.1.5.    Asetil ferrosen Sentezi .....	56
4.1.6.    Ferrosenkarboksilik asit sentezi.....	57
4.1.7.    {2, 3, 7, 8, 12, 13, 17, 18-oktakis [2'-(ferrosenkarboksi)etiltiyo] porfirazinato N <sup>21</sup> N <sup>22</sup> N <sup>23</sup> N <sup>24</sup> } magnezyum (II) sentezi: MgPz <sub>I</sub> 3 .....	58
4.1.8.    {2, 3, 7, 8, 12, 13, 17, 18-oktakis [2'-(ferrosenkarboksi)etiltiyo] 21H 23H porfirazin N <sup>21</sup> N <sup>22</sup> N <sup>23</sup> N <sup>24</sup> } : H <sub>2</sub> Pz <sub>I</sub> sentezi                           4 .....	59
4.1.9.    {2, 3, 7, 8, 12, 13, 17, 18-oktakis [2'-(ferrosenkarboksi)etiltiyo] porfirazinato N <sup>21</sup> N <sup>22</sup> N <sup>23</sup> N <sup>24</sup> } kobalt(II) sentezi: CoPz <sub>I</sub> 5 .....	60

4.1.10	{2, 3, 7, 8, 12, 13, 17, 18-oktakis [2'-(ferrosenkarboksi)etiltiyo] porfirazinato N <sup>21</sup> N <sup>22</sup> N <sup>23</sup> N <sup>24</sup> } çinko (II) sentezi: ZnPz <sub>I</sub>	6.....	61
4.1.11	{2, 3, 7, 8, 12, 13, 17, 18-oktakis [2'-(ferrosenkarboksi)etiltiyo] porfirazinato N <sup>21</sup> N <sup>22</sup> N <sup>23</sup> N <sup>24</sup> } bakır(II) sentezi: CuPz <sub>I</sub>	7.....	61
4.2.	Ferrosen Sübstítüe porfirazinlerin elektrokimyasal incelenmesi.....	62	
4.2.1.	Çalışma Şartları.....	62	
5.	<b>SONUÇLAR VE YORUMLAR .....</b>	63	
5.1.	Ferrosen Sübstítüe Porfirazinlerin İndirgenme-Yükseltgenme Özellikleri .....	68	
5.1.1.	MgPz <sub>I</sub> .....	68	
5.1.2.	H <sub>2</sub> Pz <sub>I</sub> .....	70	
5.1.3.	CoPz <sub>I</sub> .....	72	
5.1.4.	CuPz <sub>I</sub> .....	74	
5.1.5.	ZnPz <sub>I</sub> .....	75	
	<b>KAYNAKLAR.....</b>	78	
	<b>EKLER.....</b>	86	
	<b>ÖZGEÇMİŞ.....</b>	107	

## ŞEKİL LİSTESİ

	Sayfa No
<b>Şekil 2.1</b> Ftalosiyanin ve porfirazin .....	2
<b>Şekil 2.2</b> Porfirazinoktatiyolat ( $[pzS_2]_4^{8-}$ ) .....	3
<b>Şekil 2.3</b> Porfirazinditiyolat ( $[(pzS_2):(pc)_3]^{2-}$ ) .....	3
<b>Şekil 2.4</b> Porfirazin trans-tetratiyolat ( $[trans-(pzS_2)_2:(pc)_2]^{4-}$ ) .....	4
<b>Şekil 2.5</b> Porfirazin cis-tetratiyolat ( $cis-(pzS_2)_2:(pc)_2]^{4-}$ .....	4
<b>Şekil 2.6</b> Taç eter sübstítüe porfirazin ( $[(S_2, O_3 \text{ crown}]_4 pz$ ) .....	5
<b>Şekil 2.7</b> Oktakis (benziliyolat) sübstítüe Mg porfirazin sentezi .....	6
<b>Şekil 2.8</b> Benziliyolat sübstítüe metalsiz ve nikel porfrazin sentezi .....	6
<b>Şekil 2.9</b> Alkil sübstítüe Mg, metalsiz ve Ni porfrazin oktaaminlerin sentezi.....	7
<b>Şekil 2.10</b> Porfirazin-oktaollerin sentezi .....	7
<b>Şekil 2.11</b> Tetra-dispoke porfirazinoktaol'ün X-ışını kristal yapısı .....	8
<b>Şekil 2.12</b> Dialkiltiyo sübstítüe asimetrik porfirazin türevlerinin sentezi.....	9
<b>Şekil 2.13</b> Para-[(bütiloksi)karbonil] benzil sübstítüe Mg porfirazin ditiol sentezi .....	10
<b>Şekil 2.14</b> 2,3-bis(alkiltiyo) maleonitril türevi ile ftalonitril'in çapraz makrosiklizasyon reaksiyonu .....	10
<b>Şekil 2.15</b> Sübstítüe maleonittriller ile 4,7-di isopropoksi-1,3-diimino-isoindolin'inin makrosiklizasyon reaksiyonu .....	11
<b>Şekil 2.16</b> Trans dimetilamino (isopropoksi porfirazin) ftalosiyanın hibridinin ORTEP diyagramı .....	11
<b>Şekil 2.17</b> Trans yapıdaki porfirazin/ftalosiyanın hibridinin X-ışını kristal yapısı .....	12
<b>Şekil 2.18</b> Trans yapıdaki porfirazin-ftalosiyanın tetraol türevinin sentezi .....	12
<b>Şekil 2.19</b> Oktakis (dimetilamino) porfirazin ve bu bileşigin siklik voltamogramı .....	13
<b>Şekil 2.20</b> Oktakis (dimetilamino) porfirazinin hava ile seco-porfirazine yükseltgenmesi .....	14
<b>Şekil 2.21</b> Oktakis (dimetilamino) porfirazinin $MnO_2$ ile seco-porfirazine yükseltgenmesi .....	14
<b>Şekil 2.22</b> Oktakis (dimetilamino) seco-porfirazinin ORTEP diyagramı .....	15
<b>Şekil 2.23</b> Hekzapropil (dimetilamino) porfirazinato çinko (II)'nin aksiyel koordinasyon köprüsü ile bir dimer oluşturduğunu gösteren X-ışını kristal yapısı .....	15
<b>Şekil 2.24</b> Oktakis (dimetilamino) porfirazinin TCNQ ile yük-transfer kompleksi .....	16
<b>Şekil 2.25</b> Oktakis (dimetilamino) porfirazinin fulleren ile kompleksi .....	16

Şekil 2.26	Oktakis (dimetilamino) porfirazinin fulleren ile verdiği kompleksin X-ışını kristal yapısı.....	17
Şekil 2.27	Oktakis (N-metil-N-2-pridil metil) porfirazinin $\text{CoCl}_2$ (1,2,3,4 eşdeğer gram) ile titrasyonunda UV-görünür bölge spektrumunda görülen değişiklikler .....	18
Şekil 2.28	Taç eterli : $\text{HgClO}_4$ (0,1,2,3,4 eşdeğer gram) ile titrasyonunda UV-görünür bölge spektrumunda görülen değişiklikler.....	18
Şekil 2.29	Oktabenziltiyo porfirazinato Ni(II)'den star-porfirazine geçiş reaksiyonu.....	19
Şekil 2.30	Star-porfirazinin X-ışını kristal yapısı.....	20
Şekil 2.31	Star-porfirazindeki meso-cep içinde 4 tane 5 koordine di-tert-butilkalay ürününü gösteren X-ışını kristal yapısı.....	20
Şekil 2.32	Star-porfirazinin $\text{Bu}_4\text{NF}$ ile olan reaksiyon ürünü.....	21
Şekil 2.33	Star-porfirazinin farklı Ni(II) tuzları varlığında UV-görünür bölge spektrumu .....	21
Şekil 2.34	Tetra-nikel star porfirazin sentezi.....	22
Şekil 2.35	Tetra-nikel star porfirazin türevinin X-ışını kristal yapısı.....	22
Şekil 2.36	Tetra-nikel star porfirazinin X-ışını kristal yapısı .....	23
Şekil 2.37	Tetra-nikel star porfirazinlerin UV-görünür bölge spektrumu .....	23
Şekil 2.38	Solitaire ftalosiyanın sentezi.....	24
Şekil 2.39	Solitaire ftalosiyanın molekülünün yapısı .....	24
Şekil 2.40	Solitaire ftalosiyanın molekülüün X-ışını kristal yapısı .....	25
Şekil 2.41	Solitaire Ni ftalosiyanın molekülünün X-ışını kristal yapısı .....	25
Şekil 2.42	Mo(IV) içeren solitaire porfirazinin siklik voltamogramı .....	26
Şekil 2.43	Mo(IV) içeren solitaire porfirazinin X-ışını kristal yapısı.....	26
Şekil 2.44	P grupları içeren Gemini porfirazinlerin $^{31}\text{P}$ NMR spektrumları .....	27
Şekil 2.45	Trans yapıdaki Gemini porfirazinin X-ışını kristal yapısı.....	28
Şekil 2.46	Mono- ve dinükleer ( $\text{Cp}_2\text{V}$ ) $\text{Pz}$ komplekslerinin sentezi.....	28
Şekil 2.47	Dinükleer ( $\text{Cp}_2\text{V}$ ) $\text{Pz}$ kompleksinin X-ışını kristal yapısı .....	29
Şekil 2.48	Mono ve dinükleer $\text{Cp}_2\text{V}$ komplekslerinin EPR spektrumları .....	29
Şekil 2.49	Taç eter ihtiva eden maleonitril türevlerinin sentezi .....	30
Şekil 2.50	Taç eter ihtiva eden maleonitril türevinin gümüş tetrafloroborat ile reaksiyonu.....	31
Şekil 2.51	Taç eter ihtiva eden maleonitril türevinin gümüş tetrafloroborat ile reaksiyonu.....	31
Şekil 2.52	Taç eter ihtiva eden maleonitril türevinin civa (II) klorür ile olan kompleksi.....	31
Şekil 2.53	Ditia-15-crown-5 maleonitrilin gümüş tetrafloraborat ile etkileşimine ait X-ışını kristal yapısı .....	32
Şekil 2.54	Ditia-15-crown-5 maleonitril $\text{Ag}^+$ kompleksinin X-ışını kristal yapısı.....	32
Şekil 2.55	Şerit şeklinde polimerının $\text{Ag-N}$ geri bağlı ile koordine olduğunu gösteren X-ışını kristal yapısı.....	32
Şekil 2.56	Ditia-18-crown-6 maleonitril $\text{Ag}^+$ kompleksinin X-ışını kristal yapısı.....	32
Şekil 2.57	Ditia-18-crown-6 maleonitrilin şerit şeklinde oluşturduğu bileşigin X-ışını kristal yapısı.....	33
Şekil 2.58	Ditia-18-crown-6 maleonitrilin civa (II) klorür ile şerit şeklinde oluşturduğu bileşigin X-ışını kristal yapısı .....	33

Şekil 2.59	Taç eter sübstítüe porfirazin türevlerinin sentezi .....	34
Şekil 2.60	Tetra-15-crown-5 porfirazinato Ni(II) nin aşırı miktarda AgBF <sub>4</sub> ile reaksiyonu.....	34
Şekil 2.61	Tetra-15-crown-5 porfirazinato Ni(II) nin AgBF <sub>4</sub> ile verdiği ürünün X-ışını kristal yapısı .....	35
Şekil 2.62	Taç eter ihtiva eden Ni porfirazinin AgBF <sub>4</sub> ile verdiği komplekslerin X-ışını kristal yapıları .....	35
Şekil 2.63	Şerit şeklindeki porfirazin yapıları .....	36
Şekil 2.64	Yaprak şeklindeki porfirazin yapıları .....	36
Şekil 2.65	Ni(II)-Ni(III)-Ni(II) solitaire dimerinin yapısı ve EPR spektrumu .....	37
Şekil 2.66.	Oktahedral bis(pridin) Fe kompleksi.....	38
Şekil 2.67.	Şiş kebab türü kompleks.....	38
Şekil 2.68.	Oktakis(heksiltiyo) porfirazinin Mg, VO <sup>2+</sup> , MoO <sub>2</sub> <sup>2+</sup> , Th <sup>4+</sup> kompleksleri .....	39
Şekil 2.69.	Tetrakis(1,3-ditiyo-2-tiyono) porfirazinin Mg türevi .....	39
Şekil 2.70.	Kuaterner yapıda porfirazin türevi .....	40
Şekil 2.71.	Oktakis(2-tosilaminoetiltiyo) porfirazin türevleri.....	40
Şekil 2.72.	Oktakis(crown-eter) sübstítüe.....	41
Şekil 2.73.	Siklofan köprülü porfirazin.....	41
Şekil 2.74.	Multi sübstítüe siklopentadienler.....	43
Şekil 2.75.	Ferrosenin sübstítüyon reaksiyonları.....	45
Şekil 2.76.	Ferrosenlerde elektrofilik sübstítüyon mekanizması.....	46
Şekil 2.77.	Ferrosen bileşigine <i>exo</i> ve <i>endo</i> elektrofilik atak.....	46
Şekil 2.78.	Sıklık voltamogram.....	49
Şekil 4.1.	Oktakis(2-hidroksietiltiyo) porfirazin.....	56
Şekil 4.2.	Ferrosen sübstítüe porfirazin (MgPz <sub>1</sub> ).....	58
Şekil 4.3.	Metalsız porfirazin.....	59
Şekil 4.4.	Metal porfirazin türevleri.....	60
Şekil 5.1.	Oktakis(2-hidroksietiltiyo) porfirazin.....	64
Şekil 5.2.	Ferrosen sübstítüe porfirazin.....	65
Şekil 5.3.	Metalli ve metalsız porfirazinler (M = 2H, Co, Zn, Cu).....	67
Şekil 5.4.	MgPz <sub>1</sub> 'nin 100 mV s <sup>-1</sup> tarama hızı ile alınan CV'si.....	69
Şekil 5.5.	MgPz <sub>1</sub> 'nin 20 mV s <sup>-1</sup> tarama hızı ile alınan CV'si.....	69
Şekil 5.6.	MgPz <sub>1</sub> 'nin 100 mV s <sup>-1</sup> tarama hızı ile alınan CV'si.....	69
Şekil 5.7.	MgPz <sub>1</sub> 'nin 20 mV s <sup>-1</sup> de (ferrosenlere ait) CV çalışması.....	70
Şekil 5.8.	MgPz <sub>1</sub> ferrosenlerinin akıma karşı tarama hızı grafiği.....	70
Şekil 5.9.	H <sub>2</sub> Pz <sub>1</sub> ferrosenlerinin akıma karşı tarama hızı grafiği.....	71
Şekil 5.10.	H <sub>2</sub> Pz <sub>1</sub> 'nin 20 mV s <sup>-1</sup> tarama hızı ile alınan CV'si.....	71
Şekil 5.11.	H <sub>2</sub> Pz <sub>1</sub> 'nin 200 mV s <sup>-1</sup> tarama hızı ile alınan CV'si.....	71
Şekil 5.12.	H <sub>2</sub> Pz <sub>1</sub> 'nin 200 mV s <sup>-1</sup> tarama hızı ile alınan CV'si.....	72
Şekil 5.13.	CoPz <sub>1</sub> 'nin 40 mV s <sup>-1</sup> tarama hızı ile alınan CV'si.....	73
Şekil 5.14.	CoPz <sub>1</sub> 'nin 40 mV s <sup>-1</sup> tarama hızı ile alınan CV'si.....	73
Şekil 5.15.	CoPz <sub>1</sub> 'nin 400 mV s <sup>-1</sup> tarama hızı ile alınan CV'si.....	73
Şekil 5.16.	CuPz <sub>1</sub> ferrosenlerinin akıma karşı tarama hızı grafiği.....	74
Şekil 5.17.	CuPz <sub>1</sub> 'nin 20 mV s <sup>-1</sup> tarama hızı ile alınan CV'si.....	74
Şekil 5.18.	CuPz <sub>1</sub> 'nin 60 mV s <sup>-1</sup> tarama hızı ile alınan CV'si.....	75
Şekil 5.19.	CuPz <sub>1</sub> 'nin 80 mV s <sup>-1</sup> tarama hızı ile alınan CV'si.....	75
Şekil 5.20.	ZnPz <sub>1</sub> 'nin 20 mV s <sup>-1</sup> tarama hızı ile alınan CV'si.....	76
Şekil 5.21.	ZnPz <sub>1</sub> 'nin 60 mV s <sup>-1</sup> tarama hızı ile alınan CV'si.....	76

<b>Şekil 5.22.</b>	ZnPz <sub>1</sub> 'nin 200 mV s <sup>-1</sup> tarama hızı ile alınan CV'si.....	76
<b>Şekil A.1</b>	(1) Bileşigine ait <sup>1</sup> H-NMR spektrumu .....	86
<b>Şekil A.2</b>	(1) Bileşigine ait IR spektrumu.....	87
<b>Şekil A.3</b>	(2) Bileşigine ait UV-görünür bölge spektrumu.....	88
<b>Şekil A.4</b>	(2) Bileşigine ait IR spektrumu.....	89
<b>Şekil A.5</b>	(3) Bileşigine ait UV-görünür bölge spektrumu.....	90
<b>Şekil A.6</b>	(3) Bileşigine ait IR spektrumu.....	91
<b>Şekil A.7</b>	(3) Bileşigine ait <sup>1</sup> H-NMR spektrumu.....	92
<b>Şekil A.8</b>	(3) Bileşigine ait <sup>13</sup> C-NMR spektrumu.....	93
<b>Şekil A.9</b>	(3) Bileşigine ait Kütle spektrumu.....	94
<b>Şekil A.10</b>	(4) Bileşigine ait UV-görünür bölge spektrumu.....	95
<b>Şekil A.11</b>	(4) Bileşigine ait IR spektrumu.....	96
<b>Şekil A.12</b>	(4) Bileşigine ait <sup>1</sup> H-NMR spektrumu.....	97
<b>Şekil A.13</b>	(4) Bileşigine ait <sup>13</sup> C-NMR spektrumu.....	98
<b>Şekil A.14</b>	(4) Bileşigine ait Kütle spektrumu.....	99
<b>Şekil A.15</b>	(5) Bileşigine ait UV-görünür bölge spektrumu.....	100
<b>Şekil A.16</b>	(5) Bileşigine ait IR spektrumu.....	101
<b>Şekil A.17</b>	(6) Bileşigine ait UV-görünür bölge spektrumu.....	102
<b>Şekil A.18</b>	(6) Bileşigine ait IR spektrumu.....	103
<b>Şekil A.19</b>	(6) Bileşigine ait Kütle spektrumu.....	104
<b>Şekil A.20</b>	(7) Bileşigine ait UV-görünür bölge spektrumu.....	105
<b>Şekil A.21</b>	(7) Bileşigine ait IR spektrumu.....	106

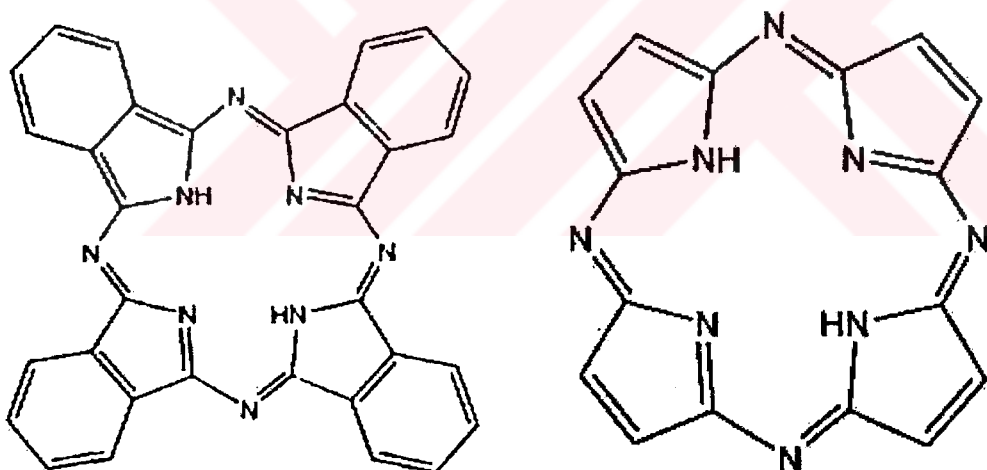
## KISALTMALAR

Fc	: Ferrosen
Pz	: Porfirazin
MgPz	: Magnezyum porfirazin
MgPz <sub>I</sub>	: Ferrosen süstüe magnezyum porfirazin
H <sub>2</sub> Pz <sub>I</sub>	: Serbest porfirazin
CoPz <sub>I</sub>	: Kobalt porfirazin
ZnPz <sub>I</sub>	: Çinko porfirazin
CuPz <sub>I</sub>	: Bakır porfirazin
ORTEP	: Oak Ridge termal elipsoid program
TCNQ	: Tetrasiyanoquinonidimetan
EPR	: Elektron paramagnetik rezonans
THF	: Tetrahidrofuran
DMSO	: Dimetilsülfoksit
TBABF <sub>4</sub>	: Tetrabutilamonyum tetrafloroborat
TMS	: Tetrametilsilan
CV	: Siklik voltametre
v	: Tarama hızı
E	: Elektrod potansiyeli
E°	: Standart elektrod potansiyeli
E <sub>pa</sub> ve E <sub>pc</sub>	: Tepe potansiyelleri
F	: Faraday sabiti
I	: Akım
t	: Zaman
D <sub>o</sub> ve D <sub>R</sub>	: Difüzyon katsayıları
C <sub>o</sub> <sup>yüzey</sup> ve C <sub>R</sub> <sup>yüzey</sup>	: Elektrod yüzeyindeki O ve R'nin konsantrasyonları
k°	: Elektron transfer katsayısı
λ	: Difüzyon tabakası
TAP	: Tetraazaporfirin
DCCI	: Disikloheksilikarbodiimid
IR	: Infra-red
NMR	: Nüklüler magnetik rezonans
MS	: Kütle spektroskopisi
UV-vis	: Ultraviyole/visible
FAB	: Fast atom bombardment
ES	: Elektro sprey

## FERROSEN SÜBSTİTÜE PORFİRazİNLER

### ÖZET

Tetraapirol türevleri içinde porfirazinler, ftalosiyinanlar ile aynı zamanlarda sentez ve karakterize edilmelerine rağmen, bu bileşikler arasında nispeten ihmäl edilen bir grup olmuştur( Şema 1 ). Gerçekten periferal konumlarında fonksiyonel gruplar taşıyan porfirazinler, yeni optik, magnetik ve elektronik özellikleri sergileyebilecek potansiyele sahiptir; aynı zamanda porfirazinlerin keskin renk göstermesi söz konusu maddelerde karşılaşılan değerlerde bazı ilave üstün özelliklerini teyit etmiştir. İç kürede bulunan geçiş metal iyonu moleküller özellikleri yeni yönlere sevketme, değiştirme ve kontrol etme imkanlarına sahiptir.



Şema 1 Fталосиyanin ve porfirazin

Tetraazaporfirinler veya ftalosiyinanlar gibi disk şeklindeki porfirinlerin kolayca nematik veya kolon halinde sıralanma eğiliminde olduğu bilinir. İki boyut sıralanmalar veya kolon şeklinde mezofazlar oluşturan bu sistemler, anisotropik gösteren özellikler haline getirilebilir. Kolon şeklindeki sıralanış göçü, elektriksel iletkenlik veya foto iletkenlik gibi transfer proseslerinin tek boyutta olmasını sağlar. Diğer yandan, monomerik camsı porfirinler makrosiklik yapının kuvvetli bir şekilde düzenli agregasyon oluşturma eğiliminden dolayı nadiren literatürde tanımlanmıştır. Ancak, bu tür malzemeler optik ve fotokatalitik özellikleri bakımından incelenerek kullanılabilirler.

Ferrosen üniteleri, 1-8 atomdan oluşan kısa bir köprü ile ayrıldığı zaman,  $\text{Fc}^{\cdot}/\text{Fc}$  redoks proseslerinin birbirini etkileyerek yarılmalara yol açtığı gözlenmiştir. Ancak daha uzun zincirlerle ayrıldığında bağımsız olarak hareket ederler. Bu etkileşimi göstermek üzere bazı farklı tris (diferrosenilpiridil) rutenyum bileşikleri, iki veya daha fazla ferrosen yan dalı taşıyan bir seri makrosiklik bileşikler ve bazı ferrosen sübstitüe piridin ve salisilik asid türevleri yayınlanmıştır. Bütün bu örneklerde ferrosen ünitelerinin hepsi aynı potansiyelde okside olmuştur: Her bir  $E_{1/2}$  değerinin çok az farklımasına neden olan istatiksel bir etki olmalıdır, fakat bu ayrılma genellikle farklandırılamamıştır.

Görülen istisnai bir durum, üç  $\text{Fe}^{\text{III}}$  ve bir  $\text{Fe}^{\text{II}}$  bis (siklopentadienil) ünitelerinin birlikte farklı valens değerliklerinde bulunduğu meso-tetraferrosenil porfirindir. Böyle karışık valens türlerinin varlığı bis(siklopentadienil) demir üniteleri arasında bir elektronik etkileşime sebep olur. Ferrosen ünitelerinin eklenen bir benzen halkası ile porfirin halkasından uzaklaştırılması sonucu oluşturulan meso-tetrakis (4-ferrosenilfenil) porfirinde bütün dört ferrosenin ortak bir potansiyelde (0.54V v.s SCE) tekrar oksidasyona uğradığını göstermiştir. Kadish ve çalışma grubu ferrosen oksidasyon potansiyelinin 0.18V yarıldığını gösteren ilginç bir bis(ferrosenil) germanium oktaetilporfirin için verileri yayınladılar, fakat burada iki ferrosen ünitesi tek germanium atom ile birbirinden ayrılmıştır.

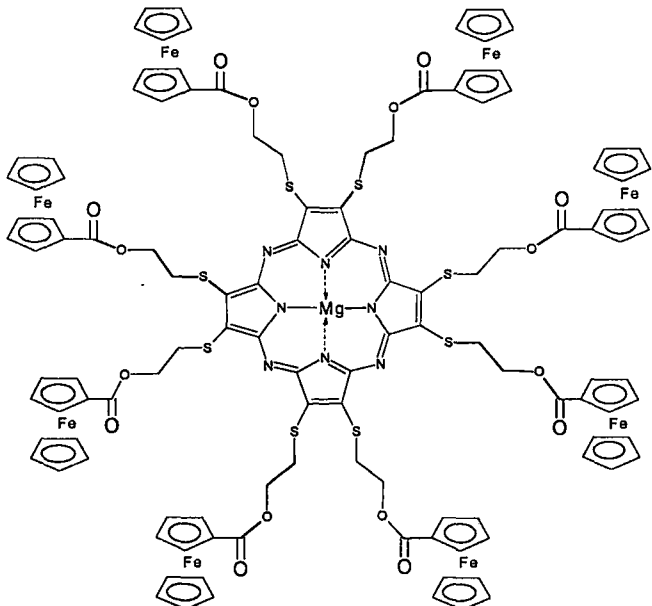
Birbirinden dört veya daha fazla atomla ayrılan ferrosen birimleri birbirini bağlayan konjuge bir grup olsa bile etkileşmemektedir. Ancak meso-tetraferrosenil porfirinde ortaya çıkan istisnai durum nedeniyle porfirazin türlerini aynı amaçla incelemenin uygun olacağı kanısına varılmıştır.

Bu çalışmanın amacı esnek zincirlerle periferal pozisyonlardan bağlanmış sekiz ferrosen grubu içeren yeni bir porfirazin yapısı hazırlamaktır.

Bu bileşik için başlangıç maddesi olarak sodyum siyanür ve karbondisülfürden iki kademe ile sentez edilen ditiyomaleonitrildisodyum tuzu seçilmiştir. Hacimli elektron donor grup olarak bilinen S-gruplarının varlığında porfirazinlerin optik özellikleri ve kimyasal kararlılıkları artırılmıştır. Maleonitrilidisodyum tuzunun 2-bromoetanol ile muamelesi sonucunda magnezyum propanol varlığında porfirazine siklotetramerizasyon için uygun bir o-dinitril bileşiği sentez edilmiştir. Bu koyu-mavi porfirazin türevi kolon kromotografisinden saflaştırılmıştır.

Bu porfirazini hedef moleküle çevirmek için ferrosenin monokarboksilik türevi hazırlanmış ve sadece disiklohezkıldıkarbodiimid varlığında sekiz -OH grubunun tamamı esterleştirilebilmiştir.

Oktakis (ferrosen) sübstitüe porfirazinato magnezyum merkezi çekirdekte farklı metal iyonları taşıyan porfirazinler hazırlamak için çok uygun bir iç ara ürünüdür. Bunun için en uygun metod trifloroasetik asit ile porfirazin çekirdeğindeki metali çıkarıp metalsiz türevine geçtikten sonra, farklı metal iyonlarını içeren türlerine



**Şema 2** Ferrosen sübstitüe porfirazin

ulaşmak için kobalt (II), çinko (II) ve bakır (II) asetatları ile reaksiyona sokmaktadır ( Şema 2 ). Bütün bu porfirazinlerin en yaygın özelliği kloroform ve diklormetan da oldukça iyi çözünebilmesidir.

Bu yeni porfirazinlerin yapıları elementel analiz, IR, NMR, kütle (mass) ve UV-görünür bölge spektrumları ile karakterize edilmiştir. IR spektrumunda alifatik ve ferrosen gruplarına ait C-H gerilme titreşimleri genellikle  $2928$  ve  $3106\text{ cm}^{-1}$  civarlarında görülmüştür. İlave olarak,  $\text{H}_2\text{Pz}_1$  için -NH gerilme titreşimleri umulduğu gibi  $3260\text{ cm}^{-1}$  de ortaya çıkmıştır.

$\text{MgPz}_1$  nin  $^1\text{H}$  NMR spektrumunda ferrosenler ( $4.05$ - $4.38$  ppm),  $\text{O}-\text{CH}_2-\text{C}$  ( $4.686$  ppm) ve  $\text{S}-\text{CH}_2-\text{C}$  ( $4.055$  ppm) için tipik kimyasal kayma değerleri gözlenmiştir. İntegral değerleri önerilen yapıya uygunluk göstermektedir.

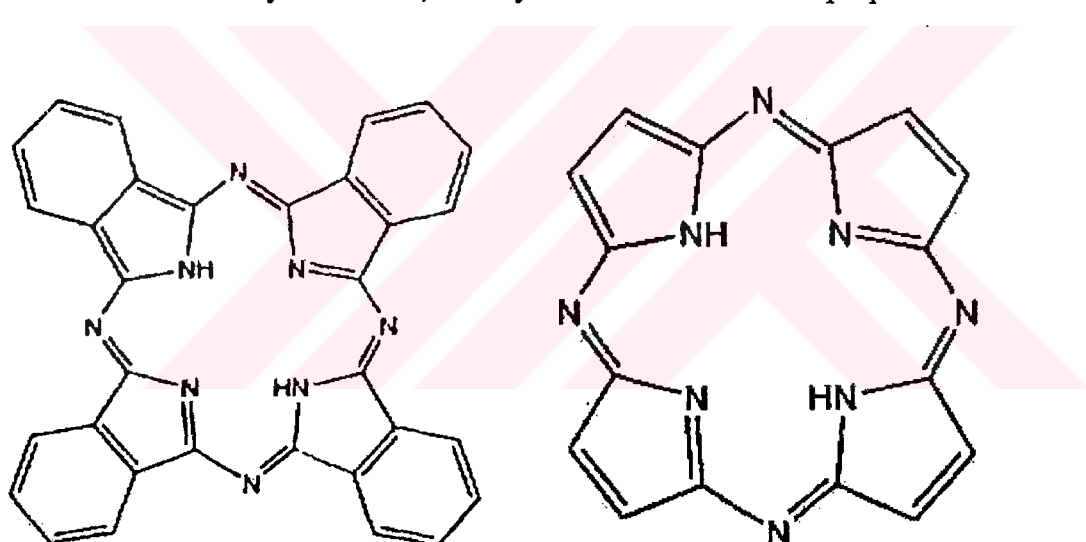
Porfirazinlerin UV-görünür bölge spektrumu yapılarını daha fazla aydınlatmadır kullanılmaktadır. Şiddetli Q absorpsiyon bandları verilen sıraya göre Mg, Co, Zn ve Cu türevleri için  $669$ ,  $641$ ,  $671$  ve  $667$  nm de gözlenmiştir.  $\text{MPz}_1$  ve  $\text{H}_2\text{Pz}_1$  arasında  $\text{D}_{4h}$  dan  $\text{D}_{2h}$  a simetri değişimi  $637$  ve  $705$  nm de Q bandlarının yarılmaması sonucunu doğurmuştur. Ferrosen gruplarının etkisiyle  $450$  nm civarında geniş bir absorpsiyon gözlenmiştir.

Periferal pozisyonlardaki ferrosen gruplarının elektrokimyasal özelliklerini siklik voltametre kullanılarak incelenmiş ve ferrosen gruplarına ait elde edilen sonuçlarda aynı potansiyelde görülen organometalik kısımların, birbirinden ve porfirazin kümelerinden yeteri kadar etkilenmediğini göstermiştir.

## FERROCENE SUBSTITUTED PORPHYRAZINES

### SUMMARY

Among the tetrapyrroles, porphyrazines have been a relatively neglected group of compounds although the synthetic procedure covering them were reported about the same decade as phthalocyanines ( Scheme 1 ). Indeed, peripherally functionalized porphyrazines have the potential to exhibit novel optical, magnetic and electronic properties; also serve intense colour of porphyrazines maintain some additional features superior to the values met in related materials. The transition metal ion in the inner core offer new ways to induce, modify and control molecular properties.



**Scheme 1** Phthalocyanine and porphyrazine

Disc-like porphyrins like phthalocyanines or tetraazaporphyrins are known to readily arrange into stacks possessing nematic or columnar order. The columns themselves can form two-dimensional superlattices or columnar mesophases, which can be macroscopically aligned in films with anisotropic properties. The columnar order provides the opportunity for one-dimensional transport processes such as energy migration, electrical conductivity or photoconductivity. On the other hand, monomeric glassy porphyrins are rarely described in the literature because of the strong tendency of the macrocycles to form ordered aggregates. However, such materials may be employed in investigating optical and photocatalytic properties.

Ferrocene units couple together when separated by a short bridge, 1-8 atoms, exhibiting a splitting of the  $\text{Fc}^{\cdot}/\text{Fc}$  redox process: however they frequently behave independently (uncoupled) at longer separations. Thus several different tris

(diferrocylbipyridyl) ruthenium species, a range of macrocyclic species with two or more pendant ferrocene moieties, and some ferrocene substituted pyridine and salicyclic acid derivatives have been reported. In these cases, all the ferrocene units oxidized at essentially the same potential: there must actually be a statistical effect which separated the individual  $E_{1/2}$  to a small degree, but this separation is not usually resolved.

An apparent exception is the *meso*- tetraferrocenylporphyrin which forms a mixed valence species with 3 Fe<sup>III</sup> and Fe<sup>II</sup> bis(cyclopentadienyl) units. The existence of such mixed valence species indicates an electronic interaction between the bis(cyclopentadienyl)iron units. Moving the ferrocene units further out from the porphyrin ring, by a conjugated benzene ring, in *meso*-tetrakis(4-ferrocenylphenyl)porphyrin led to the more common situation where all four ferrocene units were again oxidized at a common potential (at ca 0.54 V vs. CSE). Kadish *et al.* published data for an interesting bis(ferrocenyl) germanium octaethylporphyrin which does show a splitting of ferrocene oxidation potentials of 0.18 V, but in this case the two ferrocene units are bridged by a single germanium atom.

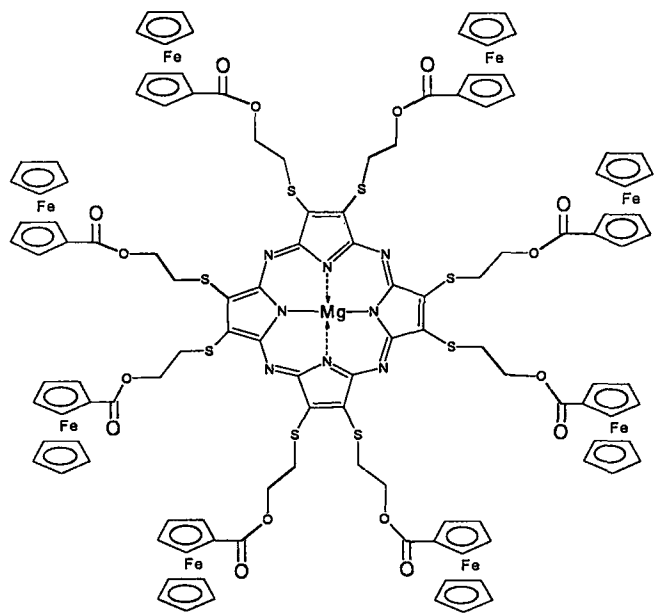
Thus, it would appear that ferrocene units at sites more than about four atoms separate from one another do not interact even when there is an apparent conjugated pathway linking them. However given the observation of an exception to the rule in the form of *meso*- tetraferrocenylporphyrin, there appeared to be merit in exploring the porphyrazine species.

In the present paper our aim has been to prepare a novel porphyrazine structure with eight ferrocene groups bound to the periphery through flexible chains.

The starting point for this compounds is disodium salt of dithiomaleonitrile which is obtained in two steps from carbon disulfide and sodium cyanide. The presence of bulky electron donating S-groups is expected to enhance the chemical stability and optical property of porphyrazines. Treatment of disodium salt of maleonitrile with 2-bromoethanol results with an o-dinitrile compound suitable for cyclotetramerization to porphyrazine in the presence of magnesium propanolate. The dark-blue crude porphyrazine derivative was recrystallized from colon chromatography.

In order to convert this porphyrazine to the target molecule, monocarboxylic acid derivative of ferrocene was used and only in the presence of dicyclohexylcarbodiimide all eight -OH groups could be esterified.

Octakis (ferrocene) substituted porphyrazinato magnesium is a very suitable intermediate to prepare porphyrazines with different metal ions in the core. The usual method of treatment with trifluoro acetic acid led to metal free derivative, which was further reacted with cobalt(II), zinc(II) and copper(II) acetate to reach products



**Scheme 2** Ferrocene substituted porphyrazine ( MgPz<sub>1</sub> )

containing either of these metal ions in the porphyrazine core ( Scheme 2 ). A common property of all these porphyrazines is the ease of solubility in chloroform, dichlormethan.

These novel compounds are characterized by elemental analysis IR, NMR mass and UV-vis spectral data. In the IR spectra, C-H stretching vibrations of aliphatic and ferrocene groups appear around 2928 and 3106 cm<sup>-1</sup>, respectively. In addition, for H<sub>2</sub>Pz<sub>1</sub> -NH stretching vibrations come out at 3260 cm<sup>-1</sup> as expected.

<sup>1</sup>H NMR spectrum of MgPz<sub>1</sub> is relatively simple with typical chemical shift values for ferrocenes (4.05-4.38 ppm), O-CH<sub>2</sub>-C (4.686 ppm) and S-CH<sub>2</sub>-C (4.055 ppm). The integral values also confirm the proposed structure.

UV-vis spectra of porhyrazines provide further evidence. Intence Q absorption bands appear at 669, 641, 671 and 667 nm for Mg, Co, Zn and Cu derivative, respectively. B bands appear near uv region between 345-378 nm. The change of symmetry from D<sub>4h</sub> to D<sub>2h</sub> between MPz<sub>1</sub> and H<sub>2</sub>Pz<sub>1</sub> result with the splitting of Q bands in the latter at 637 and 705 nm. The consequence of ferrocene groups is a broad absorption around 450 nm.

The electrochemical behaviour of ferrocene groups on the periphery has been investigated by cyclic voltammetry and the immediate result is that all ferrocene groups are reduced simultaneously at the some potential indicating that the organometallic moieties are sufficiently aport from the porphyrazine core and from each other.

## 1. GİRİŞ

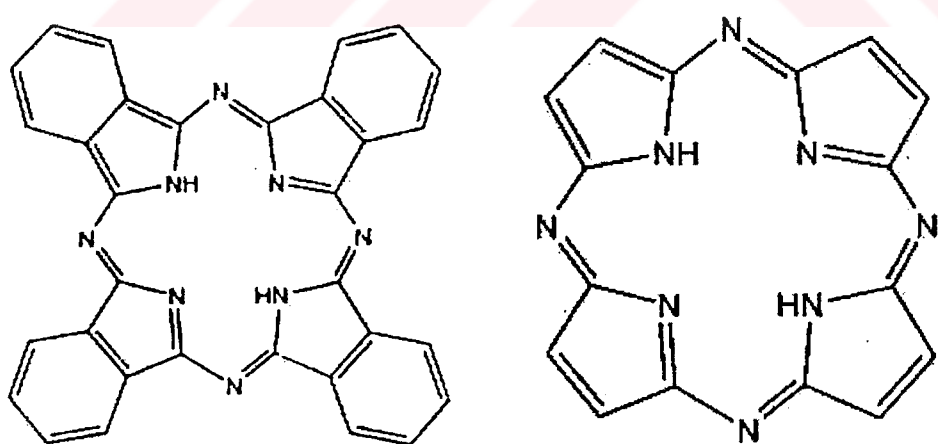
Biyokimyasal yönü ayrıntılı olarak incelenen porfirinler ile boyalar ve pigment dışında değişik teknolojik uygulamaları açısından ele alınan ftalosiyaninerin aksine, tetrabenzenoporfirinler ve porfirazinler üzerindeki çalışmalar daha sınırlıdır. Son yıllarda gerek sentez yöntemlerinde kolaylık, gerekse pek çok özellikleri açısından ftalosiyaninerlere benzerlikleri oktatiyo-porfirazinleri gündeme getirmiştir ve artan sayıda makalelerin konusu olmaya başlamıştır.

Tetrapirolo türevi makrosiklik bileşikler kararlı yapıları ve konjugel  $\pi$  elektron sistemleri ile katalitik fonksiyon göstermeye yatkın bileşiklerdir ve bu açıdan ftalosiyaniner teknik uygulama alanlarına girmiştir. Atık sulardaki merkaptan ve fenol bileşiklerinin oksidasyonu, petrolde kükürt giderme ve benzinin oktan sayısını artırma gibi amaçlarla kullanılmaktadır. Ayrıca fotokatalitik etki ile suyun O<sub>2</sub> ve H<sub>2</sub>'ye ayrıştırılması, CO<sub>2</sub>'in metanol ve diğer bazı organik bileşiklere indirgenmesi gibi temiz enerji elde edilmesinde en kritik noktalarda ftalosiyaniner kullanılmaya başlanmıştır ve başarılı sonuçlar alınmıştır. Öte yandan organometal benzeri moleküller 1960'lardan beri elektrokimyasal karakterizasyonda, uygun malzeme ve çözücü olarak kullanılmaktadır. Demir porfirinler, elektron transferi şeklinde enzimlerde kofaktör olarak ve oksijen bağlayıcı proteinlerde (hemoglobin ve miyoglobin) kritik komponent olarak önemlidir ve vitamin B<sub>12</sub> de kobalt porfirin karbon-transfer fonksiyonları için gereklidir. 15 yıl boyunca elektron transfer prosesleri ve termodinamiği hakkında (aksiyel gruplu veya aksiyel grupsuz) birçok güvenilir kaynağa rastlanmıştır, fakat sistematik karşılaştırmalar, porfirin, solvent-çözelti koşulları ve elektrod materyalindeki varyasyonlar açısından yapılamamıştır.

Bu çalışmada kimyasal özellikleri açısından ftalosiyaninerlere son derece benzeyen ve daha iyi çözünme ve daha kolay sentez edilebilme gibi üstünlükleri bulunan oktatiyoporfirazinlerin organometalik gruplar taşıyan türevlerinin sentezi ve elektrokimyasal özelliklerinin incelenmesi hedeflenmektedir.

## 2. GENEL BİLGİLER

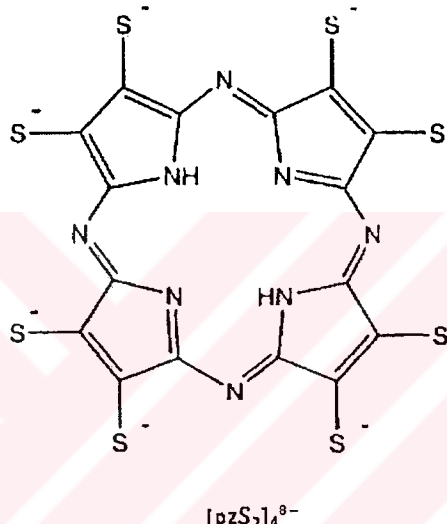
Tetrapirolik makrosiklik halka sistemlerinin iki ana yapısı porfirazinlerle ftalosiyanineri içeren tetraazaporfirinler ve porfirinlerdir [1-2]. Porfirinler ve ftalosiyaniner oldukça iyi çalışmalarına rağmen porfirazinler elli yıl önce ilk sentez edildikleri tarihten beri daha az çalışılan grup olmuşlardır. Cözünür türevlerinin son zamanlarda etkin bir şekilde sentez edilmesi ile, porfirazinlerin yapı türevleri ehemmiyet kazanmaya başladı. Porfirinler, ftalosiyaniner ve porfirazinler merkezi kavitelerinin içinde çok sayıdaki metal iyonlarını koordine edebilirler. Tetraazaporfirinlerin porfirinlerden farkı, meso-pozisyonundaki azotun makrohalkanın elektronik karakterlerini değiştirmesidir. Ftalosiyaninerin ve porfirazinlerin elektronik karakteri ve geniş  $\pi$ -sistemi periferal metal koordinasyonu ile birleştirildiği zaman oluşan yeni yapılar, spektroskopik, magnetik ve elektronik özellikleri ile çok metalli komplekslerin geniş bir çeşidinin hazırlanmasını sağlamıştır ( Şekil 2.1 ).



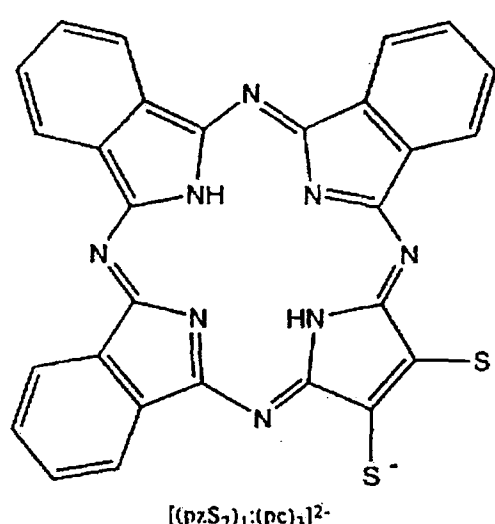
Şekil 2.1 Ftalosiyanin ve porfirazin

Hoffman ve Barrett grupları, porfirazinin makrosiklik çekirdeğine doğrudan bağlı heteroatomları içeren çeşitli porfirazin türevlerinin sentezi ve karakterize edilmesi üzerine çok sayıda çalışmayı başarmışlardır [3-31]. Bu çalışmalar porfirazinoktatiolat

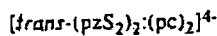
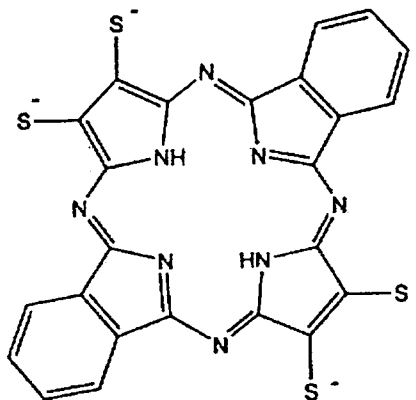
$[\text{pzS}_2]_4^{8-}$ , tiolat  $[(\text{pzS}_2)_1 : (\text{pc})_3]^{2-}$  ve iki tetratiolate trans- $[(\text{pzS}_2)_2 : (\text{pc})_2]^{4-}$  ve cis- $[(\text{pzS}_2)_2 : (\text{pc})_2]^{4-}$  ile örneklendirilmiştir. Bu porfirazinler hem periferal bağlı ligandlar vasıtası ile, hem de makrosiklik kaviteleri içinden metal atomlarını bağlaması sayesinde koordinasyon kimyasına olağan dışı örnekler oluştururlar. Metal iyonunun ya iki dişli  $\text{S}-\text{CH}=\text{CH}-\text{S}$  ünitelerine yada  $\text{S}-\text{N}-\text{S}$  birimleri üzerinden meso-cep bağlanması yolunda olduğu açıkça görülmektedir. İlaveten elektronca zengin bu tür porfirazinler olağanüstü UV-görünür bölge spektrumları, elektrokimya, magnetik özellikler vs. gösterirler (Şekil 2.2-4).



Şekil 2.2 Porfirazinoktatiyolat ( $[\text{pzS}_2]_4^{8-}$ )

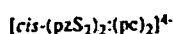
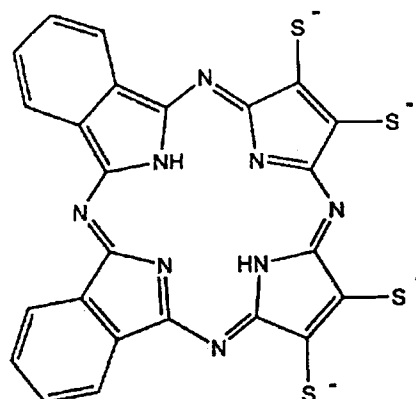


Şekil 2.3 Porfirazinditiyolat ( $[(\text{pzS}_2)_1 : (\text{pc})_3]^{2-}$ )

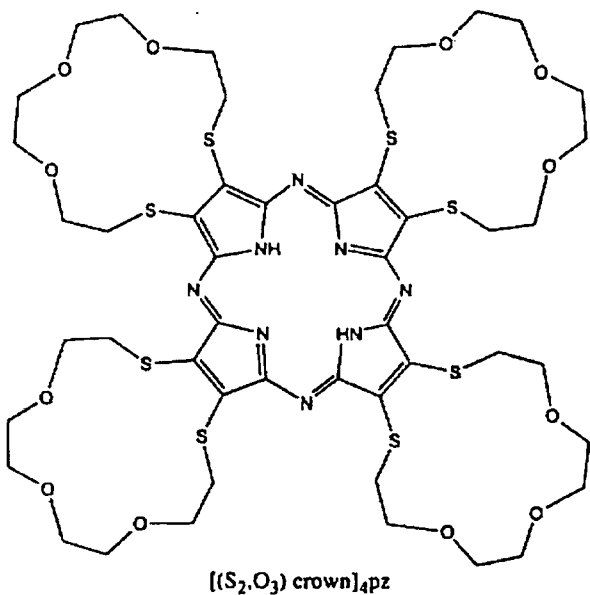


**Şekil 2.4** Porfirazin trans-tetratiyolat  $([\text{trans-}(\text{pzS}_2)_2:(\text{pc})_2]^{4-})$

Ftalosiyantan-taç eter türevleri çok iyi karakterize edilmiş bileşiklerdir [32]. Taç eter-porfirazin sistemleri üzerindeki ilk çalışmalar Imperial Kolej ve Northwestern Üniversitelerinde gerçekleştirilmiş, daha sonra Hollanda da Nolte ve çalışma grubu bu tür bileşikler üzerinde yoğun çalışmalar yapmıştır.  $[(\text{S}_2, \text{O}_3 \text{ crown})_4 \text{ pz}]$  şeklinde kısaca gösterebileceğimiz bu tür bileşikler, zengin ve çeşitli koordinasyon kimyası göstermiştir. Birleşik haldeki ftalosiyantan-taç eter sistemlerinden belirgin farkı,  $[(\text{S}_2, \text{O}_3 \text{ crown})_4 \text{ pz}]$  deki taç eter gruplarına metal iyonu koordinasyonunun UV-görünür bölge spektrumları ve diğer özellikleri üzerinde derin etkisidir ki, burada taç eter kükürt donorları merkezi makrosiklik kromor ile doğrudan elektronik temas halindedir (Şekil 2.5-6).



**Şekil 2.5** Porfirazin cis-tetratiyolat  $[\text{cis-}(\text{pzS}_2)_2:(\text{pc})_2]^{4-}$

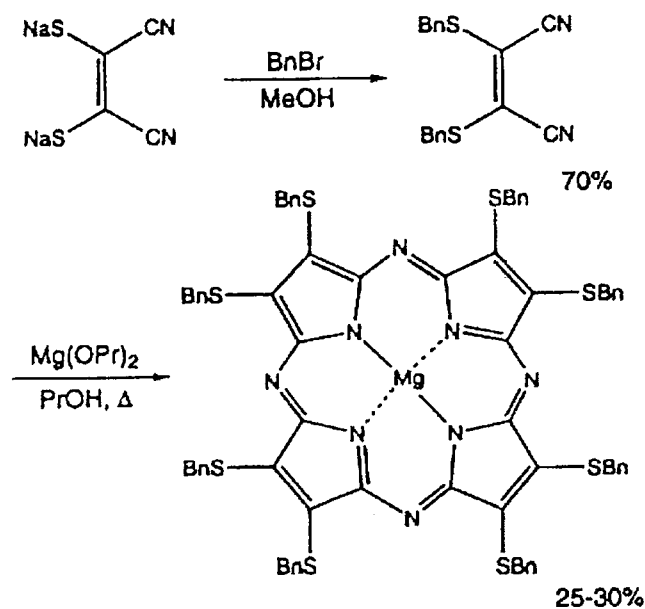


**Şekil 2.6** Taç eter sübstitüte porfirazin ( $[(S_2O_3 \text{ crown})_4 \text{pz}]$ )

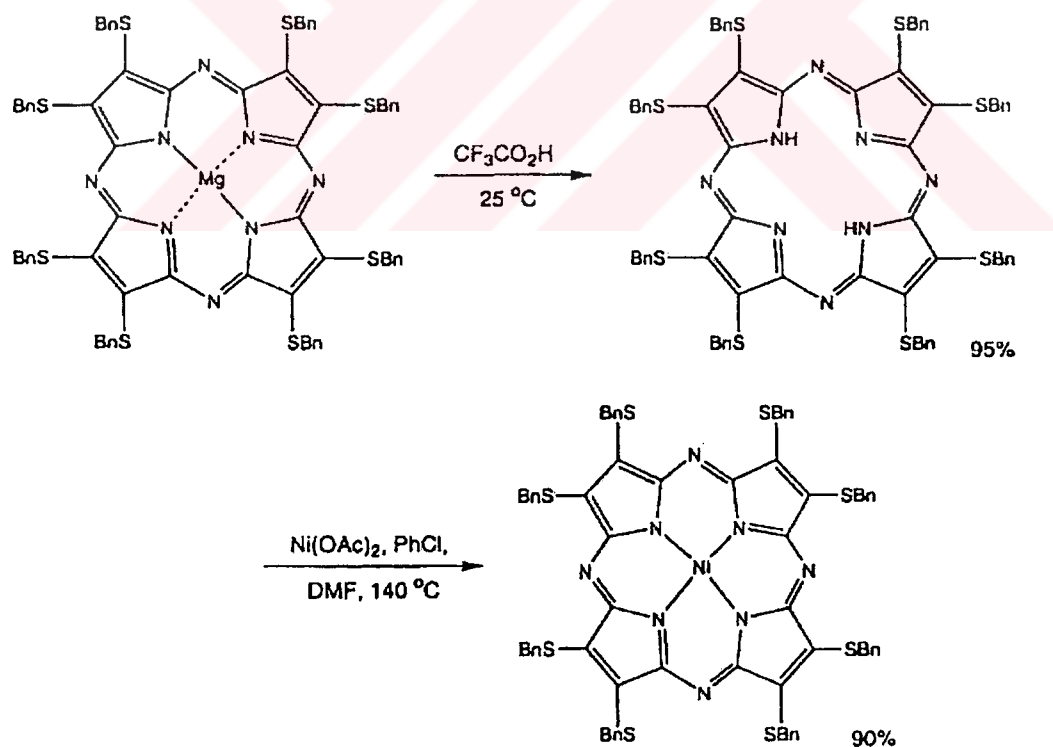
## 2.1. Porfirazin ligandlarının sentezi

Bütün porfirazinler Linstead yöntemine göre bir alkolde geri soğutucu altında kaynatılarak, makrosiklizasyon reaksiyonu için magnezyum alkoksid ile heteroatom sübstitüte edilmiş maleonitrillerin bir araya getirilmesi suretiyle hazırlanmıştır. Bu reaksiyonlara örnek olarak 2,3-dimerkapto-, 2,3-diamino ve 2,3-dihidroksi-maleonitril türevlerinin porfirazin-oktatiollere, -oktaaminlere ve -oktaollere dönüşümü gösterilebilir. Her birinde template etkisi nedeniyle kullanılan magnezyum iyonu asidik şartlar altında uzaklaştırılmış ve Ni(II) veya Zn(II) gibi diamagnetik iyonlar ile veya Cu(II) veya Mn(III) gibi paramagnetik iyonlar yerleştirilmiştir. Oktatiol sistemlerinde, merkapto grubu benzil veya sübstitüte benzil türevleri halinde uygun bir şekilde tamamen korunmuştur. Porfirazinoktaol türevlerinin hazırlanmasında Ley dispoke koruma yöntemi etkin şekilde kullanılırken, amin türevlerinin hazırlanmasında amin üzerinde farklı gruplar taşıyan başlangıç maddeleri  $[R^1R^2N]$  ( $R^1R^2N = NMe_2, NMeBn, NMeCH_2\text{-pridil, vb.}$ ) başarılı bir şekilde uygulanmıştır [33-37]. İfade edilmeli ki, bu sentezler porfirin/ftalasiyanin/porfirazin sınıflarına ait homoçiral koordinasyon komplekslerinin açıklanması için en öz yöntemleri oluşturmaktadır. Aşağıda gösterildiği gibi, Mg iyonu çıkarılmasını takiben tetra-dispoke porfirazinoktaol

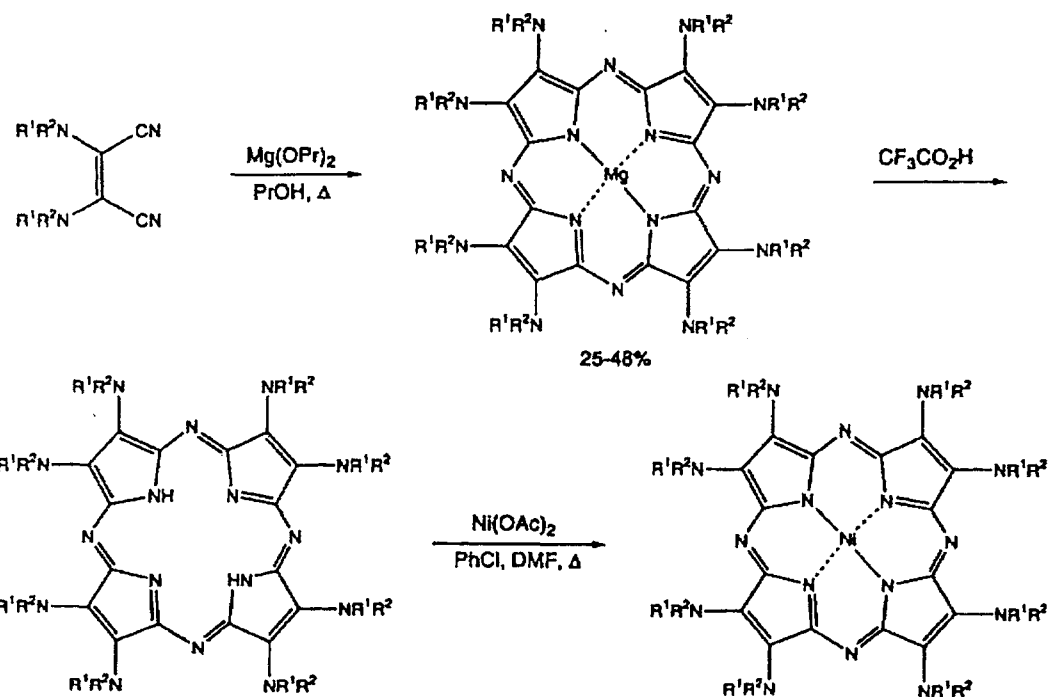
anabileşiginin X-ışını kristal yapısı, bu heterosikliklerin doğal çiralitelerini açıkça göstermektedir (Şekil 2.6-10).



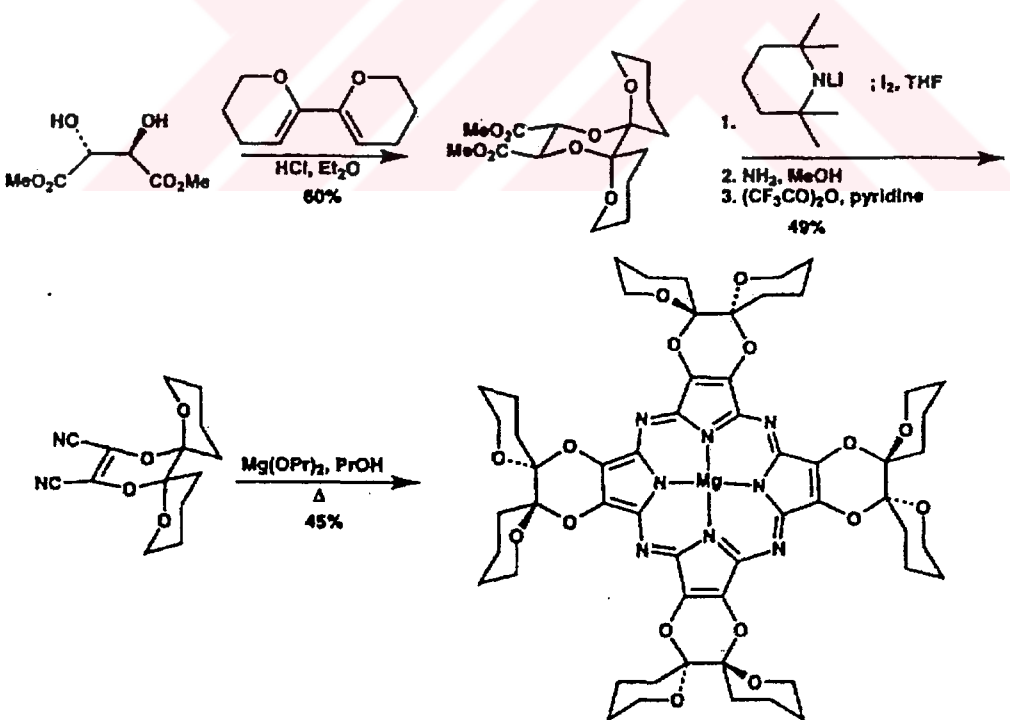
Şekil 2.7 Oktakis (benziltiyolat) sübstitüe Mg porfrazin sentezi



Şekil 2.8 Benziltiyolat sübstitüe metalsiz ve nikel porfrazin sentezi

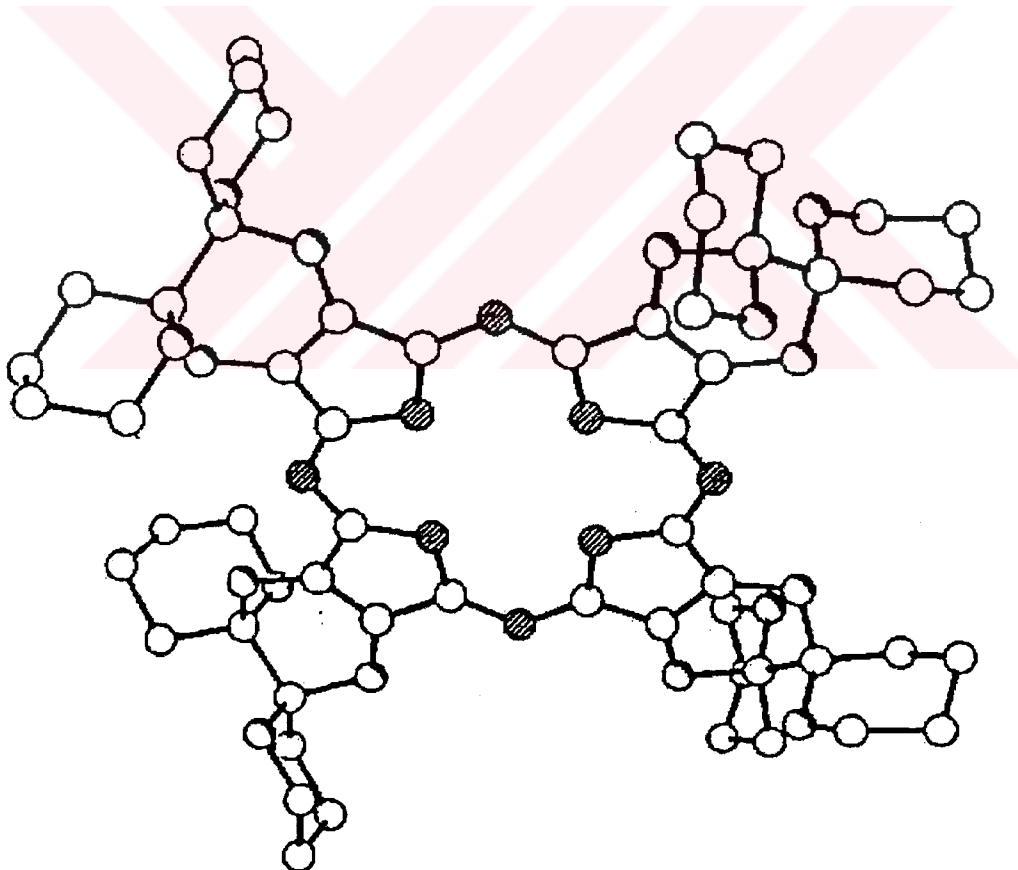


Şekil 2.9 Alkil sübstitüe Mg, metalsiz ve Ni porfrazin oktaaminlerin sentezi

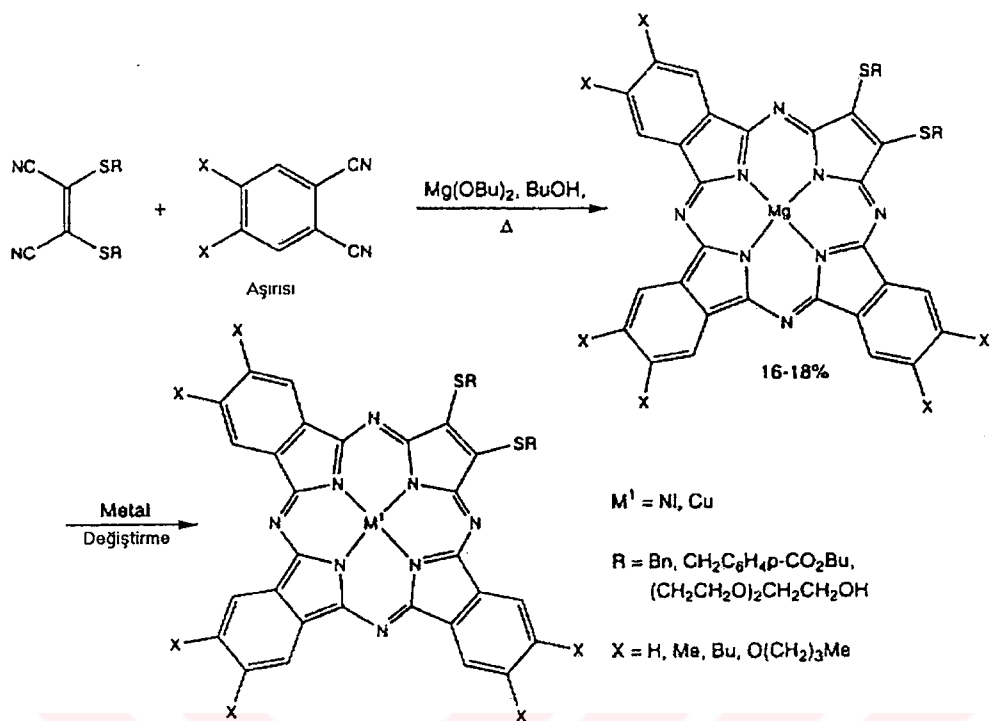


Şekil 2.10 Porphrazin-oktaollerin sentezi

8 yerine 2,4 veya 6 heteroatom taşıyan porfirazinlerin elde edilmesi için Linstead makrosiklizasyonunu uyarlamak mümkündür. Bu şartlarda, iki nitrilin karışımından magnezyum bütoksit etkisiyle bütün mümkün porfirazinlerin bir karışımını üretmek mümkün olmuştur. Tabiki istatiksel bir karışımından makrosiklizasyon ürünlerini saflaştırma esnasında sıkıntı ve zorluklar yaşanmaktadır. Bunları en aza indirmek için çeşitli çalışmalar devam etmektedir. Örneğin, porfirazinditiol türevleri, sübstitüe disiyanobenzen aşırısı ile bir 2,3-dimerkapto-maleonitril karışımının makrosiklizasyonundan kolayca izole edilmiştir. Bu olayda saflaştırma, ftalosiyanyanının çözünmeyen bir ürün olmasına ve X ile ve tiolü koruyan R grubunun seçilmesinde gösterilecek özene bağlı olacaktır. Aynı şekilde, koruyucu grup bağlanmış bir dimerkapto-maleonitril ile bir diiminopirolinin Linstead makrosiklizasyonundan, porfirazinditiol türevleri elde edilmesi basit bir uygulamadır (Şekil 2.11-12 ).

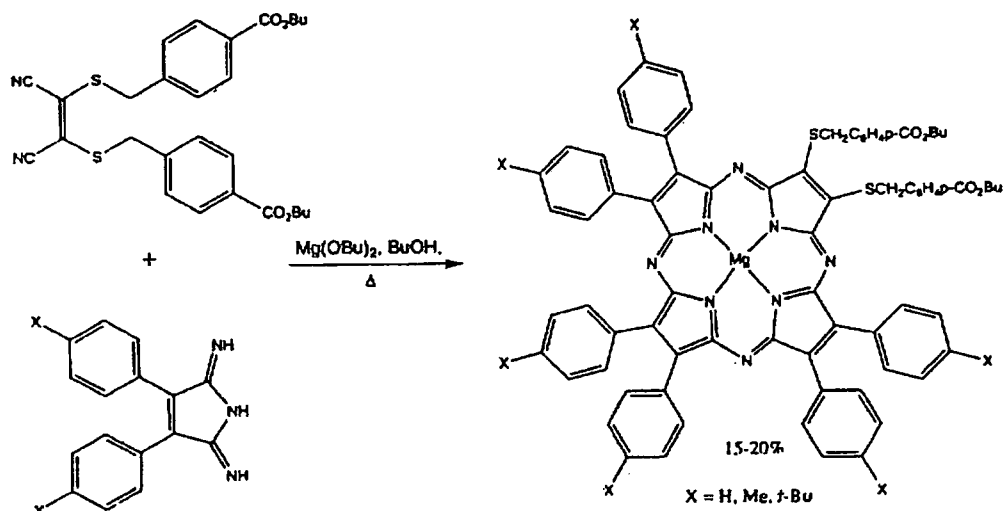


**Şekil 2.11** Tetra-dispoke porfirazinoktaol'ün X-ışını kristal yapısı

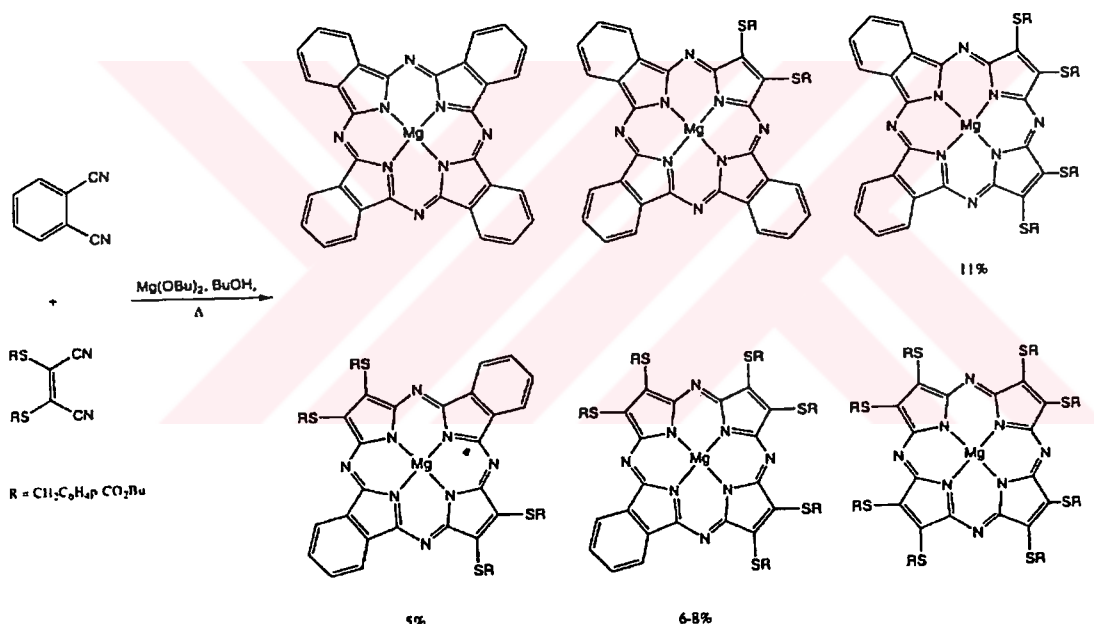


**Şekil 2.12** Dialkiliyo sübstitüe asimetrik porfirazin türevlerinin sentezi

Bir 2,3-dimerkaptomaleonitril türevi ile bir ftalonitrilin ekivalenrt oranlardaki çapraz makrosiklizasyonu sonucu 6 makrosiklik bileşigin bir karışımı halinde ürün sentez edilir. para -[(bütiloksi) karbonil] benzil koruyucusunun kullanılması kromotografik ayrimın gerçekleştirilebilmesi için hayatı öneme haizdir, çünkü aynı konumdaki benzil türevlerinden daha polardır. Bu yöntemle  $S_6$  sistemleri ile cis- ve trans-porfirazin tetratiol sistemlerini karakterize ve izole etmek mümkün olmuştur. Bütün bu çapraz makrosiklizasyon uygulamaları  $N_2$ , cis- $N_4$ , trans- $N_4$ ,  $N_6$ ,  $O_2$  cis- $O_4$ , trans- $O_4$  ve  $O_6$  sistemlerinin sentezleri için uygulanmıştır. Sübstitüe maleonitriller ile 4,7-di-isopropoksi-1,3-dimino-isoindolin'inin makrosiklizasyonu porfirazin-tetratiol,

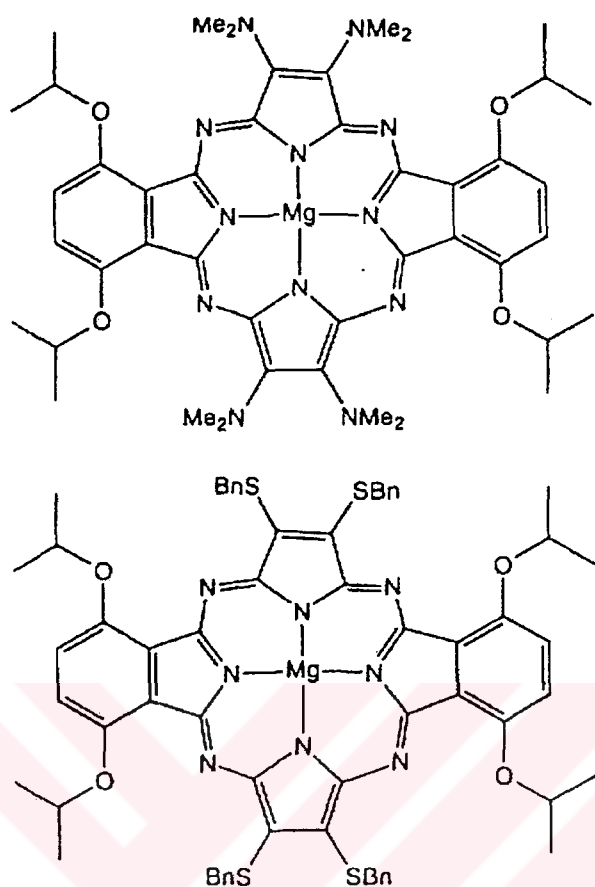


Şekil 2.13 Para-[(bütiloksi)karbonil] benzil sübstitüe Mg porfirazin ditiol sentezi

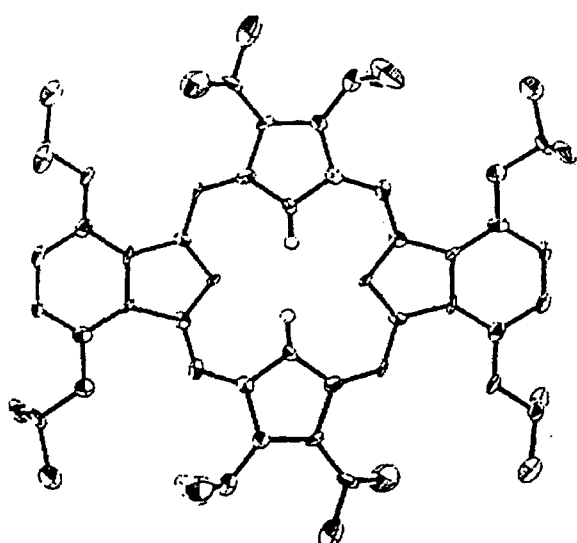


Şekil 2.14 2,3-bis(alkiltiyo) maleonitril türevi ile ftalonitril'in çapraz makrosiklizasyon reaksiyonu

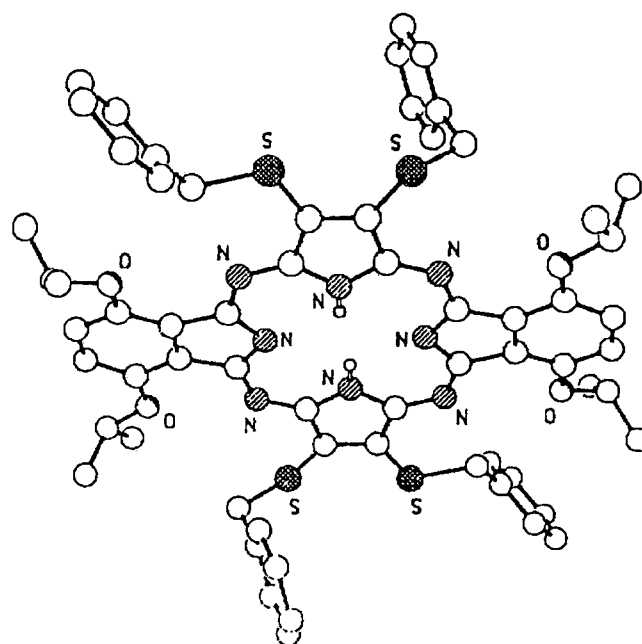
-tetraamin ve -tetraol türevlerini içeren, trans-porfirazinlerin ayrıntılı bir şekilde incelenmesinde özellikle etkili olmuştur. Muhtemelen izo-propoksi gruplarından kaynaklanan sterik engellemeler, tekabül eden cis-izomerlerinin oluşumunu önlemiştir. Metodun etkinliği, dispoke korunmuş porfirazin tetraol sisteminin hazırlanmasında dikkate değer katkılarıyla bir kere daha ispatlanmıştır. Trans-yapıda makrosiklizasyon oluştugu iki X-işını kristalografik çalışması ile kanıtlanmıştır (Şekil 2.13-18).



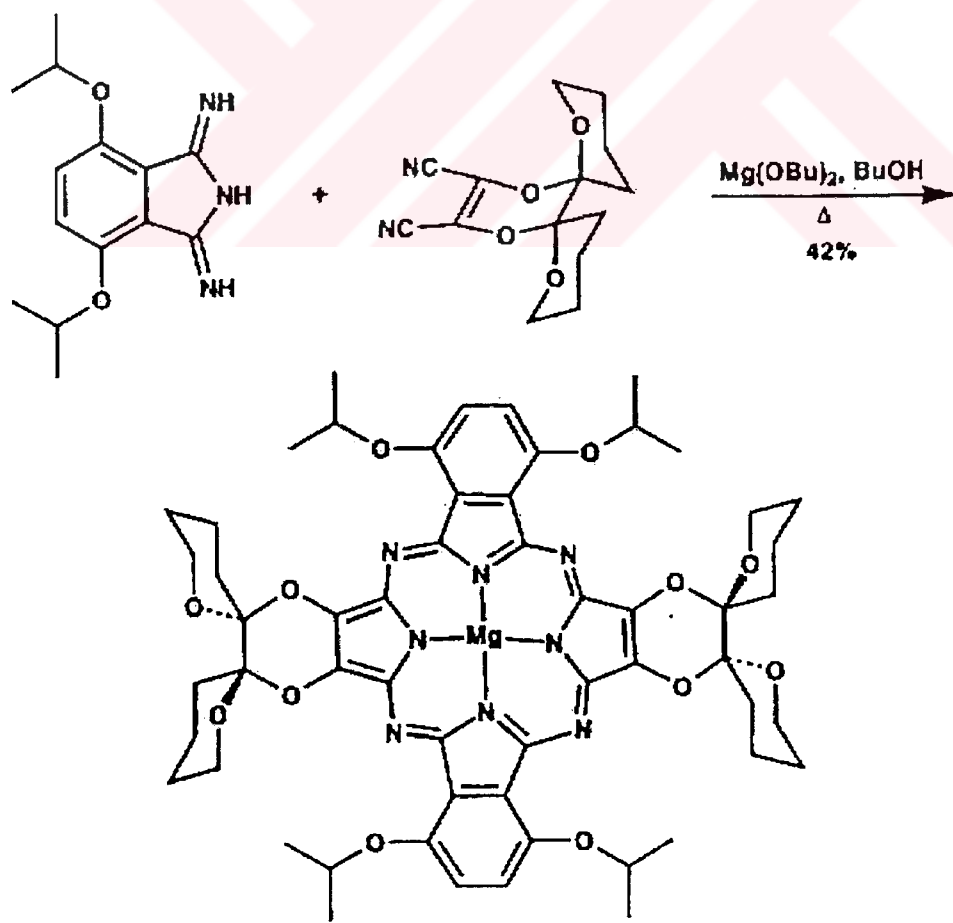
**Şekil 2.15** Sübstitüe maleonitriller ile 4,7-di isopropoksi-1,3-diimino-isoindolin'inin makrosiklizasyon reaksiyonu



**Şekil 2.16** Trans dimetilamino (isopropoksi porfirazin) ftalosiyantanın hibridinin ORTEP diyagramı



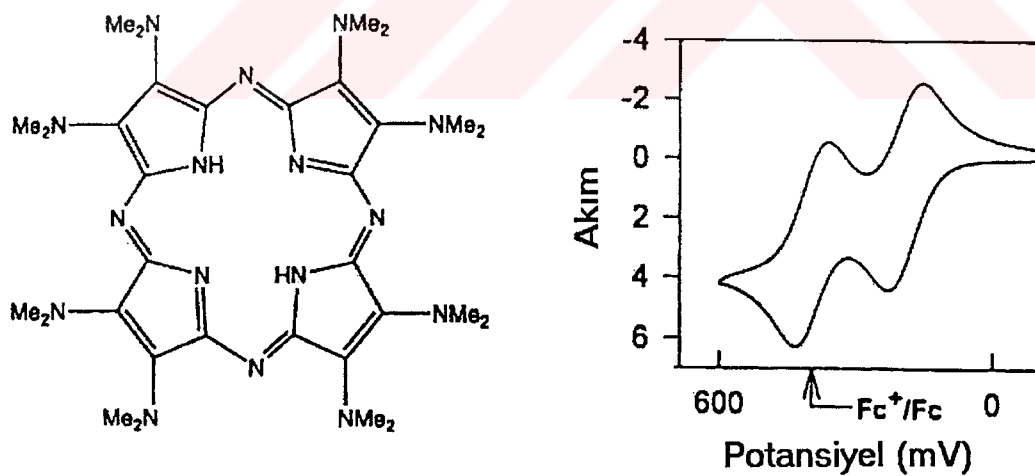
Şekil 2.17 Trans yapıdaki porfirazin/ftalosianin hibridinin X-ışını kristal yapısı



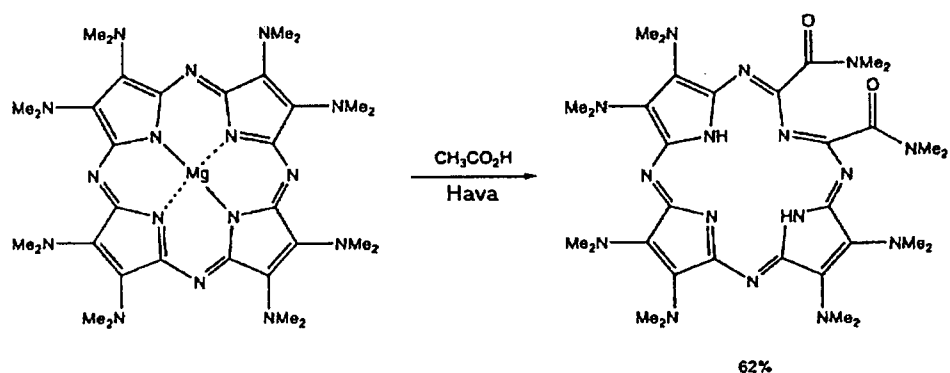
Şekil 2.18 Trans yapıdaki porfirazin-ftalosianin tetraol türevinin sentezi

## 2.2. Heteroatom sübstítüe porfirazinlerin özellikleri

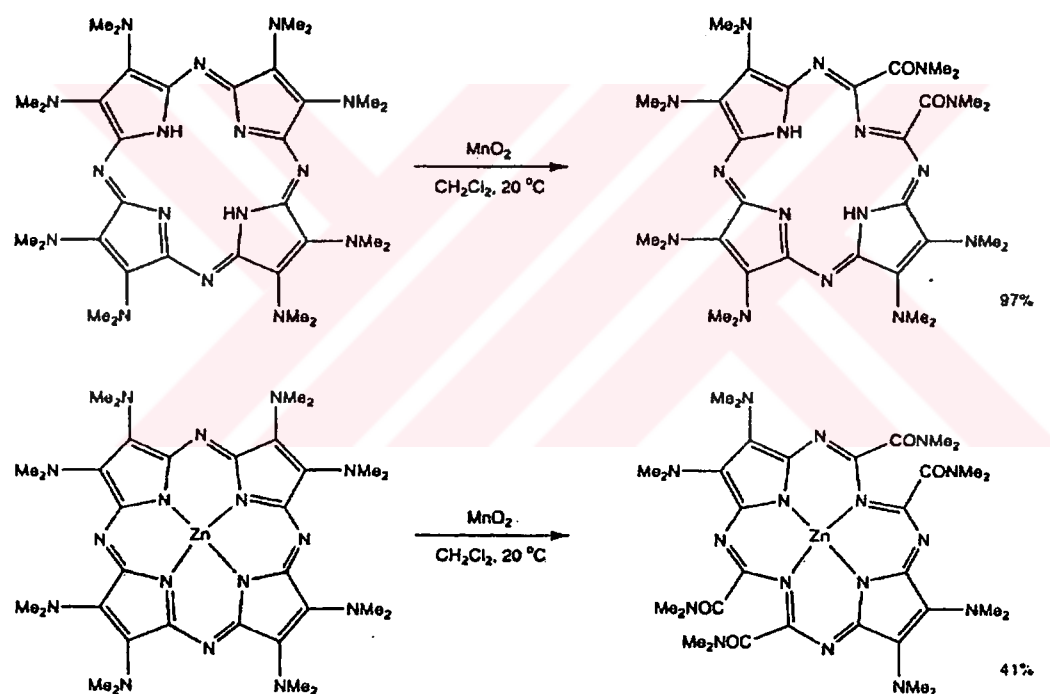
Genelde ftalosianinler, konsantrasyonlu sülfürik asit istisna olmak üzere, birçok solventte düşük çözünürlüğü olan kararlı bir bileşiktir. Porphirazinler, özellikle periferal pozisyonlarda sübstítüe olduğu zaman muhtelif solventlerde oldukça iyi çözünürler. Örneğin, oktakis (dimetil-amino) porfirazin hekzandan metanole kadar bütün yaygın çözücülerde çok iyi çözünür. Hidroksialkil zincirleri içeren porfirazinler ise suda bile çözünür. Oktakis (dimetil-amino) porfirazin elektronca çok zengindir: siklik voltametre yardımıyla bu pigmentin ferrosenin ferrosonium katyonuna oksidasyonundan daha kolay okside olduğu gösterilmiştir. Böyle iken, bu bileşik ya asidik şartlar altında hava ile yada mangandioksit ile seco-porfirazine okside olabilir. Bu maddenin yapısı bir X-ışını kristalografisi çalışması ile açıkça aydınlatılmıştır. Oktakis (dimetil-amino) porfirazinato çinko (II)'nin mangandioksit ile oksidasyonu, reaksiyonun stokiyometrisine bağlı olarak ya seco- ya da trans-diseco porfirazinleri verdi. Bir  $\text{Me}_2\text{NC}=\text{CNMe}_2$  ünitesinin kopması şeklinde gözlenen bu oksidasyon hekzapropil (dimetil-amino) porfirazinato çinko (II) için de tesbit edilmiştir. Bir X-ışını kristalografi çalışması, çinko'nun aksiyel koordinasyon köprüsü ile bir dimer oluşturduğunu göstermiştir (Şekil 2.19-23).



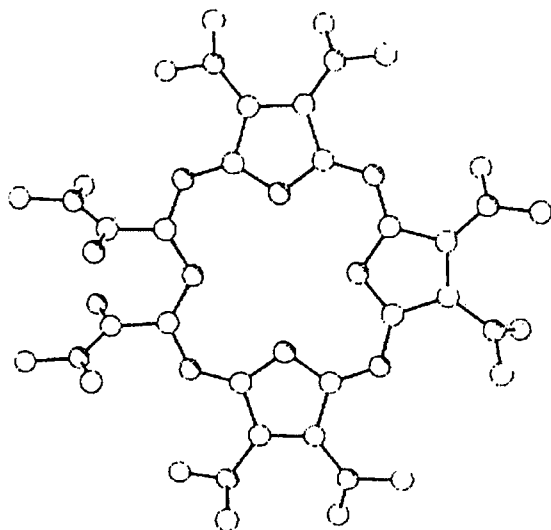
Şekil 2.19 Oktakis (dimetilamino) porfirazin ve bu bileşiğin siklik voltamgramı



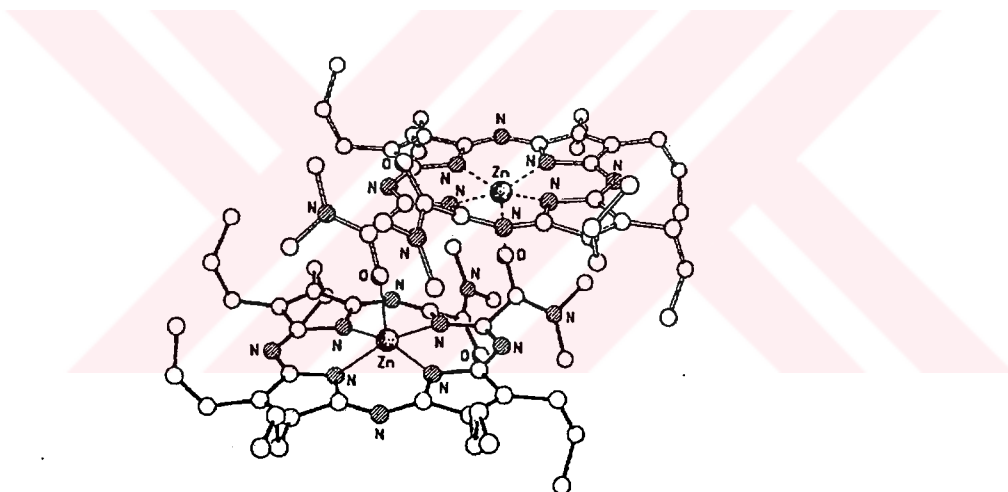
**Şekil 2.20** Oktakis (dimetilamino) porfirazinin hava ile seco-porfirazine yükseltgenmesi



**Şekil 2.21** Oktakis (dimetilamino) porfirazinin  $MnO_2$  ile seco-porfirazine yükseltgenmesi

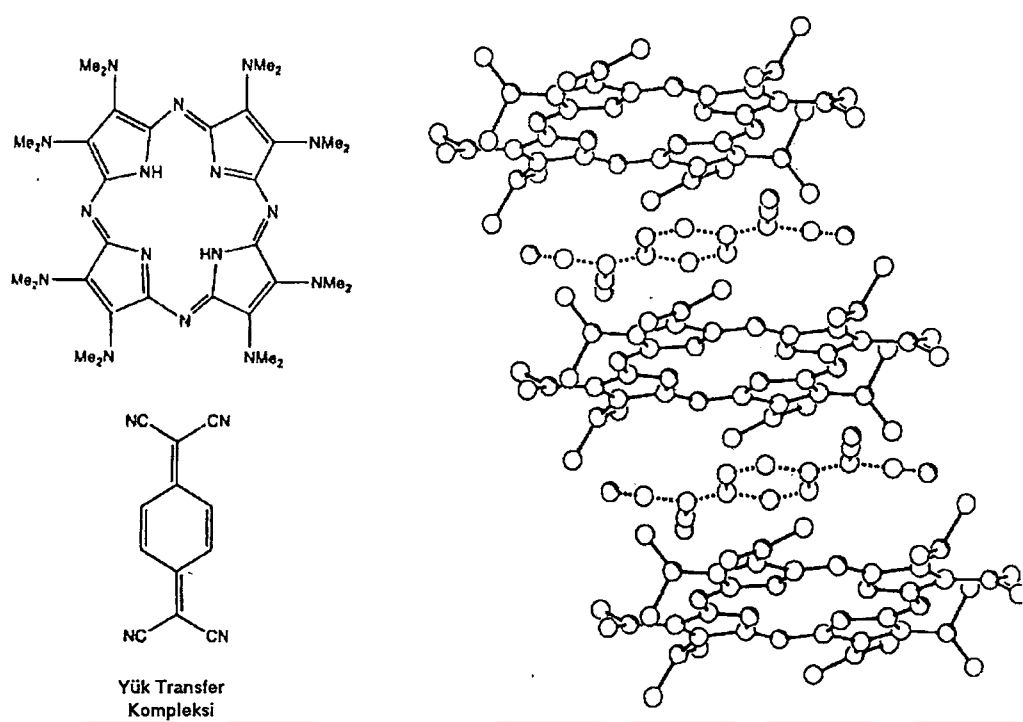


**Şekil 2.22** Oktakis (dimetilamino) seco-porfirazinin ORTEP diyagramı

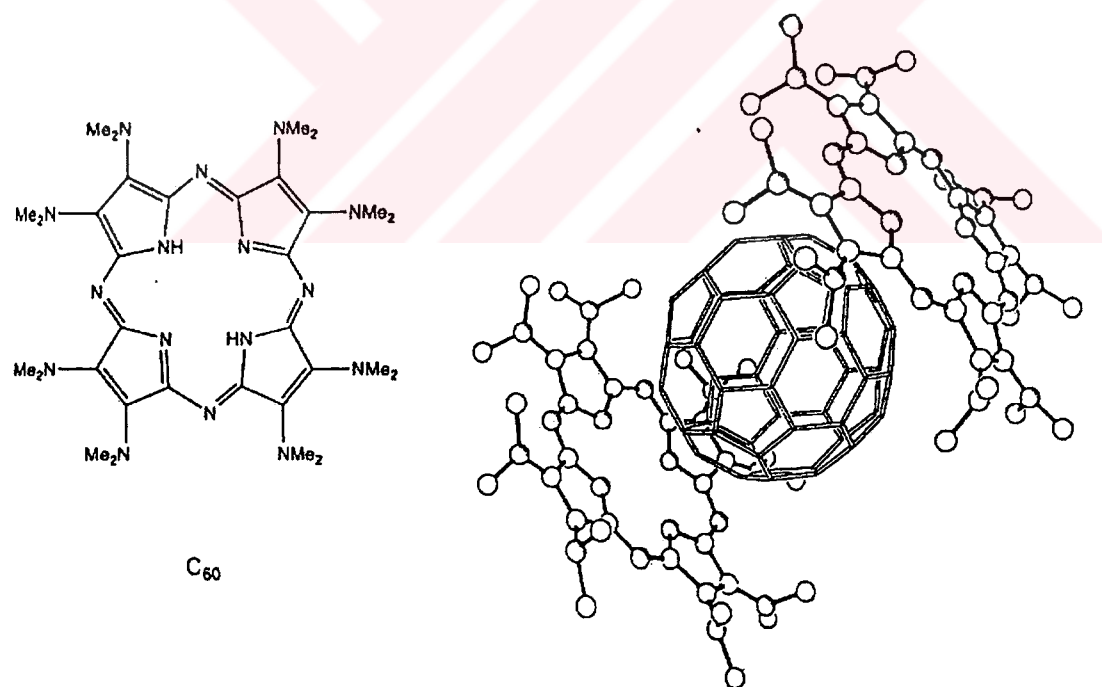


**Şekil 2.23** Hekzapropil (dimetilamino) porfirazinato çinko (II)'nin aksiyel koordinasyon köprüsü ile bir dimer oluşturduğunu gösteren X-ışını kristal yapısı

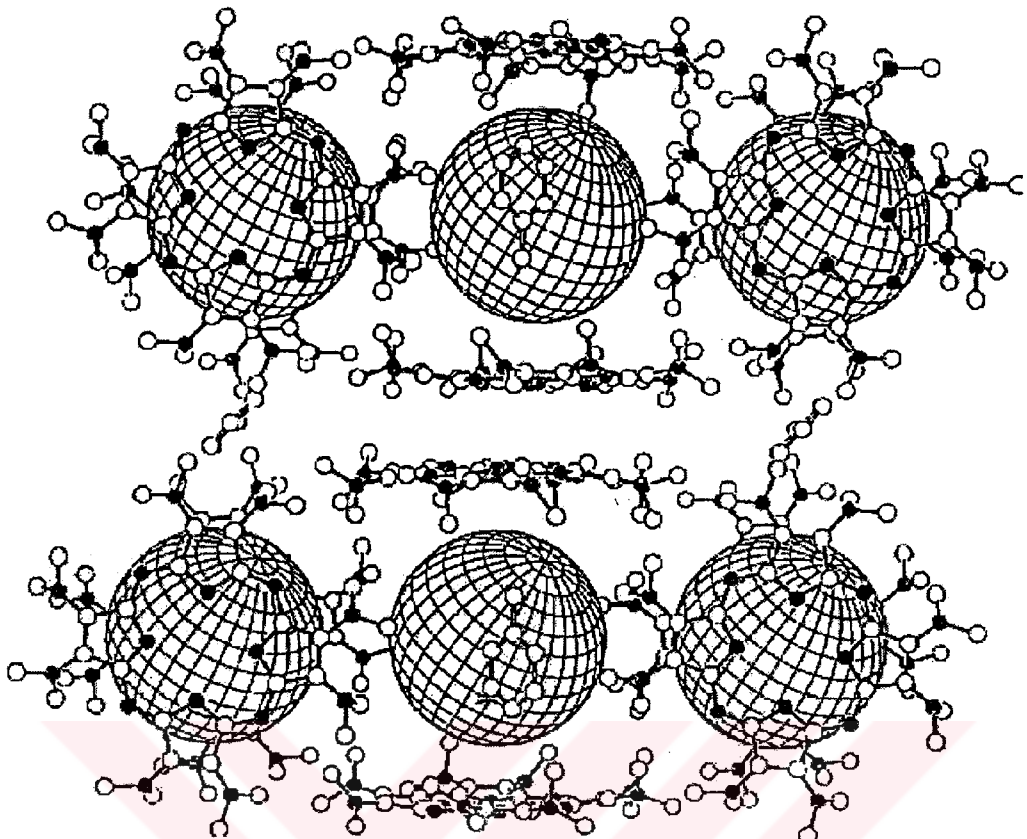
Önceden açıklandığı gibi, oktakis (dimetil amino) porfirazin elektronca zengin bir pigmenttir. IR spektroskopisi ve X-ışını kristalografisi ile yapıları kesin bir şekilde ortaya konulmuş TCNQ ile oluşturdukları katılma bileşikleri 1:1 yük transfer kompleksi yapısındadır. Oktaamine ilaveten bir toluen solvatı gibi C<sub>60</sub> ile 2:1 kompleks meydana getirmiştir. Bu kompleksin yapısı X-ışını kristalografî çalışması ile tamamen ispat edilmiş ve makrohalkaların fulleren kärelerini sararken düzlemsel yapıdan sapma gösterdiğini belirlemiştir ( Şekil 2.24-26 ).



**Şekil 2.24** Oktakis (dimetilamino) porfirazinin TCNQ ile yük-transfer kompleksi



**Şekil 2.25** Oktakis (dimetilamino) porfirazinin fulleren ile kompleksi

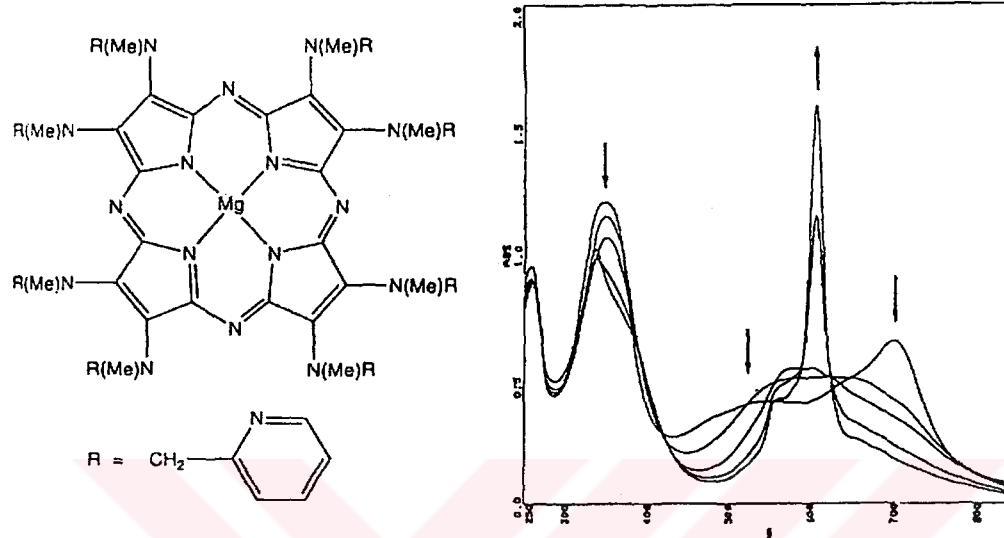


**Şekil 2.26** Oktakis (dimetilamino) porfirazinin fulleren ile verdiği kompleksin X-ışını kristal yapısı

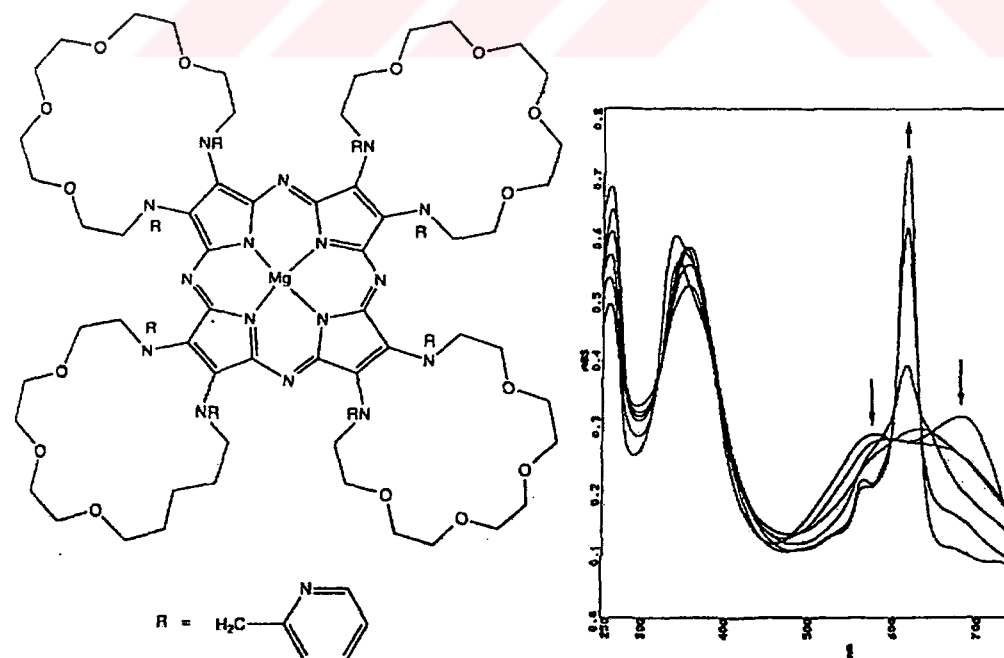
### 2.3 Heteroatom sübstitüe porfirazinlerin periferal metal iyon kompleksleri

Giriş kısmında bahsedildiği gibi periferal heteroatom taşıyan porfirazinler de makrosiklik kaviti içinde tutulan metale ilave olarak, üstünde metal iyonları bağlayabilir. Heteroatomlar aromatik  $\pi$ -sistemi ile doğrudan elektronik temasta olduklarından UV-görünür bölge spektrumundaki değişiklikler vasıtası ile kolayca anlaşılmalıdır. Örneğin, 8 tane N-metil-N-2-pridil metil grubu içeren porfirazinin Co(II), Cu(II) ve Zn(II) ile periferal donor gruplar üzerinden koordinasyon yapar ve metal tuzunun sadece cüzi bir miktardaki fazlalığı  $n-\pi^*$  pikinin kaybolmasına sebep olur ve Q bandı kesinleşir. Aynı porfirazin Hg(II), Cd(II) ve Ag(I) ile de daha düşük etkinlikte kompleks oluşturmuştur. Benzer taç eterli porfirazin kolay ve etkin bir şekilde Hg(II), Pb(II) ve Ag(I) koordine olabilirken; Cu(II), Zn(II), Co(II) ve Cd(II) ile daha zayıf bağlanma göstermiştir. UV-görünür bölge titrasyonlarına ait bazı

sonuçlar, aşağıda verilmiştir. Açıkça, metal iyon koordinasyonu neticesinde UV-görünür bölge spektrumunda gözlenen bu değişiklikler iyon seçici sensör uygulamaları için çok önemlidir (Şekil 2.27-28 ).

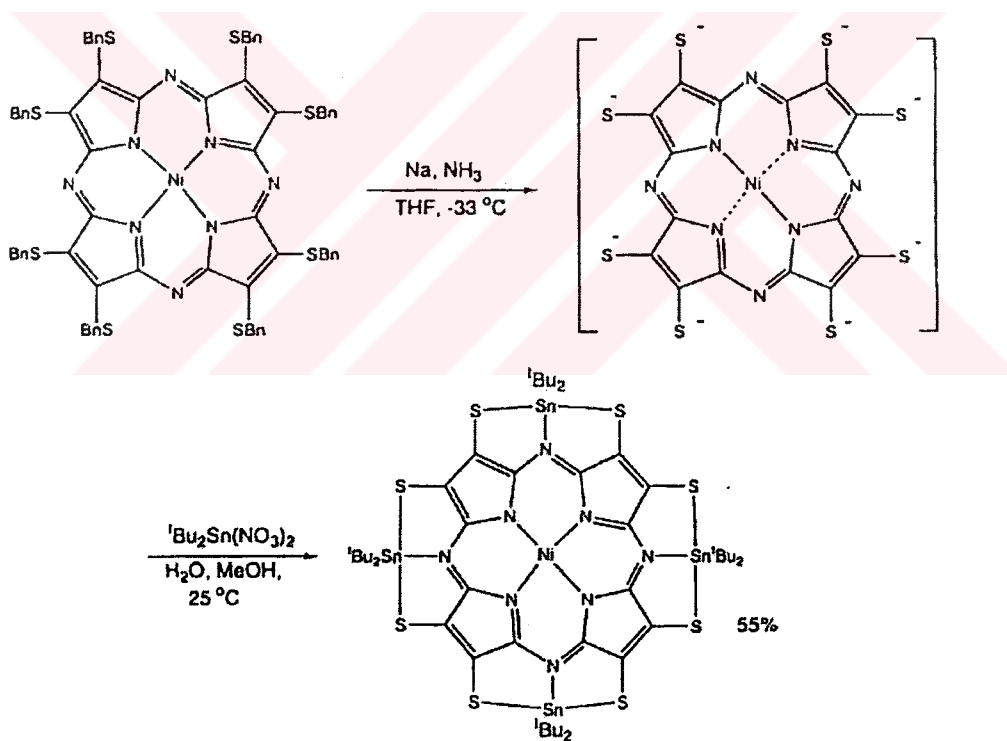


**Şekil 2.27** Oktakis (N-metil-N-2-pridil metil) porfirazinin  $\text{CoCl}_2$  (1,2,3,4 eşdeğer gram) ile titrasyonunda UV-görünür bölge spektrumunda görülen değişiklikler

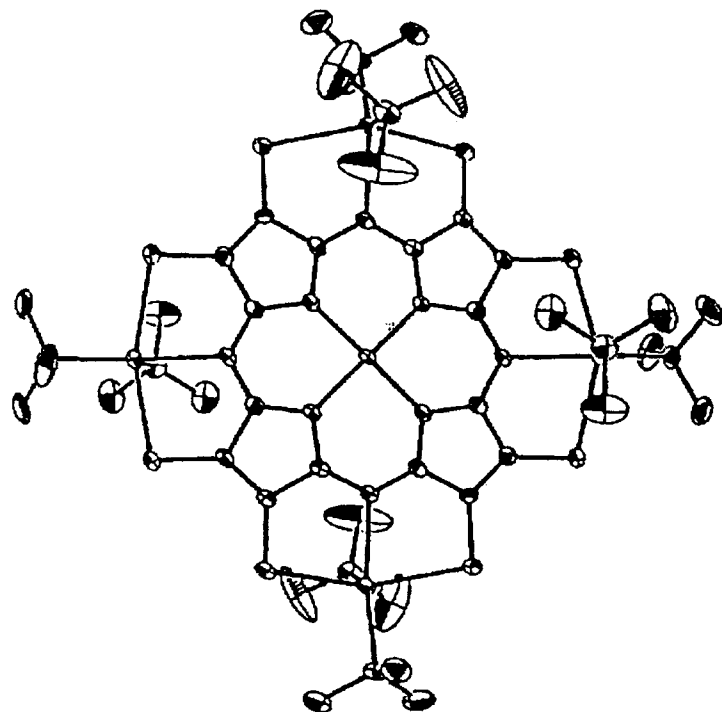


**Şekil 2.28** Taç eterli  $\text{HgClO}_4$ (0,1,2,3,4 eşdeğer gram) ile titrasyonunda UV-görünür bölge spektrumunda görülen değişiklikler

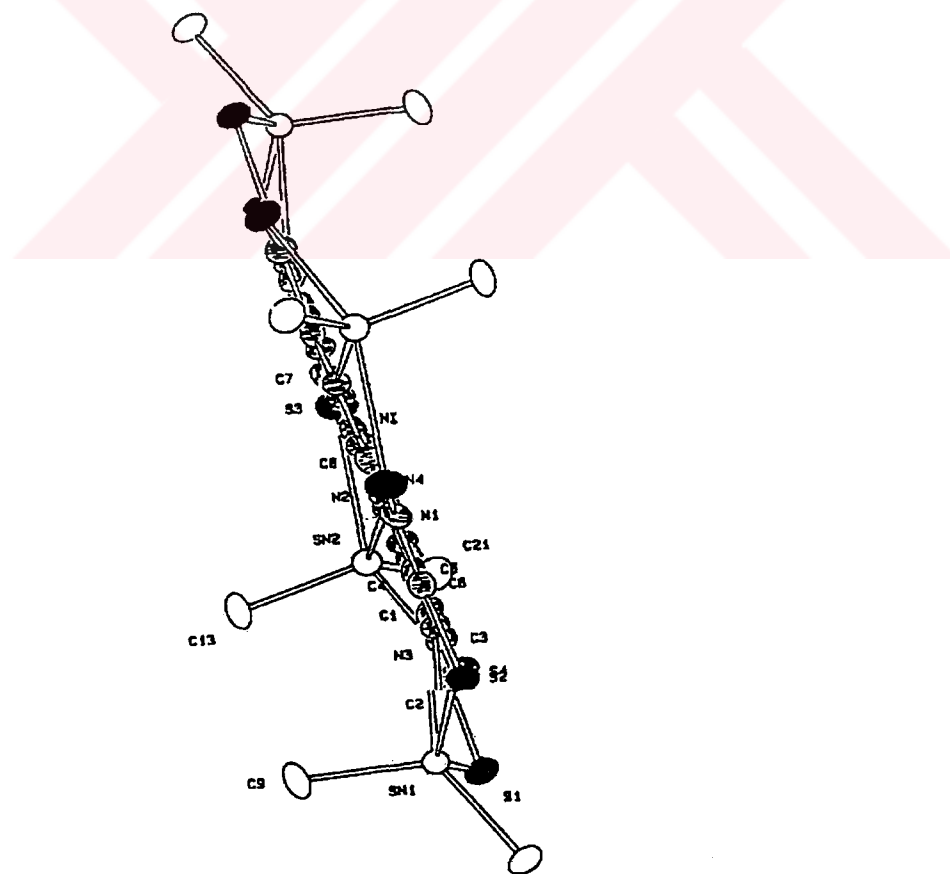
Oktabenziltiyoporfirazinato Ni(II)'nin çözünen metalle redüksiyonu, ilgili oktatiol olduğu tahmin edilen suda çözünen, havaya karşı hassas ve keskin mor renkli ürünü verdiği anlaşılmıştır. Buradan havada kararlı yeşil-siyah kristal halinde star-porfirazinlere geçiş tert-butil kalaydinitrat ile kompleks oluşumu sonunda meydana gelmiştir. Bu maddenin yapısı bir X-ışını kristalografî çalışması ile aydınlatılmış ve bu meso-cep içinde 4 tane 5 koordine di-tert-butilkalay ürününün bağlı halini içeren molekül ile gösterilmiştir. Bu koordinasyon UV-görünür bölge spektrumunda daha kısa dalga boyuna kaydığı için görülemeyen Soret bandının kaybolmasında çok büyük etkiye sahiptir. Star-porfirazinin tetra-butil amonyumflorür ile titrasyonu  $[Sn^4Bu_2F_2]^{2-}$  yapısında olduğu yönünde tahmin yürütülen yeni bir, havada kararlı mor star-porfirazin oluşumu için sekiz eşdeğer gram metal tuzuna gereksinim göstermiştir ( Şekil 2.29-32 ).



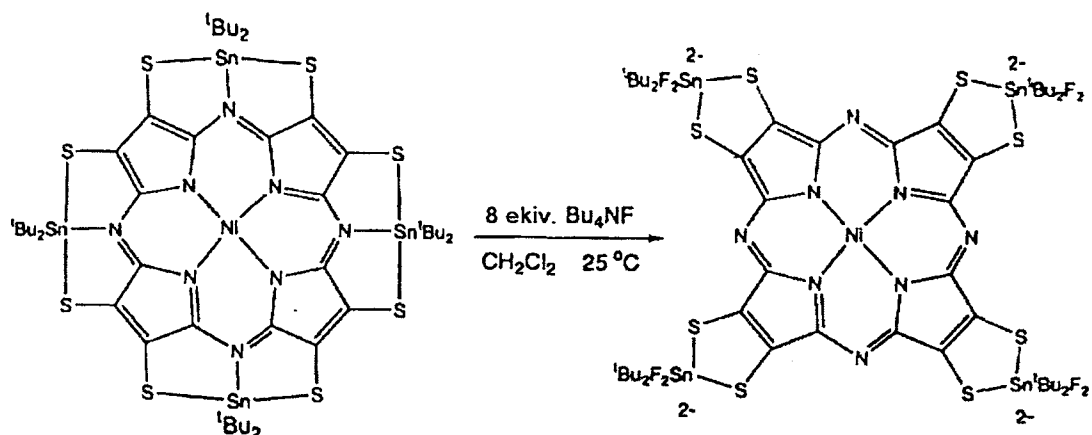
**Şekil 2.29** Oktabenziltiyo porfirazinato Ni(II)'den star-porfirazine geçiş reaksiyonu



Şekil 2.30 Star-porfirazinin X-ışını kristal yapısı



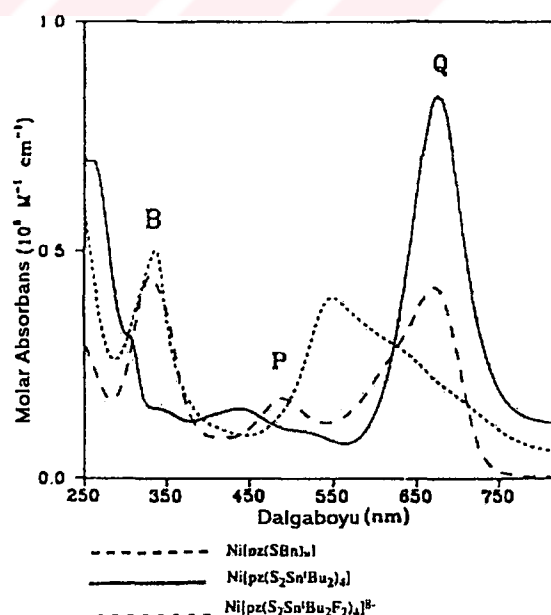
Şekil 2.31 Star-porfirazindeki meso-cep içinde 4 tane 5 koordine di-tert-butilkalay ürününü gösteren X-ışını kristal yapısı



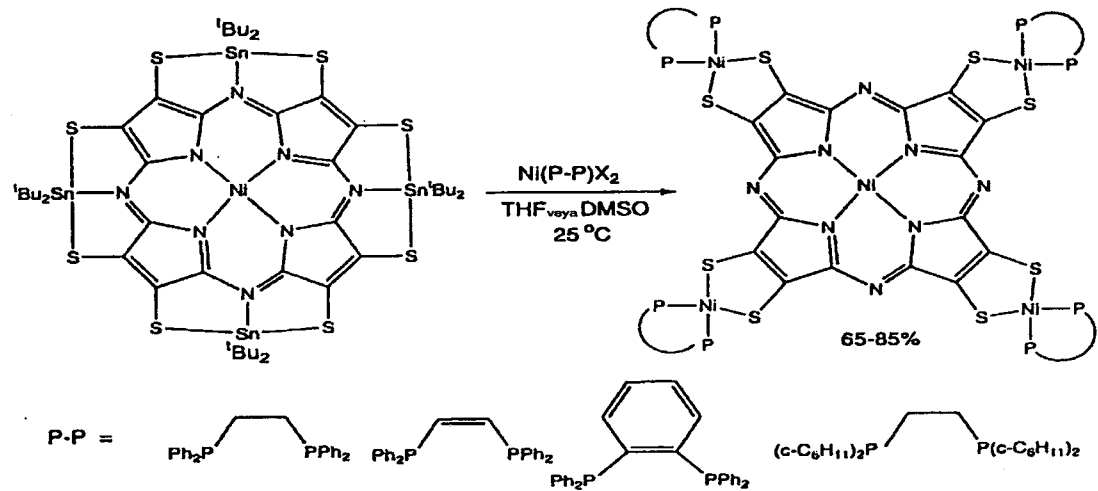
### STAR PORFİRAZİNLER

**Şekil 2.32** Star-porfirazinin  $\text{Bu}_4\text{NF}$  ile olan reaksiyon ürünü

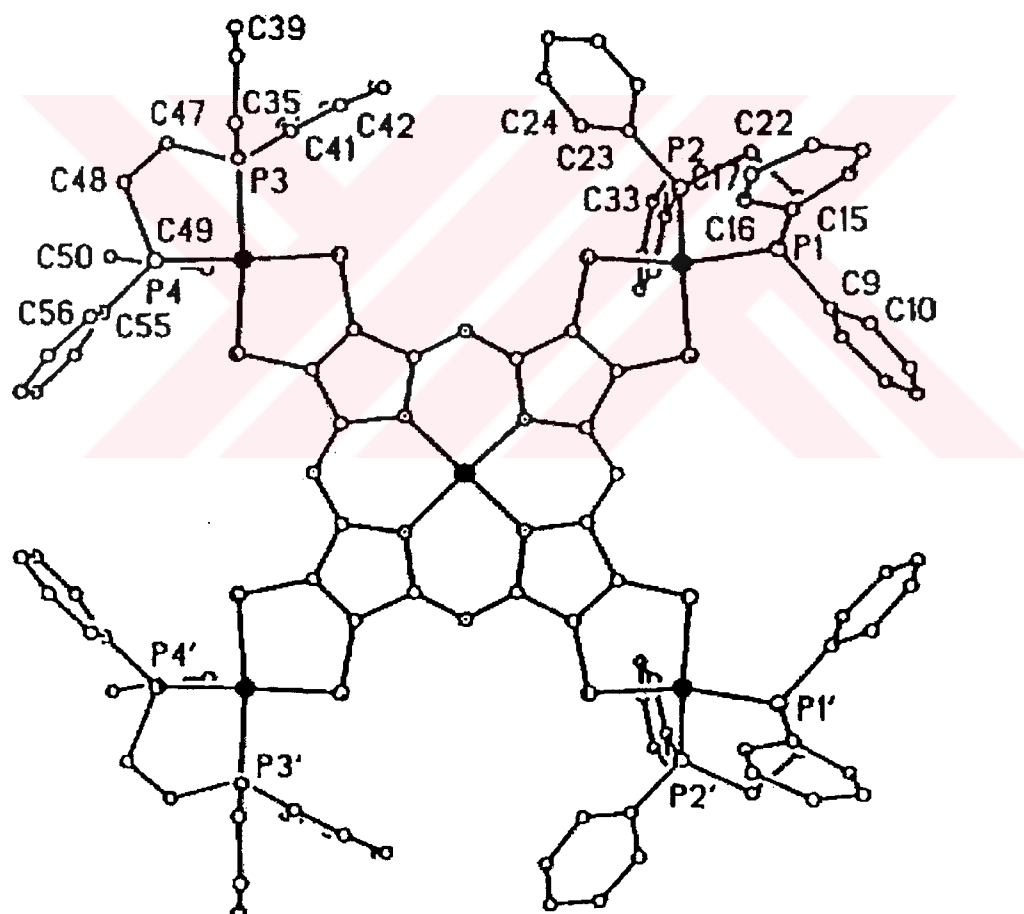
Tetra-kalay star porfirazin, diğer multimetalik yapıların hazırlanması için uygun bir başlangıç materyali olmuştur. Böylece, di(phos) $\text{NiCl}_2$  veya benzer tuzlar ile bu yeşil makrosiksik yapının reaksiyonu, tekabül eden tetra-nikel star porfirazinleri oluşturmuştur. Bu komplekslerin yapıları hem X-işin kristalografik verileri ile, hem de hepsinde UV-görünür bölge spektrumunda Soret bandının görülmesi ile açıkça izah edilmiştir. Metallerin bu metatetik değişimleri, havada bozunma endişesi taşıyan porfirazin oktatiyolat'ın yerine tetra-kalay star porfirazinin kullanılabilmesi sonucunda özellikle önemli bir gelişme sağlamaktadır (Şekil 2.33-37).



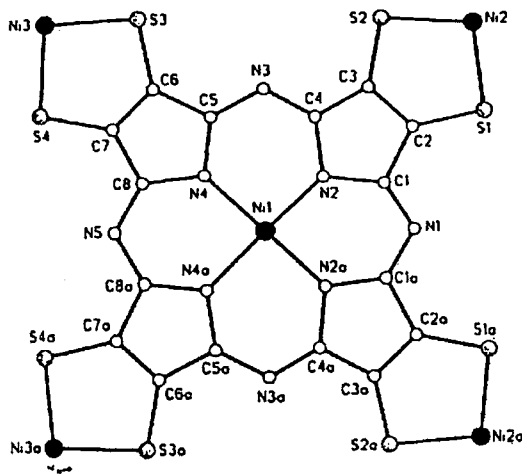
**Şekil 2.33** Star-porfirazinin farklı  $\text{Ni}(\text{II})$  tuzları varlığında UV-görünür bölge spektrumu



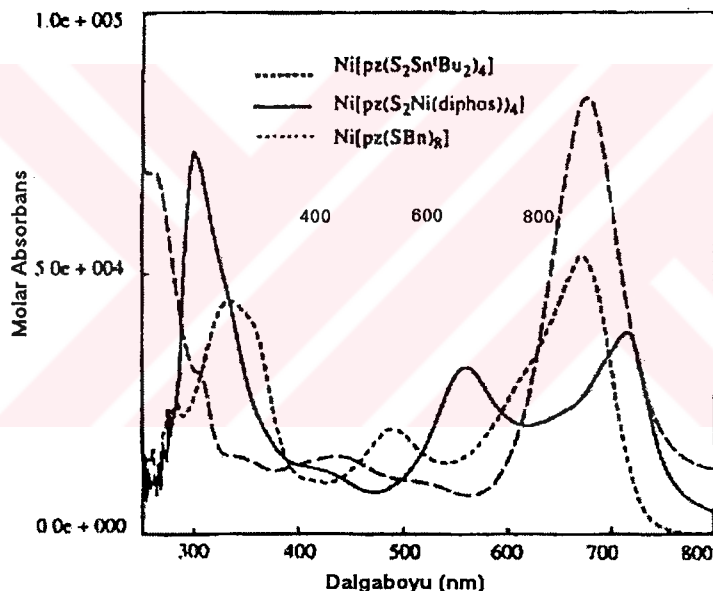
Şekil 2.34 Tetra-nikel star porfirazin sentezi



Şekil 2.35 Tetra-nikel star porfirazin türevinin X-ışını kristal yapısı

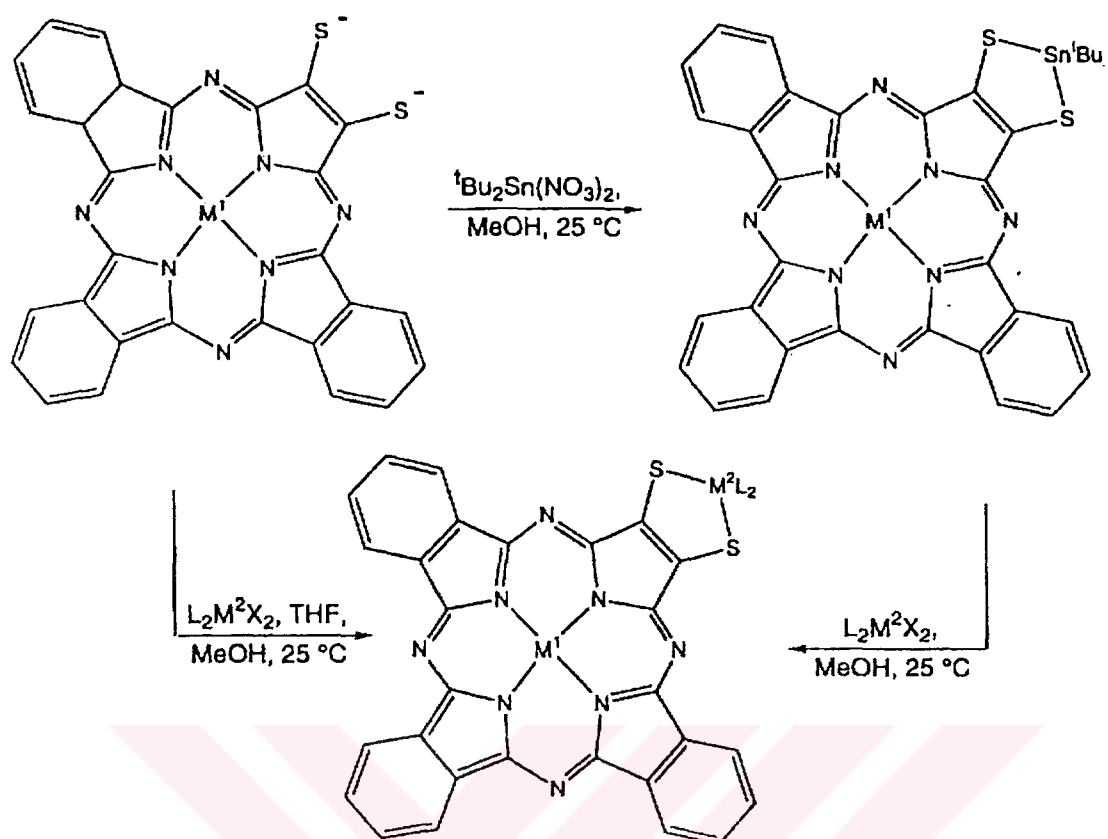


Şekil 2.36 Tetra-nikel star porfirazinin X-ışını kristal yapısı

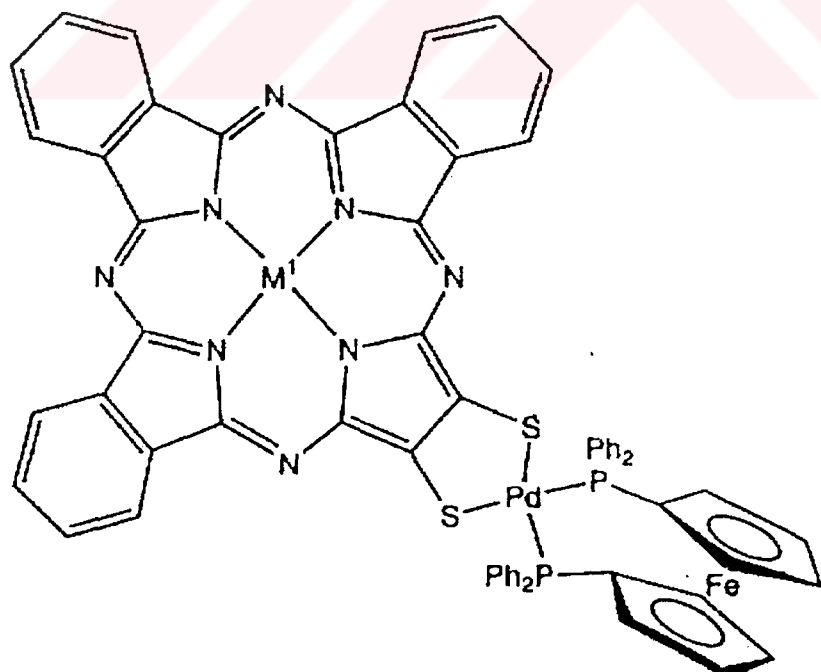


Şekil 2.37 Tetra-nikel star porfirazinlerin UV-görünür bölge spektrumu

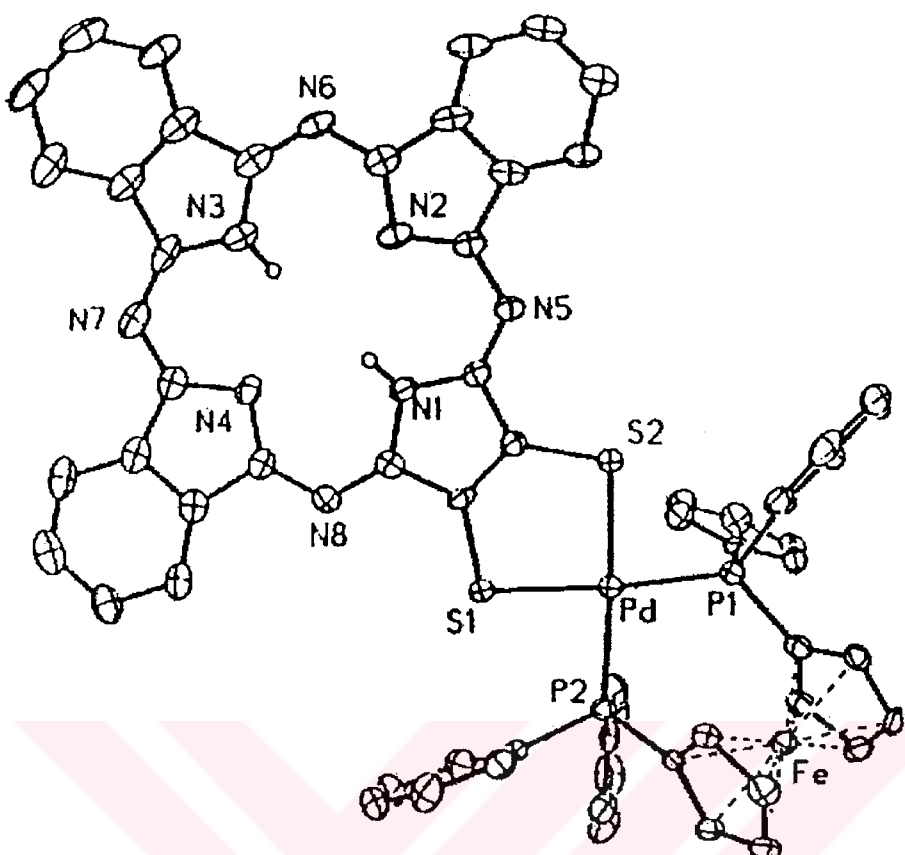
Benzil ve para-[(butiloksi) karbonil] benzil grupları ile korunmuş porfirazin ditiol ve tetratiollerin çözünen metal redüksiyonu sonucu ortaya çıkan havaya hassas tiolat türevleri, periferal metal komplekslerine dönüştürülebilir. Çalışılan bazı örneklerde tek bir palladyum, platin veya molibdenin makrohalkaya doğrudan bağlanması ile solitaire ftalosiyanınların hazırlanması gösterilebilir. Bu olağan dışı koordinasyonlu kompleksler X-ışını kristalografik yöntemler sayesinde kesin bir şekilde ispatlanmıştır. Sadece Mo(IV) bileşiği zengin bir elektrokimya göstererek sıklik voltametrede 5 tersinir redoks dalgası göstermiştir (Şekil 2.38-43 ).



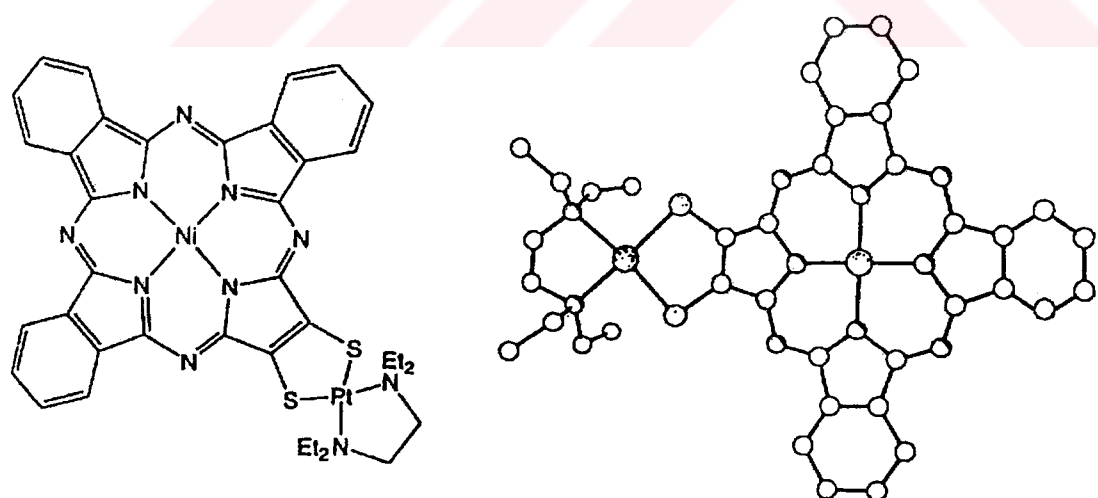
Şekil 2.38 Solitaire ftalosianin sentezi



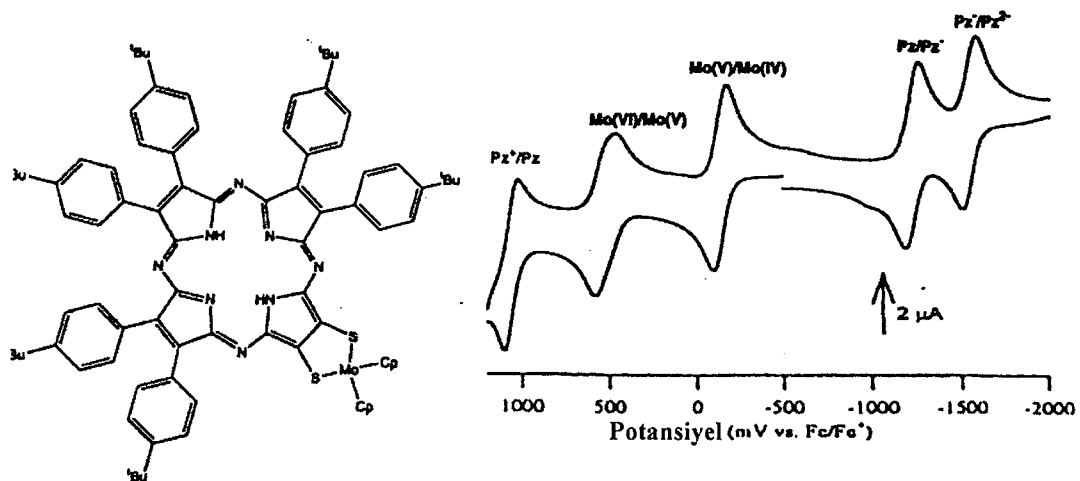
Şekil 2.39 Solitaire ftalosianin molekülünün yapısı



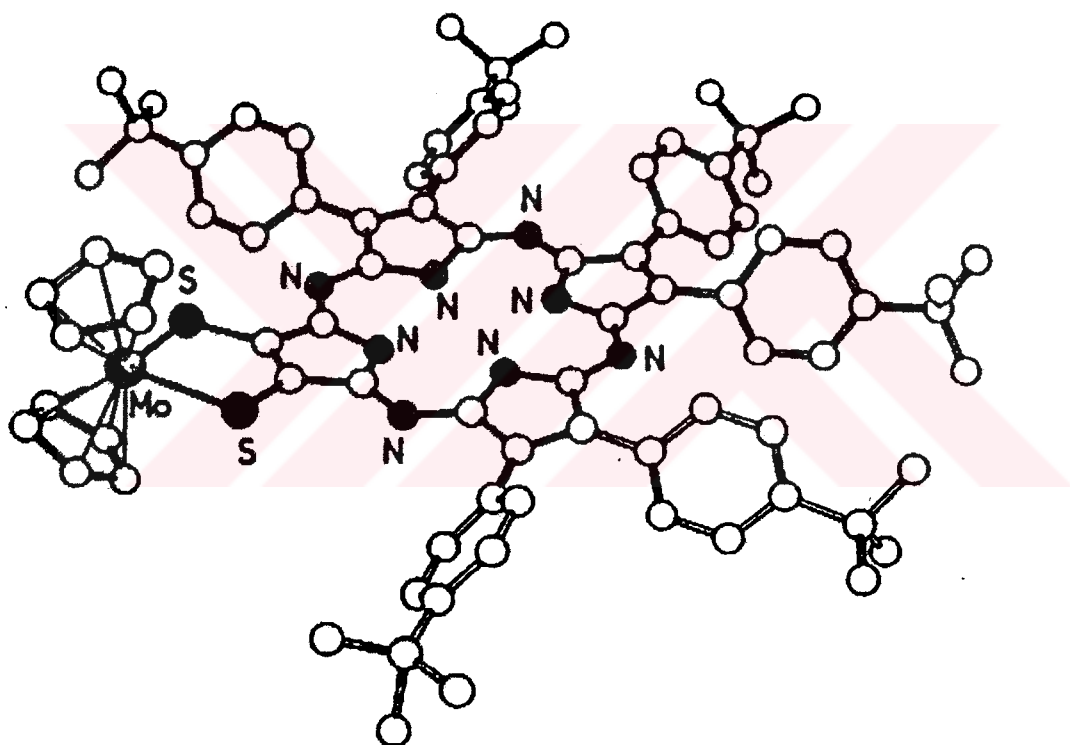
**Şekil 2.40** Solitaire ftalosianin molekülünün X-ışını kristal yapısı



**Şekil 2.41** Solitaire Ni ftalosianin molekülünün X-ışını kristal yapısı



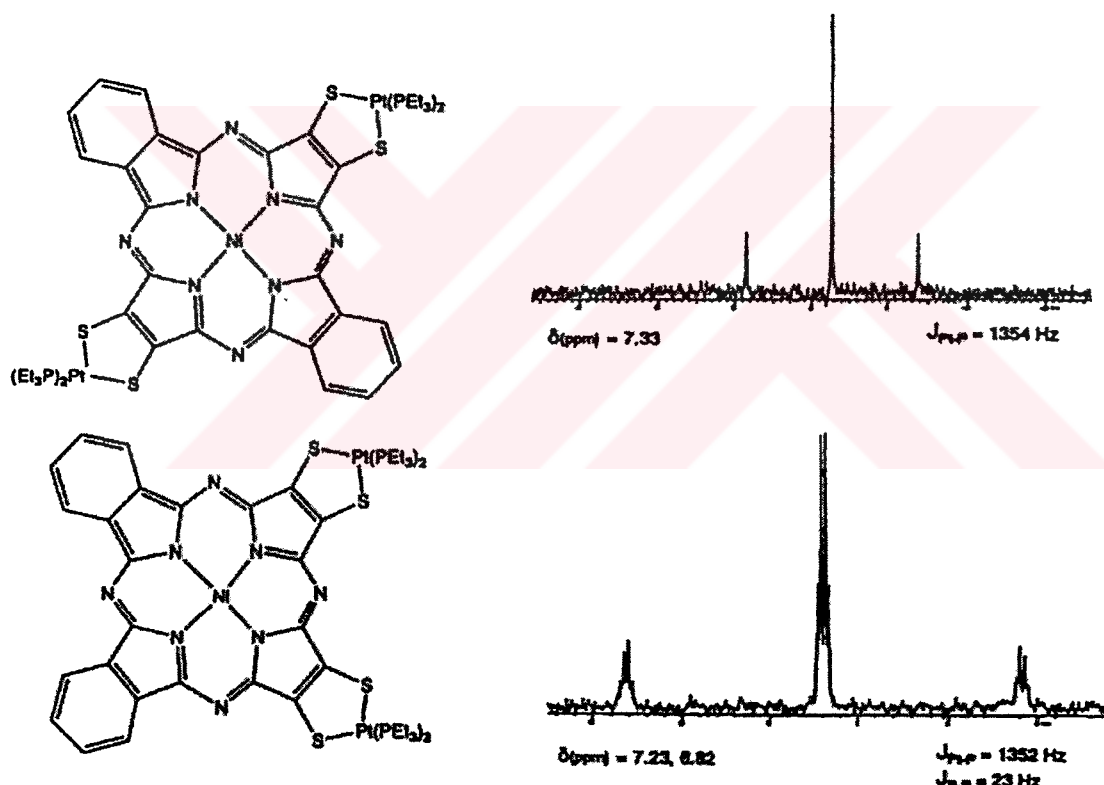
Şekil 2.42 Mo(IV) içeren solitaire porfirazinin siklik voltamogramı



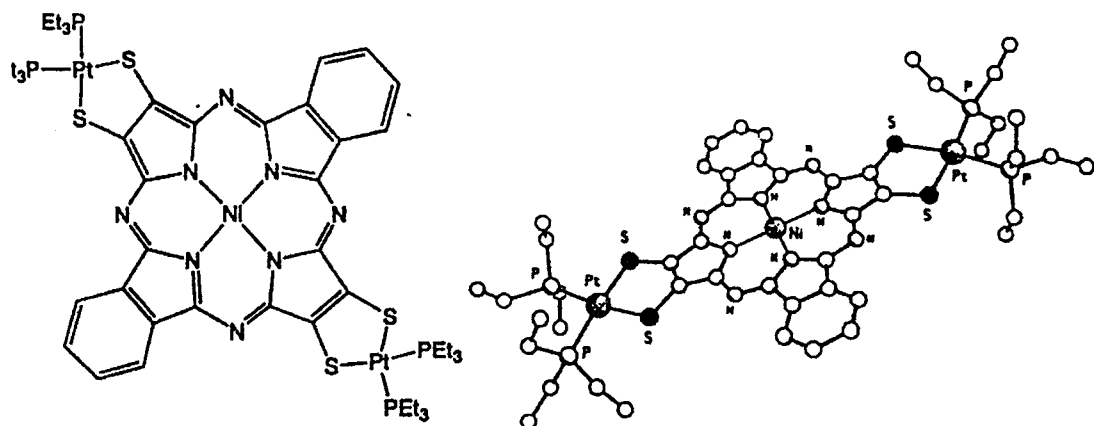
Şekil 2.43 Mo(IV) içeren solitaire porfirazinin X-ışını kristal yapısı

Aynı şekilde, çözünmüştür metal redüksiyonu yöntemiyle ilgili korunmuş tetratiollerden hazırlanan porfirazin tetratiolatlar, metal tuzları ile kondense edilerek *Gemini-porfirazinler* denen 2 periferal metal ile koordine olmuş yapıları meydana getirmiştir. Her bir olayda, tamamiyle *cis*- ve *trans*- yapıda, 2 muhtemel geometrik izomer vardır. Örneğin, 2 tane periferal bağlı  $(Et_3P)_2Pt$  taşıyan ürünlerde 2 mümkün izomer vardır ve merkezde makrosiklik içinde Ni(II) bulunmaktadır. Her ikisi de açıkça diamagnetiktir ve NMR spektroskopisi yardımıyla mükemmel bir şekilde izah

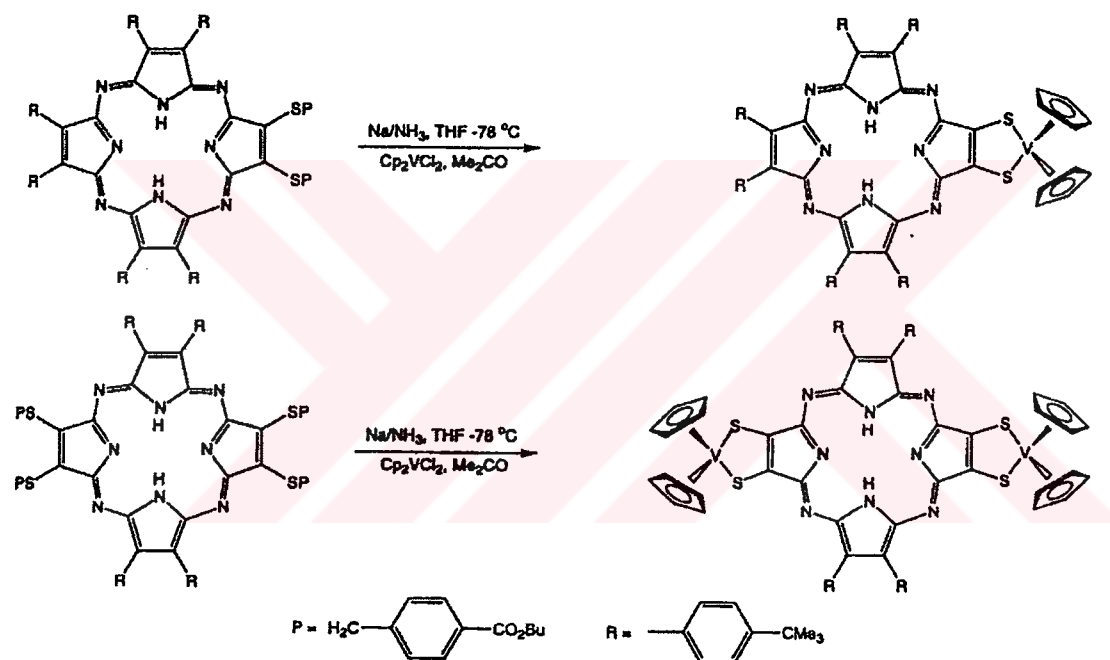
edilmiştir.  $^{31}\text{P}$  NMR spektrumunda, *trans*- izomerde iki uydu ( $J_{\text{Pt-P}}=1353$  Hz) ile sadece bir tek pik görülür. Bunun aksine *cis*- izomerinde AB dörtlü uydusu ile ( $J_{\text{Pt-P}}=1353$  Hz,  $J_{\text{P-P}}= 23$  Hz) bir AB dörtlülerini gösterir. Açıkça, bu sonuçlar kare düzlemsel platin yapısı ile ve önerilen geometriler ile tutarlıdır. Bu sterokimyasal yapı *trans*-izomeri için X-ışını kristalografik çalışması ile aydınlatılmıştır. Uzun mesafeli metal-metal etkileşimini test etmek için hem *solitaire*- hem de *Gemini*-porfirazinleri kullanmak mümkündür. Burada özetlenen sentetik metodlara 2 porfirazinin hazırlanması için başvurulmuştur. Bunlar bir veya iki tane disiklopentadienil Vanadyum (IV) yan dalı ihtiva eden porfirazinlerdir. Bunlar EPR ile de gösterildiği gibi paramagnetik karakterdeki komplekslerdir. Yine önerilen yapı X-ışını kristalografik çalışmaları ile açıklanmıştır (Şekil 2.44-48 ).



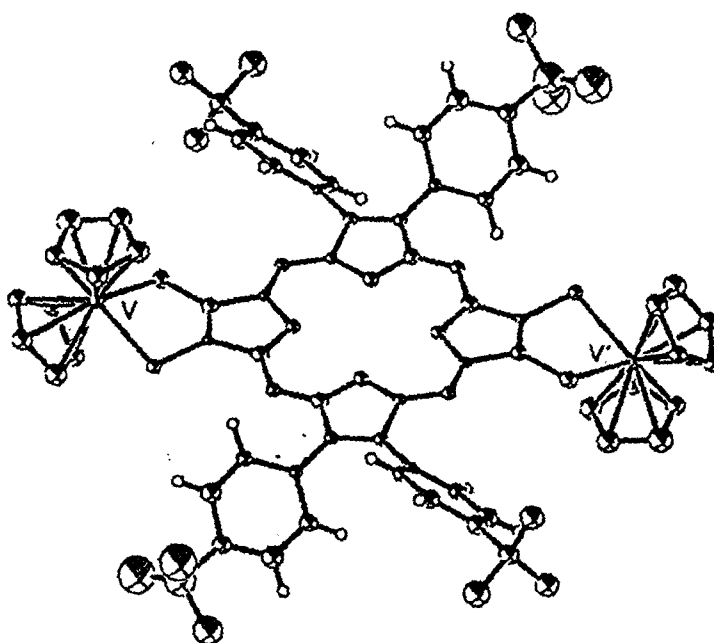
Şekil 2.44 P grupları içeren Gemini porfirazinlerin  $^{31}\text{P}$  NMR spektrumları



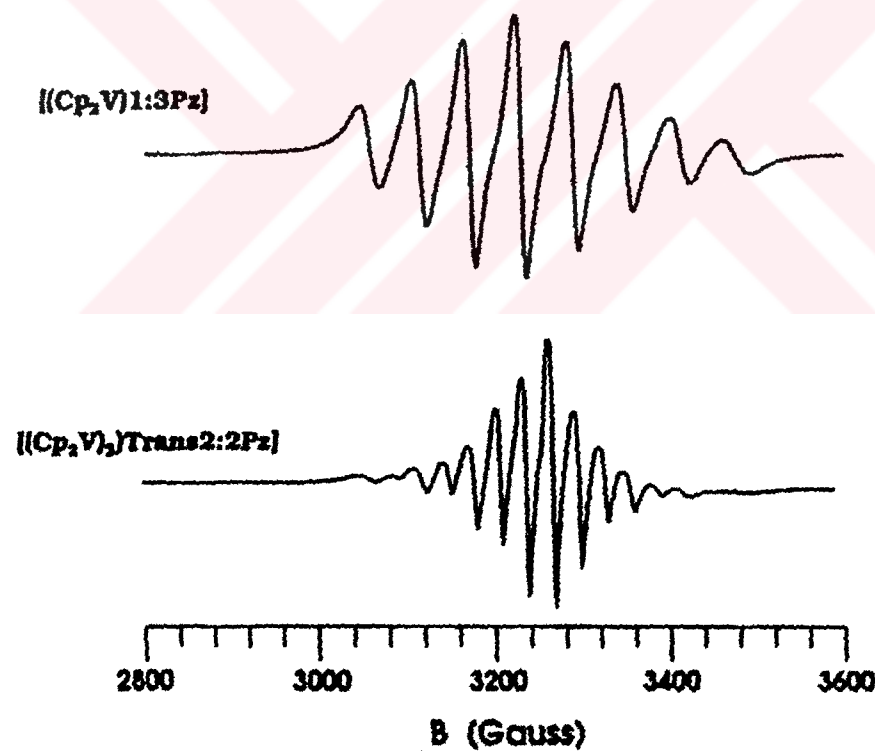
**Şekil 2.45** Trans yapıdaki Gemini porfirazinin X-ışını kristal yapısı



**Şekil 2.46** Mono-ve dinüklüler ( $\text{Cp}_2\text{V}$ ) $\text{Pz}$  komplekslerinin sentezi



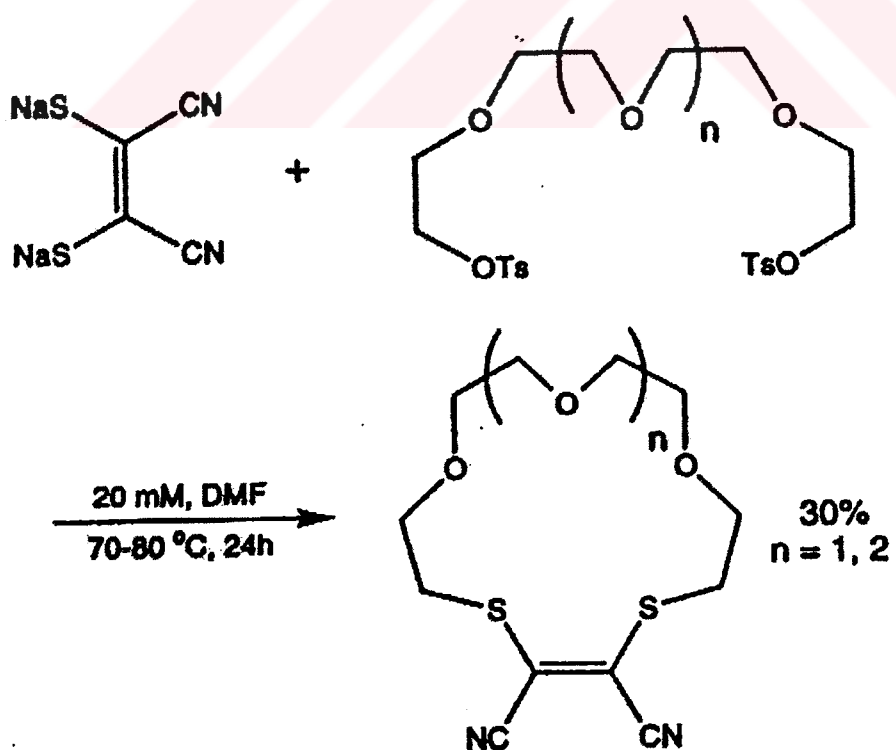
Şekil 2.47 Dinüklüler ( $\text{Cp}_2\text{V}$ )Pz kompleksinin X-ışını kristal yapısı



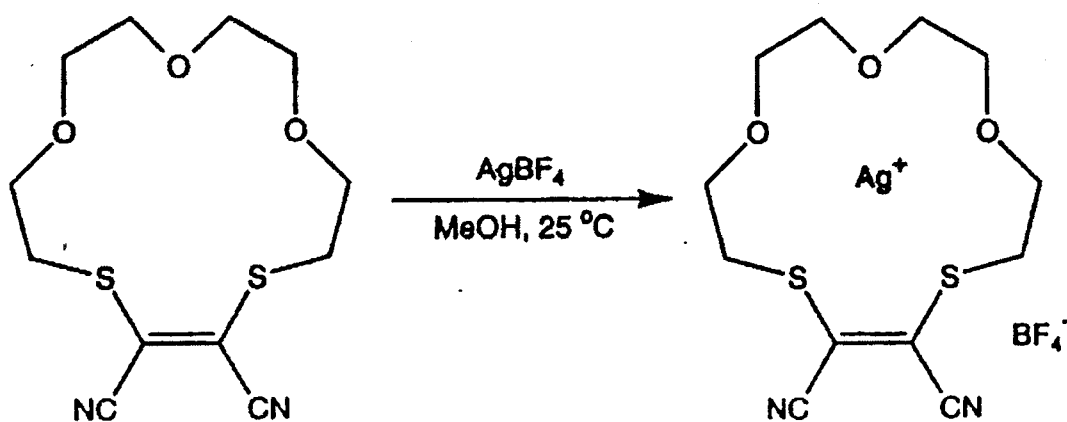
Şekil 2.48 Mono ve dinüklüler  $\text{Cp}_2\text{V}$  komplekslerinin EPR spektrumları

Porfirazinlerin periferal metal iyonlarıyla ilgili olan çalışmalarının bu bölümünde, taç eterler ile çevrelenmiş porfirazinlerin incelenmesi yapılmıştır ve bu sebeple elektronik iletişimın merkez makrosiklik ile olan ilişkisine deñinilmiştir. Bu çalışmada, taç eterli maleonitril türevlerinin koordinasyon kimyası, ilaveten

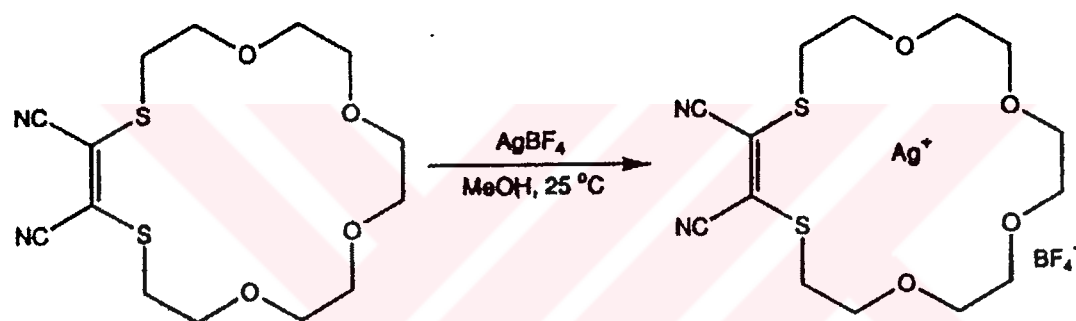
çalışılmıştır. 2,3-disiyano- 1,4-ditia- 7,10,13-trioksa-2Z-pentadeken ve 2,3-disiyano-1,4-ditia-7,10,13,16-tetraoksa-2Z-oktadeken'in her ikisi de uygun poli-glikol ditosilatlarından hazırlanmıştır. Her iki ditia taç yapısı, X-ışını kristalografik çalışmalar ile karakterize edilerek gümüştetrafloroborat ile kristal kompleksleri şeklinde incelenmiştir. Ditia-15-crown-5 sistemi 2 farklı kristal yapıdadır. İlk şekli monomer bir kompleks olan ve her bir gümüş iyonu iki halka oksijeni ve 2 halka sülfürü tarafından koordine edilmiş ve bir tetrafloroborat'daki florür ile belli bir yakınlık içinde olduğu tespit edilmiştir. Polimerik bir kompleks olan ikinci kristalde her bir gümüş iki halka sülfürü ve bir eterik oksijen tarafından koordine edilmiştir. Şerit şeklindeki polimer yapı bir bitişik nitril grubu tarafından gümüş iyonunun koordinasyonundan sonuçlanan bir Ag-N geri bağı ile koordinatedir. Ditia-18-crown-6 sistemi bitişik bir N halkasıyla koordinasyonundan dolayı, bir tek polimerik özellik taşıyan  $\text{AgO}_2\text{S}$  üniteleriyle bağlanması sonucu kristallendirilmiştir. 2,3-disiyano-1,4-ditia-7,10,13,16-tetraoksa-2Z-oktadeken civaklorür ile olağan olmayan bir şekilde 1:1 kompleks yapısındadır. Bu bileşigin X-ışını kristal yapısı lineer Cl-Hg-Cl ünitesinin sülfür ile değil de makrosiklikteki 2 bitişik eter oksijeni ile irtibatta olduğunu göstermiştir (Şekil 2.49-58 ).



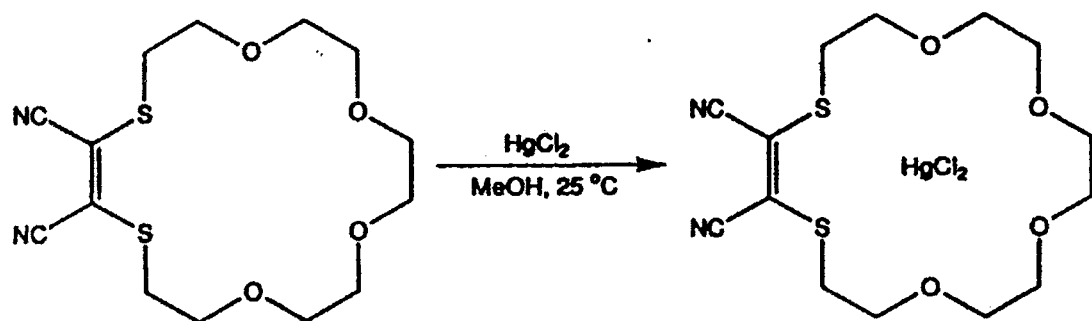
**Sekil 2.49** Taç eter ihtiva eden maleonitril türevlerinin sentezi



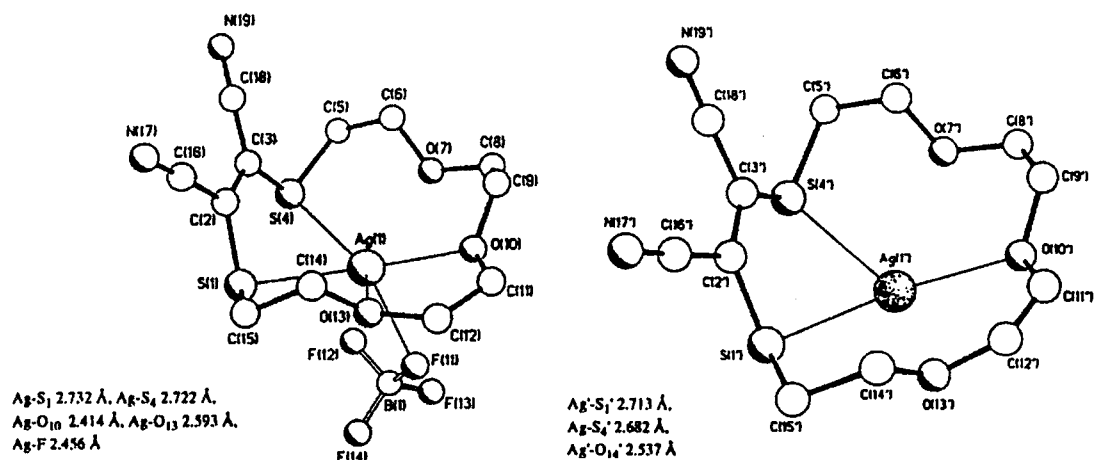
**Şekil 2.50** Taç eter ihtiva eden maleonitril türevinin gümüş tetrafloroborat ile reaksiyonu



**Şekil 2.51** Taç eter ihtiva eden maleonitril türevinin gümüş tetrafloroborat ile reaksiyonu

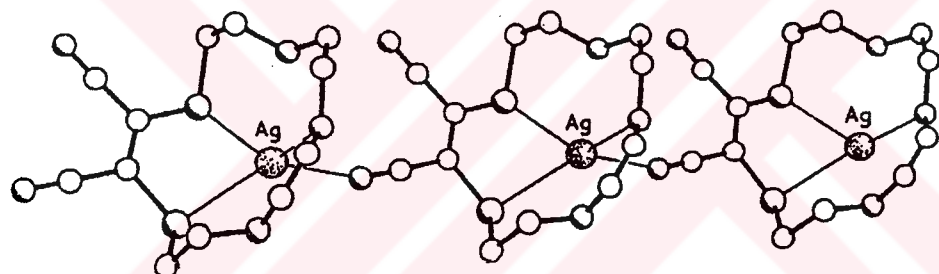


**Şekil 2.52** Taç eter ihtiva eden maleonitril türevinin civa (II) klorür ile olan kompleksi

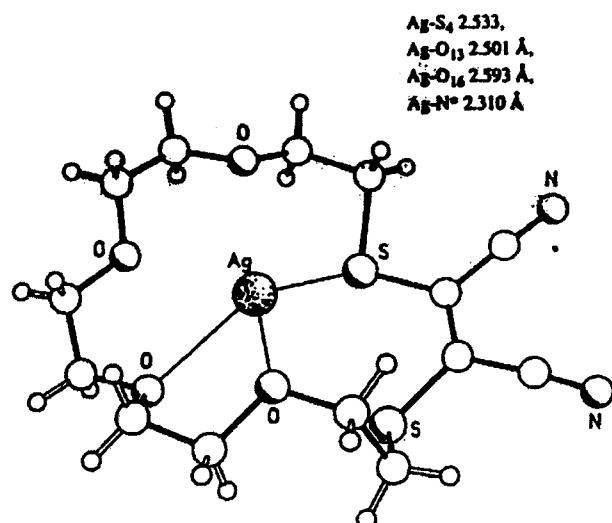


**Şekil 2.53** Ditia-15-crown-5 maleonitrilin gümüş tetrafloraborat ile etkileşime ait X-ışını kristal yapısı

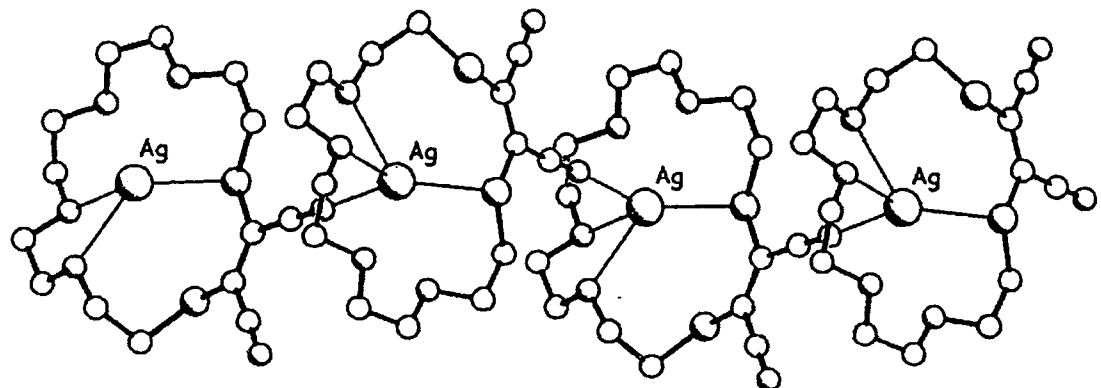
**Şekil 2.54** Ditia-15-crown-5 maleonitril  $\text{Ag}^+$  kompleksinin X-ışını kristal yapısı



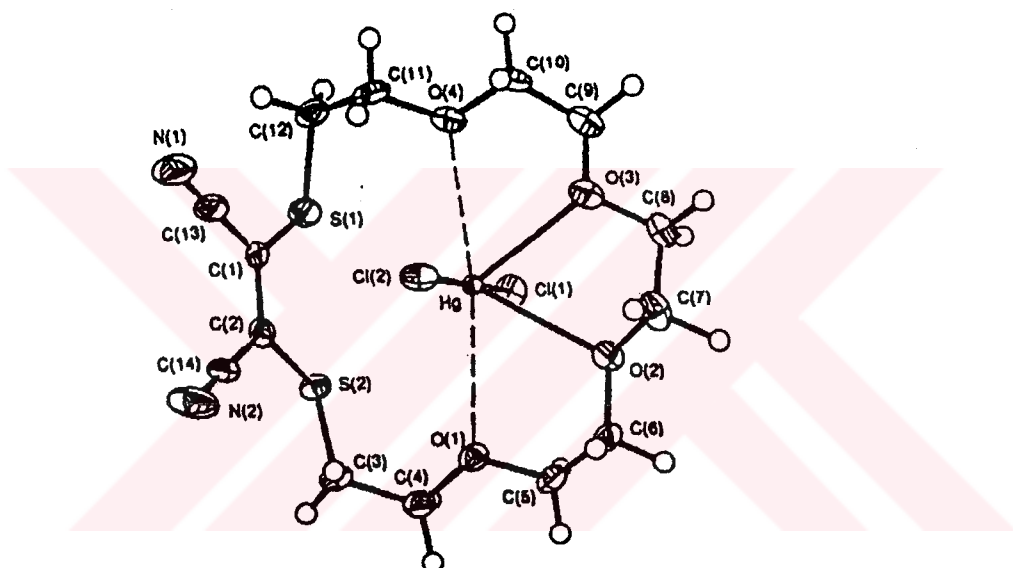
**Şekil 2.55** Şerit şeklinde polimer yapının  $\text{Ag-N}$  geri bağlı ile koordine olduğunu gösteren X-ışını kristal yapısı



**Şekil 2.56** Ditia-18-crown-6 maleonitril  $\text{Ag}^+$  kompleksinin X-ışını kristal yapısı



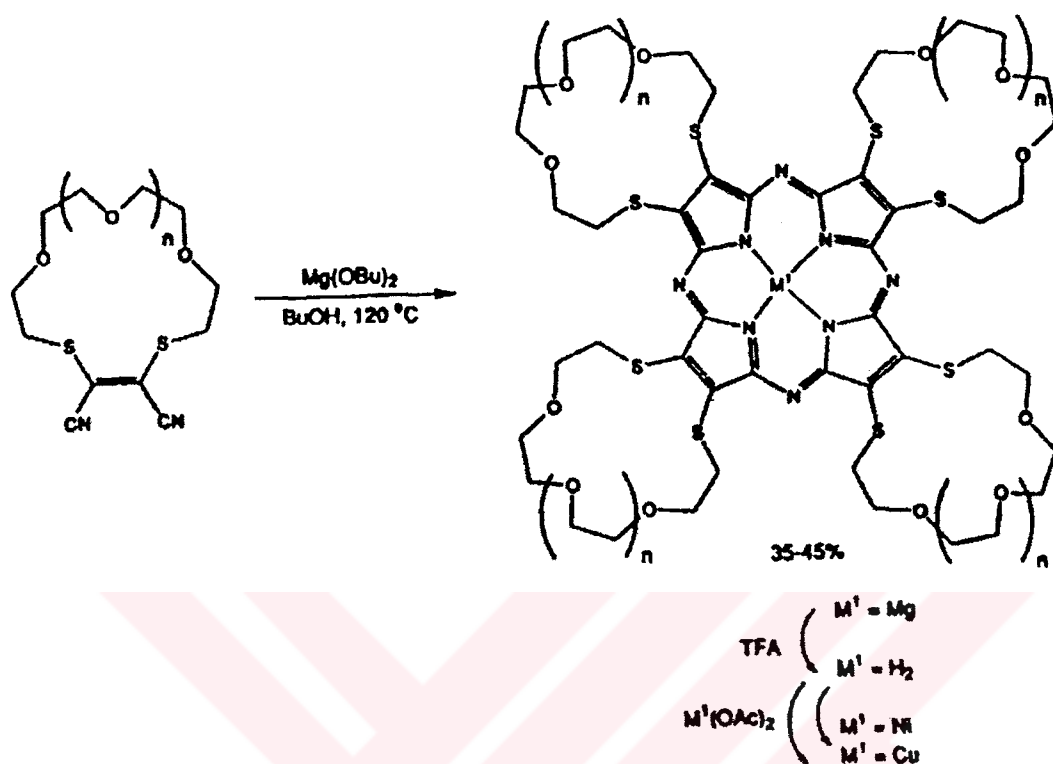
Şekil 2.57 Ditia-18-crown-6 maleonitrilin şerit şeklinde oluşturduğu bileşiğin X-ışını kristal yapısı



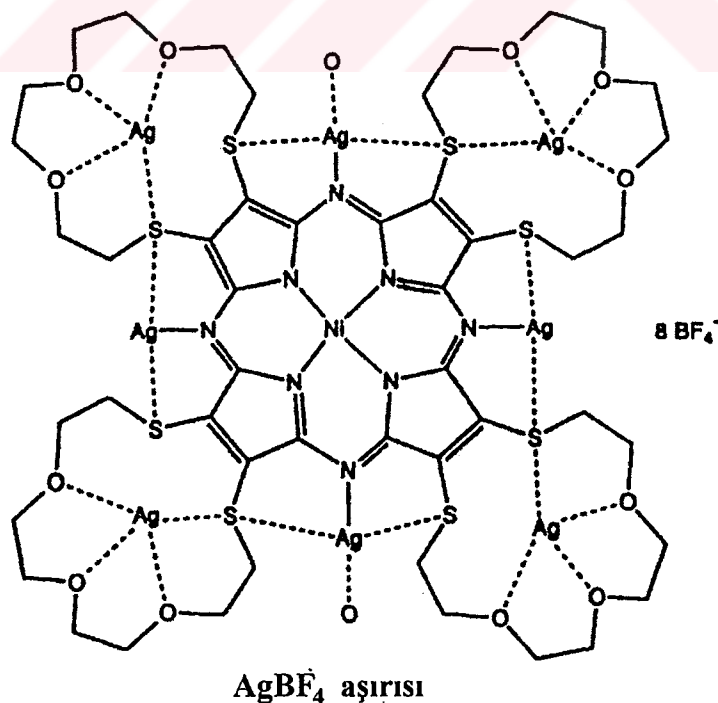
Şekil 2.58 Ditia-18-crown-6 maleonitrilin şerit şeklinde oluşturduğu bileşiğin X-ışını kristal yapısı

Taç eter grubu taşıyan iki maleonitrilin Linstead makrosiklizasyonu, tekabül eden tetra-taç eterli porfirazinleri vermiştir. Bu çok dişli ligandlar çeşitli şekillerde metal iyonu bağlar ve 2 kompleksi X-ışın kristalografisi ile karakterize edilmiştir. Bunun sonucunda, tetra-15-crown-5-porfirazinato Nikel (II)'nin aşırı miktarda gümüş tetrafluoroborat ile olan reaksiyonunda iki ayrı kristal elde edilmiştir. İlkinde, dört gümüş iyonu periferal haldeki taç eterlerin içine bağlanmıştır. İlave olarak dört gümüş iyonu da porfirazindeki meso-ceplerde S-N-S koordinasyonuna doğrula bağlanmıştır. Reaksiyonun diğer ürünü tekrar periferal taç eter gruplarında dört gümüş iyonu ile koordine olmuştur. Bu komplekste, ilave olarak dört gümüş iyonu meso-cep pozisyonlarında S-N-S şeklinde değil de yüz yüze bakan porfirazin

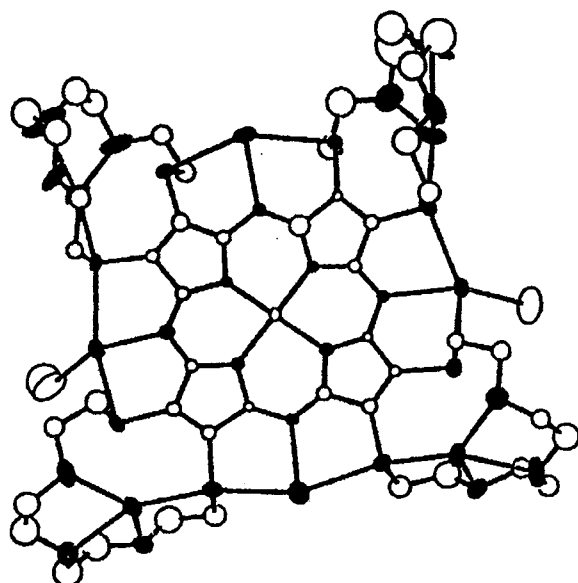
dimerinde bir gümüş köprüsü şeklinde iki ayrı makrosiklikteki birer S grubuna gümüş atomu tarafından bağlanmıştır ( Şekil 2.59- 62 ).



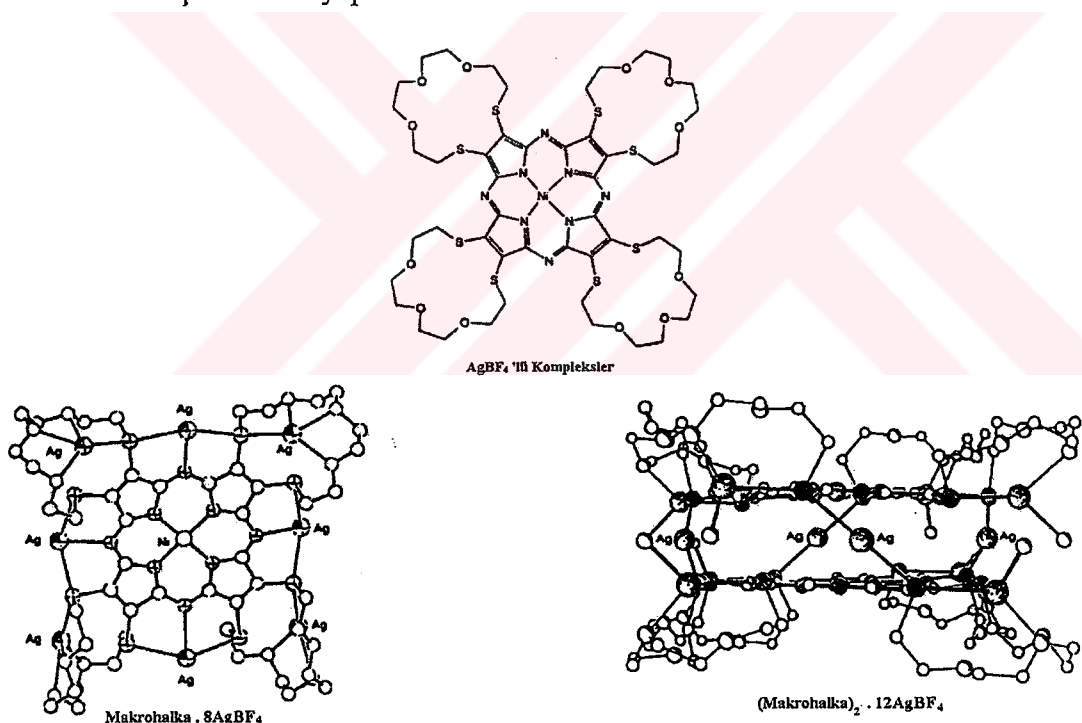
Şekil 2.59 Taç eter sübstitüe porfirazin türevlerinin sentezi



Şekil 2.60 Tetra-15-crown-5 porfirazinato Ni(II) nin aşırı miktarda  $\text{AgBF}_4$  ile reaksiyonu



**Şekil 2.61** Tetra-15-crown-5 porfirazinato Ni(II) nin  $\text{AgBF}_4$  ile verdiği ürünün X-ışını kristal yapısı

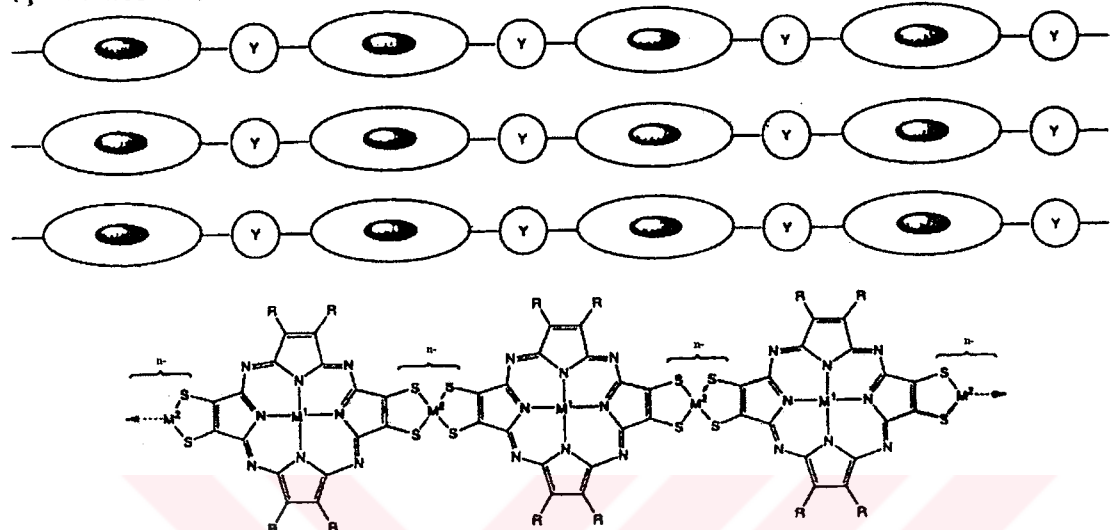


**Şekil 2.62** Taç eter ihtiva eden Ni porfirazinin  $\text{AgBF}_4$  ile verdiği komplekslerin X-ışını kristal yapıları

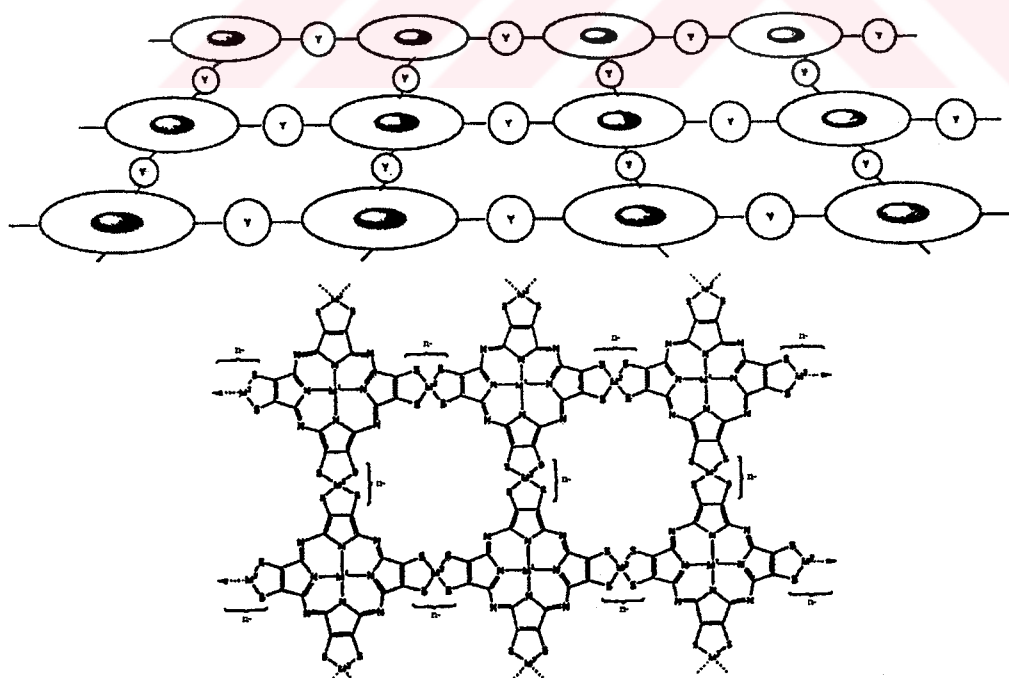
*Solitaire, Gemini* ve *star*-porfirazin ünitelerinin tümü bitişik porfirazinler tarafından periferal metal iyon paylaşımı ile dimer-, trimer- ve daha yüksek değişik oligomerlerin dikkatle işlenmesi için yapı bloğu gibi düşünülebilir. Şematik olarak, şerit ve yaprak polimerler aşağıda resmedilmiştir. Bu yapılarda, oligomerlerin fiziksel ve kimyasal özelliklerini belirleyen R grupları, periferal heteroatomlar

(sadece S ele alınmıştır), metal köprüleri  $M^2$  ve kavitedeki metal iyonları  $M^1$  ile gösterilmiştir. Bir ön deneme olarak Ni(II)-Ni(III)-Ni(II)-solitaire dimeri hazırlanmış ve EPR spektroskopisi ile karakterize edilmiştir. Porfirazin oligomerlerinin bu yapısal sınıfı gelecekteki gelişmeler ve uygulamalar için çok umit vericidir.

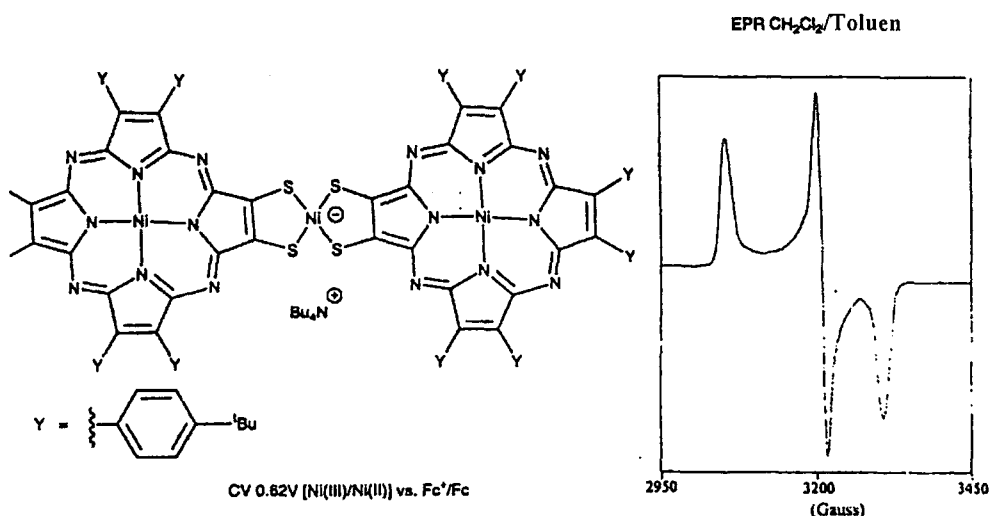
(Şekil 2.63-65).



Şekil 2.63 Şerit şeklindeki porfirazin yapıları



Şekil 2.64. Yaprak şeklindeki porfirazin yapıları

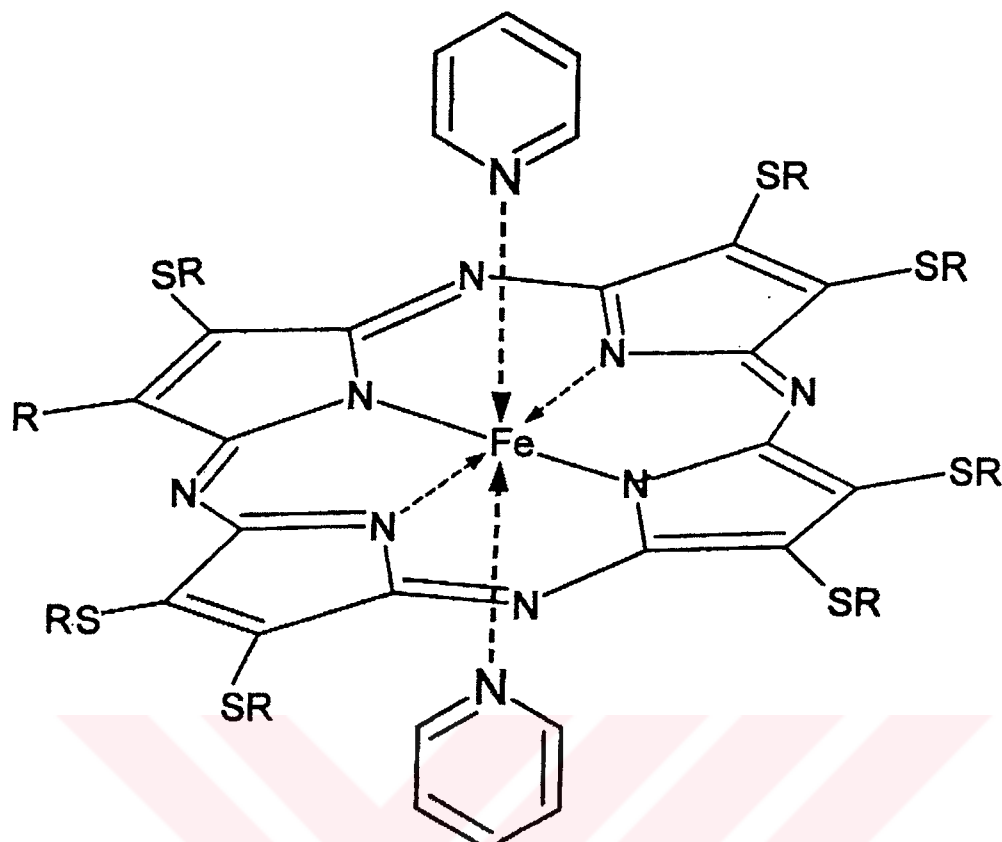


**Şekil 2.65.** Ni(II)-Ni(III)-Ni(II) solitaire dimerinin yapısı ve EPR spektrumu

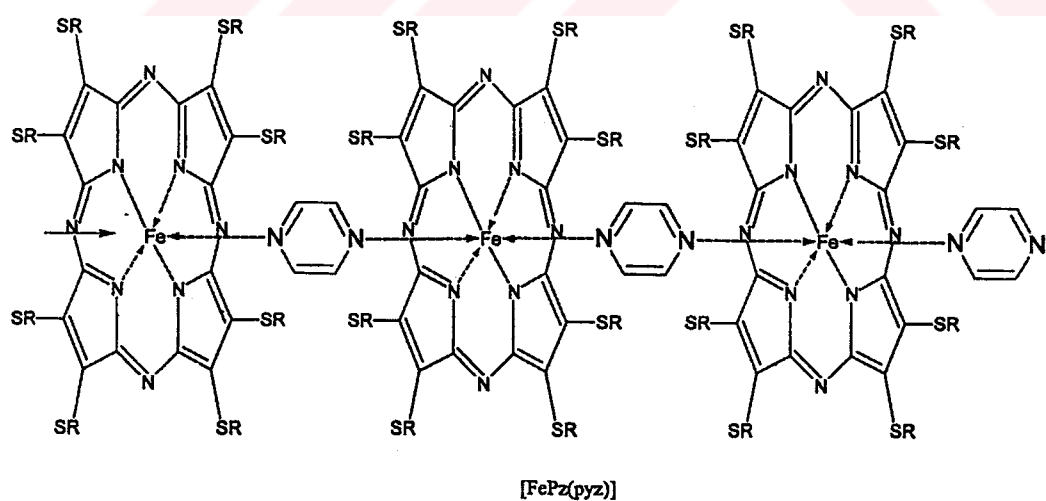
#### 2.4. Porfirazin Kimyasında Grubumuzda Sağlanan Gelişmeler

Taç eter sübstitüe ftalosiyinan gibi ilginç bir bileşigin sentezinden sonra, çok farklı makrosiklik bileşiklerle kombine edilmiş ftalosiyinanlar bu alanda bir çığır açmış; iletkenlik, kimyasal sensör, sıvı kristal özellik gibi değişik yönleriyle uygulama açısından incelemeye alınmıştır [38-39]. Bu çalışmaları diğer bir tetraapirol türevi olan porfirazinlerde paralel şekilde geliştirmek amacıyla bir seri bileşik sentezi gerçekleştirilmiştir.

Porfirazin sentezinde önemli bir başlangıç maddesi olan ditiyomaleonitril disodyum tuzunun S-grupları üzerinden alkilleşmesi ile elde edilen bis(alkil) türevinin, magnezyum alkolat varlığında propanol içerisinde reaksiyona sokulmasıyla oktakis (alkiltiyo) porfirazinato magnezyum sentez edilmiş, trifluoroasetik asid etkisiyle metalsiz türevine geçtikten sonra demir (III) ve Co (II) porfirazinler elde edilmiştir. Fe (III) PzCl piridinde kaynatıldığında merkezi metal iyonu indirgenerek oktaedral bis (piridin) kompleksi oluşmuş, pirazin takdirinde ise "şiş kebab" türü kompleksler elde edilmiştir [40] ( Şekil 2.66-67 ).

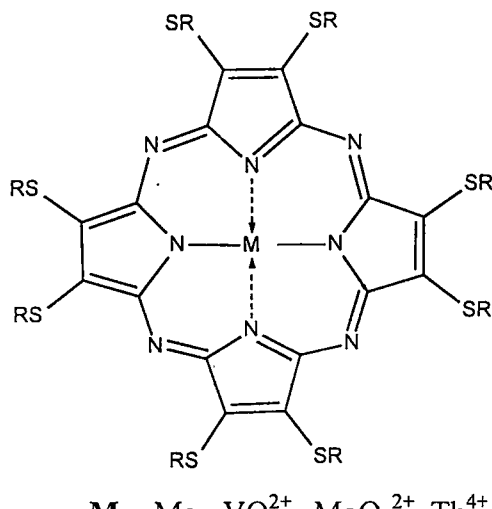


Şekil 2.66 Oktahedral bis(piridin) Fe kompleksi



Şekil 2.67 Şiş kebab türü kompleks

Aynı porfirazinin  $\text{VO}^{2+}$ ,  $\text{MoO}_2^{2+}$  ile monomerik,  $\text{Th}^{4+}$  ile hem monomerik, hem de sandviç yapısında kompleksleri izole edilmiştir [41-42] ( Şekil 2.68 ).

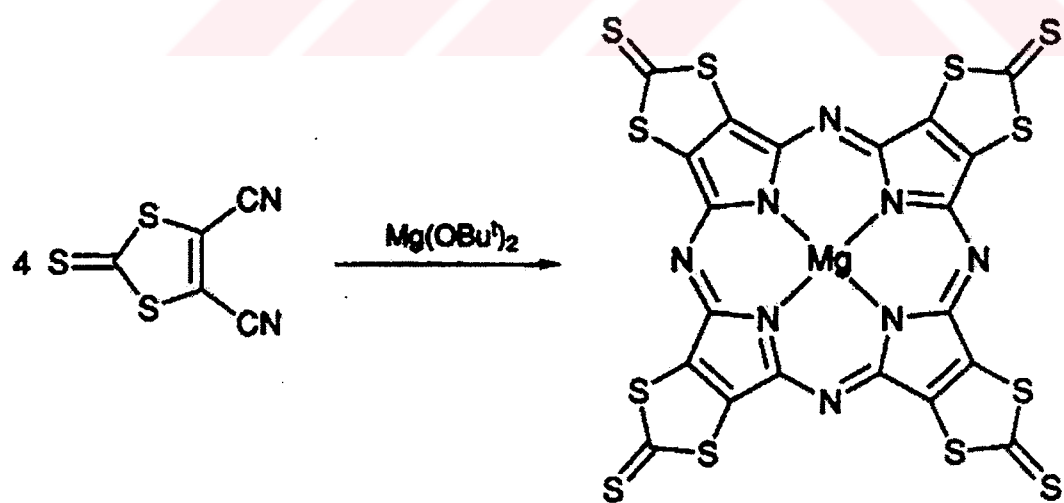


$M = Mg, VO^{2+}, MoO_2^{2+}, Th^{4+}$

R = Hekzil

**Şekil 2.68** Oktakis(heksiltiyo)porfirazinin  $Mg, VO^{2+}, MoO_2^{2+}, Th^{4+}$  kompleksleri

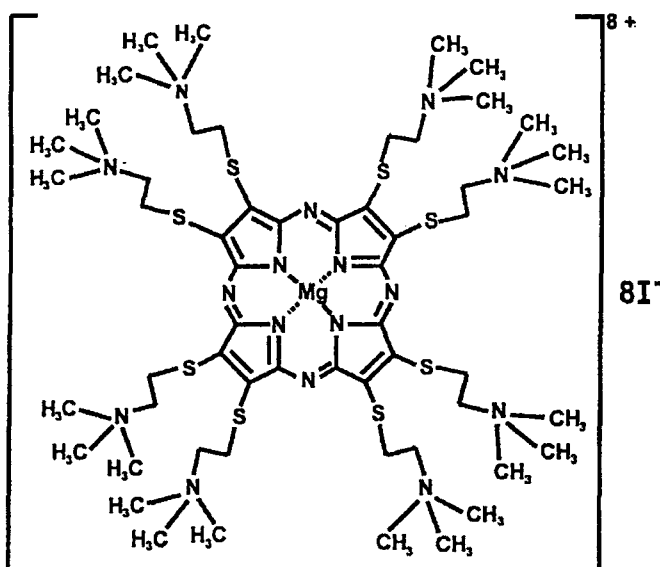
Ditiyomoleonitril disodyum tuzunun tiyofosgen ile reaksiyonu sonucu elde edilen 4,5-disiyono-1,3-ditiol-2-tion'un magnezyum alkoksid ile verdiği porfirazin, güç çözünmesi yönyle ftalosiyanlere büyük ölçüde benzemektedir. Ayrıca bu bileşikte magnezyum iyonunun trifluoroasetik asidden bile etkilenmemesi önemli bir farklılık oluşturmaktadır [43] ( Şekil 2.69 ).



**Şekil 2.69** Tetrakis(1,3-ditiyol-2-tiyono)-porphyrazin magnezyum türevi

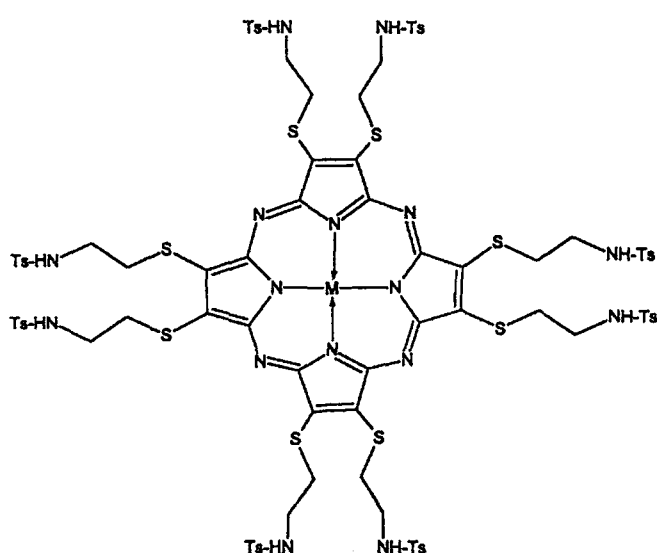
Dimetilaminoetilklorür'ün aynı başlangıç maddesiyle reaksiyonundan elde edilen bis(2-dimetilaminoetiltiyo) maleonitril'in siklotetramerizasyonundan elde edilen octakis-(2-dimetiaminoetiltiyo) porfirazin türevleri organik çözüçülerde çok iyi

çözünmektedir. Tersiyer amin grubunun metiliyodür ile kuarternerleştirilmesi suda çok iyi çözünen bir boyar maddenin elde edilmesini sağlamıştır [44] ( Şekil 2.70 ).



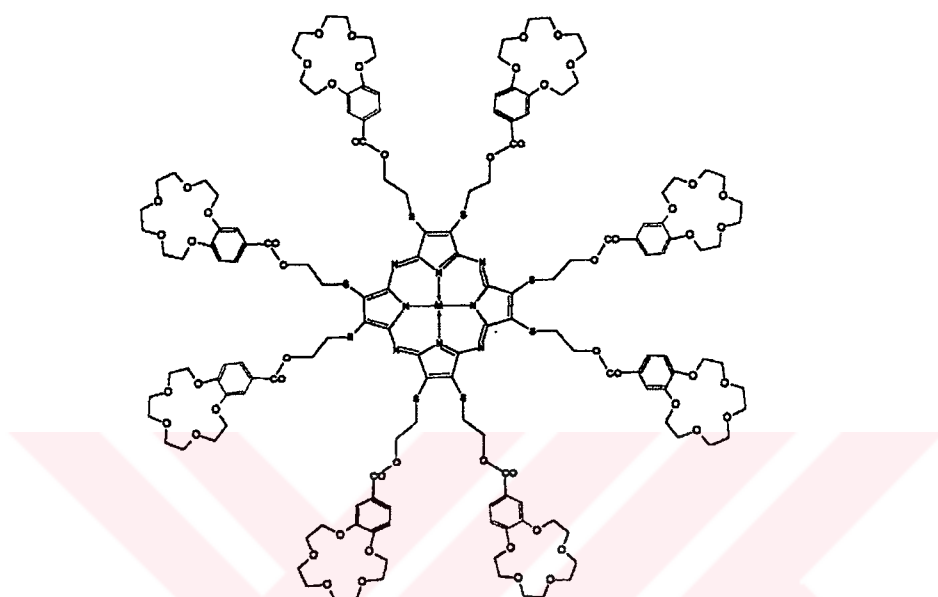
Şekil 2.70 Kuarterner yapıda porfirazin türevi

Ditiyomaleonitril disodyum tuzunda tiyo gruplarına tosylaminoetil gruplarının eklenmesi sonucu elde edilen başlangıç maddesinden hazırlanan porfirazinde, reaktif tosilamin grupları porfirazinlere çok farklı birimlerin kombine edilmesine imkan sağlayacağından önem taşımaktadır. İlk örnek olarak uzun zincirli alkil halojenürlerin Ts-NH grubuyla kolayca reaksiyon verebileceği gösterilmiştir [45] ( Şekil 2.71 ).



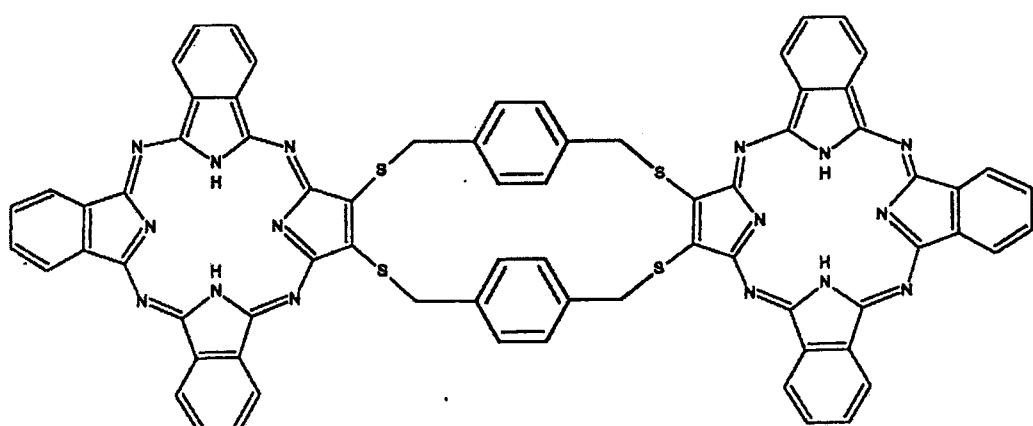
Şekil 2.71 Oktakis(2-tosylaminoethylthio)porfirazin türevleri

Porfirazinde periferal konumdaki reaktif grupların yeni bileşikler hazırlanmasındaki kullanımına diğer bir örnek sekiz hidroksietiltia grubu taşıyan porfirazindir. Disikloheksilkarbodiimid varlığında benzo-15-crown-5'in karboksilik asid türevi ile reaksiyona sokulması porfirazin çekirdeğine esnek gruplarla bağlı sekiz taç eter grubu taşıyan yeni bir bileşiğe ulaşılmasını sağlamıştır [46] ( Şekil 2.72 ).



Şekil 2.72 Oktakis(crown-eter) sübstitüte porfirazin

Siklofan köprülü bis(tetraapirol) bileşiklerinin sentezi amacıyla gerçekleştirilen diğer bir çalışmada önce ditiyomaleonitril disodyum tuzu ve p-ksilendibromürden bir doymamış tetranitril bileşiği hazırlanmış, bunun magnezyum alkoksid varlığında ftalonitril ile karışım halinde kondensasyonu, muhtemel diğer ürünler yanında istenilen bis(porfirazin) yapısını da vermiştir [47] ( Şekil 2.73 ).

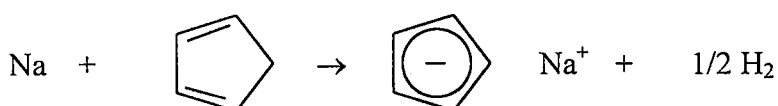


Şekil 2.73 Siklofan köprülü porfirazin

## 2.5. Ferrosen ve Türevleri [48]

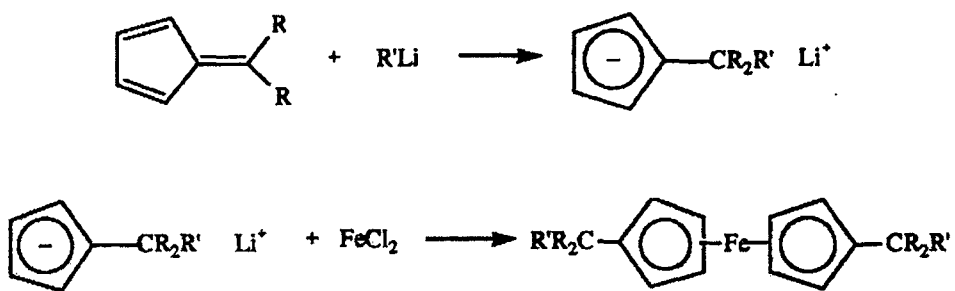
### 2.5.1. Oluşumu

Orjinal iki yöntemden demiroksit ve siklopentadienilden yüksek sıcaklıkta hazırlanması tarihsel ilişkisinden dolayı unutulmamalıdır. Diğer taraftan daha etkili olan Grignard yöntemi sadece ferrosene değil, aynı zamanda türevlerinin de temel yapısını oluşturur. Siklopentadienilsodyum, siklopentadienil metal komplekslerinin hazırlanmasında reaktif olarak kullanılır. THF gibi uygun polar solventlerde metal ile siklopentadien den doğrudan elde edilir.



Bu çözeltiler, bazı ortamlarda çözünmeyen metal tuzları bile reaksiyona girecek kadar reaktiftirler ( $\text{FeCl}_2$  içerenler gibi), halbuki siklopentadienil magnezyum bromür sadece çözünen metal türevleri ile reaksiyona girer ( $\text{FeCl}_3$ ,  $\text{Fe}(\text{acac})_2$ ). Bu yüzden ferrosen oluşumunun kolaylığı ve kararlılığı, diğer metallerin siklopentadienil türevlerinin de elde edilmesini sağlamıştır. Ortamda siklopentadienil anyonun çok az bir miktarda oluşumu yeterlidir. Bundan dolayı genel prosesler, aminler gibi zayıf bazların kullanımını gerektirir ve susuz ortamda çalışmak zorunluluğu getirmez. Böylece çok basit bir proses dimetilsülfoksit içinde çözünmüş baz olarak potasyum hidroksit ile hidrate demir (II) sülfat ( $\text{FeSO}_4 \cdot 4\text{H}_2\text{O}$ )'dan gerçekleştirilebilir.

Alkali metallerle düzgün bir reaksiyon vermeyen multi-sübstítüé siklopentadienler butil lityum kullanılarak hazırlanan lityum tuzları ile reaksiyona sokulabilirler. Lityum siklopentadienler diğer reaksiyonlar içinde başlangıç materyali olarak kullanılabilir. Örneğin; tuzları alkil (yada aril) lityumlarının ilavesiyle fulvenlere dönüßen tert-alkilsiklopentadienler ve 1,1'-di(tert-alkil) ferrosenler oluşturmaktı direkt olarak kullanılırlar (Şekil 2.74).



**Şekil 2.74** Multi-sübstitüe siklopentadienler.

Yukarıdaki prosedürlerden birinin seçimi ile, çoğu alkil ve aril içeren poli sübstitüe siklopentadienler, di- ve polisübstitüe ferrosenlere ve benzoferrosenlere dönüştürülebilir. Bununla beraber, mono sübstitüe ferrosenler sadece siklopentadienler ile sübstitüe siklopentadienlerin karışımlarından düşük verimle elde edilebilir ve az miktarda da fonksiyonel sübstituentler oluşturan siklopentadienler hazır olarak elde edilebilir. Bu nedenle elektrofilik sübstitusyon reaksiyonlarında ferrosenin yüksek reaktif oluşunu kullanarak bir sübstitüe veya iki (ya da daha fazla) fonksiyonel grup takmak hemen hemen her zaman oldukça kolaydır.

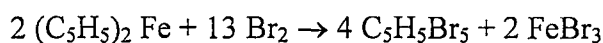
### 2.5.2. Özellikleri

Ferrosen, 174°C'de süblimleşerek portakal renginde kristaller verir. Çoğu organik solventlerde çözünebilir, fakat suda çözünmez. 470°C'ye kadar kararlıdır ve özellikle asitlerin varlığında oldukça kolay okside olur (örneğin %90 etanol/HClO<sub>4</sub>/NaClO<sub>4</sub> de redoks potansiyeli normal hidrojen elektrotta -0,56 V'tur). Okside olmuş yapısı ferrosenyum katyonudur ((C<sub>5</sub>H<sub>5</sub>)<sub>2</sub>Fe<sup>+</sup>). Bu çözelti halinde belirgin mavi renge dönüşür ve paramagnetik yapısından dolayı düşük stabiliteli olmasına neden olur. Bazı basit tuzları su içinde çözünebildiği gibi (örneğin halojenürler, sülfat, v.s.) bazı anyonlarla çöktürülebilir (triiodür, hekzaflorofosfat, pikrat v.s) [49]. Elektron-çekici gruplar ferrosen çekirdeğinin oksitlenmesini engeller. [(C<sub>2</sub>Me<sub>5</sub>)<sub>2</sub>Fe]<sup>+</sup>-[TCNE]<sup>-</sup> tuzu 60 K'nın üzerinde ferromagnetiktir [50].

Ferrosenin yapısı çeşitli X-ışınları ve elektron difraksiyon çalışmaları ile aydınlatılmıştır. Tüm karbon atomlarından eşit uzaklıktaki demir atomu paralel olan halkaları sağlamlaştırır. Birbirine bağlı iki halkanın dönüşümünde çok küçük bir enerji bariyerinin olduğu bilinir ve oda sıcaklığında kristal şeklinde de bu hareketlilik kalabilir. Daha önceki X-ışınları paralel halkaları birbirine göre çapraz

konfigürasyonunda olduğunu göstermiş, fakat düşük sıcaklıklarda (98K) gaz fazında eclipsed yapısında olduğu ispatlanmıştır [51]. Dekametilferrosenin elektron difraksiyonu [52] da kristal X-ışını çalışmalarında olduğu gibi gaz fazında çapraz konformasyonunda olduğunu göstermiştir [53].

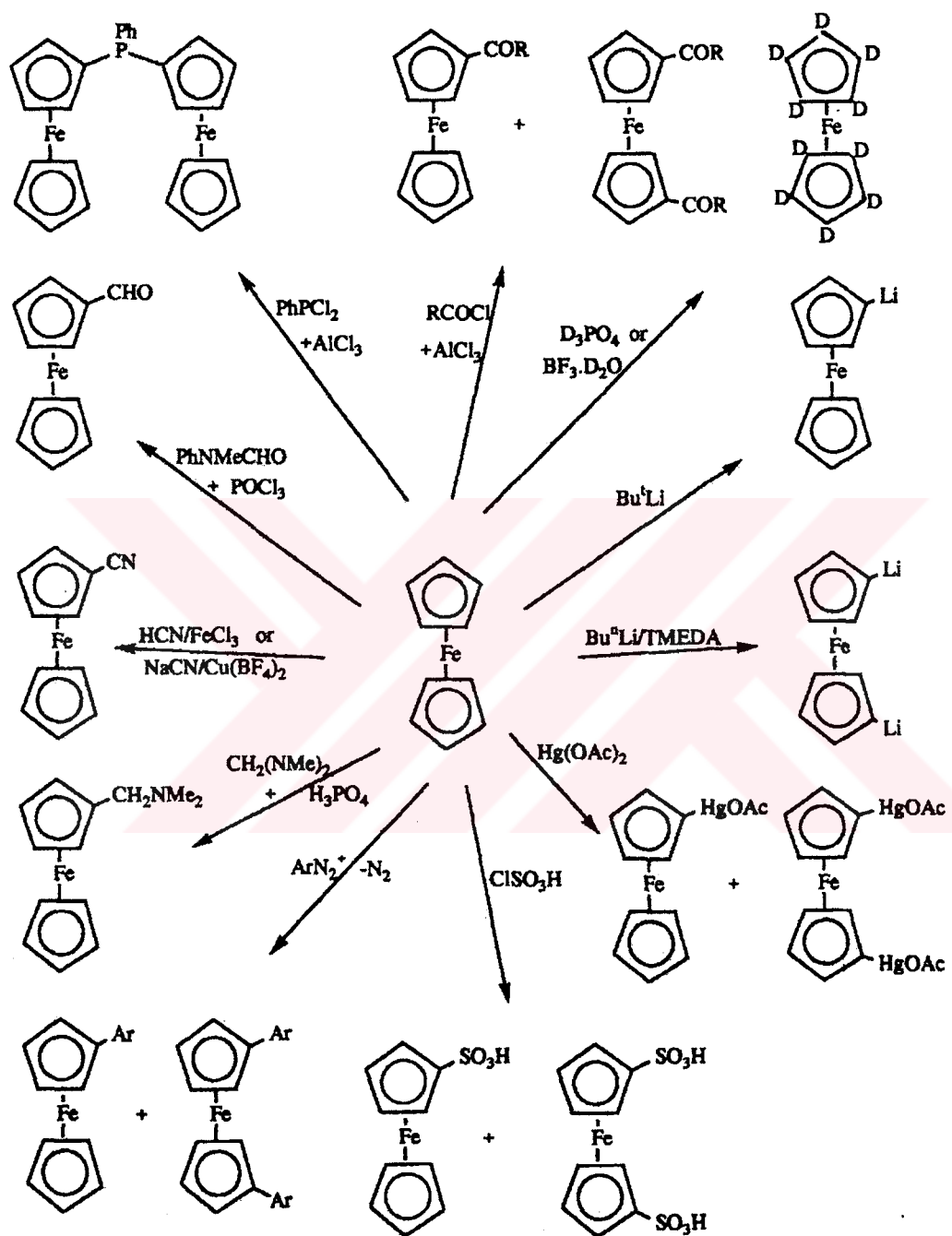
Benzenin siklohekzana indirgendiği şekilde ferrosenin hidrojenasyonu aşağıdaki koşullarda gerçekleşmez, ama metil/amin sistemleri, demir metaline ve siklopentadienid iyonuna indirgemiştir:



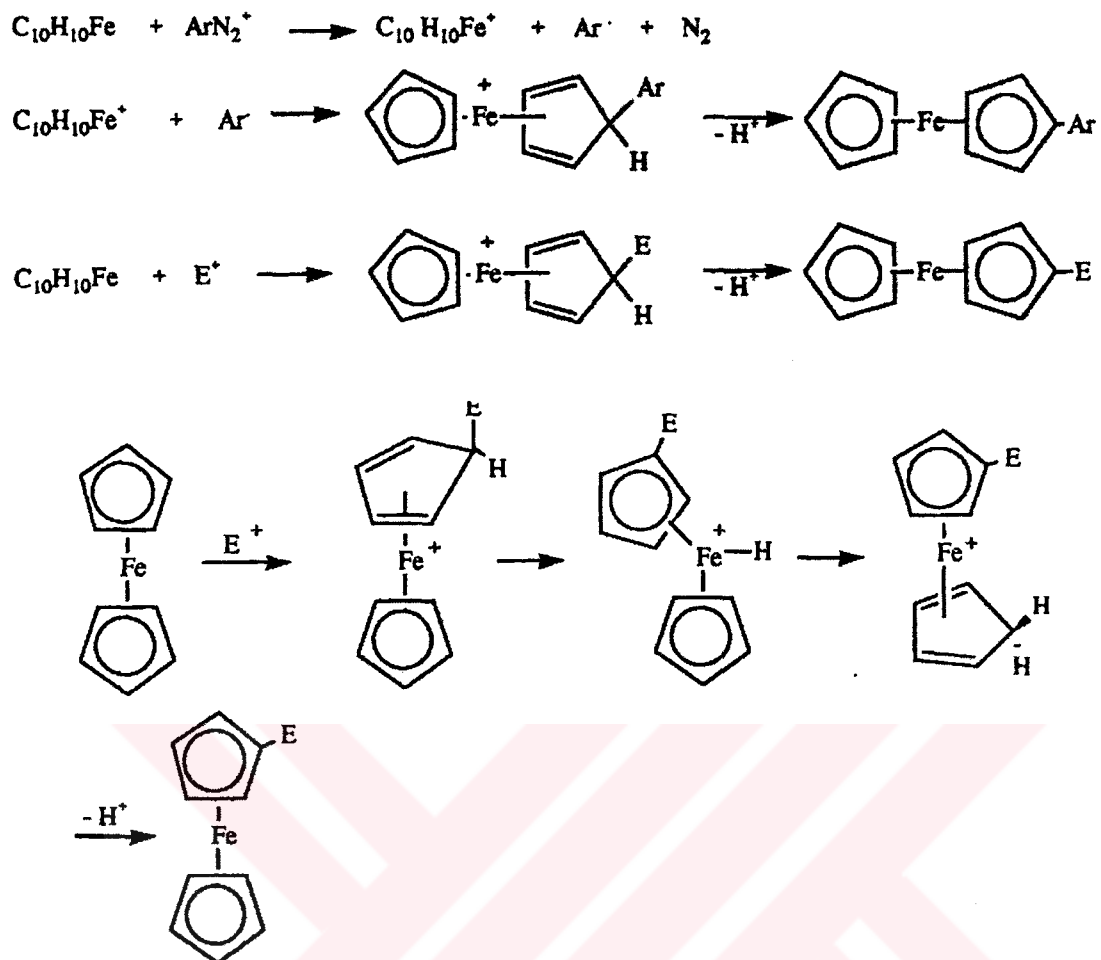
Bromun aşırısında yükseltgen parçalanma sonucu pentabromosiklopentan ürünü oluşur.

Çok az miktarda halojen, nitrolama reaktifi gibi davranışır ve oksidasyon sonucu ferrosenum tuzu oluşturur. Ferrosenum iyonundaki pozitif yükün elektrofilik özelliği engellendiğinde, direkt olarak ferrosenin halojenlenme ve nitrolanması da engellenmiş olur. Fakat ferrosen diğer elektrofillerin çoğu ile sübstitüe olmaya çok yatkındır. Reaktivitesi, fenol veya anilin gibi kuvvetli aktifleyici grupları taşıyan benzen türevleri ile aynı düzeydedir. Bazı çok kullanılan sübstitüsyon reaksiyonları ve tercih edilen reaktifler Şekil 2.75'de özetlenmiştir. Radikal eşleşme ile yürüyen ve elektron transferiyle gerçekleştiğine inanılan bu iki tür reaksiyon arilleme ve siyanürleme reaksiyonlarıdır (Şekil 2.76). Genellikle Wheland tipin gerçek elektrofilik proseslerde oluşabileceği inanılması bir ara ürün üzerinden reaksiyonların olduğunu göstermiştir.

Elektrofilik atağın tercih edilen şekli *endo* protonunun sonraki transfer ile *exo* tarafından demir atomuna doğru transferidir [54]. Karbon halkasındaki *exo* protonunun uzaklaştırılması ile reaksiyonun işleyişi tamamlanır. Proton bağlamış demirin bu şekli spektroskopik olarak gözlenmiş (E=H), fakat bu mekanizmaya göre metal atomuna direkt atakta bulunulmamıştır.

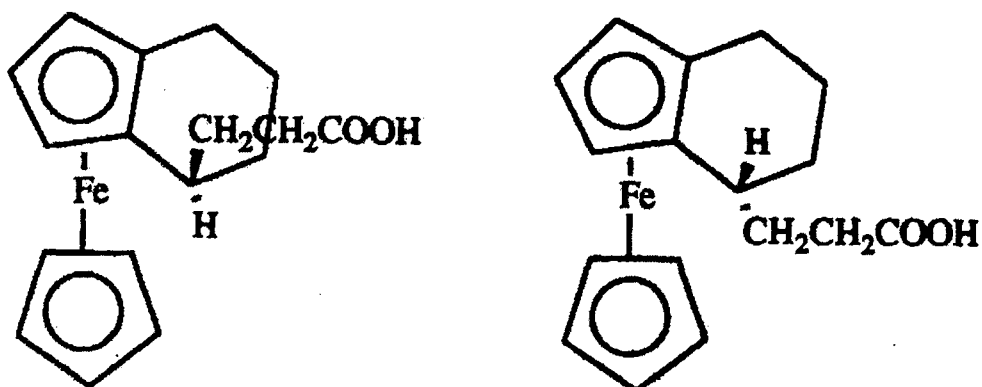


Şekil 2.75 Ferrosenin sübstitüsyon reaksiyonları



Şekil 2.76 Ferrosenlerde elektrofilik sübstiyüson mekanizması

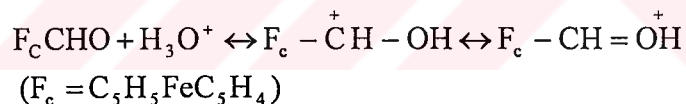
Elektrofillerin *endodan* daha hızlı *exo* ile gerçekleştiğini gösteren ilk kanıtlar aşağıdaki izomerlerin halka oluşturma hızıyla karşılaştırılarak anlaşılmıştır. Fakat sonuncusu, elektrofilin *endo* katılmasınınında mümkün olduğunu göstermektedir [55].



Şekil 2.77 Ferrosen bileşigine *exo* ve *endo* elektrofilik atak

Basit Friedel-crafts açılısyonu, denenen ilk elektrofilik sübstitusyondur ve hem ferrosenin yüksek reaktivitesini hemde bir halkadan diğer bir halkaya sübstituentin geçiş etkilerini göstermektedir. Bundan dolayı, ferrosen daha ılımlı şartlar altında benzenden daha çok açılısyon reaksiyonuna uğramamasına rağmen, anisolun 10 ekivalen molü varlığında, asetil klorürün sınırlı bir miktarı ile reaksiyona girerse, metoksi-asetofenon varlığı tespit edilemez, bu şartlar altında sadece asetilferrosen oluşmaktadır. Kantitatif bir çalışma, ferrosenin asetil ferrosenden  $10^4$  kadar yüksek bir hız faktörü ile açillendiğini göstermektedir [56] (Şekil 2.77 ).

Ferrosenin çok reaktif oluşu hem Vilsmeier formillendirme hem de Mannich aminometillendirme reaksiyonlarına girme kabiliyetiyle tasvir edilmiştir. Aminometilasyon daha zorlayıcı şartlarda 1,1'-disübstütüle bileşiği oluşturabilse de her ikisi de yüksek oranda mono-sübstütüle bileşiği vermektedir. Ferrosenkarboksialdehitin çeşitli reaksiyonları kayıt edilmiştir. Bunun davranışsı elektronca zengin bir halkaya bağlanan formil grubunda olduğu gibi tipik bir aromatik aldehit şeklindedir. Bundan dolayı benzoin kondenzasyonuna uğramaz. Bu aldehitin göze çarpan bir özellikle de protonlanmış katyon olarak sulu mineral asitlerde çözünebilmesidir.



## 2.6. Siklik Voltametre (CV)

Voltametri, elektrod potansiyeline ( $E$ ), akıma ve durağan olmayan haller söz konusu ise zamana ( $t$ ) bağlı olarak bir elektrod-elektrolit ara yüzeyinde meydana gelen elektrokimyasal proseslerin incelenmesidir. Bir voltamogram,  $I$ 'a karşı  $E$  değerlerini deneysel zaman skalasını belirterek gösterir. Genellikle voltametri farklı akım veya potansiyel dalgalarını uygulayarak, farklı fiziksel ve kimyasal özellikteki ve geometrideki elektrodlar kullanılarak ve elektrokimyasal çözeltide kontrol edilebilir bir konveksiyonu zorlayarak yürütülür. Şimdi biz yardımcı elektrod içeren bir çözeltide ve sadece stabil oksidasyon halindeki O ligandını ve bunun indirgenerek oluşturacağı R ürününden oluşan çözeltideki ilişkileri gözden geçirelim:



Eğer elektrod tipik olarak milimetre kare mertebesinde düzgün yüzeye (A) sahip ise, I-E arasındaki ilişki aşağıdaki gibidir.

$$I = n F A k^\circ [c_o^{\text{yüzey}} \exp\left(\frac{-\alpha nF}{RT}(E - E^\circ)\right) - c_R^{\text{yüzey}} \exp\left(\frac{(1-\alpha)nF}{RT}(E - E^\circ)\right)] \quad (A.2)$$

ve aynı zamanda Fick'in birinci konumuna göre dönüştürülebilirler:

$$I = -n F \frac{dc_o^{\text{yüzey}}}{dt} = -n F D_o \frac{dc_o^{\text{yüzey}}}{dx} \quad (A.3)$$

$$I = n F \frac{dc_R^{\text{yüzey}}}{dt} = n F D_R \frac{dc_R^{\text{yüzey}}}{dx} \quad (A.4)$$

F ve  $E^\circ$  Faraday sabiti ve standart elektrod potansiyeli iken;  $c_o^{\text{yüzey}}$  ve  $c_R^{\text{yüzey}}$  elektrod yüzeyindeki O ve R'nin konsantrasyonlarıdır.  $D_o$  ve  $D_R$  difüzyon katsayılarını verir; standart hız sabiti (elektron transferi) ve elektron transfer katsayısı olarak bilinen  $k^\circ$  ve  $\alpha$  ise elektron transferinin uygulanmasını karakterize eden kinetik parametrelerdir; x, elektrod yüzeyine olan uzaklıktır.

Elektroda  $E_o$ 'a yakın bir potansiyelde reaksiyon başlayınca, elektrodun karşısındaki çözeltinin ince bir tabakasında O ve R'den her ikisinin konsantrasyonları,  $c_o$  ve  $c_R$ , ana çözelti kütlesinden farklı olur. Bu tabaka difüzyon tabakası olarak bilinir. Difüzyon tabakasının ötesinde, çözelti doğal ve zorlanmış konveksiyonların etkisi altındadır. Reaksiyon devam ederken difüzyon tabakası ( $\ell$ )'nin kalınlığı durağan bir hale ulaşıcaya kadar zamanla artar. Bu davranış bir voltamogramın bazı özellikleri için hesaplanabilir ve bunlar relaksasyon prosesleri olarak bilinir.

Elektrod potansiyellerinin yanında (A.3) ve (A.4) eşitlikleri elektrod akım çıktısının konsantrasyon gradientleri  $dc_o^{\text{yüzey}}/dx$  veya  $dc_R^{\text{yüzey}}/dx$  ile orantılı olduğunu gösterir.

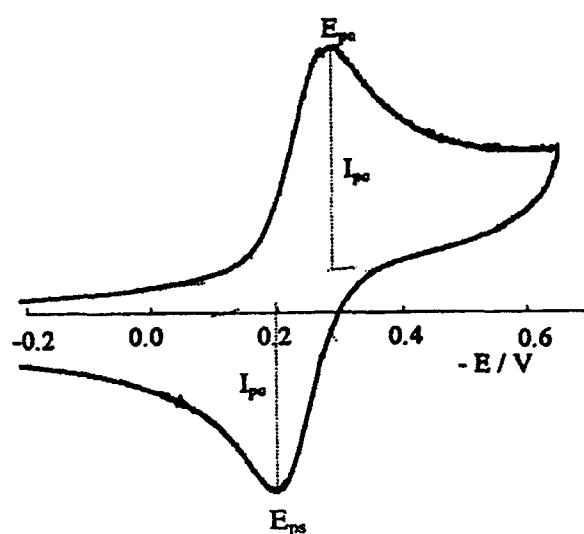
Eğer diffüzyon tabakasının konsantrasyon dağılımı hemen hemen doğrusal ise, durağan halde doğru olan bu durumun (A.5) denkleminde belirtildiği şekilde kalitatif olarak genelleştirilebileceğini söyleyebiliriz.

$$\frac{dc_o^{\text{yüzey}}}{dx} \approx \frac{c_o - c_o^{\text{yüzey}}}{\ell} \quad (\text{A.5})$$

Bu yaklaşım, siklik voltametrede nitel değerlendirmeler için çok kullanışlıdır.

En popüler voltametrik yöntem, teorideki son gelişmeleri kapsaması ve ticari olarak geliştirilmiş ekipmanlarının temin edilebilmesi bakımından muhtemelen siklik voltametredir (CV). Bu teknik, hiçbir reaksiyonun olmadığı bir noktadan başlayıp,  $E^\circ$ dan geçip diğer bir potansiyele doğru ve sonra da tekrar başlangıç potansiyeline dönecek şekilde elektrod potansiyelinin zamana göre doğrusal taranmasıdır. Bu sebeple, zaman değişkeni tarama hızı,  $v$ , ile temsil edilebilir.

Bir CV voltamogramı elektrodun yapısına ve çözeltinin konveksiyon şekline bağlı olarak ya dinamik ya da durağan bir şekilde kaydedilebilir. Geleneksel disk şeklindeki bir elektrolden durgun bir çözeltide, eğer tarama hızı durağan olmayan halin bulunduğu göstererek kadar yüksekse akım ileriye ve geriye doğru taramalarda farklı tepki gösterecektir. Aşağıdaki şekil tersinir bir indirgeme için tipik bir CV'yi göstermektedir (Şekil 2.78).



Şekil 2.78 Siklik voltomogram

CV, asimetrik pik şeklinde bir akım dalgası veya dalga çifti gösterir. Potansiyel tarama hızının artırılması akım çıkışısını artırrır ve CV'nin pik şeklini belirleyen başlıca unsur potansiyel tarama hızıdır.

Eğer potansiyel tarama hızı çok yavaşsa, difüzyon yüzeyinin relaksasyonu daima  $c_o^{yüzey}$  'deki değişikliğe bağlı olarak ilerler ve durağan hal (steady state) voltamogramı (SSV) kayıt edilir. Daha yüksek bir tarama hızında  $c_o^{yüzey}$  'deki değişiklik difüzyon tabakası relaksasyonundan daha hızlı olur; verilen bir potansiyel de daha büyük bir akım çıkışısı aşağıdaki denkleme göre daha ince bir diffizyon tabakası sonucunda bulunur (A.5).

Bu, CV akımının tarama hızına bağımlılığı nedeniyledir. Öte yandan  $c_o^{yüzey}$  etkin bir şekilde O'a yaklaştırıldığı zaman potansiyeldeki ek artışlar akım çıkışısını artık etkilemeyecektir. Ancak, bu safhada diffizyon tabakası kararlı halden oldukça uzaktır, fakat tabaka kalınlığının artmasına yol açan relaksasyon devam eder. Yukarıdaki denkleme göre, bu CV'nin tepe şeklini oluşturacak ve akım çıkışısında da bir azalmayla sonuçlanacaktır.

Benzer bir tartışma, potansiyel taraması geriye döndüğü zaman görülen tekrar yükseltgenme prosesinde ortaya çıkabilir. Ancak tarama geriye döndürüldüğünde difüzyon tabakasının sadece R'yi değil aynı zamanda O'da içeriği belirtilmelidir. Taramanın geri döndürülümsün olmasına rağmen O'nun indirgenmesi devam eder ve R'nin yükseltgenmesi baskın unsur olduğu potansiyele tarama işleminde yaklaşılınca kadar akım çıkışısının ana unsuru olur. Bu, oksidasyon dalgasının daha küçük olan tepe akımı, ana çözeltiye diffüzlenen ve bu süre içerisinde yeniden yükseltgenemeyen üründen kaynaklanmaktadır.

CV ölçümlerindeki anahtar parametreler dalga şekli, tepe potansiyelleri,  $E_{pa}$  ve  $E_{pc}$  ve daha önemli tarama hızına bağlılık dereceleridir. Tersinir ve quasi tersinir proseslerde,  $E_{pa}$  ve  $E_{pc}$  'nin ortalama değerleri  $E_{1/2}$ 'ye eşit veya buna çok yakındır.  $25^{\circ}\text{C}$  de  $0 + \text{ne} \Leftrightarrow \text{R}$  reaksiyonu gibi bir elektrod indirgenmesinin tersinir olup olmadığına karar vermek için kullanılan kriterler şunlardır.

$$1. \Delta E_p = E_{pa} - E_{pc} = 59/n \text{ mV}$$

2.  $|I_{pa}/I_{pc}| = 1$
3. Hem  $I_{pa}$ , hem de  $I_{pc} \nu^{1/2}$  ile orantılıdır.
4. Hem  $E_{pa}$ , hem de  $E_{pc}$  tarama hızından bağımsızdır.
5.  $E_{pc}$  veya  $E_{pa}$ 'nın dışındaki potansiyellerde,  $I \propto t^{-1/2}$  ile orantılıdır.

Yukarıdaki kriterlerden herhangi bir sapma kinetik komplikasyonların belirtisi olup ayrı ayrı incelenmelidir. Ancak bir durumun not edilmesi yerinde olur, sudan başka çözeltiler içinde genellikle kompanse edilmeyen ve oldukça büyük bir değerdeki çözelti direncinden kaynaklanan IR düşüşünün bir sonucu olarak  $\Delta E_p$  için çoğu kez 70 ve 100 mV arasında tipik değerler gözlenir. IR kompensasyon teknikleri mevcut ise de her zaman güvenilir değildirler ve ölçülen  $\Delta E_p$  değerlerini aynı şartlar altında ölçülmüş bilinen bir tersinir reaksiyonun ki ile karşılaştırmak daha uygundur.

Elektrokimyasal tanıma çalışmalarında sık karşılaşılan kinetik bir durum EC mekanizması olarak adlandırılır ki burada elektron transferini takiben kimyasal mekanizma meydana gelir. Bir çeşit kimyasal reaksiyon ligandin oksidasyon hal değişimi sonucunda kompleksleşme veya kompleks ayrışmasının meydana gelmesidir. Diğer bir tip reaksiyon, iyon çifti oluşumu hali gibi, konuk türler ile redoks merkezi arasında gerçekleşen elektron transferinden sonraki reaksiyondur. Her iki durumda da elektron transfer reaksiyon ürünü kimyasal reaksiyon da sarfedildiğinden elektron transferi hızlıdır, fakat onun geri dönüşüm prosesi oldukça yavaş olur. Buna karşılık CV'de görülen değişimler, ileri tarama dalgası tarama yönüne zıt yönde kayar, geri dönüş taraması daha küçük olur ve kaybolur.

Tamamiyle tersinir olmayan bir reaksiyon için, pik potansiyeli CV'den alınan tek bir potansiyel parametresi olan bir tek akım dalgası olacaktır. Bu durumda, tepe potansiyeli muhtemelen tarama hızına bağlı olacağından, sadece SSV tarafından elde edilebilen  $E_{1/2}'yi$  değerlendirmek için kullanılamaz. Ancak, pik potansiyeli ve onun bağlı olduğu tarama hızının belirlenmesi  $E_{1/2}$  değerinin ifadesinden daha az önemli olduğu anlamına gelmez ve daha kapsamlı bilgiler her iki veriyi de birlikte sunup, tarama hızındaki ve diğer deneysel şartlardaki değişimler sonucunda ortaya çıkan farkların araştırılmasını da içerebilir.

## **2.7 Çalışmanın Amacı ve Kapsamı**

Son yıllarda hem temel bilim, hem de uygulamalı kimyada üzerinde önemle durulan konulardan birini, tetraapirol türevleri olarak groplayabileceğimiz porfirazinler, ftalosiyaniner, tetrabenzenoporfirinler ve porfirazinler oluşturmaktadır. Porfirazin olarak da adlandırılan tekraazaporfirinler (TAP) ise 1952'den sonra, kimyanın temel araştırma konularından biri olmaya başlamıştır. TAP bileşikleri, organik solventlerde ftalosiyaninerden çok daha fazla çözünürler. 1980'den itibaren ditiyomaleonitril disodyum tuzundan çıkılarak porfirazin sentezi üzerinde yoğun araştırmalar gerçekleştirilemiştir.

Tetraapirol türevlerinin ferrosen grupları ile kombinasyonu son yıllarda ftalosiyanin ve porfirinler için denenmiş, periferal konumda ki organometalik grupların elektrokimyasal özelliklerinin makrohalkadaki  $\pi$ -elektronları ile etkileşime girip girmediği araştırılmıştır. Bu etkileşimin, ferrosen ve tetraapirol çekirdeği arasındaki köprü grubunun uzunluğu ile yakından ilgili olduğu sonucuna varılmıştır. Bu konunun porfirazinler takdirindeki durumunun incelenmesi bu tezin ana konusunu oluşturmaktadır.

Bu çalışmada ditiyomaleonitril disodyum tuzundan çıkılarak ferrosen sübstitüe porfirozinlerin sentez edilmesi amaçlanmıştır. Hedeflenen porfirazinin sentezi için ilk önce Mg-alkolat ortamında bu metal iyonunun template etkisi sonucu oluştugundan magnezyum-porfirazin türevi olacak, daha sonra ferrosenin uygun monokarboksilik asit türevi ile muamele edilecektir.

Ferrosen sübstitüe magnezyum porfirazinin asitle muamelesi metalsiz porfirazin verecektir. Diğer metal türevlerinin hazırlanması metalsiz porfirazin üzerinden olacaktır. Ayrıca bu sentez edilen tüm porfirazinlerin elektrokimyasal çalışmaları da inceleneciktir.

Elde edilen bileşikler elementel analiz, IR,  $^1\text{H}$  NMR,  $^{13}\text{C}$  NMR, kütle ve UV-görünür bölge spektrofotometresi gibi spektroskopik yöntemler ile incelencek ve yapıları ortaya konulacaktır.

### **3. KULLANILAN MADDE VE ALETLER.**

#### **3.1. Maddeler**

Sodyum siyanür, dimetil formamid, karbonsülfür, iso-bütanol, dietil eter, fosforpentoksit, kloroform, metanol, iso-propil alkol, benzen, mutlak alkol, 2-bromo etanol, t-butil metil eter, Mg talaşı, n-propil alkol, iyot, sodyum karbonat, sodyum sülfat, dimetilsülfoksit, tetrahidrofuran, etilasetat, heptan, hegzan, diklormetan, ferrosen, asetikanhidrit, fosforik asit, aseton, piridin, sodyum hidroksit, glasial asetik asit, hidroklorik asit, disikloheksilkarbodiimid, silikagel, trifloroasetik asit, amonyak, 2-klor etanol, Co(II) asetat, Zn(II) asetat, Cu(II) asetat Merck, Fluka ve Aldrich firmalarının kimyaca saf çözücü ve kimyasal maddeleridir. Gerekli olan solventler kullanılmadan önce azot altında literatürlerde belirtildiği şekilde saflaştırılmışlardır (\*Ref: Purification of organic compounds).

#### **3.2. Aletler**

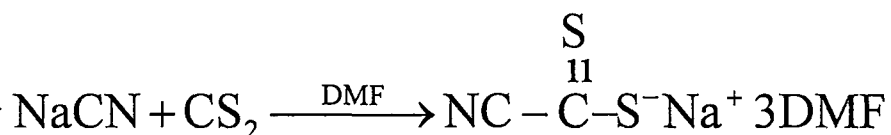
İnfra kırmızı spektrometri	: Mattson 1000 FTIR	Anorganik Kimya ABD.
Ultraviole-visible spektrometri	: Unicam UV/VIS	
Elementel Analiz	: Carlo-Erba 1106 TÜBİTAK-MAM	
NMR Spektrometresi	: Brucker AM 300 MHz	Oxford Üniv.
	: Varian-Unity 500 MHz	
Kütle Spektrometresi	: VG ZAB Spec TÜBİTAK-MAM, Oxford Üniv.	
Elektrokimya Çalışmaları 273	: Princeton Applied Research Potentiostat/ Galvanostat Model 273	Oxford Üniv.

## 4. DENEYSEL KISIM

### 4.1. Başlangıç Maddelerinin ve Yeni Maddelerin Sentezi

#### 4.1.1. Sodyumsiyano ditiyo formiyat sentezi [57]

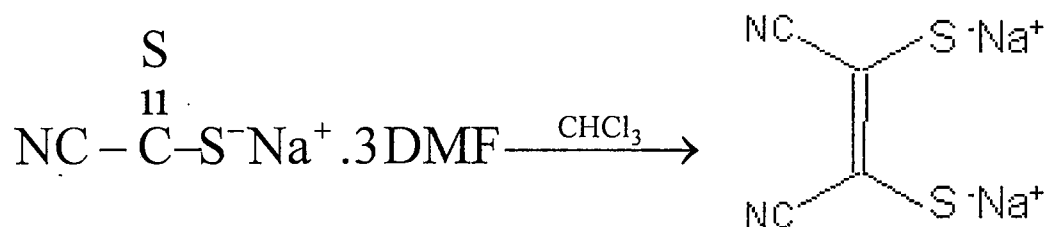
4.9 g (0,1 mol) ince öğütülmüş kuru NaCN 30 ml DMF içerisinde bulamaç haline getirilir. Şiddetli karıştırıp dıştan buzlu su ile soğutarak 6,2 ml (7,6 g, 0,1 mol) CS<sub>2</sub> 10 dakika içerisinde damlatılır. Buzlu su uzaklaştırılıp 30 dakika daha kuvvetlice karıştırılır. Koyu kırmızı-kahverengi macun haline gelen balon muhtevası yaklaşık 100 ml oluncaya kadar isobutanol ile doldurulup ürün çözünunceye kadar ısıtılır. Reaksiyona girmemiş NaCN'den kurtarmak için çözelti sıcakken süzülür. Çözelti soğumaya bırakıldığında uzun iğne halinde ürün kristallenir. Çözelti az miktarda eter ile yıkanır ve P<sub>2</sub>O<sub>5</sub> üzerinden kurutulur. Verim 31 g (%91). Kristaller üç DMF molekülü de içermektedir.



#### 4.1.2. Ditiyomaleonitril disodyum tuzu sentezi [57]

34.5 g (0.1 mol) sodyumsiyano ditiyoformiyat 110 ml CHCl<sub>3</sub> da çözülüp süzüldüğünde koyu kırmızı-kahverengi bir çözelti oluşur. Çözelti oda sıcaklığında 4-5 gün kendi haline bırakıldığında ürün ve kükürtten ibaret bir çökelti oluşur. Çöken kısım az miktarda CHCl<sub>3</sub> ve eter ile yıkanır. Metanol de çözülür, eter ilavesi ile ürünün çökmesi sağlanır. Limon sarısı kristaller oluşur. Su ve metanolde hafif, etanol

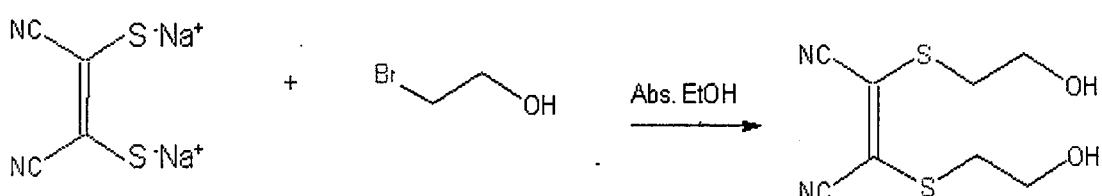
de iyi, isopropil alkol de az çözünür. Dietileter, benzen ve  $\text{CHCl}_3$  da çözünmez.  $300^\circ\text{C}$  de erimeden bozunur. Verim 9 g (%96)



#### 4.1.3. 1,2-bis (2-hidroksietiltiyo) maleonitril sentezi 1

5.58 g (0.03 mol) ditiyomaleonitrildisodyum tuzu 200 ml mutlak alkolde çözülür ve 7.5 g (4.28 ml, 0.032 mol) 2-bromoetanol azot altında ilave edilir. Oda sıcaklığında 3 gün tutulan reaksiyon karışımı süzülür ve süzüntüden alkol uçurulur. Yağimsı kalıntı t-butil metil eter ile muamele edilir ve t-butil metil eter uçurulur. Yağimsı ürünün bir müddet kendi haline bırakıldığında katılaştiği görülür ve soğuk dietileter ile çalkalanıp süzüldüğünde beyaz iğne kristaller sentez edilir. Verim 4.49 g (~%65) (E.N:63°C). Maddeye ait IR,  $^1\text{H}$  NMR spektrumları ekte mevcuttur.

Elementel Analiz	C	H	N
% Teorik	41.71	4.38	12.16
% Pratik	41.67	4.45	12.08



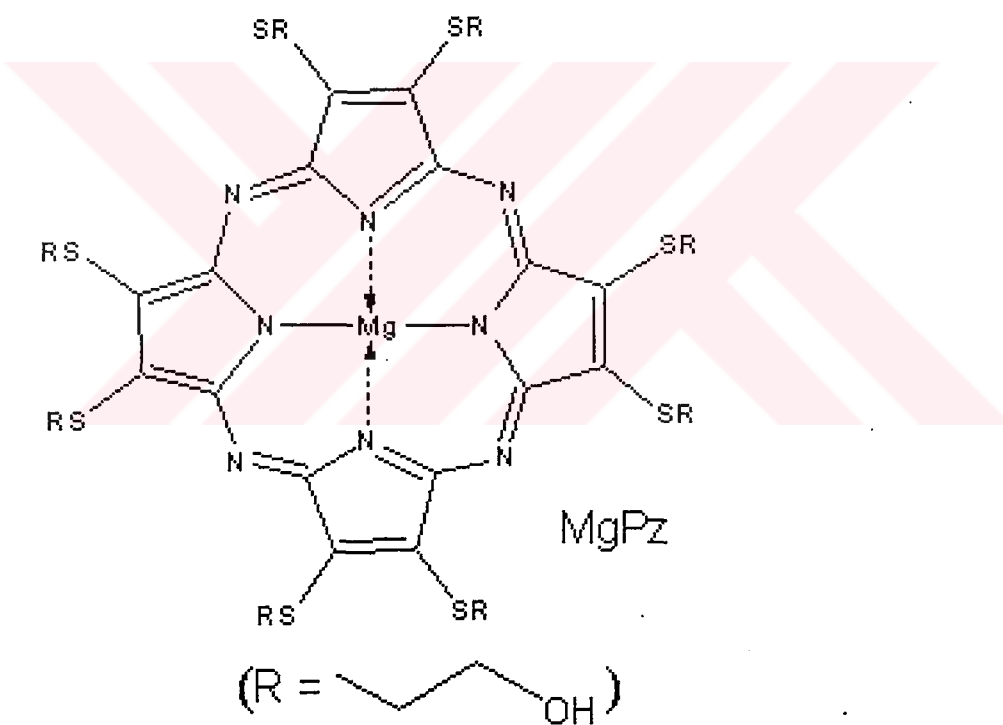
#### 4.1.4. [2, 3, 7, 8, 12, 13, 17, 18-oktakis (2-hidroksietiltiyo) porfirazinato $\text{N}^{21}\text{N}^{22}\text{N}^{23}\text{N}^{24}$ ] magnezyum (II) sentezi: MgPz 2

0,368 g (15,33 mmol) Mg n-propil alkolde geri soğutucu altında çözülür. Başlangıçta bir miktar iyot ilavesi de yapılır. Renk gri bulanık hale gelince  $\text{N}_2$  altında 5,3 g (23 mmol) 1,2-bis (2-hidroksietiltiyo) maleonitril ilave edilir. Madde ilave edilmez renk açık yeşilden koyu maviye döner. Reaksiyon 6 saat geri soğutucu altında tutulur ve reaksiyon kesilir kesilmez sıcakta süzülür. Kalıntı bol sıcak n-

propil alkolde yıkanır (~100 ml). Süzüntüler alınır ve solvent rotada uçurulur. Balondaki kalıntı %10'luk  $\text{Na}_2\text{CO}_3$  çözeltisi ile muamele edilir. Bol su ile yıkanır ve kalıntı kurutulur. Metanol de çözülür ve süzülür. Solvent uçurulur. Koyu mavi renkli viskoz ürün kromotografi ile saflaştırılır (1/50 metanol/ $\text{CHCl}_3$ ). Ürün metanol, etanol, n-propil alkol, DMF, DMSO $\neq$  THF de oldukça iyi çözünmekte, etil asetat, benzen, heptan, hegzan, kloroform ve diklormetanda ise çözünmemektedir.  $\text{C}_{32}\text{H}_{40}\text{N}_8\text{O}_8\text{S}_2\text{Mg}$ .

Verim: 3.8 g (%71). Maddenin IR, UV-görünür bölge spektrumu ekte mevcuttur.

Elementei Analiz	C	H	N
% Teorik	40.67	4.23	11.86
% Analiz	40.59	4.25	11.78

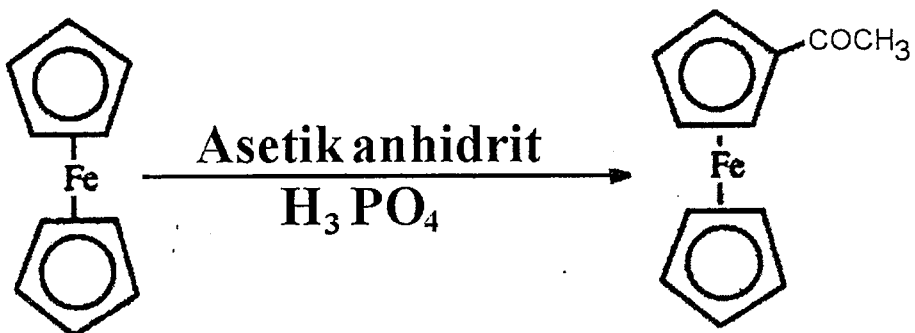


**Şekil 4.1** Oktakis (2-hidroksietiltiyo) porfirazin

#### 4.1.5. Asetil Ferrosen Sentezi [58]

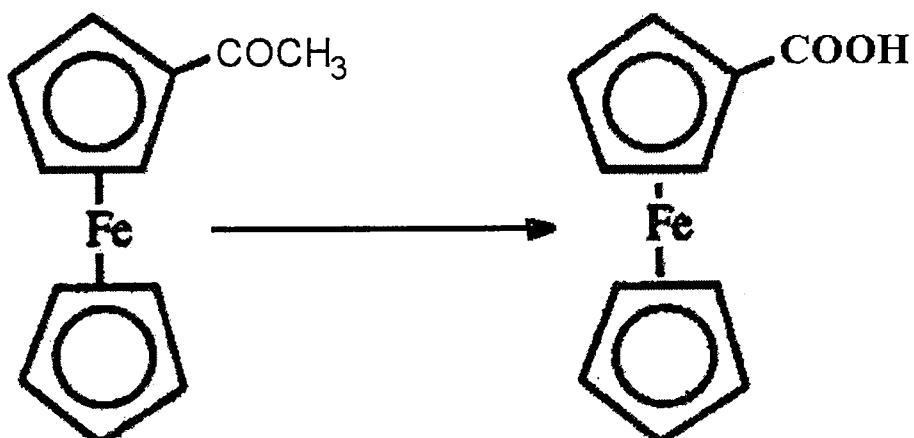
9.3 g (0.05 mol) ferrosen 25 ml asetikanhidrit ve 2 ml %85'lük  $\text{H}_3\text{PO}_4$  ile  $100^\circ\text{C}$  de ısıtılır. Reaksiyon 15 dakika sonra kesilir ve soğutularak buzlu suya dökülür. Karışım bir gece bekletilip  $\text{Na}_2\text{CO}_3$  çözeltisi ile nötralleştirildikten sonra süzülür ve bol su ile yıkanır. Kahverengi kristaller  $\text{P}_2\text{O}_5$  üzerinden kurutulur. n-heptan ile tekrar

kristallendirilebilir. Verim 9.4 g (~%80) E.N: 85-86°C. Alkol, eter ve aseton da oldukça iyi çözünmektedir.



#### 4.1.6. Ferrosenkarboksilik asit sentezi [59]

2.28 g (0.01 mol) asetil ferrosen ve 2.794 g (0.011 mol) I<sub>2</sub>, 6 ml pridin içerisinde yaklaşık 12 h oda sıcaklığında karıştırılır. Daha sonra karışım 90 dakika 100°C de ısırılır. Katılan ürün oda sıcaklığında 0.6 N NaOH çözeltisi ilave edilir ve 24 h karıştırmaya bırakılır. Sonra 1 saat 90°C de tutulan karışım süzülür. Süzüntü glasial asetik asitle asitlendirilir. Çöken kısım alınır ve eterde çözülür. Eterli kısım Na<sub>2</sub>CO<sub>3</sub> çözeltisi ile ekstrakte edilerek Na<sub>2</sub>CO<sub>3</sub> fazına alınır, ve buradaki çözelti HCl ile asitlendirilir. Çöken kısım süzülür ve bol su ile yıkandır, kurutulur. Verim 0.5 g (~%22) ürün 208.5°C de erimeden bozunmaktadır. CHCl<sub>3</sub> dan tekrar kristallendirilebilir.

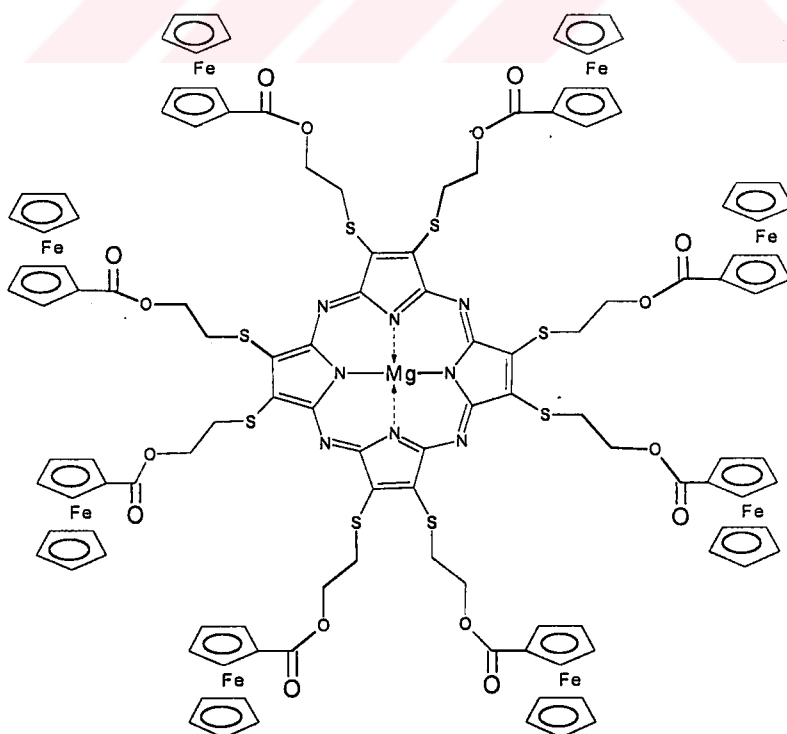


**4.1.7. {2, 3, 7, 8, 12, 13, 17, 18-oktakis[2'-(ferrosenkarboksi)etiltiyo]  
porfirazinato N<sup>21</sup>N<sup>22</sup>N<sup>23</sup>N<sup>24</sup>} magnezyum (II) sentezi: MgPz<sub>I</sub>**

3

0.472 g (0.5 mmol) MgPz, 2.208 g (12 mmol) disikloheksilkarbodiimid (DCCI), 0.086 g (0.5 mmol) p-toluen sülfonyik asit ve 2.760 g (12 mmol) ferrosen karboksilik asit 50 ml kuru pridin de oda şartlarında azot altında çözülür. Reaksiyon 72 h devam ettirilir. Karışım süzülür ve solvent uçurulur. Kloroform fazına alınan ürün %10 Na<sub>2</sub>CO<sub>3</sub> çözeltisi ile ekstrakte edilir. Kloroform fazı destile su ile yıkandır ve Na<sub>2</sub>SO<sub>4</sub> üzerinden kurutulur. Solvent vakumda uçurulur. Ürün soğuk etil alkol ile birkaç kez yıkandıktan sonra DCCI ve reaksiyona girmemiş ferrosenkarboksilik asit fazlarından uzaklaştırılır. Katı olarak ele geçen ürün kurutulur ve silikajelde kromatografi ile saflaştırılır (1/50 metanol/CHCl<sub>3</sub>). C<sub>120</sub>H<sub>104</sub>N<sub>8</sub>O<sub>16</sub>S<sub>8</sub>Fe<sub>8</sub>Mg verim: 0.4 g (%30) Maddenin IR, UV-görünür bölge spektrumu <sup>1</sup>H NMR, <sup>13</sup>C NMR ve Mass spektrumları ektedir.

Elementel Analiz	C	H	N
% T	54.55	3.97	4.24
% P	54.51	3.92	4.28



**Şekil 4.2. Ferrosen sübstítüe porfirazin (MgPz<sub>I</sub>)**

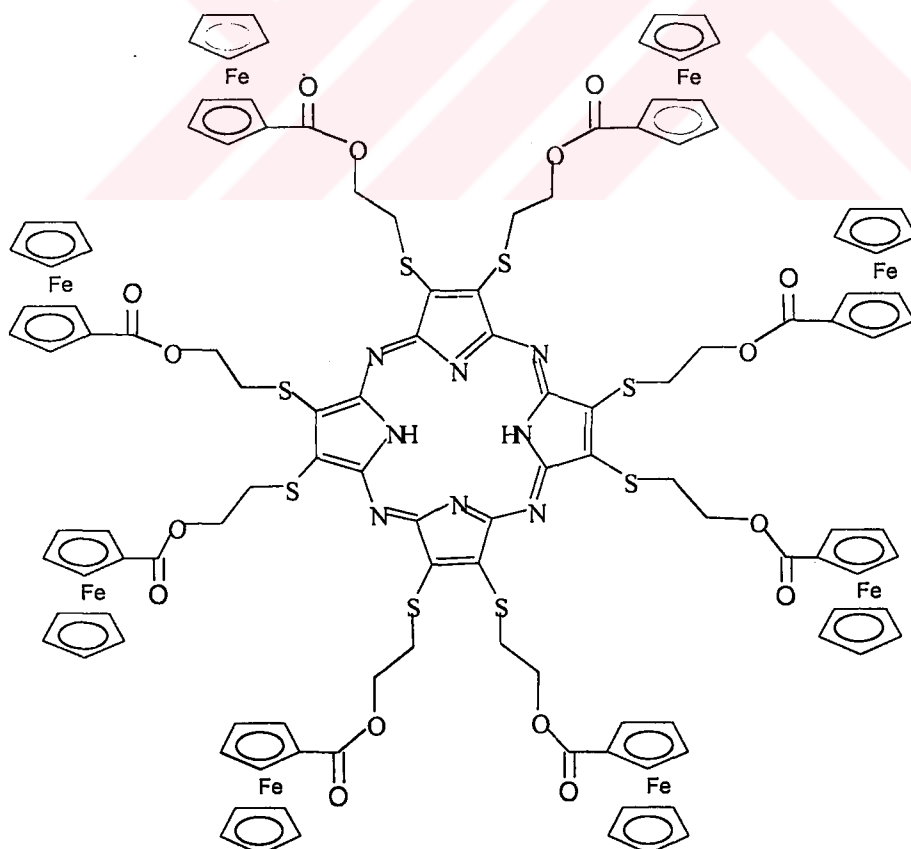
4.1.8. {2, 3, 7, 8, 12, 13, 17, 18-oktakis [2'-(ferrosenkarboksi)etiltiyo] 21H 23H  
porfirazin N<sup>21</sup>N<sup>22</sup>N<sup>23</sup>N<sup>24</sup>} H<sub>2</sub>Pz<sub>I</sub> sentezi      4

0.2640 g (0.1 mmol) MgPz<sub>I</sub> 2 ml CF<sub>3</sub>COOH içinde oda sıcaklığında çözülür. 3 h sonra buzun üzerine damla damla ilave edilir ve %25'lük NH<sub>3</sub> çözeltisi ile muamele edilerek çöktürülür, süzülür. Ürün en son bol destile su ile yikanır. Etil alkol ile temizlenen ürün eter ile kurutulur, kromotografi ile saflaştırılır (silikajel, 1/30 metanol/CHCl<sub>3</sub>). Ürünün rengi patlıcan moru şeklindedir. C<sub>120</sub>H<sub>106</sub>N<sub>8</sub>O<sub>16</sub>S<sub>8</sub>Fe<sub>8</sub>.

Verim: 0.170 g (~%65).

Ürün 2-kloretanol, kloroform ve diklorometan gibi solventlerde oldukça iyi çözünmekteidir. Maddenin IR, NMR, kütle, UV-vis spektrum sonuçları ekte mevcuttur.

Elementel Analiz	C	H	N
% Teorik	55.00	4.05	4.27
% Analiz	54.96	4.03	4.29



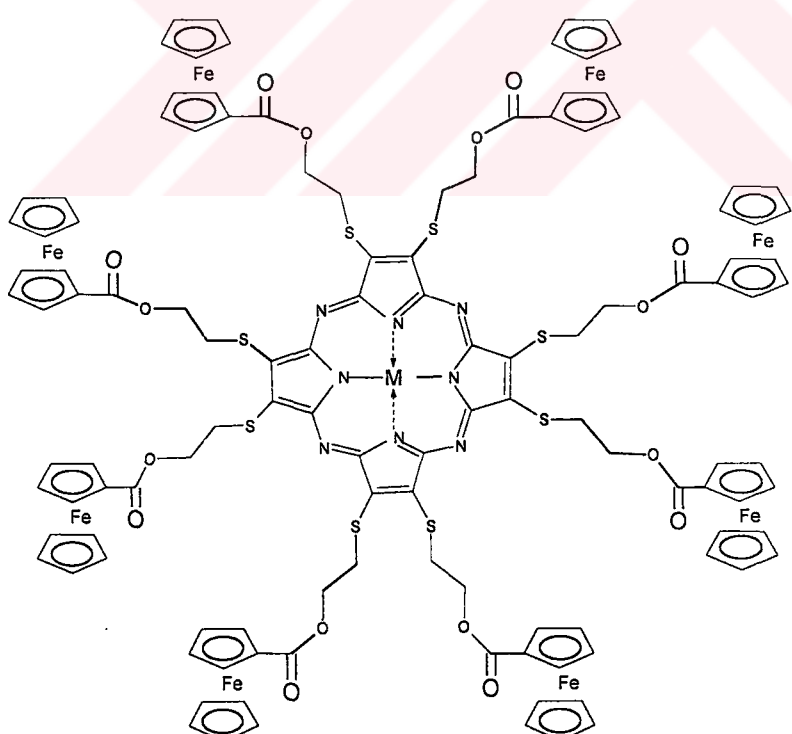
Şekil 4.3. Metalsız porfirazin

4.1.9.  $\{2, 3, 7, 8, 12, 13, 17, 18\text{-oktakis}[2\text{'-(ferrosenkarboksi)etiltiyo}]$   
 $\text{porfirazinato N}^{21}\text{N}^{22}\text{N}^{23}\text{N}^{24}\}$  kobalt (II) sentezi: CoPzI 5

0,2618 g (0.1 mmol) H<sub>2</sub>Pz<sub>1</sub>'nin 10 ml 2-klor etanoldeki karışımına 0.18 g (1 mmol) susuz C<sub>60</sub>(OAc)<sub>2</sub>'in 15 ml etanoldeki çözeltisi azot altında ilave edilir. 4 h geri soğutucu altında kaynatılır. Oluşan ürünün bir kısmı ve reaksiyona girmemiş Co(OAc)<sub>2</sub> tuzundan ibaret çökelti süzülür, CHCl<sub>3</sub> ile yıkandıktan sonra porfirazin süzüntüye alınır. Birleştirilen süzüntüler vakumda tamamen buharlaştırılır. Balondaki kalıntı az miktarda CHCl<sub>3</sub> da çözülüp hegzan üzerine damlatılarak çöktürülür. Sonuçta mavi renkli ürün silikajel de kromatografi ile saflaştırılır (1/20 metanol/CHCl<sub>3</sub>). C<sub>120</sub>N<sub>104</sub>N<sub>8</sub>O<sub>16</sub>S<sub>8</sub>Fe<sub>8</sub>Co. Verim: 0.1 g (%40).

Ürün kloroform, diklormetan gibi solventlerde oldukça iyi çözünmektedir. Bu maddeye ait IR, UV-görünür bölge spektrumları ektedir.

Elementel Analiz	C	H	N
% Teorik	53.79	3.88	4.18
% Analiz	53.76	3.90	4.15



**M = Co, Zn, Cu**

**Sekil 4.4** Metal porfirazin türevleri

**4.1.10. {2, 3, 7, 8, 12, 13, 17, 18-oktakis[2'-(ferrosenkarboksi)etiltiyo]**

**porfirazinato N<sup>21</sup>N<sup>22</sup>N<sup>23</sup>N<sup>24</sup>} çinko (II) sentezi: ZnPz<sub>I</sub>** 6

0.2618 g (1 mmol) H<sub>2</sub>Pz<sub>I</sub>'nin 10 ml 2-kloretanoldeki karışımına 0.183 g (1 mmol) susuz Zn(OAc)<sub>2</sub>'in 15 ml etanoldeki çözeltisi azot altında ilave edilir. 5 saat geri soğutucu altında kaynatılır. Oluşan ürünün bir kısmı ve reaksiyona girmemiş Zn(OAc)<sub>2</sub> tuzundan ibaret çökelti süzülür, CHCl<sub>3</sub> ile yıkandıktan sonra porfirazin süzüntüye alınır. Birleştirilen süzüntüler vakumda tamamen buharlaştırılır. Balondaki kalıntı az miktarda CHCl<sub>3</sub> da çözülüp hegzan üzerine damlatılarak çöktürülür. Sonuçta mavi renkli ürün silikajelde kromotografi ile saflaştırılır (1/20 metanol/CHCl<sub>3</sub>). C<sub>120</sub>N<sub>104</sub>N<sub>8</sub>O<sub>16</sub>S<sub>8</sub>Fe<sub>8</sub>Zn. Verim: 0.110 g (%35).

Ürün kloroform, diklormetan gibi solventlerde oldukça iyi çözünmektedir. Bu maddeye ait, IR, kütle ve UV-görünür bölge spektrumları ektedir.

Elementel Analiz	C	H	N
% Teorik	53.67	3.87	4.17
% Analiz	53.64	3.90	4.15

**4.1.11. {2, 3, 7, 8, 12, 13, 17, 18-oktakis[2'-(ferrosenkarboksi)etiltiyo]**

**porfirazinato N<sup>21</sup>N<sup>22</sup>N<sup>23</sup>N<sup>24</sup>} bakır (II) sentezi: CuPz<sub>I</sub>** 7

0.2618 g (1 mmol) H<sub>2</sub>Pz<sub>I</sub>'nin 10 ml 2-klor etanoldeki çözeltisine 0.181 g (1 mmol) susuz Cu(OAc)<sub>2</sub>'in 15 ml etanoldeki çözeltisi azot altında ilave edilir. 5 h geri soğutucu altında karıştırılır. Oluşan ürünün bir kısmı ve reaksiyona girmemiş Cu(OAc)<sub>2</sub> tuzundan ibaret çökelti süzülür, CHCl<sub>3</sub> ile yıkandıktan sonra porfirazin süzüntüye alınır. Birleştirilen süzüntüler vakumda tamamen buharlaştırılır. Balondaki kalıntı az miktarda CHCl<sub>3</sub> da çözülüp hegzan üzerine damlatılarak çöktürülür. Sonuçta mavi renkli ürün silikajel de kromotografi ile saflaştırılır (1/20 metanol/CHCl<sub>3</sub>). C<sub>120</sub>N<sub>104</sub>N<sub>8</sub>O<sub>16</sub>S<sub>8</sub>Fe<sub>8</sub>Cu. Verim: 0.098 g (~%30).

Ürün kloroform, diklormetan gibi solventlerde oldukça iyi çözünmektedir. Bu maddeye ait IR ve UV-görünür bölge spektrumları ektedir.

Elementel Analiz	C	H	N
% Teorik	53.70	3.88	4.18
% Analiz	53.68	3.90	4.16

## 4.2. Ferrosen Sübstitüe porfirazinlerin elektrokimyasal incelenmesi

### 4.2.1. Çalışma Şartları

CaH<sub>2</sub> üzerinden kurutulmuş ve destile edilmiş olan asetonitril ve diklormetan solvent olarak 1:1 oranlarında kullanılmıştır. Bu solvent karışımının seçilmesinin nedeni ligandın diklormetanda çözünmesi fakat asetonitril içinde çözünmemesindendir. Asetonitrile yük transferi için ve ölçüm aralığının daha geniş olmasından dolayı ihtiyaç duyulmuştur.

10 ml 0.1 M tetrabutilamonyumtetrafloroborat (TBABF<sub>4</sub>) çözeltisi destek elektrolit olarak kullanılmıştır.

Bir camımsı karbon çalışma elektrodu, platin elektrod ile beraber kullanılmıştır. Referans elektrodu TBA-BF<sub>4</sub> ile AgNO<sub>3</sub> içinde gümüş telden bir Ag/Ag<sup>+</sup> akımını sağlayacak şekilde oluşturulmuştur. Çözeltiden CV ölçümleri alınmadan önce argon gazı geçirilip hava ile irtibatı engellenmiştir. Tarama hızları 20 mVs<sup>-1</sup> dan 1000 mVs<sup>-1</sup> a adım adım hızların artırılması ile elde edilmiştir.

## **5. SONUÇLAR VE YORUMLAR**

Tetraapirol türevleri arasında önemli yer tutan ftalosiyaniner, porfirinler ve porfirazinler, şiddetli renklerinden dolayı pigment ve boyar madde olarak kullanıldıkları gibi başka pekçok önemli ileri teknoloji uygulamaları için de yaygın uygulama alanları bulmaktadır. Burada özellikle katalitik ve elektrokatalitik uygulamalar açısından örnek teşkil edebilecek yeni malzemelerin sentezi amaçlanmıştır.

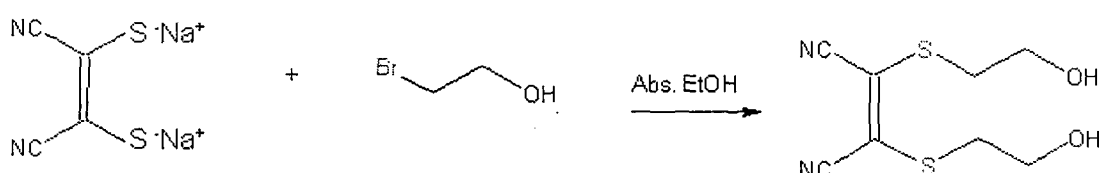
Ferrosen, elektrokimyasal açıdan karakteristik özellikleri nedeniyle kendi başına bir standart olarak değerlendirilebildiğinden, ftalosiyanin ve tetrafenilporfirin çekirdeklerine ve arganometalik grup eklenmek suretiyle hem ferrosenler arasındaki, hem de ferrosen-tetraapirol yapısı arasındaki etkileşimler incelenmiş; ayrıca ferrosen gruplarının standart elektrokimyasal davranışlarına göre tetraapirol ünitesinin yükseltgenme-indirgenme potansiyelleri belirlenmiştir [60-63].

Bu çalışmada ilk defa porfirazinin sekiz adet ferrosen grubu ile sübstansiyonu sonucunda elde edilen ürünlerin yapısal özellikleri ve elektrokimyasal davranışları incelenmiştir.

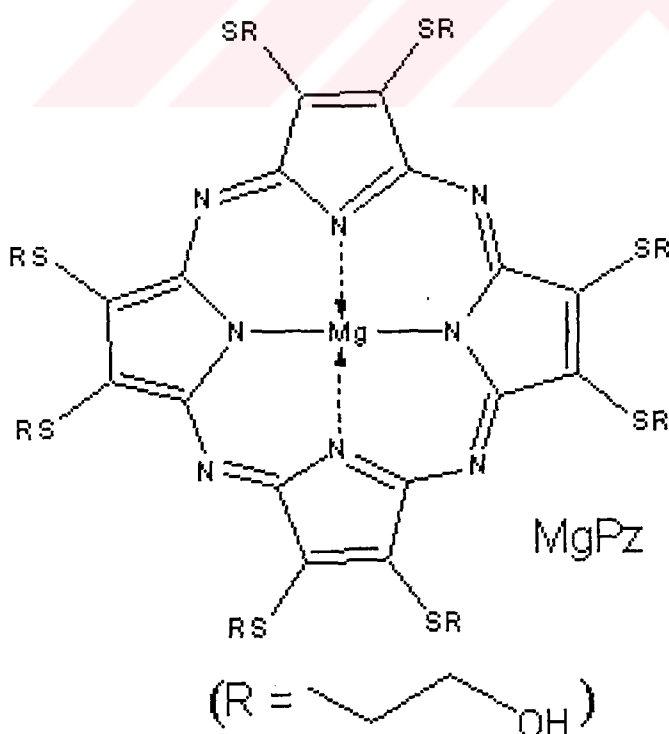
Sentez çalışmalarında çıkış bileşiği olarak düşünülen ditiyomaleonitril disodyum tuzu, sodyum siyanür ve karbonsülfürden iki adımda hazırlanmıştır. Bu bileşikteki tiyolat gruplarının alkilleşmesi sonucu elde edilen doymamış 1,2-disiyano bileşikleri pek çok porfirazin sentezinde başarıyla kullanılmış ve hacimli elektron-donor bir grup olarak tiyoeterlerle sübstansiyonel olmuş porfirazinlerin optik özellikleri ve kimyasal kararlılıklarını artmıştır.

Genel olarak sübstansiyonel porfirazin türevlerinin sentezinde uygulanan yöntem, doymamış dinitril bileşiği halinde iken sübstansiyonel ürünlerin yapıya eklenmesi ve bunu takiben siklotetramerizasyonun gerçekleştirilmesidir [64-69]. Ancak daha önceki bazı çalışmalarında karşılaşıldığı gibi dinitril üzerindeki hacimli sübstansiyonel ürünler siklotetramerizasyonun olmasını sterik olarak engellemektedirler [70]. Aynı

durumla bu çalışmada da karşılaşıldığından, ditiyomaleonitril disodyum tuzunun önce reaktif uç taşıyan bir alkil grubu ile reaksiyona sokularak porfirazin oluşumuna geçilmesi yöntemi benimsenmiştir. Daha önce 3-bromopropanol ve daha yüksek homologları ile denenen yöntem [71], bu çalışmada ilk defa 2-bromoetanol ile yürütülmüştür. 1,2-Bis(2-hidroksietiltiyo)maleonitril (1), disodyum tuzu halindeki başlangıç maddesinin 2-bromoetanol ile mutlak alkol etanol içerisinde oda sıcaklığında yaklaşık 3 gün süren reaksiyonundan elde edilmiş ve dietileterde rekristalizasyon sonucu verim %65 olmuştur.



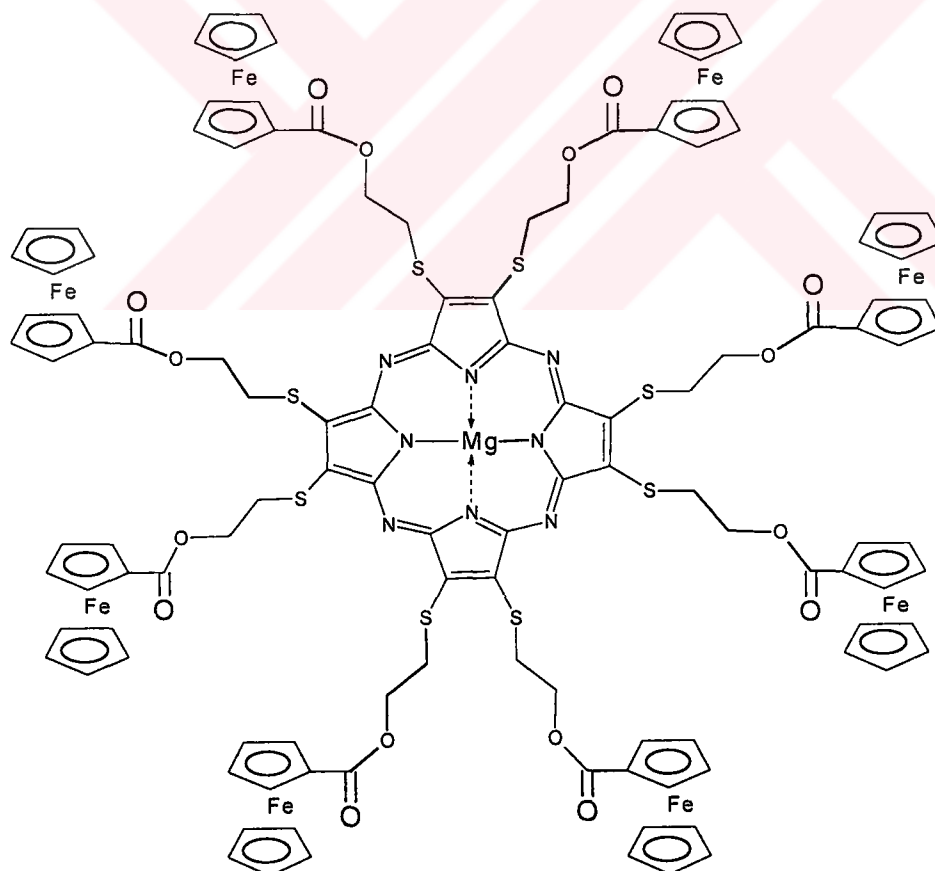
1 bileşığının magnezyum propanolat varlığında propanol içerisindeki reaksiyonu çok hızlı gelişir ve çözelti kısa bir sürede koyu mavi renk alır. Reaksiyonun tamamlanması için karışım yine de 6 saat kaynama sıcaklığında tutulmuştur. Dendrimerik yapılarda kullanılan adlandırmaya benzer şekilde bu ürünü "birinci kuşak porfirazin (MgPz)" olarak adlandırabiliriz [72-73] (Şekil 5.1).



**Şekil 5.1** Oktakis (2-hidroksietiltiyo) porfirazin

Metanol, etanol, pridin de çok iyi çözünen MgPz'in IR spektrumunda periferal hidroksietiltiyo-sübsituentlerine ait titreşimler  $\nu(\text{O-H})$  3300,  $\nu(\text{C-H})$  2920-2810 ve  $\nu(\text{C-O})$  1660 nm'de ortaya çıkmaktadır. UV-Görünür bölge spektrumunda da Q bandı 666 nm'de ve B bandı 370 nm'de çıkmakta olup, alkiltiyo sübstitüe porfirazinler için tipik değerlerdedir [74].

MgPz'den bu çalışmanın ana hedefini oluşturan ferrosen sübstitüe porfirazinlere geçmek için önce asid klorürü halindeki ferrosen reaktantını MgPz'in -OH grupları ile esterleştirme reaksiyonu düşünülmüş, ancak değişik solventler ve çok kuru ortamlar denenmesine rağmen porfirazin üzerindeki sekiz  $-\text{SCH}_2\text{CH}_2\text{OH}$  grubundan ancak üç veya dört tanesinin esterleştirilebildiği görülmüştür. Bunun üzerine farklı esterleştirme reaksiyonları incelenmiş, en uygun yöntemin çok etkin su çekici bir bileşik olarak davranışan disikloheksilkarbodiimid (DCCI) kullanılarak gerçekleştirilebileceği görülmüştür [71] (Şekil 5.2 ).



MgPz<sub>1</sub>

**Şekil 5.2** Ferrosen sübstitüe porfirazin

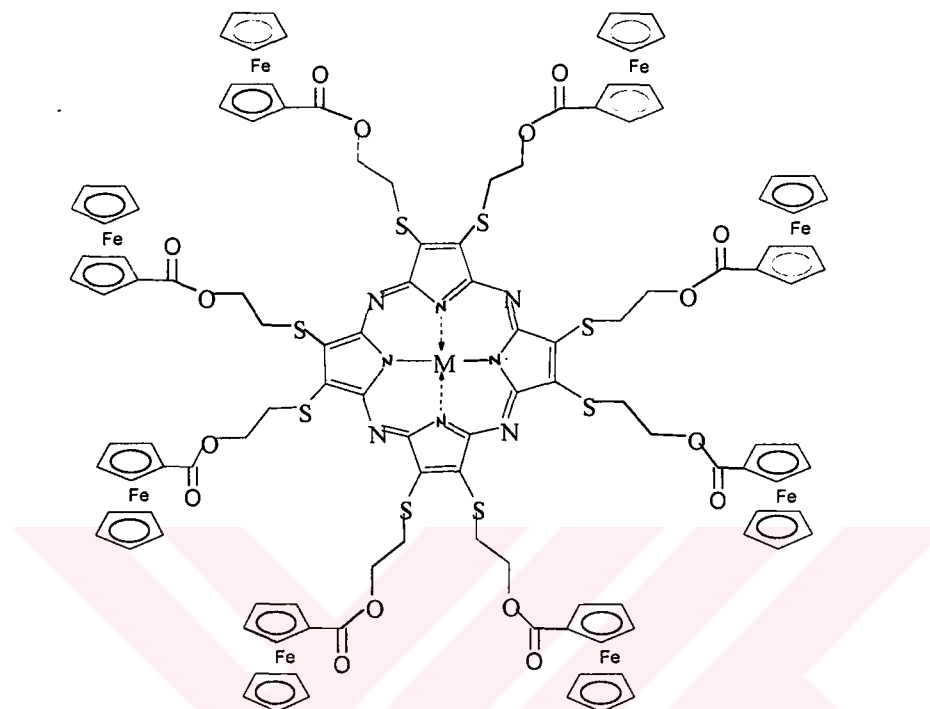
Çok iyi kurutulmuş MgPz, stokiometrik olarak gereken miktarın üç katı Fc-COOH ve aynı miktarda DCCI ile katalitik miktarda toluen-p-sulfonik asid içeren karışım kuru piridin içerisinde oda sıcaklığında ~3 gün karıştırıldığında bütün -OH gruplarının ferrosen karboksilik esterine dönüştüğü tesbit edilmiş ve silikajel üzerinde metanol:kloroform (1/50) kullanılarak ayrılan ana ürünün istenilen bileşik olduğu tesbit edilmiştir.

Sekiz ferrosen ünitesi ile sübstítüe porfirazin'in ( $MgPz_I$ ) yapısını aydınlatmak, elementel analiz yanında IR,  $^1H$  ve  $^{13}C$  NMR, UV-görünür bölge ve kütle spektrumlarının kullanılması suretiyle mümkün olmuştur. IR spektrumu bir önceki adımdaki MgPz'ninki ile karşılaştırıldığında -OH gerilme titreşimlerine tekabül eden  $3300\text{ cm}^{-1}$  deki piklerin kaybolduğunu, buna karşılık  $3106\text{ cm}^{-1}$  de ferrosen'lere ait  $\nu_{CH}$  titreşimleri ile  $1685$  ve  $1250\text{ cm}^{-1}$  de esterlere ait titreşimlerin net bir şekilde ortaya çıktığını söyleyebiliriz.  $^1H$  NMR spektrumlarında ferrosen gruplarına ait kimyasal kayma değerlerini beklenildiği gibi  $4.05$ 'de multiplet olarak görmekteyiz. Ayrıca  $^{13}C$  NMR spektrumunda  $D_{4h}$  simetrisindeki moleküle ait carbon atomuna ait titreşimler  $173.049$ ,  $158.064$ ,  $141.265$ ,  $77.000$ ,  $71.119$ ,  $69.672$ ,  $63.608$ ,  $33.070$ ,  $28.930$  ppm'de çıkmıştır. Bunlardan en zayıf olanda görülen ( $C=O$ ) grubuna aittir. FAB yöntemi ile elde edilen kütle spektrumunda moleküler iyona ( $M^+$ ) ait pik hesaplandığı gibi  $2642$ 'de çıktılarından molekülün istenilen oktakis ferrosen sübstítüe yapıda olduğu kesinlik kazanmaktadır.

Çeşitli metal iyonlarının porfirazin çekirdeğine yerleştirilmesinde genel olarak kabul gören yöntem, magnezyum türevi halinde elde edilen porfirazinin kuvvetli asidlerle muamele edilerek önce metalsiz porfirazine geçilmesi, sonra diğer metal tuzlarının aşırısı ile reaksiyona sokularak istenilen metal türevine geçilmesidir [75-76].

Bu çalışmada  $MgPz_I$ 'den metalsiz türevi  $H_2Pz_I$ 'ye geçmek için en kuvvetli organik asidlerden biri olan trifluoroasetik asit kullanılmıştır.  $H_2Pz_I$ 'nin  $^1H$  NMR spektrumunda sübstítuentlere ait kimyasal kayma değerleri  $MgPz_I$ 'deki yerlerini korurken, porfirazin halkası içerisinde  $18-\pi$  elektron sistemi tarafından çok kuvvetli bir şekilde perdelenen N-H protonları beklenildiği gibi TMS'den daha kuvvetli alanda  $-1.75$  ppm'de gözlenmiştir [75]. ES yöntemiyle elde edilen kütle spektrumunda  $2622$  ( $m/z$ )'de görülen pik  $(M+2)^+$  iyonuna aittir ve metalsiz porfirazin türevine geçişte sübstítuentleri ile birlikte molekül bütünlüğünün korunduğunu

kanitlamaktadır.  $H_2Pz_I$  olduğunu gösteren diğer bir veri IR spektrumunda  $3260\text{ cm}^{-1}$  de ortaya çıkan ve metalsiz tetraapirol türevlerinde genel olarak görülen çekirdek içi N-H titreşimleridir. (Şekil 5.3 ).



**Şekil 5.3** Metalli ve metalsiz porfirazinler ( $M = 2H, Co, Zn, Cu$ )

$H_2Pz_I$  den  $MPz_I$  şeklinde gösterebileceğimiz metal türevlerine geçişte  $Co(OAc)_2$ ,  $Cu(OAc)_2$  ve  $Zn(OAc)_2$  tuzları kullanılmıştır. Koyu mavi-yeşil renkteki bu ürünlerin hepsi de organik çözüçülerde çok iyi çözünmektektir. Her üç bileşigin IR spektrumları büyük ölçüde benzerlik göstermektedir.  $ZnPz_I$ 'nin ES yöntemi ile iyonlaştırma sonucu elde edilen kütle spektrumu  $2685\text{ (m/z)}$ de mol piki vermiştir.

Aromatik yapıda  $18-\pi$  elektronuna sahip porfirazinler, UV ve görünür bölgede gösterdikleri tipik elektronik geçişler yardımıyla etkin bir şekilde incelenilmektedir. Başka bileşiklerin yapı analizinde çok az katkı sağladığı bilinen UV-Görünür Bölge Spektrumları, tetraapirol türevlerinde en önemli araçlardan biri olmaktadır. Zira porfirazinlerde  $300-400\text{ nm}$  bölgesinde görülen B bandı ve  $600-700\text{ nm}$  arasında ortaya çıkan Q bandı bu bileşiklerin oluşumunun en önemli kanıtıdır. Molekülün simetrisine bağlı olarak  $D_{4h}$  yapısındaki metallo-porfirazinler tek bir tane kuvvetli absorpsiyon piki gösterirken,  $D_{2h}$  simetrisindeki metalsiz porfirazinler aynı aralıkta eşit şiddette iki pike yarılmaktadır. Porfirazinlerdeki absorpsiyon şiddeti

için molar absorplama katsayısı  $\epsilon$ 'nin  $10^4$ - $10^5$  mertebesinde olduğunu belirtirsek aynı bölgede geçiş metali komplekslerinde görülen  $d \rightarrow d$  geçişlerinden ne kadar farklı olduğu kolayca anlaşılabılır. Bu çalışmada sentez edilen ferrosen sübstítüe Mg, Co, Zn ve Cu porfirazin türevlerinde Q absorpsiyon bandları beklenildiği gibi 669, 641, 671 ve 667 nm'lerde görülmüştür. B bandları ise yakın UV-görünür bölgede 345-378 nm arasında kaydedilmiştir.  $D_{4h}$  simetrisindeki bu metal komplekslerinden farklı olarak  $D_{2h}$  simetrisindeki  $H_2Pz_I$  nin spektrumunda Q bandları 637 ve 705 nm'lerde iki kuvvetli pik halinde çıkmıştır. Bu bileşiklerde ferrosen gruplarına ait absorpsiyon ise 450 nm civarındaki geniş pik ile kendisini göstermiştir.

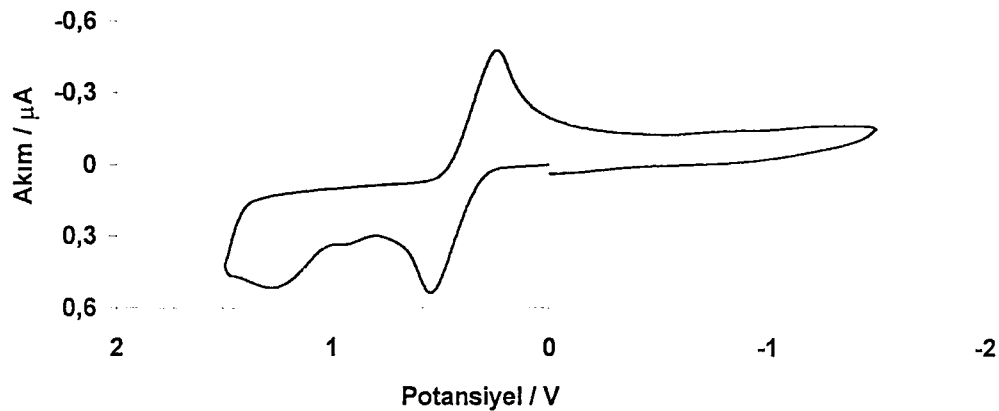
### **5.1. | Ferrosen Sübstítüe Porfirazinlerin İndirgenme-Yükseltgenme Özellikleri**

Sentez edilen komplekslerin elektrokimyasal özelliklerinin incelenmesi sonucunda elde edilen bulgular şöyledir:

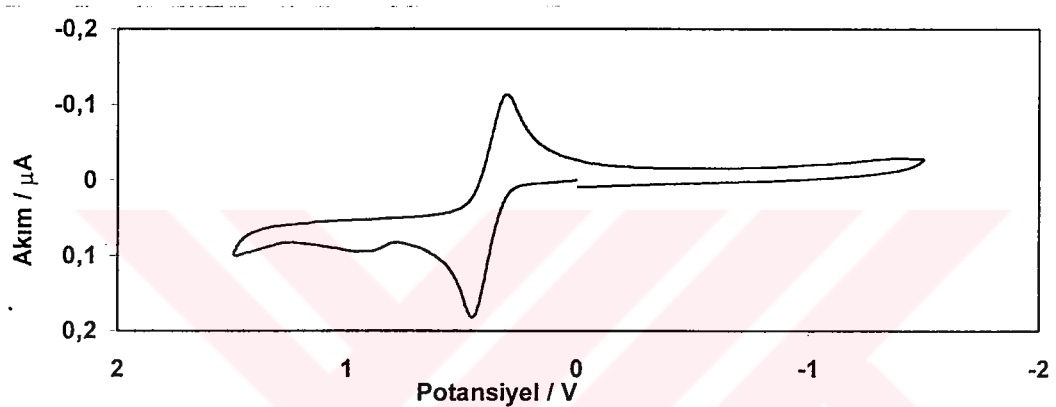
#### **5.1.1. | $MgPz_I$**

Bu kompleksin siklik voltametre ile yapılan ölçümelerinde 0 V ile +1.5 V aralığında sekiz ferrosen grubuna ait ve aynı potansiyele sahip klasik tersinir tek bir oksidasyon pikine rastlanmıştır [61, 77-78]. Bu ferrosen/ferrosenyum çifti genellikle +0,45 V civarında gözlenmiştir. Bu oksidasyon pikine karşı gelen redüksiyon piki ise +0,35 V da ölçülmüştür ve her iki pik  $20 \text{ mVs}^{-1}$  den  $1000 \text{ mVs}^{-1}$  e kadar olan tarama hızlarının tümünde gözlenmiştir. Ayrıca +1.0 V civarlarında çok nadir gördüğümüz bir oksidasyon pikine de rastlanmıştır. Fakat bu pik her zaman kaydedilememiştir. Siklik voltametrede 0 V ile -2.0 V aralığında yaptığımız incelemelerde hiçbir redüksiyon piki gözlenmemiştir. Bazı tarama hızlarında ( $100 \text{ mVs}^{-1}$ ) -1.45 V ta bir redüksiyon piki yapılan hassas incelemeler sonucunda zorlukla tespit edilebilmiştir.

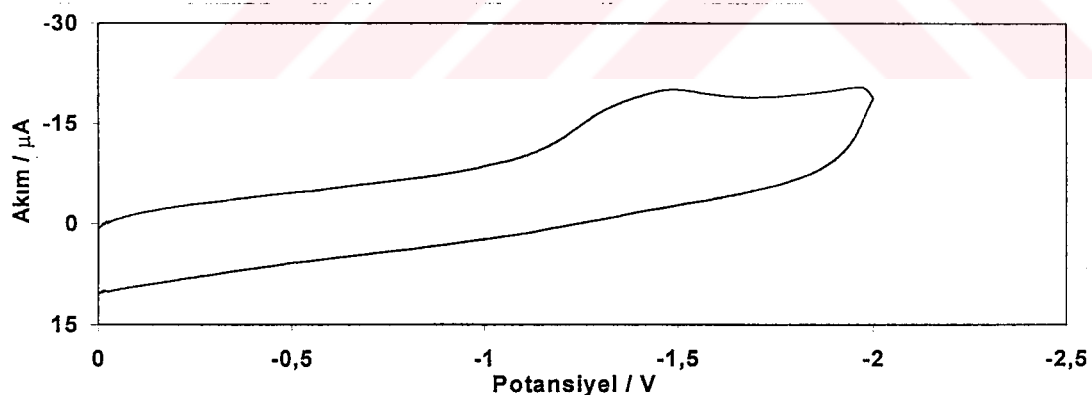
( Şekil 5.4-8 ).



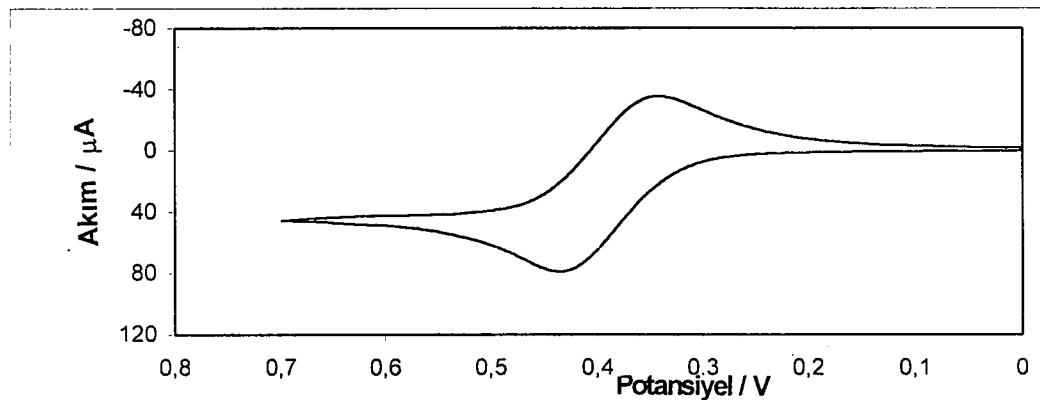
**Şekil 5.4** MgPzI'nin  $100 \text{ mV s}^{-1}$  tarama hızı ile alınan CV'si



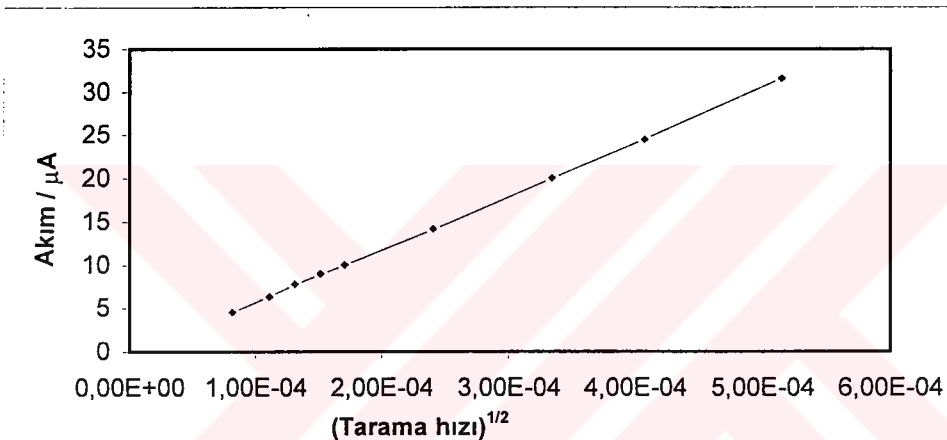
**Şekil 5.5** MgPzI'nin  $20 \text{ mV s}^{-1}$  tarama hızı ile alınan CV'si



**Şekil 5.6** MgPzI'nin  $100 \text{ mV s}^{-1}$  tarama hızı ile alınan CV'si



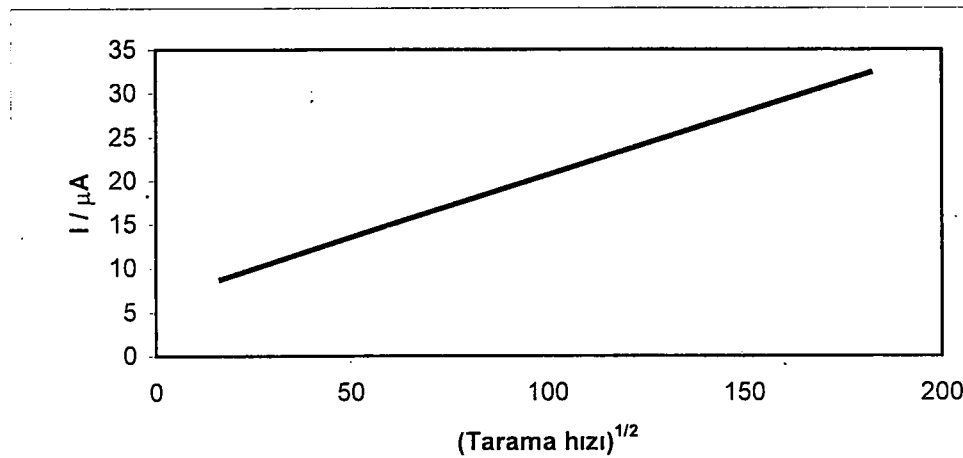
Şekil 5.7  $\text{MgPz}_\text{I}$ 'nin  $20 \text{ mV s}^{-1}$  de (ferrosenlere ait)siklik voltametrede ki çalışması



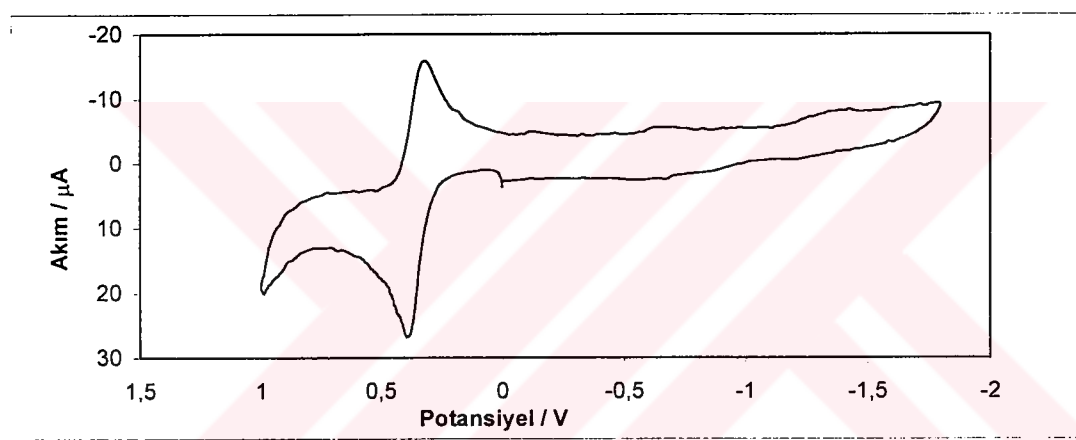
Şekil 5.8.  $\text{MgPz}_\text{I}$  ferrosenlerin akıma karşı tatama hızı grafiği

### 5.1.2. $\text{H}_2\text{Pz}_\text{I}$

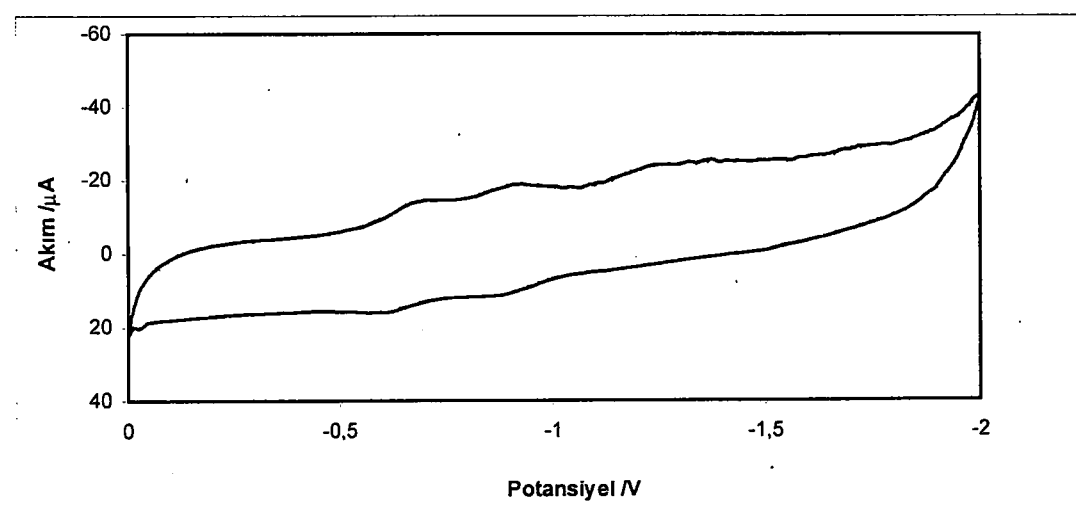
Bu kompleksin siklik voltametre ile yapılan ölçümelerinde  $0 \text{ V}$  ile  $+1,5 \text{ V}$  aralığında sekiz ferrosen grubuna ait ve aynı potansiyele sahip tersinir tek bir oksidasyon pikine ( $+0,4 \text{ V}$ ) ve redüksiyon pikine ( $+0,3 \text{ V}$ ) rastlanmıştır. Bu pikler  $20 \text{ mVs}^{-1}$  den  $1000 \text{ mVs}^{-1}$  e kadar olan ölçüm hızlarının tümünde gözlenmiştir. Negatif bölgede yapılan incelemelerde ( $0 \text{ V}$  ile  $-2,0 \text{ V}$ )  $200 \text{ mVs}^{-1}$  de 3 tane redüksiyon piki kaydedilmiş ( $-0,75 \text{ V}$ ,  $-0,93 \text{ V}$  ve  $-1,3 \text{ V}$ ) ve bunlara karşı gelen iki oksidasyon piki ( $-0,6 \text{ V}$  ve  $-0,8 \text{ V}$ ) gözlenmiştir. Bu piklerin bazıları çeşitli ölçüm aralıklarında çok net olarak kaydedilmiştir ( Şekil 5.9-12 ).



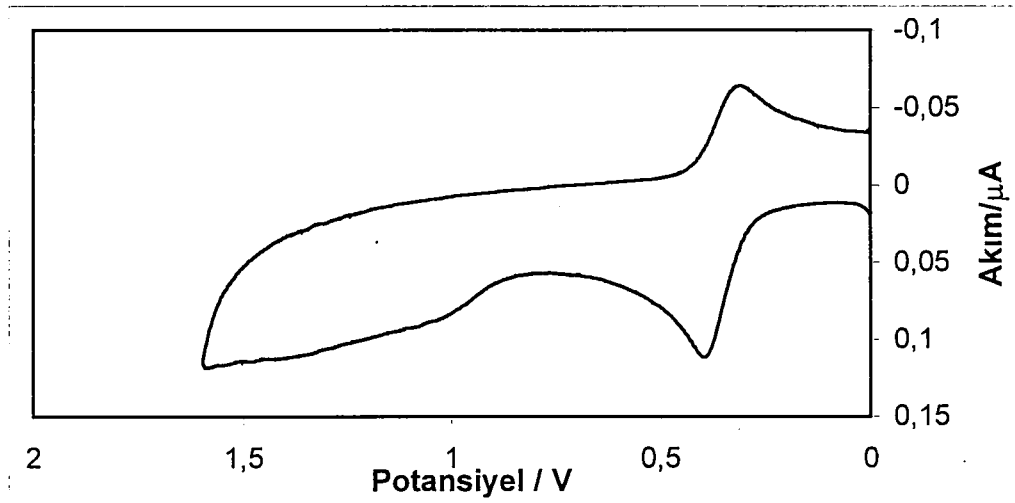
Şekil 5.9  $\text{H}_2\text{Pz}_1$  ferrosenlerin akıma karşı tatama hızı grafiği



Şekil 5.10  $\text{H}_2\text{Pz}_1$ 'nin  $20 \text{ mV s}^{-1}$  tarama hızı ile alınan CV'si



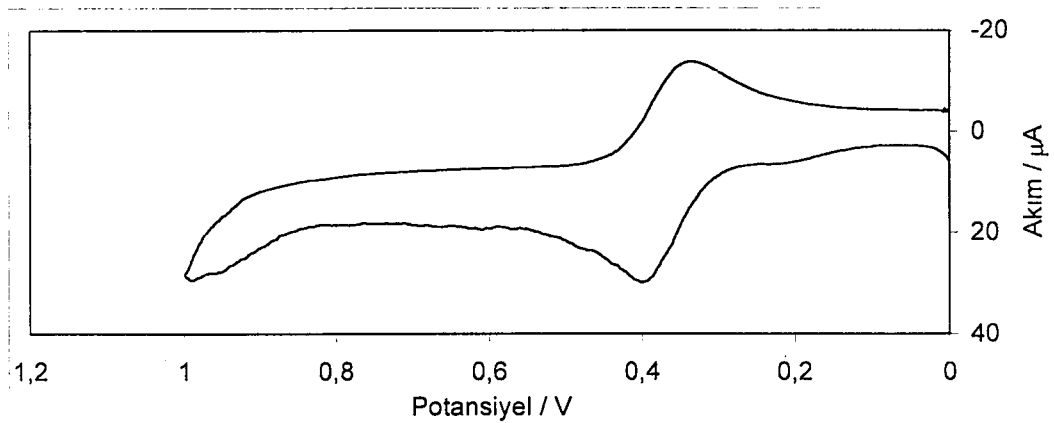
Şekil 5.11  $\text{H}_2\text{Pz}_1$ 'nin  $200 \text{ mV s}^{-1}$  tarama hızı ile alınan CV'si



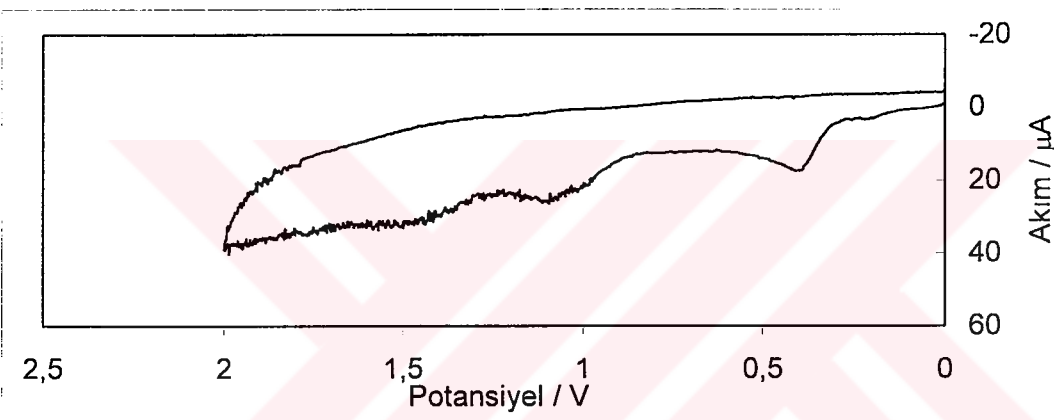
**Şekil 5.12**  $\text{H}_2\text{PzI}$ 'nin  $200 \text{ mV s}^{-1}$  tarama hızı ile alınan CV'si

### 5.1.3. $\text{CoPzI}$

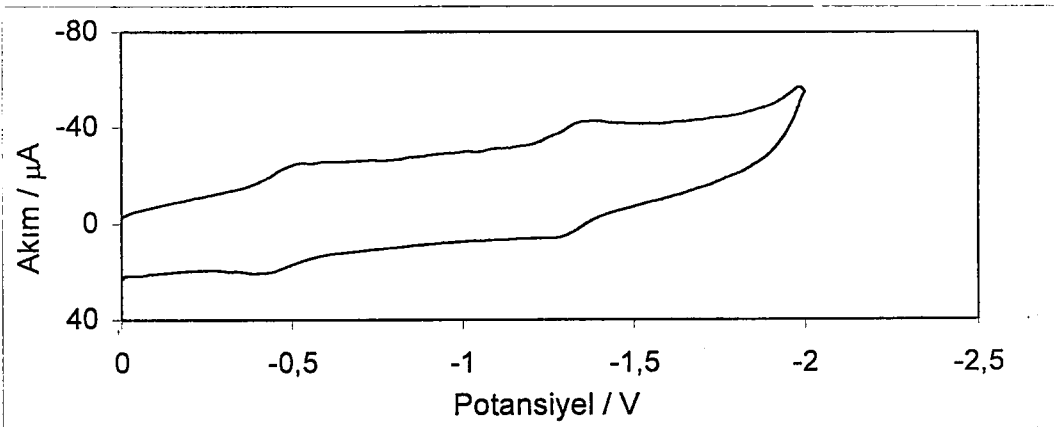
Bu komplekste de diğerlerinde olduğu gibi  $0 \text{ V}$  ile  $+1.5 \text{ V}$  aralığında ferrosen gruplarına ait ve aynı potansiyele sahip tersinir tek bir oksidasyon piki ( $+0.4 \text{ V}$ ) ve redüksiyon piki ( $+0.3 \text{ V}$ )  $20 \text{ mVs}^{-1}$  den  $1000 \text{ mVs}^{-1}$  e kadar olan tüm ölçüm hızlarında kaydedilmiştir. Fakat  $0 \text{ V}$  ile  $+2.0 \text{ V}$  aralığında yapılan ölçümlerde çok farklı bir sonuçla karşılaşılmıştır. Önceden belirttiğimiz gibi ferrosen gruplarına ait oksidasyon piki  $40 \text{ mVs}^{-1}$  de  $+0.4 \text{ V}$  civarında gözlenmesine rağmen, herhangi bir redüksiyon pikine rastlanmamıştır. Sadece sıfırda doğru uzanan düzgün bir eğri ile karşılaşılmış ve bu aralık için sistemin tersinir olmadığı anlaşılmıştır. Bu arada kayda değer diğer bir nokta aynı aralıkta iki oksidasyon pikinin daha gözlenmesidir ( $+1.1 \text{ V}$  ve  $+1.5 \text{ V}$ ). Bu esnada çalışma elektrodunun yüzeyinin mavi bir katı ile kaplandığı ve ancak temizlenmesi sonucu tekrar ölçümlere devam edilebileceği yapılan incelemeler sonucunda anlaşılmıştır. Muhtemelen bu piklerin kobaltin yükseltgenmesine ait olabileceği kanısına varılmıştır. Negatif bölgede ( $0 \text{ V}$  ile  $-2.0 \text{ V}$ ) yapılan ölçümlerde ise iki redüksiyon piki ( $-0.5 \text{ V}$  ve  $-1.37 \text{ V}$ ) ve iki oksidasyon piki ( $-0.38 \text{ V}$  ve  $-1.27 \text{ V}$ ) bütün ölçüm hızlarında gözlenmiştir (Şekil 5.13-15).



**Şekil 5.13** CoPz<sub>I</sub>'nin  $40 \text{ mV s}^{-1}$  tarama hızı ile alınan CV'si



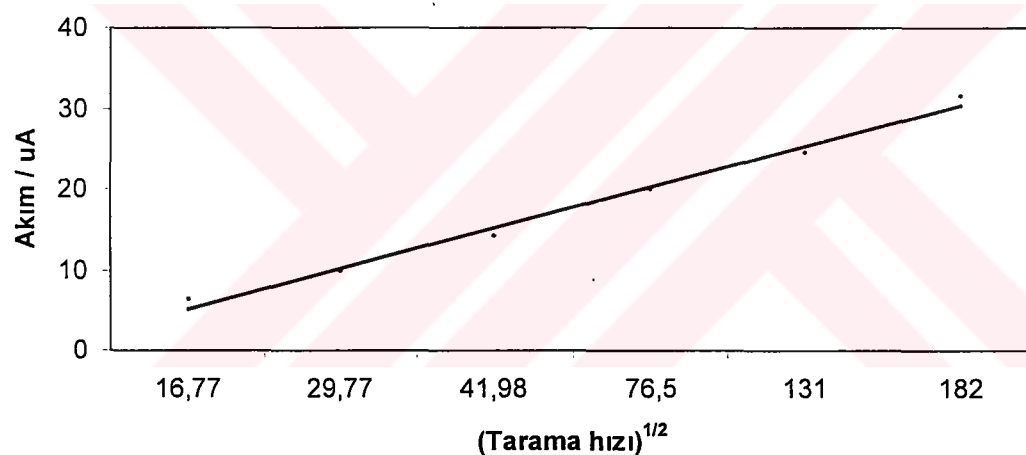
**Şekil 5.14** CoPz<sub>I</sub>'nin  $40 \text{ mV s}^{-1}$  tarama hızı ile alınan CV'si



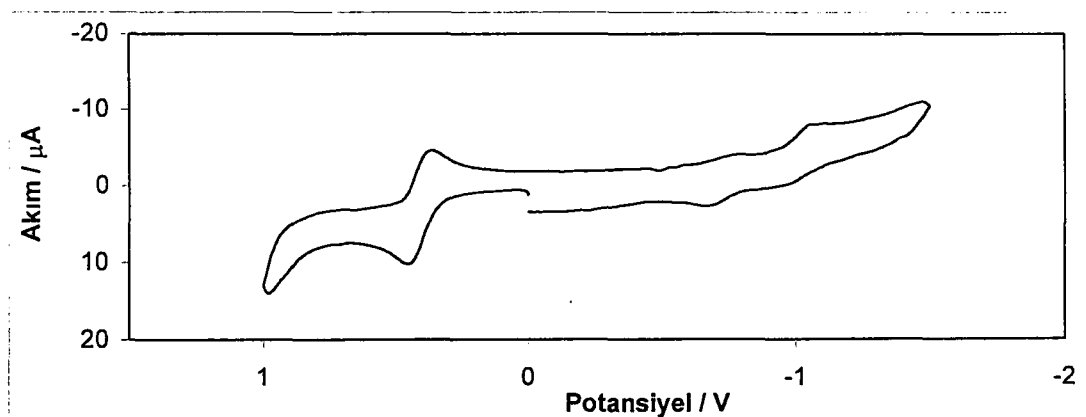
**Şekil 5.15** CoPz<sub>I</sub>'nin  $400 \text{ mV s}^{-1}$  tarama hızı ile alınan CV'si

#### 5.1.4. CuPz<sub>I</sub>

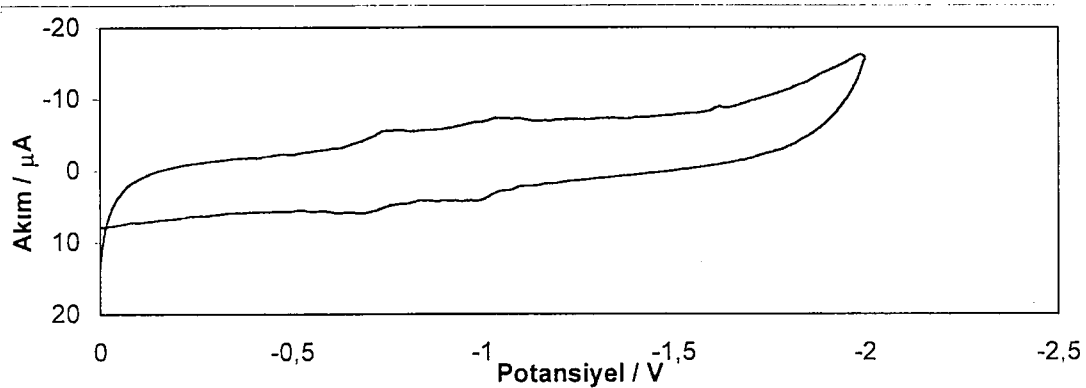
CuPz<sub>I</sub> in siklik voltametre ile yapılan ölçümlerinde 0 V ile +1.5 V aralığında ferrosen gruplarına ait tersinir bir oksidasyon (+0.42 V) ve reduksiyon piki (+0.35 V) bütün tarama hızlarında kaydedilmiştir. CoPz<sub>I</sub> de olduğu gibi bu kompleksi 0 V ile +2.0 V aralığında incelediğimizde ferrosenlere ait oksidasyon piki gözlendiği halde reduksiyon pikine rastlanmamış ve sistemin bu aralık için tersinir olmadığı kanısına varılmıştır. Çalışma elektrodunun mavi bir katı ile kaplanması sonucu devre dışı kaldığı, sonraki alınan sonuçlardan anlaşılmış ve ancak temizlenmesi sonucu ölçümlere tekrar devam edilebilmiştir. 0 V ile -2.0 V aralığında yapılan ölçümlede ise iki reduksiyon piki (-0.75 V ve -1.1 V) ve onların karşılığı olan iki oksidasyon piki (-0.65 V ve -0.95 V) bütün tarama hızlarında gözlenmiştir. Bu pikler CoPz<sub>I</sub> deki pikler ile karşılaştırıldığında birbirlerine daha yakın oldukları sonucuna varılmıştır. (Şekil 5.16-18 ).



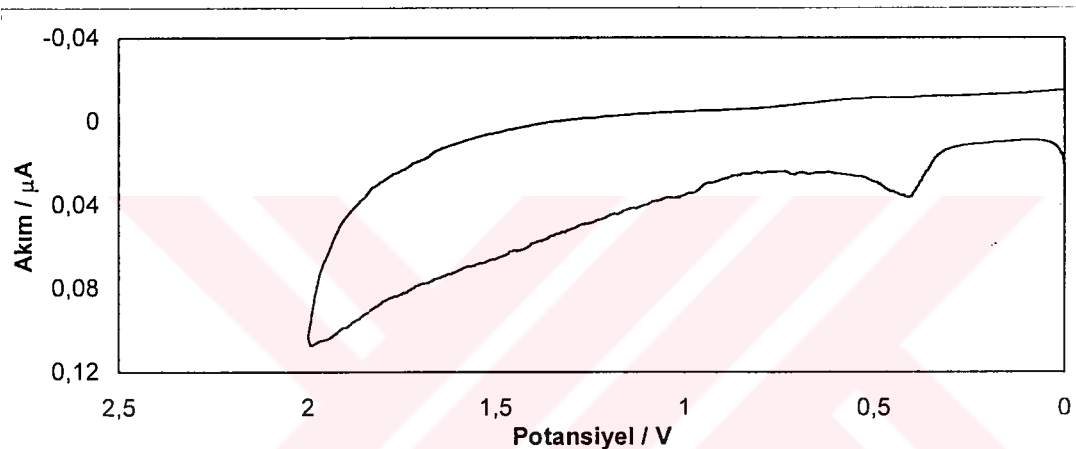
Şekil 5.16 CuPz<sub>I</sub> ferrosenlerinin akıma karşı tarama hızı grafiği



Şekil 5.17 CuPz<sub>I</sub>'nin 20 mV s<sup>-1</sup> tarama hızı ile alınan CV'si



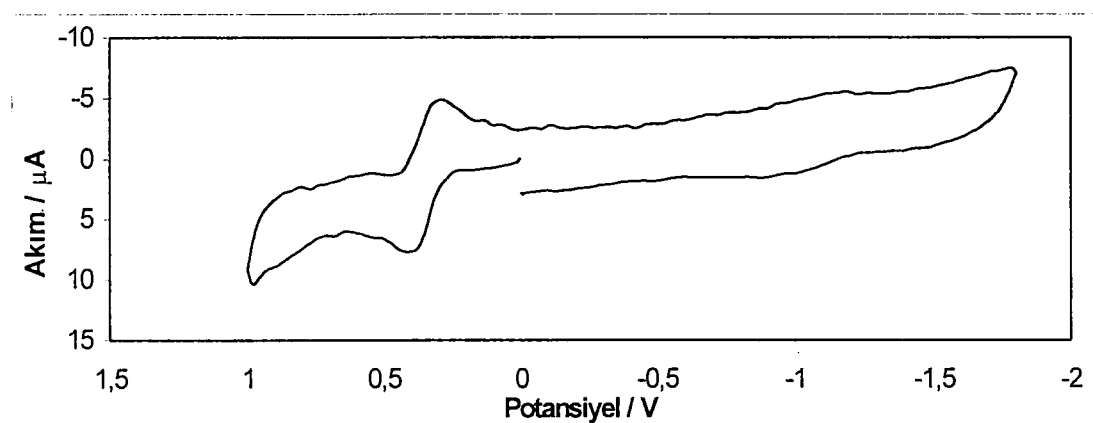
**Şekil 5.18** CuPz<sub>I</sub>'nin  $60 \text{ mV s}^{-1}$  tarama hızı ile alınan CV'si



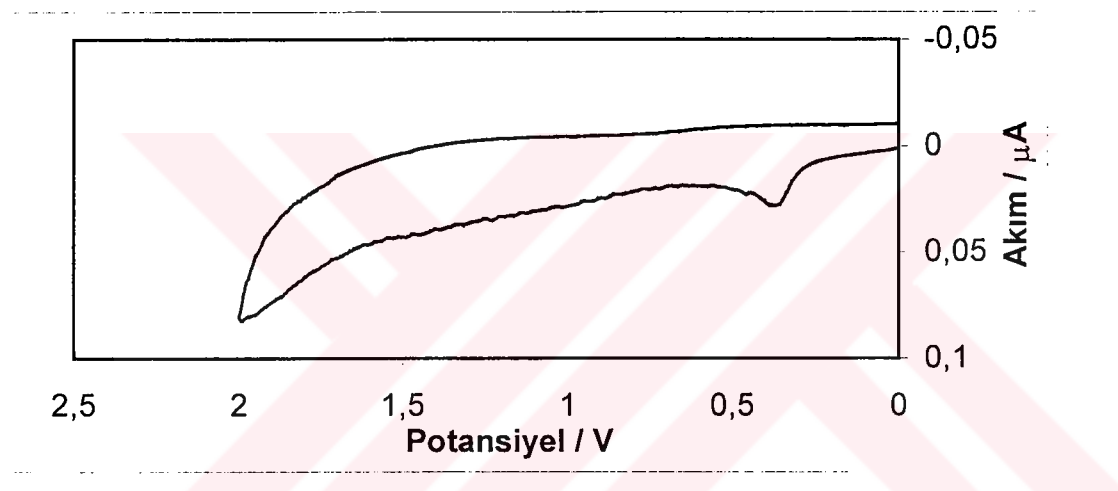
**Şekil 5.18** CuPz<sub>I</sub>'nin  $80 \text{ mV s}^{-1}$  tarama hızı ile alınan CV'si

### 5.1.5. ZnPz<sub>I</sub>

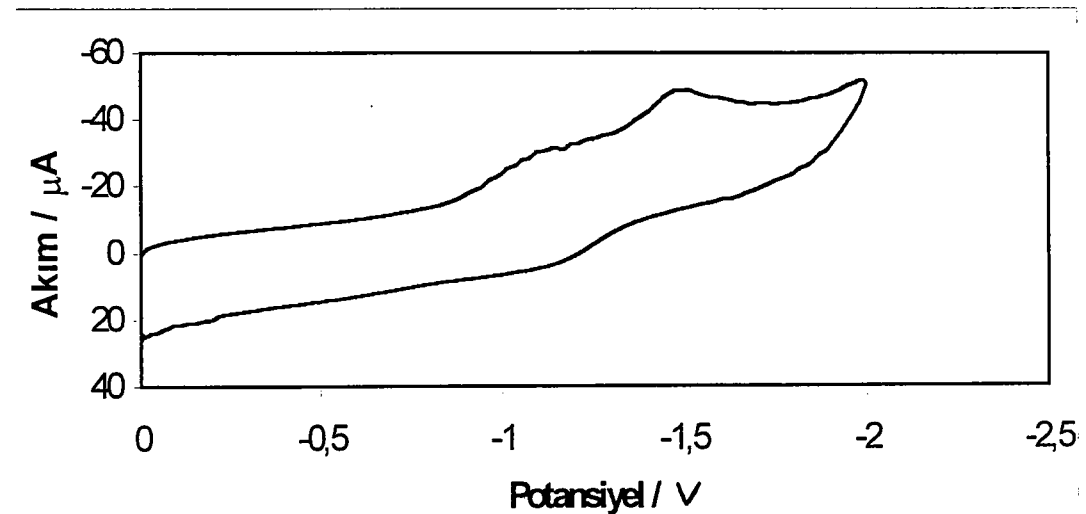
Bu kompleksin 0 V ile +1.5 V arasında sıklik voltametre ile yapılan ölçümelerinde diğer komplekslerde olduğu gibi aynı sonuçlar elde edilmiştir ve 0 V ile +2.0 V aralığında yapılan incelemelerde de sistemin tersinir olmadığı sonucu çıkarılmış ve çalışma elektrodu temizlenmeden yeni ölçüm alınamamıştır. ZnPz<sub>I</sub> için sıklik voltametrede 0 V ile -2.0 V aralığında yapılan ölçümelerde tek bir reduksiyon (-1.1 V) ve ona karşılık gelen oksidasyon piki (-0.95 V) kaydedilmiştir. Bazı tarama hızlarında ( $200 \text{ mVs}^{-1}$ ) iki reduksiyon pikine de rastlanmıştır ( Şekil 5.19-21 ).



Şekil 5.19  $\text{ZnPzI}$ 'nin  $20 \text{ mV s}^{-1}$  tarama hızı ile alınan CV'si



Şekil 5.20  $\text{ZnPzI}$ 'nin  $60 \text{ mV s}^{-1}$  tarama hızı ile alınan CV'si



Şekil 5.21  $\text{ZnPzI}$ 'nin  $200 \text{ mV s}^{-1}$  tarama hızı ile alınan CV'si

Sonuç olarak bu çalışmada sekiz ferrosen grubu taşıyan porfirazinler ilk defa sentez ve karakterize edilmiştir. Bu bileşiklerin elektrokimyasal incelemesinde ferrosen ünitelerinin hepsinin tek bir potansiyelde indirgenme ve yükseltgenme göstergeleri, bu organometalik grupları porfirazin çekirdeğine bağlı esnek zincirlerin yeterince uzun olması nedeniyle ferrosen-porfirazin ve ferrosen-ferrosen etkileşimin meydana gelmediğini kanıtlamıştır.

**Tablo 5.1 Ferrosen ve Porfirazinler için Electrokimyasal Datalar ( 3-7 )**

Bileşik	ferrosen				porfirazin				
	E <sub>1/2</sub> (ox)	ΔE	i <sub>p,a</sub> /p,c	E <sub>1/2(red1)</sub>	ΔE	i <sub>p,a</sub> /p,c	E <sub>1/2(red2)</sub>	ΔE	i <sub>p,a</sub> /p,c
3	458	138	1.01	----	----	----	----	----	----
4	412	114	0.99	-708	90	1.14	-916	50	1.05
5	440	80	1.02	-512	88	1.20	-1364	90	1.07
6	404	78	1.01	-780	144	1.22	-1080	136	1.14
7	356	58	1.01	-1100	106	1.15	----	----	----

## KAYNAKLAR

- [1] Mashiko, T. and Dolphin, D., 1987. Porphyrins, Hydroporphyrins, Azaporphyrins, Phthalocyanines, Corroles, Corrins and Related Macrocycles, in *Comprehensive Coordination Chemistry*, Vol 2, Chapter 21.1, Ed, Wilkinson, G., Pergamon, Oxford, 1987, p 813; [b] Smith, K.M., 1984. Porphyrins, Corrins and Phthalocyanines in *Comprehensive Heterocyclic Chemistry*, Vol 4, Chapter 3.07, Eds, Katritzky, A.R. and Rees, C.W., Pergamon, Oxford, p 377; [c] The Porphyrins, Vols 1-7, Ed, Dolphin, D., Academic, New York, 1978; [d] Schultz, H., Lehmann, H., Rein, M. and Hanack, M., *Struct. Bonding* 74, 41 1991; [e] Phthalocyanines, 1989, Vol 1, 1993, Vol 2, Eds, Leznoff, C.C and Lever, A.B.P., VCH, New York; [f] Beresin, B.D., 1981. Coordination Compounds of Porphyrins and Phthalocyanines, Wiley, Chichester. [g] Moser, F.H. and Thomas, A.L., 1983. The Phthalocyanines, Vols 1 and 2, CRC, Boca Raton.
- [2] Fischer, H. and Endermann, F., 1937. Synthese des Tetra-imido-ätioporphyrins, *Justus Liebigs Ann. Chem.*, 531, pp 245-250 ; [b] Cook, A.H. and Linstead, R.P., 1937. Phthalocyanines, Part XI. The Preparation of Octaphenylporphyrazines from Diphenylmaleonitrile, *J.Chem.Soc.*, pp 929-933.
- [3] Velazquez, C.S., Fox, G.A., Broderick, W.E., Andersen, K.A., Anderson, O.P., Barrett, A.G.M. and Hoffman, B.M., 1992. Star-Porphyrazines: Synthetic, Structural, and Spectral Investigation of Complexes of the Polynucleating Porphyrazineoctathiolato Ligand, *J.Am.Chem.Soc.*, 114, 7416-7424.
- [4] Velazquez, C.S., Broderick, W.E., Sabat, M., Barrett, A.G.M. and Hoffman, B.M., 1990. Metal-Encapsulated Porphyrazines: Synthesis, X-Ray Crystal Structure and Spectroscopy of a Tetratin-Star-Nickel (porphyrazine)S<sub>8</sub> Complex, *J.Am.Chem.Soc.*, 112, 7408-7410.
- [5] Velazquez, C.S., Baumann, T.F., Olmstead, M.M., Hope, H., Barrett, A.G.M. and Hoffman, B.M., 1993. Star Porphyrazines; Peripheral Chelation of Porphyrazineoctathiolate by Diphosphinonickel Ions, *J.Am.Chem.Soc.*, 115, 9997-10003.
- [6] Cook, A.S., Williams, D.B.G., White, A.J.P., Williams, D.J., Lange, S.J., Barrett, A.G.M. and Hoffman, B.M., 1997. Enantiomerically Pure "Winged" Spirane Porphyrzinocetaols, *Angew.Chem., Int.Ed. Engl.*, 36, 760-761.

- [7] Goldberg, D.P., Telser, J., Krzystek, J., Montalban, Garrido A., Brunel, L.C., Barrett, A.G.M. and Hoffman, B.M., 1997. EPR spectra from "EPR-Silent" Species: High 7 -Field EPR Spectroscopy of Manganese (III) Porphyrins, *J.Am.Chem.Soc.*, submitted.
- [8] Baumann, T.F., Sibert, J.W., Olmstead, M.M., Barrett, A.G.M. and Hoffman, B.M., 1994. Solitaire Porphyrazines: X-Ray Crystal Structure and Spectroscopy of [1,1'-Bis(diphenylphosphino)ferrocena]-[(norphthalocyanine)dithiolato]palladium(II), *J.Am. Chem. Soc.*, 116, 2639-2640.
- [9] Sibert, J.W., Lange, S.J., Stern, C., Hoffman, B.M. and Barrett, A.G.M., 1994. Unusual Coordination of  $HgCl_2$  by a Mixed Oxathioether Crown, *J.Chem.Soc., Chem. Commun.*, 1751-1752.
- [10] Mani, N.S., Beall, L.S., Miller, T., Anderson, O.P., Hope, H., Parkin, S.R., Williams, D.J., Barrett, A.G.M. and Hoffman, B.M., 1994. Synthesis and Characterization of Porphyrazinocytidine Derivatives: X-Ray Crystallographic Studies of [2,3,7,8,12,13,17,18-Octakis(dibenzylamino)porphyrazinato]magnesium(II) and [2,3,7,8,12,13,17,18-Octakis[allyl(benzyl)amino]porphyrazinato]nickel(II), *J.Chem. Soc., Chem. Commun.*, 2095-2096.
- [11] Mani, N.S., Beall, L.S., White, A.J.P., Williams, D.J., Barrett, A.G.M. and Hoffman, B.M., 1994. Serendipitous Desymmetrization during Porphyrazine Synthesis: an X-Ray Crystallographic Study of 2,3,7,8,12,13,17,18-Octakis(dimethylamino)-2-secoporphyrazine-2,3-dione, *J.Chem.Soc., Chem.Commun.*, 1943-1944.
- [12] Eichhorn, D.M., Yang, S., Jarrell, W., Baumann, T.F., Beall, L.S., White, A.J.P., Williams, D.J., Barrett, A.G.M. and Hoffman, B.M., 1995. [60] Fullerene and TCNQ Donor-Acceptor Crystals of Octakis(dimethylamino)porphyrazine, *J. Chem. Soc., Chem.Commun.*, 1703-1704.
- [13] Sibert, J.W., Lange, S.J., Stern, C.L., Barrett, A.G.M. and Hoffman, B.M., 1995. Octathiophyrazine Crown Ethers: an Octanuclear AgI Complex with Coordination in the Meso Pocket, *Angew. Chem., Int.Ed. Engl.*, 34, 2020-2022.
- [14] Lange, S.J., Sibert, J.W., Stern, C.L., Barrett, A.G.M. and Hoffman, B.M., 1995. Macrocyclic Dithiomaleonitrile Derivatives Containing Sulfur and Nitrogen Heteroatoms, *Tetrahedron*, 51, 8175-8188.
- [15] Sibert, J.W., Lange, S.J., Hoffman, B.M., Williams, D.J. and Barrett, A.G.M., 1995. Heavy Metal Complexes of Oxa-Crowned Derivatives of Dithiomaleonitrile, *Inorg.Chem.*, 34, 2300-2305.

- [16] Guo, L., Ellis, D.E., Hoffman, B.M. and Ishikawa, Y., 1996. Ligand Substitution Effect on Electronic Structure and Optical Properties of Nickel Porphyrazines, *Inorg. Chem.*, 35, 5304-5312.
- [17] Baumann, T.F., Nasir, M.S., Sibert, J.W., White, A.J.P., Olmstead, M.M., Williams, D.J., Barrett, A.G.M. and Hoffman, B.M., 1996. Solitaire-Porphyrazines: Synthetic, Structural, and Spectroscopic Investigation of Complexes of the Novel Binucleating Norphthalocyanine-2,3-dithiolato Ligand, *J. Am. Chem. Soc.*, 118, 10479-10486.
- [18] Sibert, J.W., Baumann, T.F., Williams, D.J., White, A.J.P., Barrett, A.G.M. and Hoffman, B.M., 1996. Gemini-Porphyrazines: The Synthesis and Characterization of Metal-Capped *cis*- and *trans*-Porphyrazine Tetrathiolates, *J. Am. Chem. Soc.*, 118, 10487-10493.
- [19] Hoffman, B.M. and Barrett, A.G.M., 1997. Heteroatom-functionalized porphyrazines and multimetallic complexes and polymers derived therefrom, *PCT Int. Appl.*, p 84.
- [20] Beall, L.S., Goldberg, D.P., White, A.J.P., Williams, D.J., Barrett, A.G.M. and Hoffman, B.M., 1998. Norphthalocyanines Bearing Nitrogen Donor Pockets: Metal Sensor Properties, *J. Org. Chem.*, 63, 5806-5817.
- [21] Baumann, T.F., Barrett, A.G.M. and Hoffman, B.M., 1997. Porphyrazine Binaries: Synthesis and Characterization of a Trinuclear Metal-Linked Bis(porphyrazinedithiolate)Dimer, *Inorg. Chem.*, 36, 5661-5665.
- [22] Goldberg, D.P., Montalban, Garrido A., White, A.J.P., Williams, D.J., Barrett, A.G.M. and Hoffman, B.M., 1997. Metal-ion Binding to Octakis(dimethylamino)porphyrazine: Core Coordination of Mn(III) and Peripheral Coordination of Pb(II), *Inorg. Chem.*, 37, 2873-2879.
- [23] Lange, S.J., Stern, C.L., Barrett, A.G.M. and Hoffman, B.M., 1999. Heavy Metal Complexes of Thia-Crowned Derivatives of Dithiomaleonitrile. *Inorg. Chem.*, submitted.
- [24] Lange, S.J., Stern, C.L., Barrett, A.G.M. and Hoffman, B.M., 1998. Peripherally *N*-Functionalized Tetraazaporphyrins: Synthesis, Structural, and Spectroscopic Investigation of Platinum(II) and Palladium(II) Complexes of the Novel Binucleating Bis(dimethylamino)porphyrazine Ligand, *Inorg. Chem.*, 37, 6435.
- [25] Goldberg, D.P., Michel, S.L.J., Stern, C.L., Barrett, A.G.M. and Hoffman, B.M., 1997. Vanadocene- and Molybdocene capped Solitaire and *trans*-Gemini Porphyrazines, *Abstr. pap. Am. Chem. Soc. Symposium*, 214: 419, Inor Part.

- [26] Forsyth, T.P., Williams, D.B.G., Montalban, A.Garrido, White, A.J.P. Williams, D.J., Stern, C.L., Barrett, A.G.M. and Hoffman, B.M., 1998. A Facile and Regioselective Synthesis of *trans*-Hetero-functionalized Porphyrazines Derivatives, *J. Org. Chem.* 63, 331-336.
- [27] McCubbin, Q.J., Montalban, A.Garrido, White, A.J.P., Williams, D.J. Barrett, A.G.M. and Hoffman, B.M., Metallated Phenanthroline-Derivatized Porphyrazines: Synthetic, Structural and Spectroscopic Investigations, manuscript in preparation.
- [28] Lange, S.J., Barrett, A.G.M. and Hoffman, B.M., A Cu(II) Complex of a Singly Tetrathia-crowned Porphyrazine, manuscript in preparation.
- [29] Montalban, A.Garrido, Lange, S.J., Beall, L.S., Mani, N.S., White, A.J.P. Williams, D.J., Barrett, A.G.M. and Hoffman, B.M., 1997. Seco-Porphyrazines: Synthetic, Structural and Spectroscopic Investigations, *J. Org. Chem.*, 62, 9284-9289.
- [30] Ehrlich, L.A., Jarrell, W., Forsyth, T.P., Armstrong, N., Skrdla, P., Barrett, A.G.M. and Hoffman, B.M., Polyetherol-appended porphyrazines, manuscript in preparation.
- [31] Anderson, M.E., McCubbin, Q.J., Barrett, A.G.M. and Hoffman, B.M., 1998. Novel Water-Soluble Porphyrazines: the octacationic [2,3,7,8,12,13,17,18-octakis(N-methyl-pyridinium)porphrazinato] M(II) macrocycles (where M=H<sub>2</sub>, Ni, Cu), *Abstr. Pap. Am. Chem. Soc.*, 216, U182-U183.
- [32] Kobayashi, N., Togashi, M., Osa, T., Ishii, K., Yamauchi, S. and Hino, H., 1996. Low Symmetrical Phthalocyanine Analogues Substituted with Three Crown Ether Voids and Their Cation-Induced Supermolecules, *J. Am. Chem. Soc.*, 118, 1073-1085.
- [33] Downham, R., Kim, K.S., Ley, S.V. and Woods, M., 1994. Dispiroketals in Synthesis (Part 6): Highly Stereoselective Alkylation of Dispiroketal Protected Lactate and Glycolate Enolates, *Tetrahedron Letters*, 35, 769.
- [34] Entwistle, D.A., Hughes, A.B., Ley, S.V. and Visentin, G., 1994. Dispiroketals in Synthesis, Part 8, Regioselective Protection of D-Glucopyranose Substrates, *Tetrahedron Letters*, 35, 777.
- [35] Ley, S.V., Woods, M. and Zanotti-Gerosa, A., 1992. Dispiroketals in Synthesis: Preparation of a Stable, Sterically Demanding Glyceraldehyde Ketal and Diastereoselective Reactions with Simple Organometallic Reagents, *Synthesis*, 52.
- [36] Ley, S.V., Leslie, R., Tiffin, P.D. and Woods, M., 1992. Dispiroketals in Synthesis, Part 2, A New Group for the Selective Protection of Diequatorial Vicinal Diols in Carbohydrates, *Tetrahedron Letters*, 33, 4767.

- [37] Edwards, P.J. and Ley, S.V., 1995. Dispiroketsals in Synthesis, Part 1, Regioselective and Enantioselective Protection of Symmetric Polyol Substrates Using an Enantiopure (2S,2'S)-Dimethyl-bis-dihydropyran, *Synlett.*, 898-900.
- [38] Koray, A.R., Ahsen, V., Bekaroğlu, Ö., 1986. Preparation of a Novel Soluble Copper Phthalocyanine with Crown ether Moieties, *J.Chem.Soc., Chem.Commun.*, 932.
- [39] Bekaroğlu, Ö., 1996. Phthalocyanines Containing Macrocycles, *Appl. Organomet. Chem.*, 10, 605.
- [40] Hasanov, B., 1997. Çözünür Yeni Kobalt ve Demir Porfirazin Türevlerinin Sentezi, *Doktora Tezi*, İ.T.Ü. Fen Bilimleri Enstitüsü, İstanbul.
- [41] Öztürk, R., Güner, S., Gül, A., Aktaş, B., 1999. Vanadil Porfirazin Sentezi ve Karakterizasyonu, *XIII. Ulusal Kimya Kongresi*, 19 Mayıs Üniversitesi, Samsun, 31 Ağustos-4 Eylül, s.608.
- [42] Gonca, E., Gül, A., 1999. Yeni Çözünür Toryum Porfirazin Türevlerinin Sentezi ve Karakterizasyonu, *XIII. Ulusal Kimya Kongresi*, 19 Mayıs Üniversitesi, Samsun, 31 Ağustos-4 Eylül, s.213.
- [43] Polat, M., Gül, A., 1999. Synthesis of [Tetrakis(1,3-dithiol-2-thiono)-porphyratinato] magnesium, *J.Chem.Research*(5), 130-131.
- [44] Polat, M., 1998. Yeni Porfirazinlerin Sentezi ve Karakterizasyonu, *Doktora Tezi*, İ.T.Ü. Fen Bilimleri Enstitüsü, İstanbul.
- [45] Uslu, R.Z., Gül, A., 1999. Novel Porphyrazines with Tosylaminoethylthia Substituents, *5<sup>th</sup> FGIPS Meeting in Inorganic Chemistry*, Toulouse, France, October 26-31.
- [46] Sağlam, Ö., Gül, A., 1999. Octakis (crown ether) Substituted Porphyrazines, *5<sup>th</sup> FGIPS Meeting in Inorganic Chemistry*, Toulouse, France, October 26-31.
- [47] Sungur, B.Ş., Gül, A., 1999. Synthesis of New Bis(tetrapyrrole) Derivatives, *5<sup>th</sup> FGIPS Meeting in Inorganic Chemistry*, Toulouse, France, October 26-31.
- [48] Pauson, P.L., 1993. Organo-iron Compounds, Ed, Silver, J., Chemistry of Iron, *Blackie Academic & Professional, London*, pp.73-169.
- [49] Hendrickson, D.N., Sohn, Y.S. and Gray, H.B., 1971. Dicorollide Compounds, Magnetic Susceptibility Study of Various Ferricinium and Iron (III), *Inorg.Chem.*, 10, 1559.

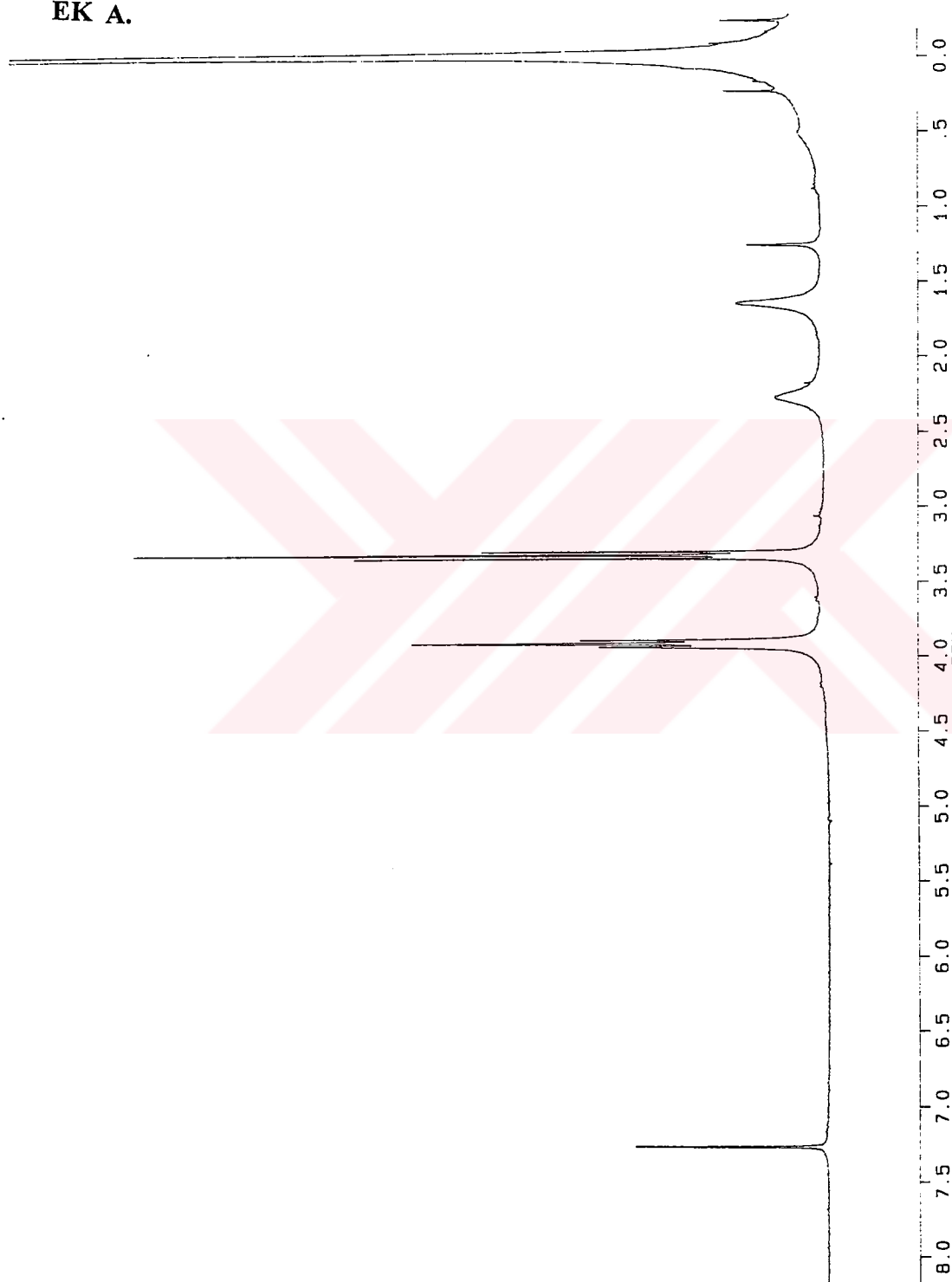
- [50] Miller, J.S., Calabrese, J.C., Rommelmann, H., Chittipeddi, S.R., Zhang, J.H., Reiff, W.M., Epstein, A.J., 1987. Ferromagnetic Behavior of  $[\text{Fe}(\text{C}_5\text{Me}_5)_2]^+ \cdot [\text{TCNE}]^-$ . Structural and Magnetic Characterization of Decamethylferrocenium Tetracyanoethenide,  $[\text{Fe}(\text{C}_5\text{Me}_5)_2]^+ \cdot [\text{TCNE}]^-$ . MeCN and Decamethylferrocenium pentacyanopropenide,  $[\text{Fe}(\text{C}_5\text{Me}_5)_2]^+ \cdot [\text{C}_3(\text{CN})_5]^-$ , *J.Am.Chem.Soc.*, 109, 769-781.
- [51] Bilgram, J.H., Duering, U., Waechter, M., Seiler, P., 1982. Zone Refining and Structure Determination of Salol Crystals, *J.Cryst.Growth*, 57(1), 1-5.
- [52] Almenningen, A., Haaland, A., Samdal, S., Brunvoll, J., Robbins, J.L., Smart, J.C., 1979. The Molecular Structure of Decamethylferrocene Studied by gas Phase Electron Diffraction. Determination of Equilibrium Conformation and Barrier to Internal Rotation of the ligand rings, *J. Organomet.Chem.*, 173, 293.
- [53] Struchkov, Yu.T., Andrianov, V.G., Sal'nikova, T.N., Lyatifov, I.R., Materikova, R.B., 1978. Crystal and Molecular Structures of two Polymethylferrocenes: Sym-octamethyl-ferrocenes: Sym-octamethyl-ferrocene and Decamethylferrocene, *J.Organomet. Chem.*, 145(2), 213-223.
- [54] Cunningham, A.F., 1991. Friedel-Crafts Acetylation of Bis(trimethylsilyl)- and Bis(tributylstannyl)ferrocene: Implications on the Mechanisms of Acylation and Proton Exchange of Ferrocene Derivatives, *J.Am.Chem.Soc.*, 113(13), 4864-4870.
- [55] Rosenblum, M. and Abbate, F.W., 1966, *J.Am.Chem.Soc.*, 88, 4178.
- [56] Rosenblum, M., Santer, J.O. and Howells, W.G., 1963, *J.Am.Chem.Soc.*, 85, 1450.
- [57] Davison, A. and Holm, R.H., 1967. Metal Complexes Derived from cis-1,2-dicyano-1,2-ethylenedithiolate and Bis(trifluoromethyl)-1,2-dithiete, *Inorg. Synth.*, 10, 8.
- [58] Houser, C.R. and Lindsay, J.K., 1957. Certain Acylations of ferrocene and Some Condensations Involving the  $\alpha$ -Hydrogen of Acetylferrocene, 22, 482-485.
- [59] Lindsay, J.K. and Houser, C.R., 1957. Aminomethylation of ferrocene to Form N,N-Dimethylaminomethylferrocene and Its Conversion to the corresponding Alcohol and Aldehyde, *The Journal of Organic Chemistry*, 22, 355-358.
- [60] Sawyer, D.T., Sobkowiak, A., Roberts, J.L., John Wiley, Jr.NY., 1995. Electrochemistry for Chemists, Second Edition.

- [61] Jin, Z., Nalon, K., McArthur, C.R., Lever, A.B.P. and Leznoff, C.C., 1994. Synthesis, electrochemical and Spectroelectrochemical Studies of Metal-free 2,9,16,23-tetraferrocenylphthalocyanine, *Journal of Organo.Chem.*, 468, 205-212.
- [62] Poon, Ka-Wo, Yan, Yan., Xi-you Li and Dennis K.P. Ng., 1999. Synthesis and Electrochemistry of Ferrocenylphthalocyanines, *Organometallics*, 18, 3528-3533.
- [63] Schmidt, E.S., Calderwood, T.S. and Bruice, T.C 1986. Synthesis and Characterization of  $\alpha$  meso-Tetrakis (4-ferrocenylphenyl)porphyrin and Examination of its Ability To Undergo Intramolecular Photocatalyzed Electron Transfer, *Inorg. Chem.*, 25, 3718-3720.
- [64] Morelli, G., Ricciardi, G., 1991. Discotic Mesomorphism of the 2,3,7,8,12,13,17,18-octakis(octylthio) tetraazaporphyrin Copper (II) Complex, *Chemical Physics Letters*, 185, 468-472.
- [65] Ricciardi, G., Bencini, A., Belviso, S., Bavoso, A. and Lelj, F., 1998. Formation, Crystal Structure and Co-Ordination Chemistry of the  $[\text{Mn}^{111}(\text{oespz})(\text{SH})][\text{oespz}^2=2,3,7,8,12,13,17,18\text{-octakis(ethylsulfanyl)-5,10,15,20-tetraazaporphyrinate dianion}]$  Complex, *J.Chem.Soc., Dalton Trans.*, 1985-1991.
- [66] Wolf, W., Degener, E. and Petersen, S., 1960. Dicyano-di thia-cyclohexen, ein Neues Heterocyclisches Dinitril zur Herstellung von Phthalocyaninen, *Angew.Chem.*, 24, 963-968.
- [67] Kopranenkov, V.N., Goncharova, L.S. and Luk'yanets, E.A., 1979. Phthalocyanines and Related Compounds. XVI. Seynthesis and Electronic Absorption Spectra of Amino-, Alkoxy-, and Alkylthio-Substituted Porphyrazines, *J.Org.Chem.USSR*, 15, 1076-1082.
- [68] Ricciardi, G., Bencini, A., Bavoso, A., Rosa, A. And Lelj, F., Crystal Structure of high-Spin ( $S=\frac{5}{2}$ ) Manganese (II) 2,3,7,8,12,13,17,18-oktakis(etilsulfonil)-5,10,15,20-tetraazaporphyrinate, *J.Chem.Soc., Dalton Trans.*, 3243-3249.
- [69] Ricciardi, G., Bencini, A., Bavoso, A., Rosa, A. And Lelj and Bonosi, F., 1996. Synthesis, Structure, Magnetic, Spectroskopic and Electrochemical Behaviour of Chloro-iron (III) and -Manganese(III) Complexes of 2,3,7,8,12,13,17,18-oktakis (ethylsulfonyl)-5,10,15,20-tetraazaporphyrin, *J.Chem.Soc., Dalton Trans.*, 2799-2807.
- [70] Yang, J., Rogers, T.C. and Mark, M.R.V.D., 1993. Synthesis of 1,2,3,4-Tetraphenyl-9,10,16,17,23,24-hexadodecyclophthalocyanine, *J.Heterocyclic Chem.*, 30, 571-573.

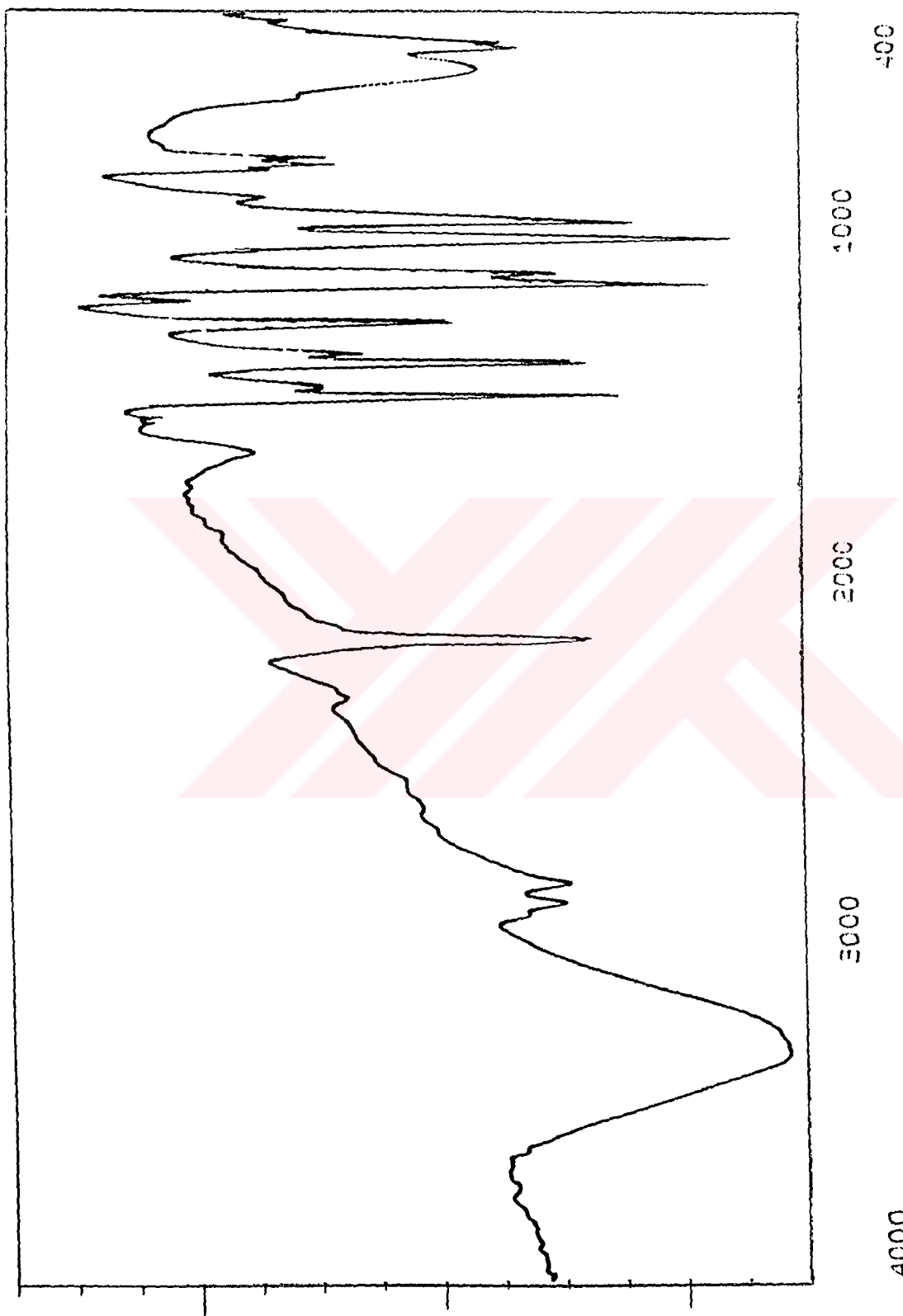
- [71] Eichhorn, H., Rutlon, M., Wöhrle, D. And Stumpe, J., 1996. Synthesis and Photochemical properties of octacinna moyl- substituted tetraazaporphyrins, *J.Chem.Soc., Perkin Trans 2*, 1801-1810.
- [72] Shu, C.F. and Shen, H.M., 1997. Organometallic Ferrocenyl Dendrimers: Synthesis, Characterization and Redox Properties, *J.Mater.Chem.*, 7(1), 47-52.
- [73] Newkone, G.R., Moorefield, C.N., Vögtle, F., 1996. Dendritic Molecules Concepts, Syntheses, Perspectives, VCH, Weinheim, NewYork, Basel, Cambridge, Tokyo.
- [74] Bonosi, F., Ricciardi, G., Lelj, F. and Martini, G., 1994. Monolayers and Langmuir-Blodgett Films of a Newly Synthesized Asmmmetric Tetraazaporphyrin Derivative, *J.Phys.Chem.*, 98, 10613-10620.
- [75] Leznoff, C.C., Lever, A.B.P., 1993. Phthalocyanines Properties and Applications, Vol 2, VCH. Weinheim.
- [76] Kopranenkov, V.N., Lukyanets, E.A., 1995. Porphyrazines, Synthesis, Properties, Applications, *Izv. Akad. Nauk., Ser. Khim*, 12, 2320-2336.
- [77] Lloris, J.M., Martinez-Manez, R., Pardo, T., Soto, J. and Padilla-Tosta, M.E., 1998. Binding, Elektrochemical and Metal Extraction Properties of the New Redox-active Polyazacycloalkane 1,4,7,10,13,16-hexa(ferrocenylmethyl)-1,4,7,10,13,16-hexaazacyclo octadecane, *J.Chem. Soc., Dalton Trans.*, 2635-2641.
- [78] Beer, P.D., Gale, P.A. and Chen, Z., 1999. Electrochemical Molekular Recognition: Pathways Between Complexation and Signalling, *J.Chem.Soc., Dalton Trans.*, 1897-1909.

## EKLER

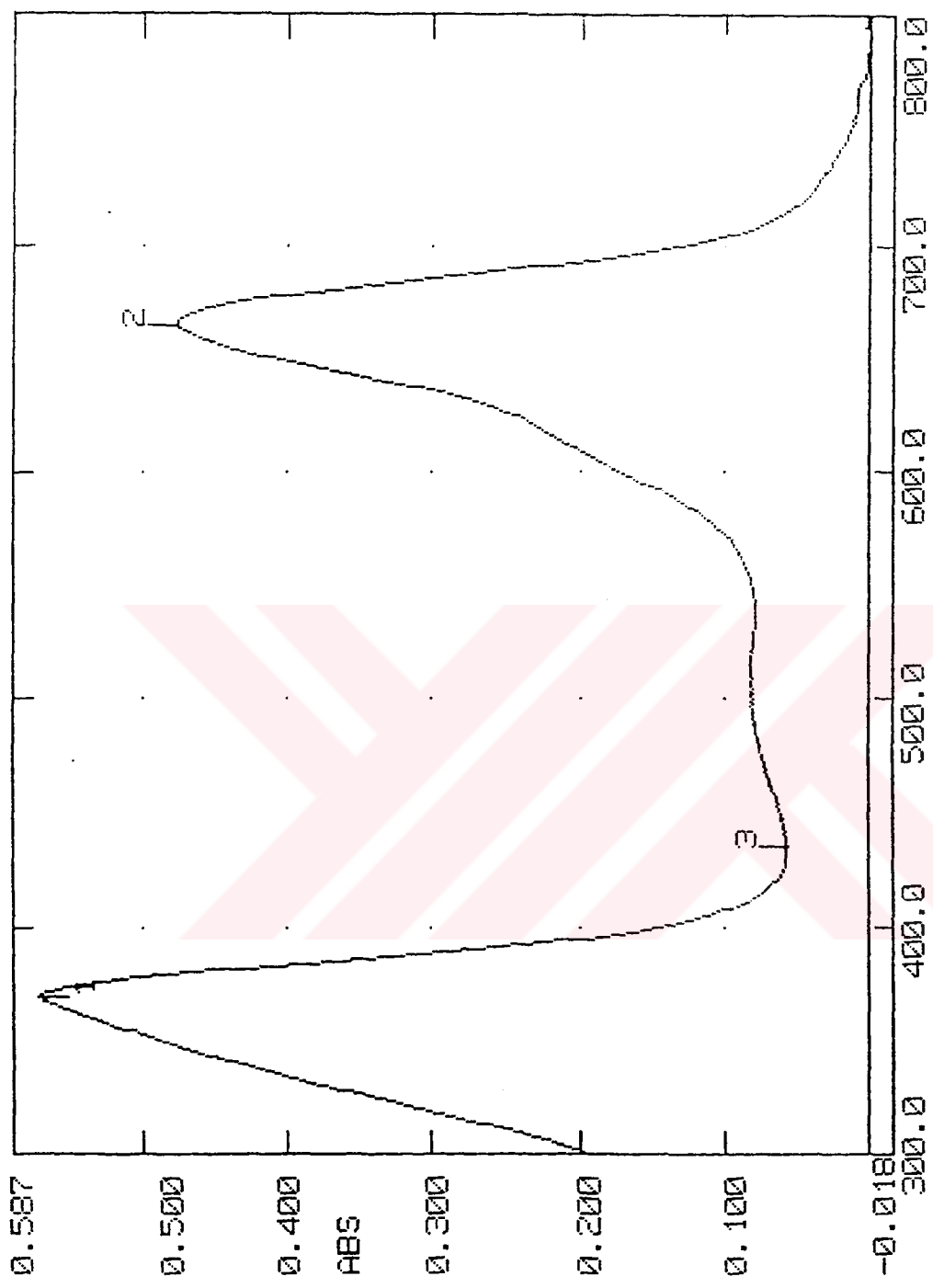
### EK A.



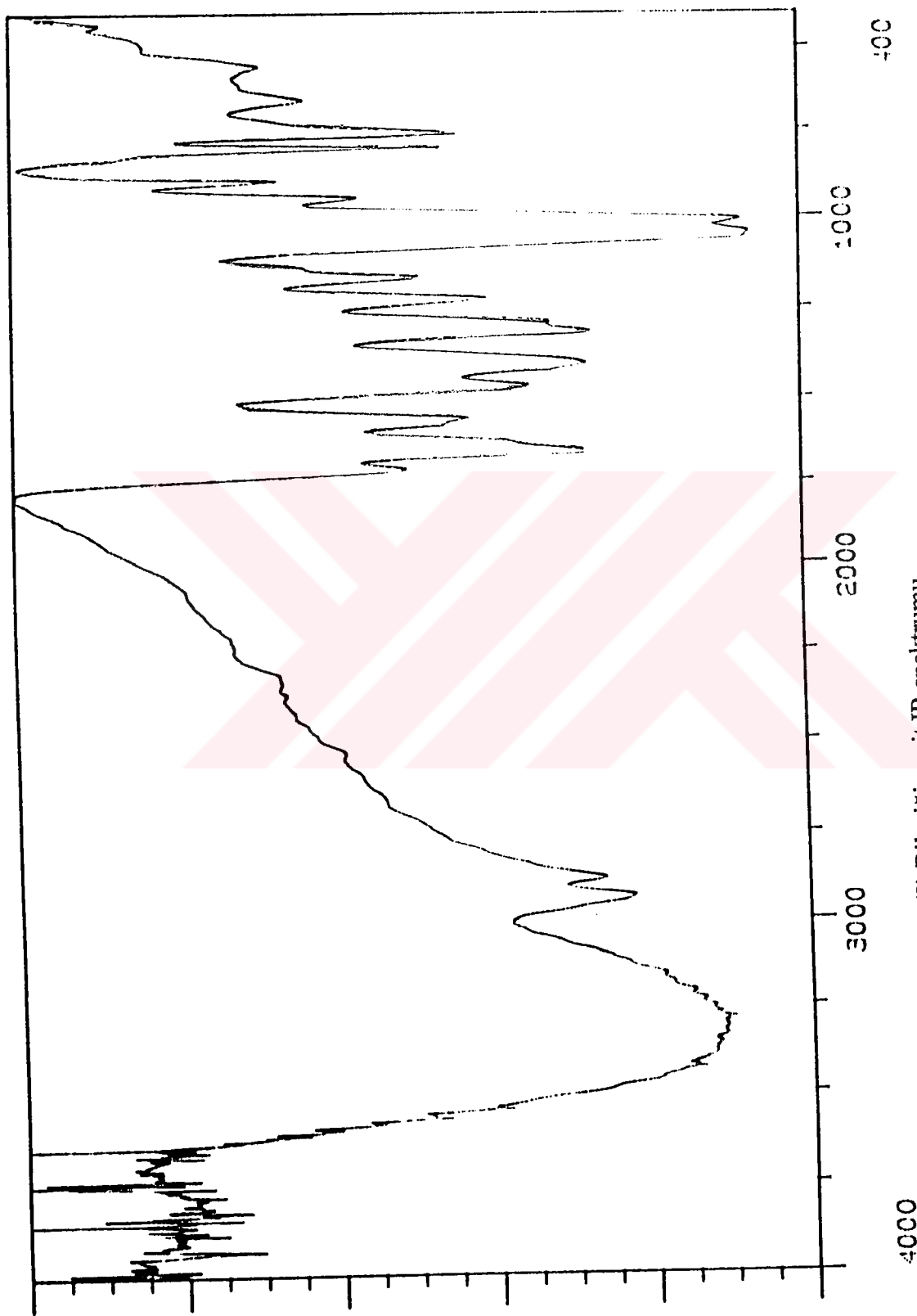
ŞekilA. 1 (1)Bileşигine ait  ${}^1\text{H}$  NMR spektrumu



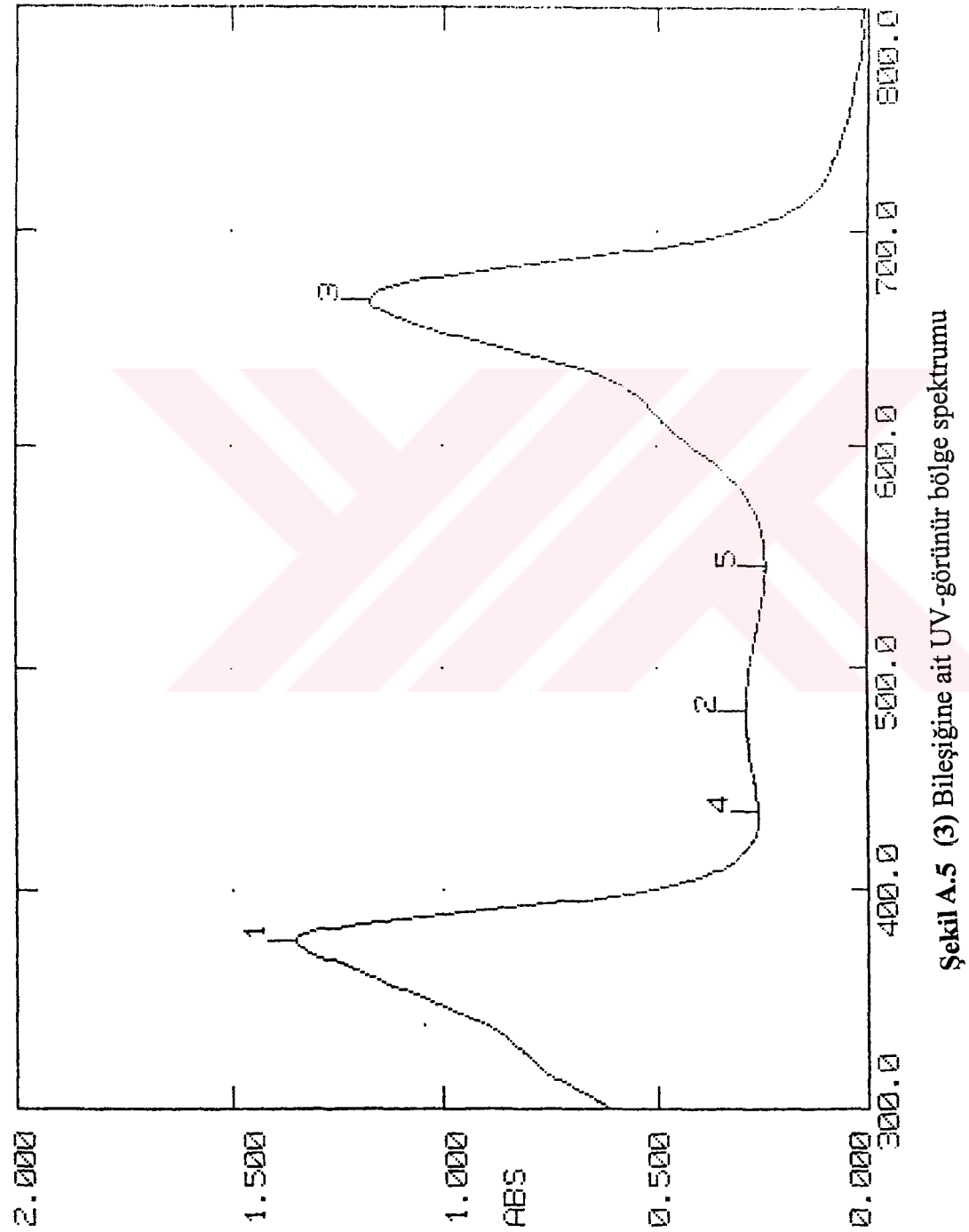
ŞekilA.2 (1) Bileşigine ait IR spektrumu



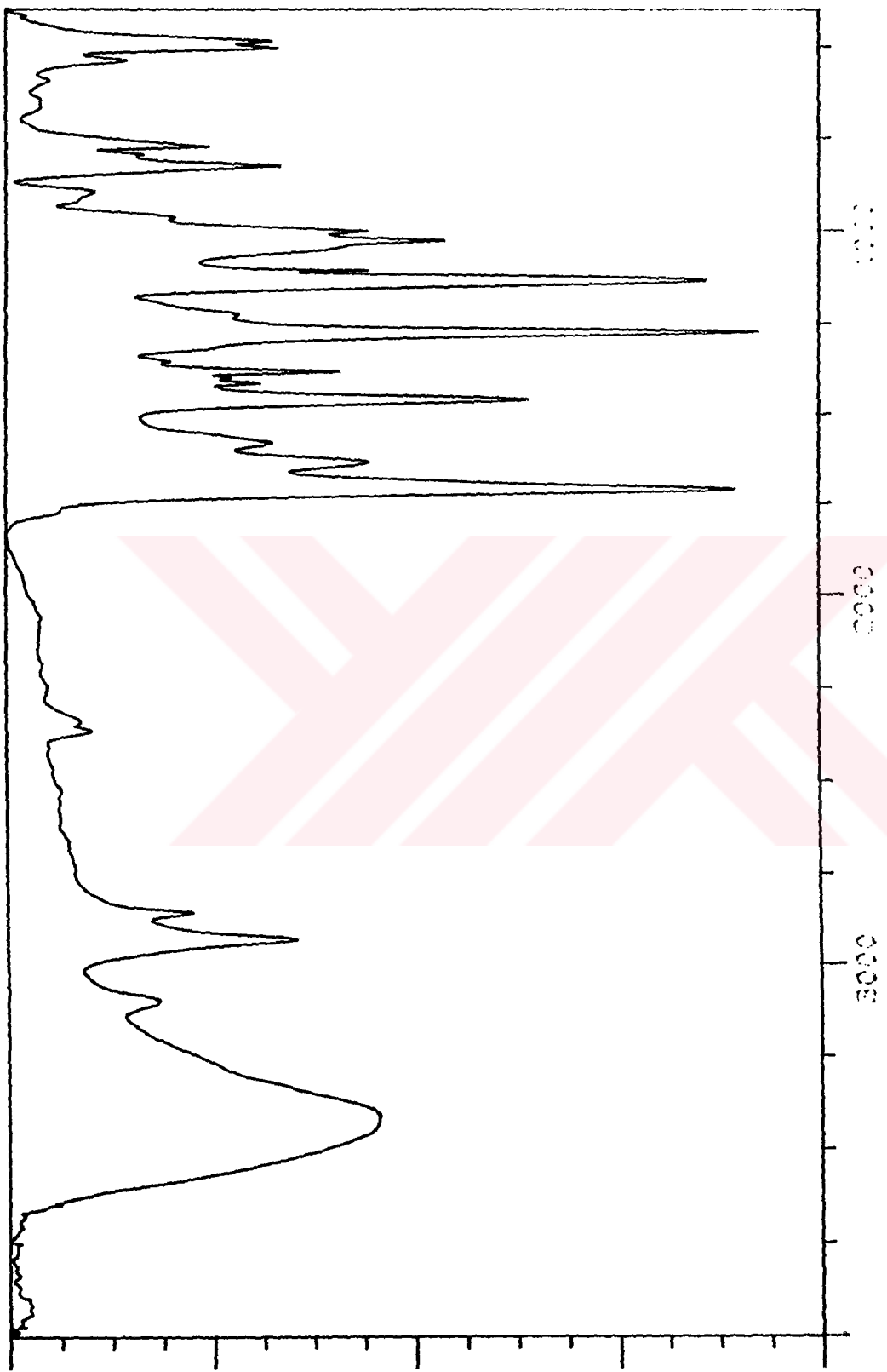
Şekil A.3 (2) Bileşikine ait UV-görünür bölge spektrumu



Şekil A.4 (2) Bileşigine ait IR spektrumu

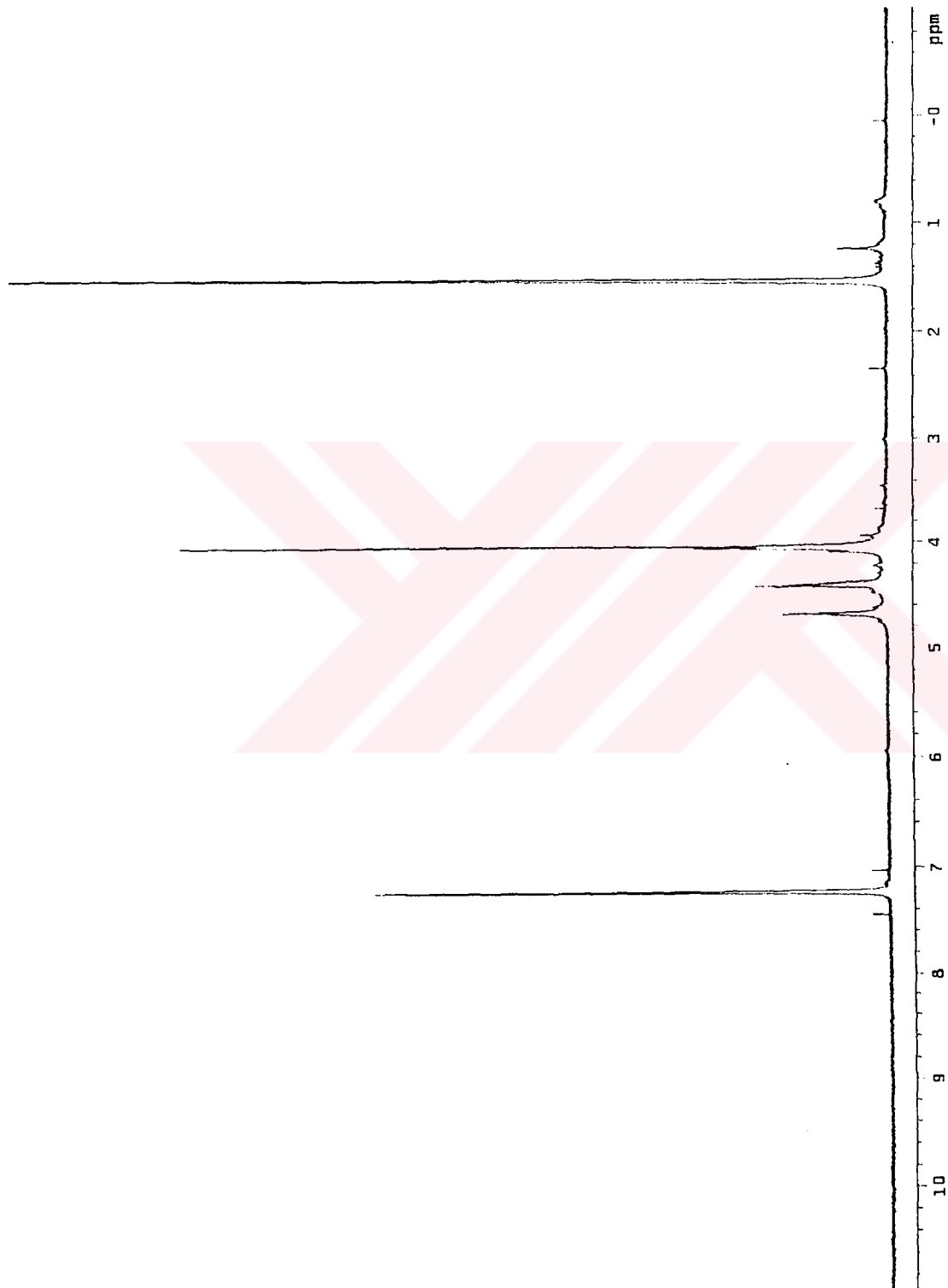


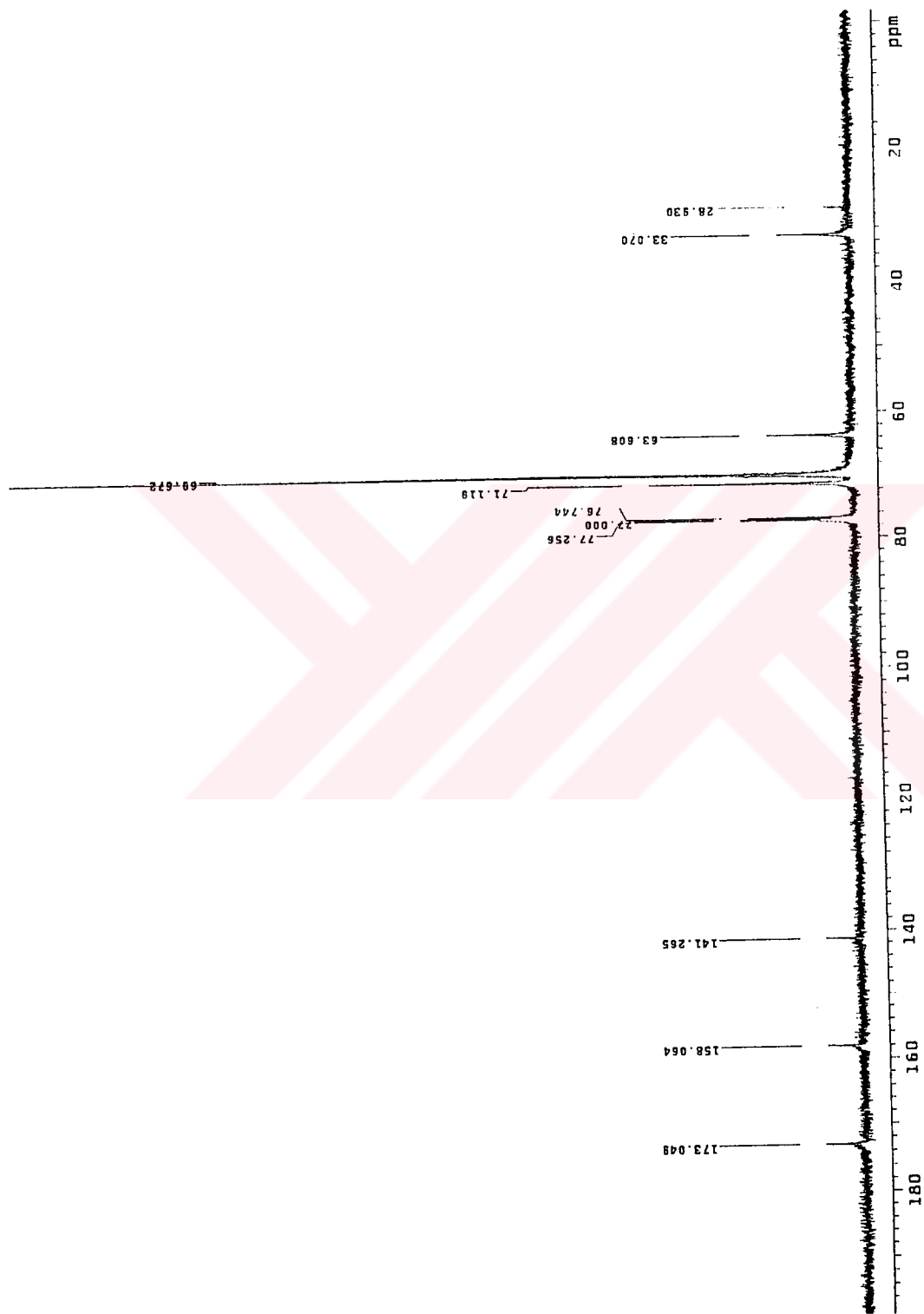
Şekil A.5 (3) Bileşigine ait UV-görünür bölge spektrumu



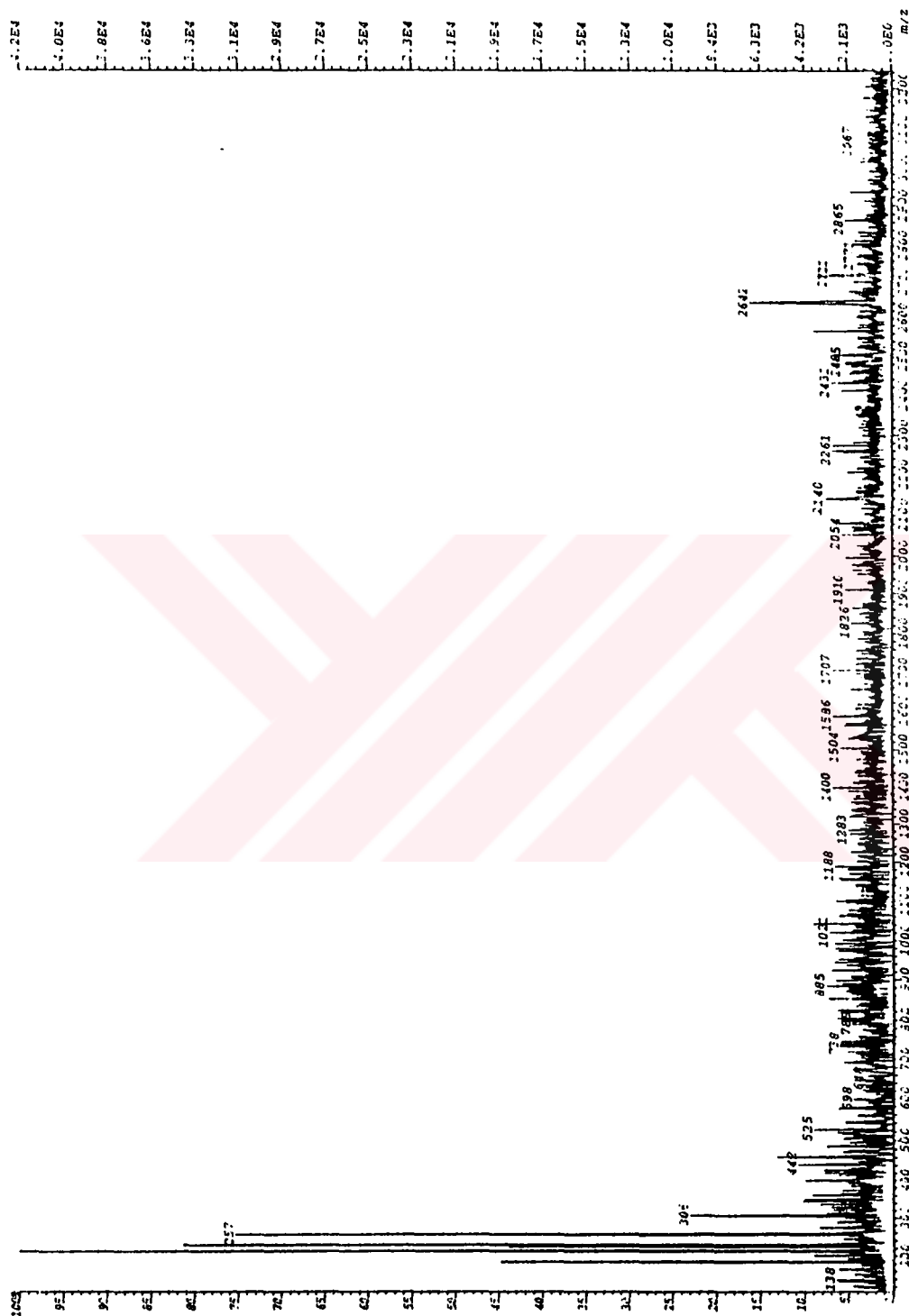
Şekil A.6 (3) Bileşidine ait IR spektrumu

**Şekil A.7** (3)Bileşigine ait  $^1\text{H}$  NMR spektrumu

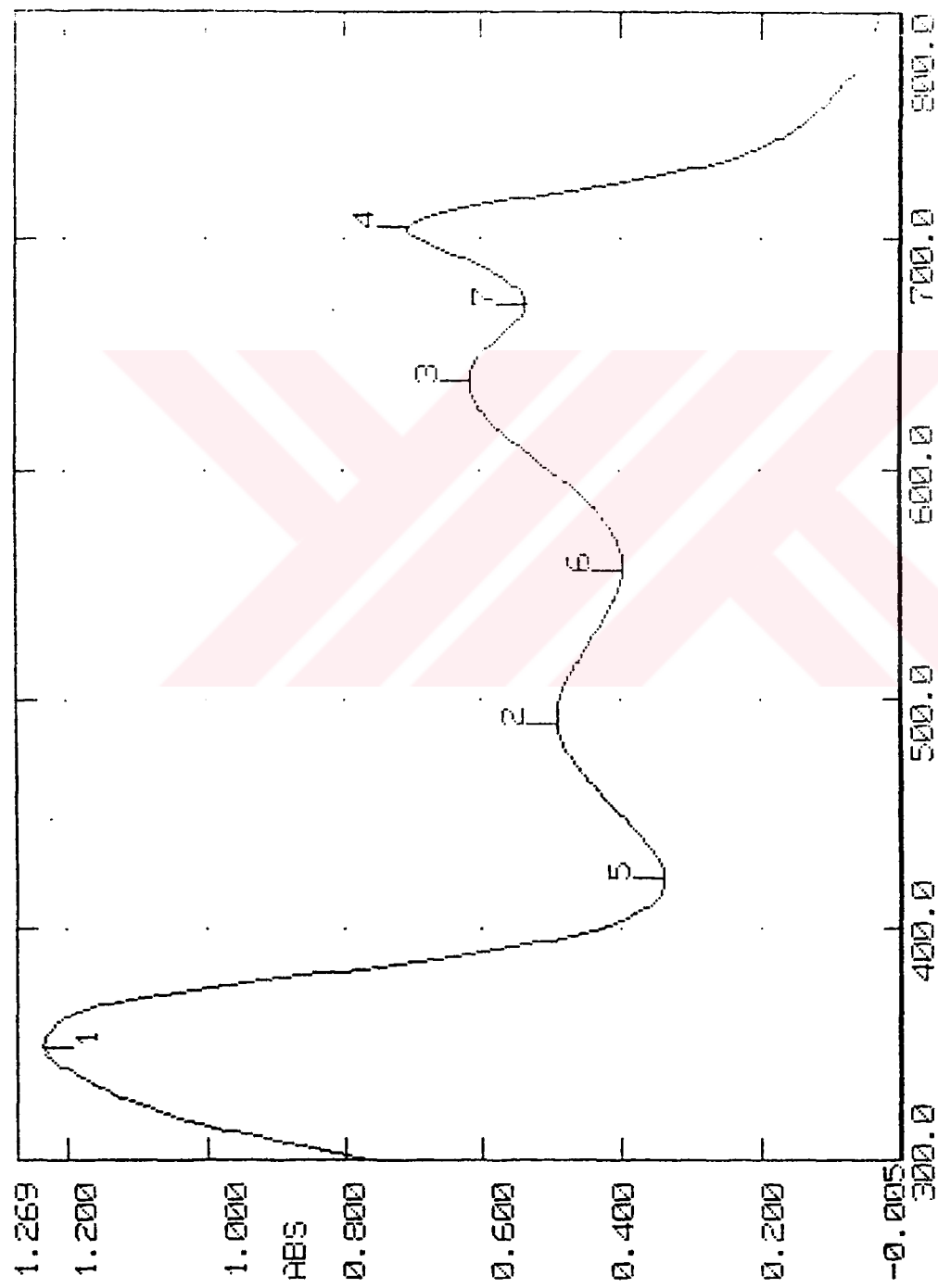




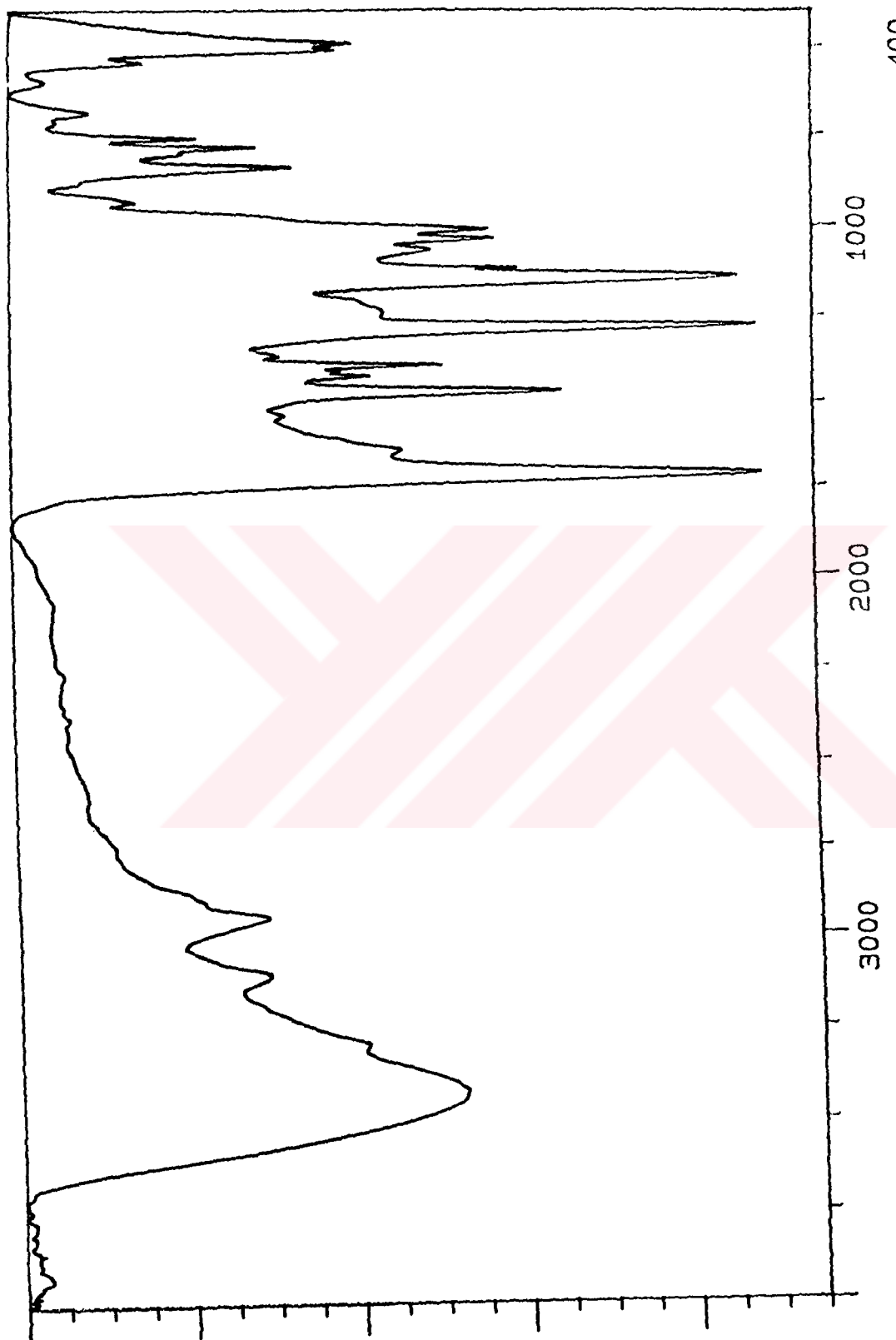
**Şekil A.8** (3) Bileşigine ait  $^{13}\text{C}$  NMR spektrumu



Şekil A.9 (3) Bileşigine ait Kütle spektrumu

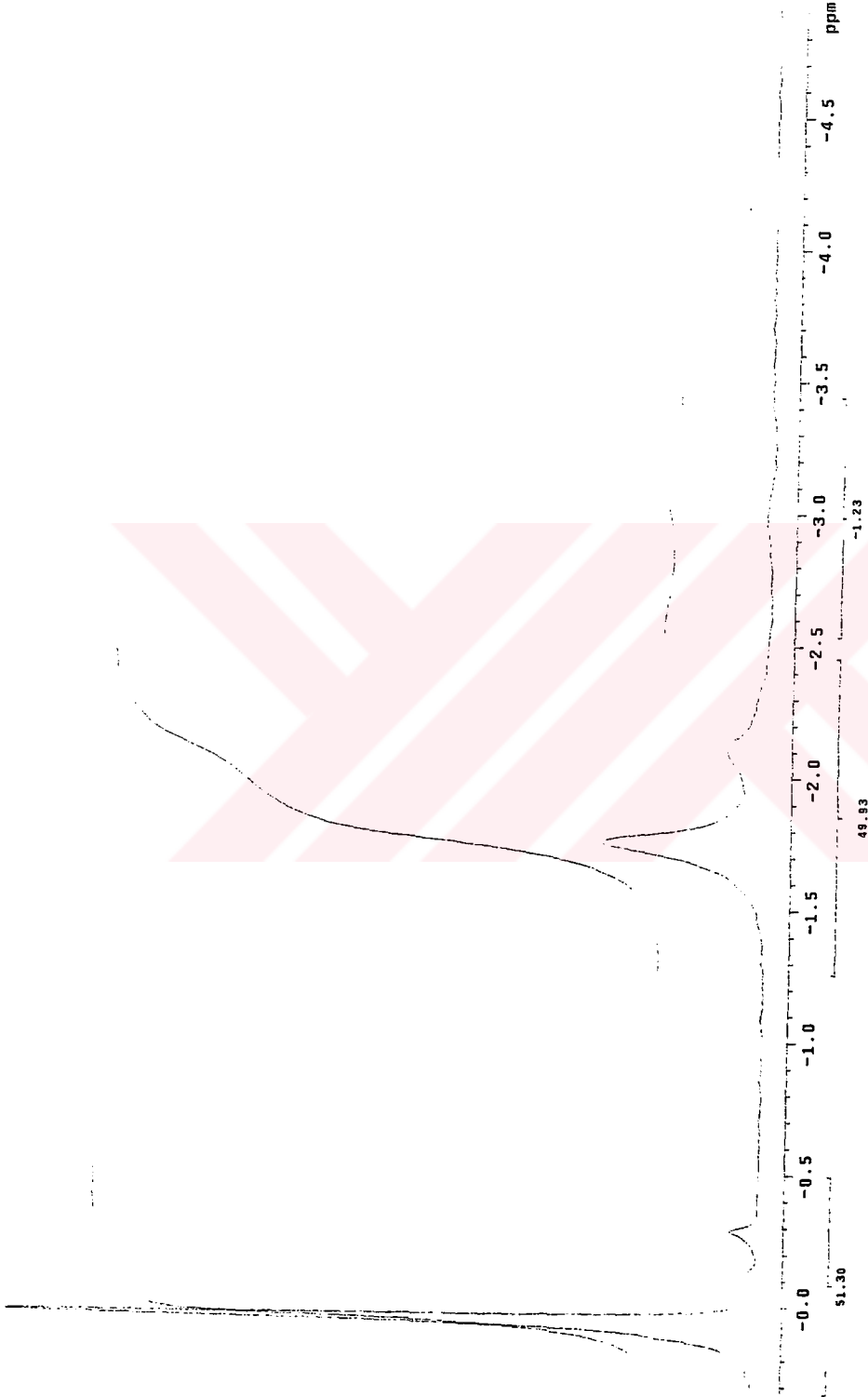


Şekil A.10 (4) Bileşigine ait UV-görünür bölge spektrumu

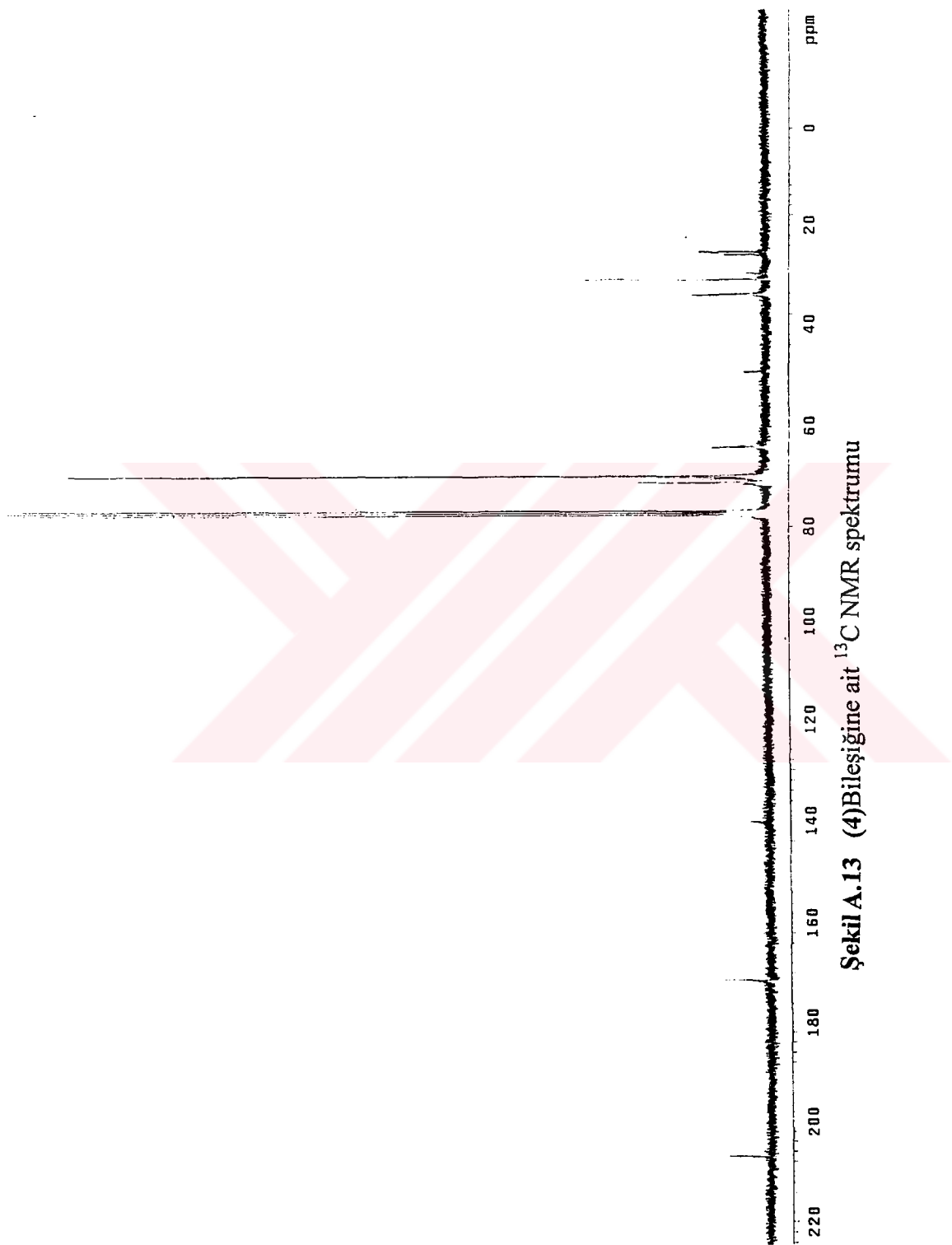


Şekil A.11 (4) Bileşigine ait IR spektrumu

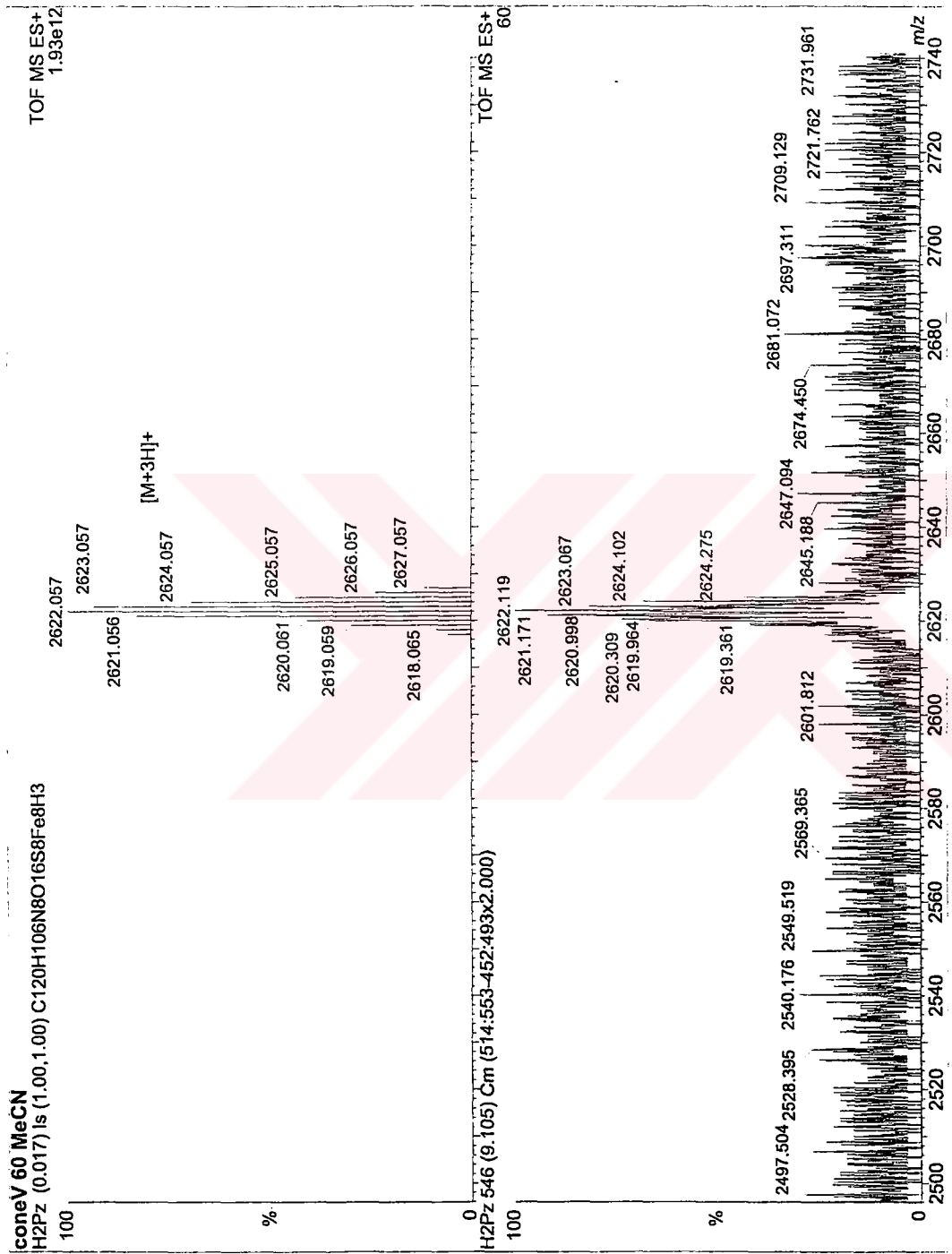
Ec. M. SEZER  
DOKTORAL İSTİĞTİCİSİ  
YIL: 2011



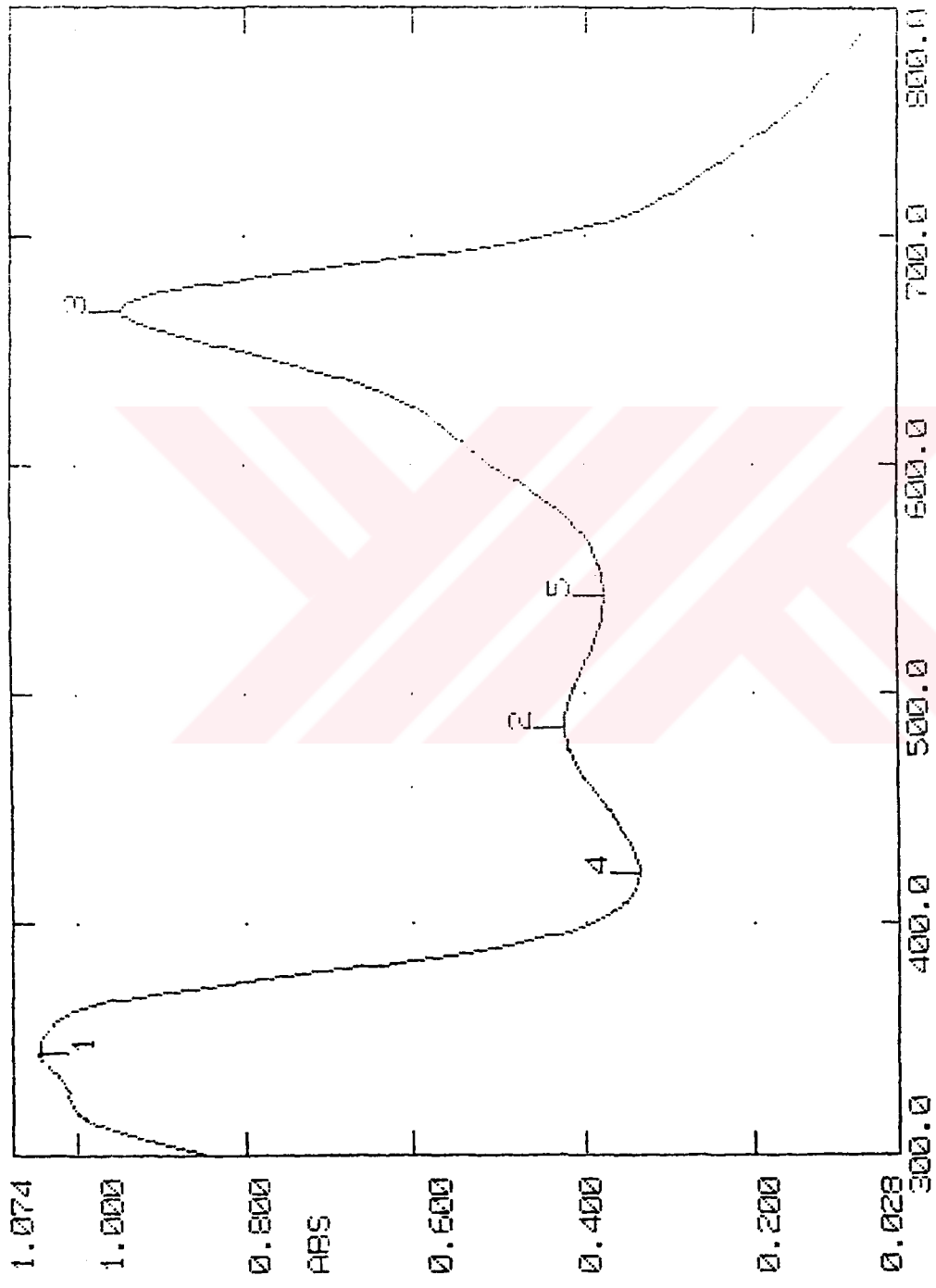
**Şekil A.12 (4)Bileşigine ait <sup>1</sup>H NMR spektrumu**



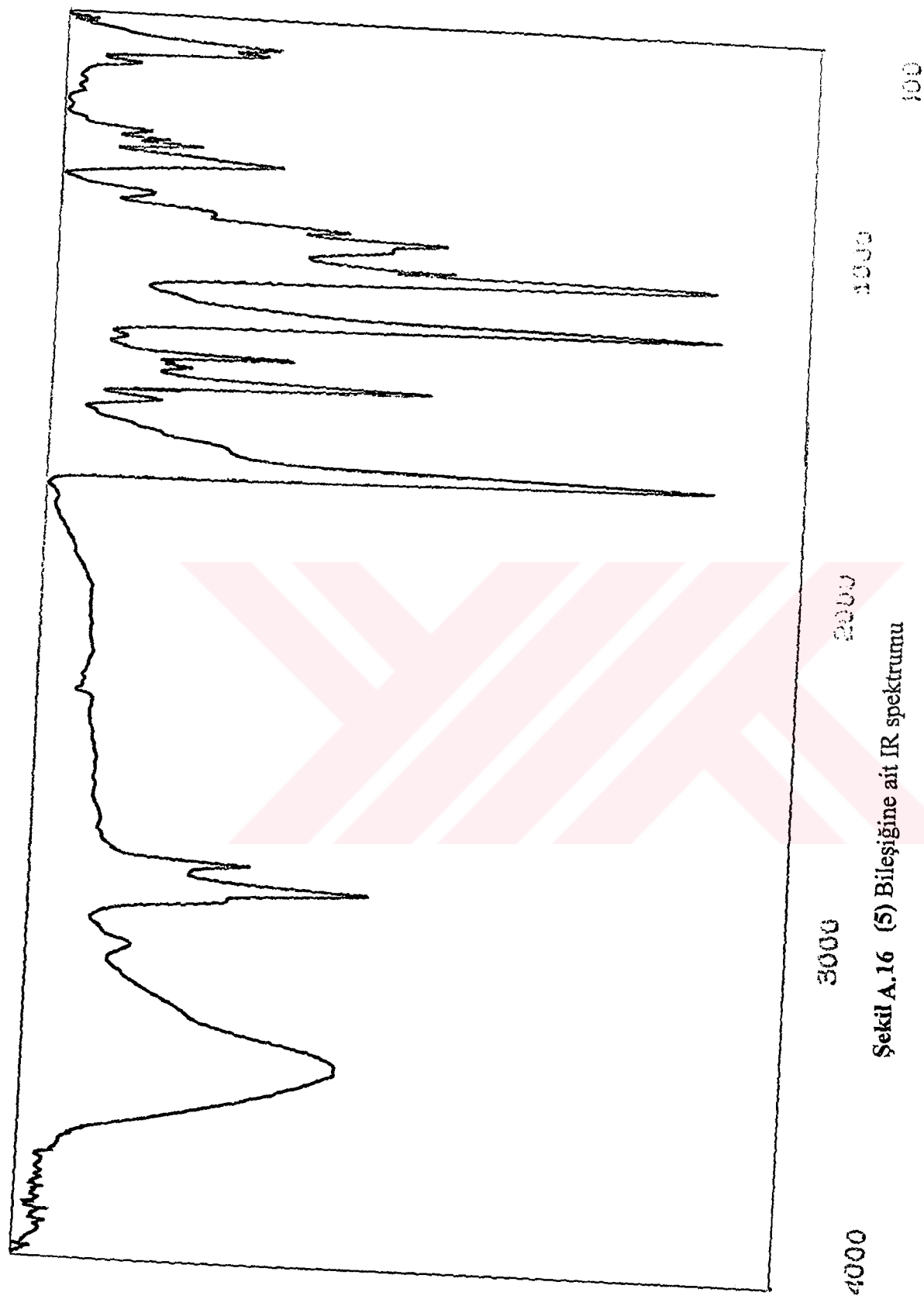
**Şekil A.13 (4)Bileşigine ait  $^{13}\text{C}$  NMR spektrumu**



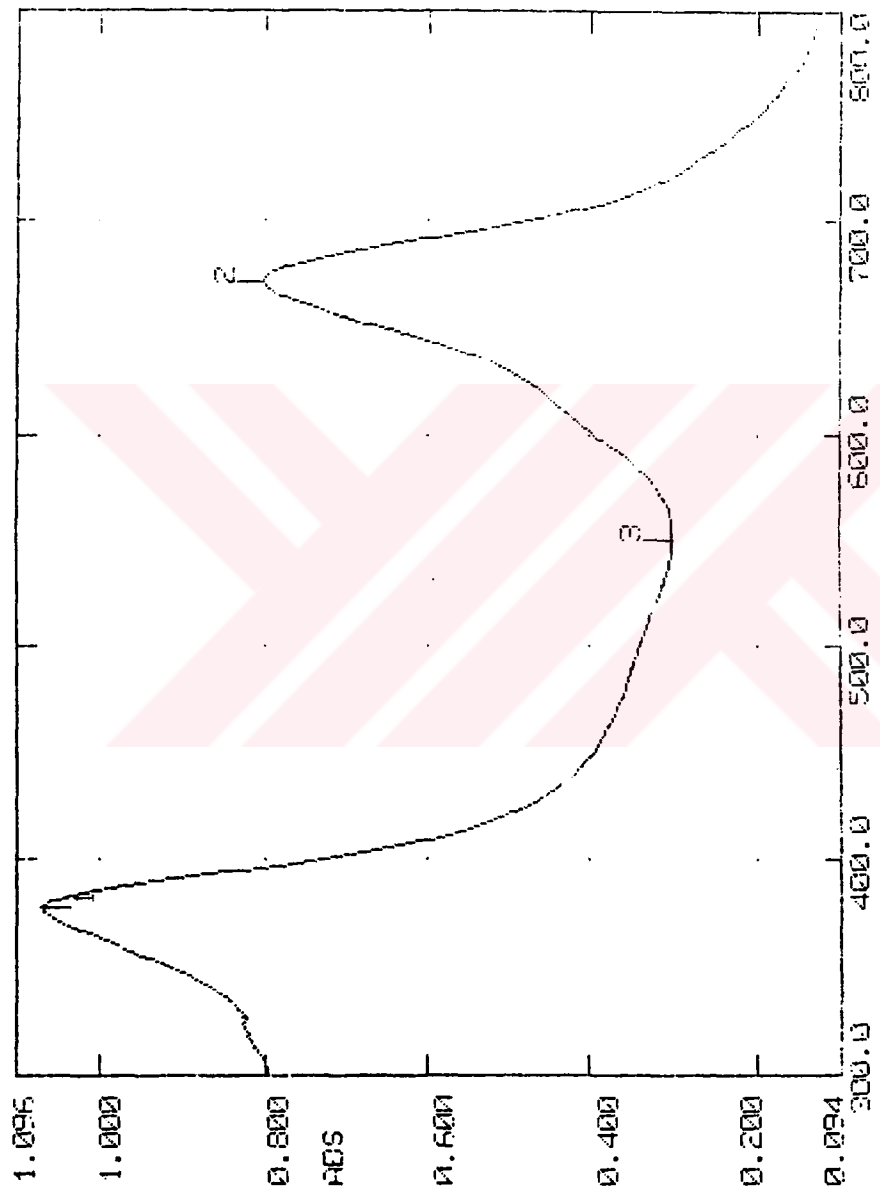
Sekil A.14 (4)Bilesigine ait kütle spektrumu



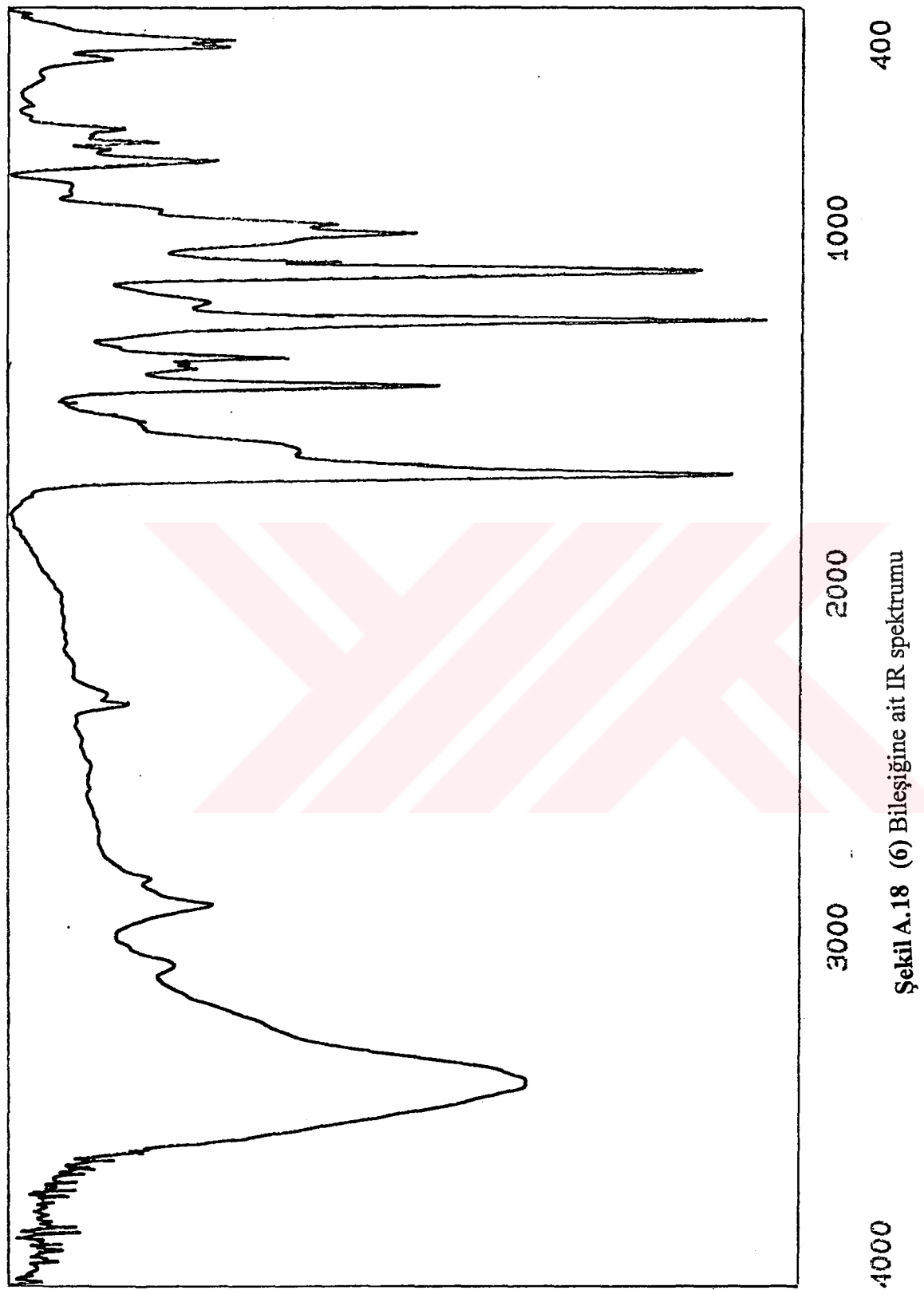
Şekil A.15 (5) Bileşigine ait UV-görünür bölge spektrumu



Sekil A.16 (5) Bileşigine ait IR spektrumu



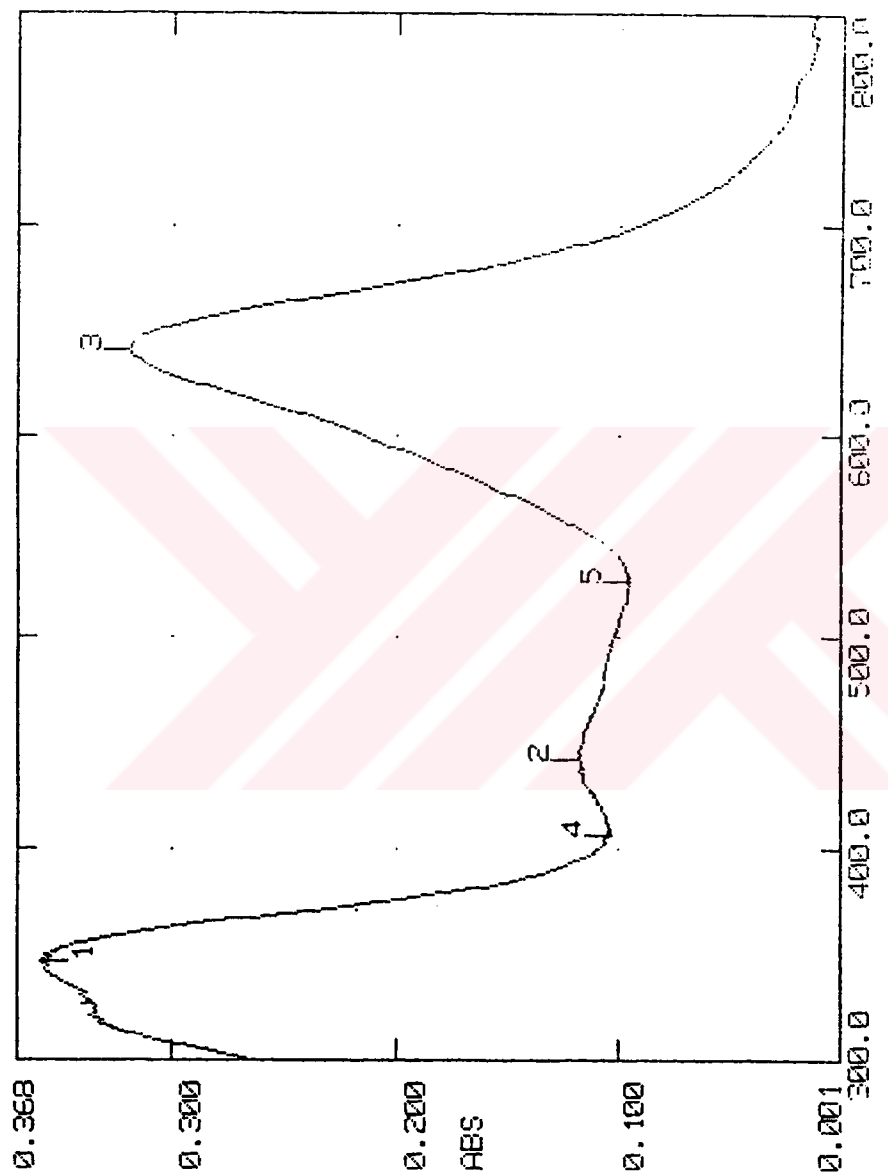
**Şekil A.17 (6)** Bileşigine ait UV-görünür bölge spektrumu



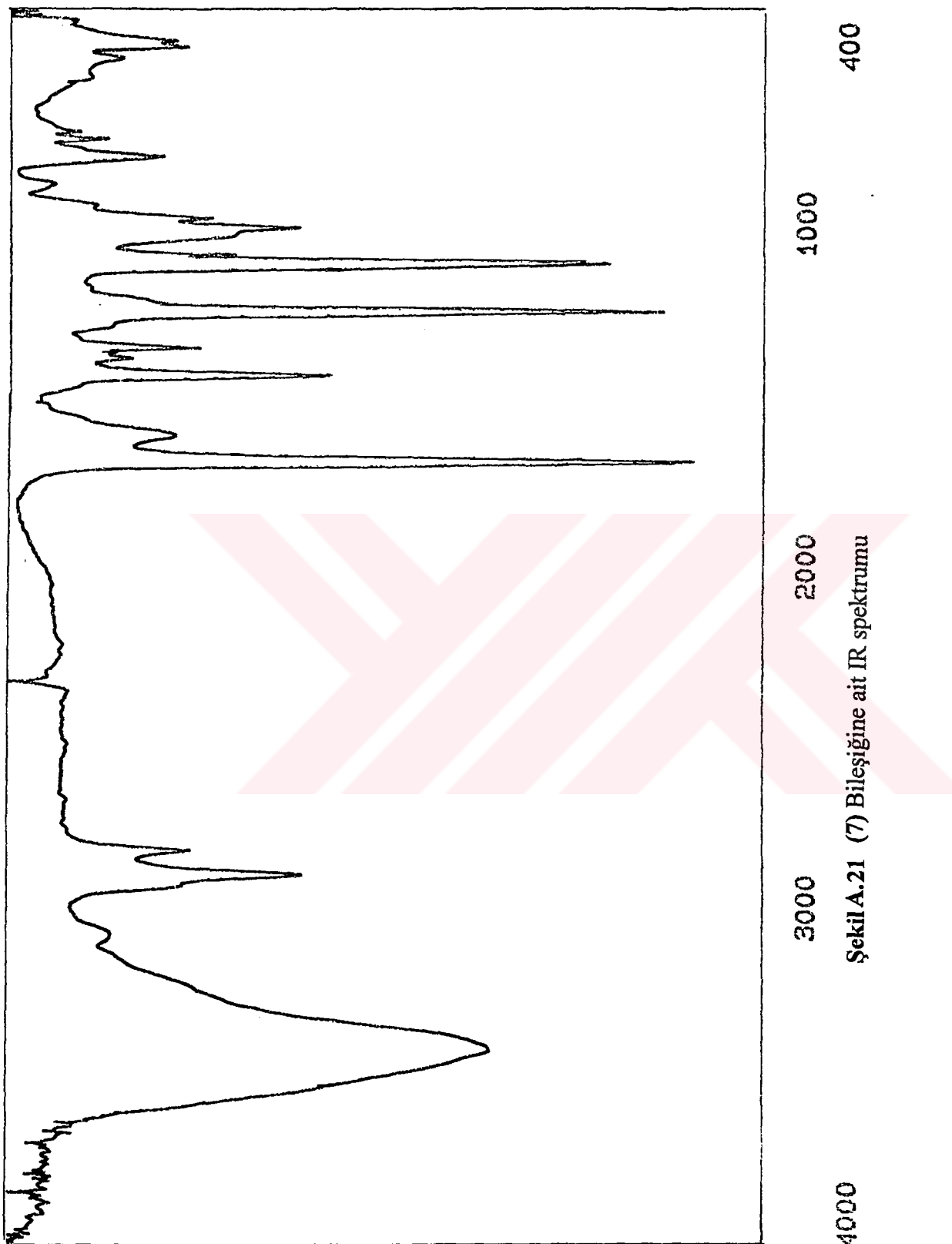
Şekil A.18 (6) Bileşidine ait IR spektrumu



**Sekil A.19 (6)Bileşigine ait kütü spektrumu**



Şekil A.20 (7) Bileşigine ait UV-görünür bölge spektrumu



Şekil A.21 (7) Bileşidine ait IR spektrumu

## **ÖZGEÇMİŞ**

1969 yılında Mardin'de doğru. 1986 yılında Kocamustafa Paşa Lisesinden mezun oldu. 1991 yılında İstanbul Teknik Üniversitesi Fen-Edebiyat Fakültesi Kimya Bölümünden Kimyager olarak mezun oldu. 1992 yılında İTÜ Fen Bilimleri Enstitüsü Kimya Anabilim Dalı Kimyagerlik programında Yüksek Lisansa başlayıp 1994 yılında bitirdi. Aynı yıl ve aynı programda doktora çalışmasına başladı. Temmuz 1996 yılında Doktora Yeterlilik sınavından sonra Temmuz 96-Kasım 97 tarihleri arasında yedek subay olarak vatani görevini yaptı. 1999 yılında 3 aylık yurt dışı bursu ile İngiltere, Oxford Üniversitesinde Prof.Dr. Paul D.Beer'in grubunda sentez ettiği yeni bileşiklerin elektrokimyasal özelliklerini inceledi. 1992 tarihinden itibaren İTÜ Kimya Bölümü Anorganik Kimya Anabilim Dalında Araştırma Görevlisi olarak görevini sürdürmektedir. Evli ve bir kız çocuk babasıdır.